

การคาดคะเนตำแหน่งของแหล่งกำเนิดกลิ่นด้วยวิธีการเชิงเลข

ESTIMATION OF ODOR SOURCE POSITION BY USING NUMERICAL
TECHNIQUE



ปิยะเกียรติ อินโสม
PIYAKIAT INSOM

ปุณยวัตร เสงี่ยมกุลถาวร
POONYAVAT SANGIAMKULTHAVORN

ปริญญาานิพนธ์นี้เป็นส่วนหนึ่งของการศึกษาตามหลักสูตรปริญญาวิศวกรรมศาสตรบัณฑิต

สาขาวิชาวิศวกรรมอิเล็กทรอนิกส์

คณะวิศวกรรมศาสตร์

สถาบันเทคโนโลยีพระจอมเกล้าเจ้าคุณทหารลาดกระบัง

พ.ศ.2559

การคาดคะเนตำแหน่งของแหล่งกำเนิดกลิ่นด้วยวิธีการเชิงเลข

ESTIMATION OF ODOR SOURCE POSITION BY USING NUMERICAL
TECHNIQUE



โดย

ปิยะเกียรติ อินโสม

บุญวัตร เสี่ยมกุลถาวร

อาจารย์ที่ปรึกษา

ดร.ยศศิริ อาริยะกุล

ปริญญานิพนธ์นี้เป็นส่วนหนึ่งของการศึกษาตามหลักสูตรปริญญาวิศวกรรมศาสตรบัณฑิต

สาขาวิชาวิศวกรรมอิเล็กทรอนิกส์

คณะวิศวกรรมศาสตร์

สถาบันเทคโนโลยีพระจอมเกล้าเจ้าคุณทหารลาดกระบัง

พ.ศ.2559

เอกสารนี้เป็นเอกสารที่สงวนไว้ สำหรับการใช้งานเพื่อการศึกษาเท่านั้น ไม่อนุญาตให้นำไปใช้ประโยชน์ด้านการค้า
ไม่ว่ากรณีใด ๆ ทั้งสิ้น อีกทั้งห้ามมิให้ดัดแปลงเนื้อหา และต้องอ้างอิงถึงเจ้าของเอกสารทุกครั้งที่มีการนำไปใช้

ปริญญาโทปีการศึกษา 2559

สาขาวิชา วิศวกรรมอิเล็กทรอนิกส์

คณะ วิศวกรรมศาสตร์

สถาบันเทคโนโลยีพระจอมเกล้าเจ้าคุณทหารลาดกระบัง

เรื่อง

การคาดคะเนตำแหน่งของแหล่งกำเนิดกลิ่นด้วยวิธีการเชิงเลข

ESTIMATION OF ODOR SOURCE POSITION BY USING NUMERICAL
TECHNIQUE

ผู้จัดทำ

นายปิยะเกียรติ อินโสม รหัสประจำตัว 56010759

นายปณยุวัตร เสี่ยมกุลถาวร รหัสประจำตัว 56010767

ปริญญาโทนี้ผ่านการตรวจสอบโดยอาจารย์ที่ปรึกษาแล้ว

(ดร.ยศศิริ อาริยะกุล)

อาจารย์ที่ปรึกษา

เอกสารนี้เป็นเอกสารที่สงวนไว้ สำหรับการใช้งานเพื่อการศึกษาเท่านั้น ไม่อนุญาตให้นำไปใช้ประโยชน์ด้านการค้า
ไม่ว่ากรณีใด ๆ ทั้งสิ้น อีกทั้งห้ามมิให้ดัดแปลงเนื้อหา และต้องอ้างอิงถึงเจ้าของเอกสารทุกครั้งที่มีการนำไปใช้

หัวข้อปริญญานิพนธ์	การคาดคะเนตำแหน่งของแหล่งกำเนิดคลื่นด้วยวิธีการเชิงเลข	
นักศึกษา	นายปิยะเกียรติ อินโสม	รหัสประจำตัว 56010759
	นายบุญยวัตร เสี่ยมกุลถาวร	รหัสประจำตัว 56010767
ปริญญา	วิศวกรรมบัณฑิต	
สาขาวิชา	วิศวกรรมอิเล็กทรอนิกส์	
ปีการศึกษา	2559	
อาจารย์ที่ปรึกษาปริญญานิพนธ์	ดร.ยศศิริ อาริยะกุล	

บทคัดย่อ

ปริญญานิพนธ์นี้จะทำการศึกษาการคาดคะเนตำแหน่งของแหล่งกำเนิดคลื่นด้วยวิธีการเชิงเลข โดยใช้เซ็นเซอร์คลื่นวัดความเข้มข้นคลื่น ณ ตำแหน่งต่างๆในห้องปิด ข้อมูลความเข้มข้นที่ได้จะถูกนำมาประมวลผลด้วยวิธีการเชิงเลขเพื่อหาตำแหน่งของแหล่งกำเนิดคลื่นโดยใช้โปรแกรม MATLAB และทำการจำลองการคาดคะเนตำแหน่งของแหล่งกำเนิดคลื่นโดยทดลองจัดวางเซ็นเซอร์หลายรูปแบบ เพื่อหารูปแบบที่เหมาะสมและศึกษาความเป็นไปได้ในการใช้เทคนิคระบุตำแหน่งของแหล่งกำเนิดคลื่นในพื้นที่ 10 x 20 เมตร

Thesis Title	Estimation of Odor Source Position by Using Numerical Technique		
Student	Mr. Piyakiat	Insom	Student ID 56010759
	Mr. Poonyavat Sangiamkulthavorn		Student ID 56010767
Degree	Bachelor of Engineering		
Program	Electronics Engineering		
Year	2016		
Thesis Advisor	Dr. Yossiri Ariyakul		

Abstract

This report introduces the topic of estimation of an odor source position by using numerical technique. In this study, odor sensors were used to measure the concentration of odor in a closed room. The measured data were then calculated by using numerical method to develop an algorithm that can estimate the location of the odor source by using MATLAB. The simulation of and odor source position estimation at various sensor alignments were performed to find the most proper sensor alignment for an odor source estimation and for investigation the possibility to use this technique to estimate the position of and odor source in 10 x 20 m area.

กิตติกรรมประกาศ

ข้าพเจ้าขอขอบพระคุณอาจารย์ที่ปรึกษา ดร.ยศศิริ อาริยะกุล ที่คอยให้ความช่วยเหลือทั้งด้านคำปรึกษา สถานที่ทำโปรเจค และอุปกรณ์โปรเจคบางส่วนที่อาจารย์สามารถมีให้ได้ และคอยตามงานจนโปรเจคเสร็จสิ้น ขอขอบพระคุณ คุณพ่อคุณแม่ที่คอยช่วยเหลือในเรื่องค่าใช้จ่าย ขอขอบคุณเพื่อนๆ รุ่นพี่สาขาทุกๆท่าน ที่คอยให้คำปรึกษาและให้กำลังใจ ตลอดการทำงานโครงการในครั้งนี้



ปิยะเกียรติ อินโสม

ปุณยวัตร เสี่ยงมกุลถาวร

สารบัญ

หน้า

บทคัดย่อ	
ภาษาไทย.....	I
บทคัดย่อภาษาอังกฤษ.....	II
กิตติกรรมประกาศ.....	III
สารบัญ.....	IV
สารบัญตาราง.....	VI
สารบัญรูป.....	VII
บทที่ 1 บทนำ.....	1
1.1. ที่มาและความสำคัญของโครงการ.....	1
1.2. ความมุ่งหมายและวัตถุประสงค์.....	1
1.3. สมมติฐานของการศึกษา.....	1
1.4. ขอบเขตของโครงการ.....	1
1.5. ประโยชน์ที่คาดว่าจะได้รับ.....	1
บทที่ 2 ทฤษฎีที่เกี่ยวข้อง.....	2
2.1 การไหลของอากาศ และ การเคลื่อนที่ของกลิ่น.....	2
2.1.1 การแพร่.....	2
2.1.2 การไหลแบบปั่นป่วน.....	7
2.1.3 การแสดงการไหลของอากาศ.....	8
2.2 การกระจายสัญญาณเคมี.....	9
2.3 วิธีการหาแหล่งกำเนิดกลิ่น.....	10
2.3.1 เซ็นเซอร์ 2 ตัว สำหรับการบอกตำแหน่งแหล่งกำเนิดกลิ่น.....	10
2.3.1.1 เซ็นเซอร์ที่รวมทั้งกลิ่นและทิศทางลม.....	10
2.3.1.2 อัลกอริธึมแรก – วิธีแบบ Step-by-Step.....	11
2.3.1.3 อัลกอริธึมที่สอง – วิธีแบบซิกแซก (Zigzag).....	12
2.3.1.4 เซ็นเซอร์แบบ Active Sampling.....	13

สารบัญ(ต่อ)

	หน้า
2.3.2 สรุป.....	15
2.4 การประมาณค่าในช่วง (Interpolation).....	15
2.4.1 การประมาณค่าในช่วงแบบเชิงเส้น (Linear Interpolation).....	17
2.5 การประมาณค่าต่ำสุดด้วยวิธี Unconstrained Optimization ของ Nelder-Mead...19	
บทที่ 3 การวัดความเข้มข้นของกลิ่นในทางปฏิบัติและการคำนวณความเข้มข้นของกลิ่นด้วยสมการ การกระจายของกลิ่นอย่างง่าย.....	22
3.1 ขั้นตอนการดำเนินงาน.....	22
3.2 การวัดค่าความเข้มข้นของกลิ่นในห้องปิด.....	22
3.3 การคำนวณค่าความเข้มข้นของกลิ่น.....	27
3.4 เปรียบเทียบค่าที่วัดได้กับค่าที่คำนวณได้.....	31
บทที่ 4 การทดลองหาตำแหน่งของแหล่งกำเนิดกลิ่นด้วยวิธีการเชิงเลข.....	33
4.1 การทดลองคาดคะเนตำแหน่งของแหล่งกำเนิดกลิ่นด้วยวิธีการเชิงเลขด้วยเซ็นเซอร์ 3 ตัว.....	33
4.2 การทดลองคาดคะเนตำแหน่งของแหล่งกำเนิดกลิ่นด้วยวิธีการเชิงเลขด้วยเซ็นเซอร์ 4 ตัว.....	61
4.3 การทดลองคาดคะเนตำแหน่งของแหล่งกำเนิดกลิ่นด้วยวิธีการเชิงเลขด้วยเซ็นเซอร์ 5 ตัว.....	84
บทที่ 5 วิเคราะห์และสรุปผลการทดลอง.....	106
5.1 รูปแบบของการวางตำแหน่งเซ็นเซอร์ที่เหมาะสม.....	106
5.2 วิเคราะห์ผลการทดลอง.....	106
เอกสารอ้างอิง.....	107
ภาคผนวก.....	108

สารบัญตาราง

ตารางที่	หน้า
3.1 ค่าความเข้มข้นของกลิ่นที่วัดได้ที่ตำแหน่งต่างๆ (ppb).....	24
3.2 ค่าความเข้มข้นของกลิ่นที่คำนวณได้ที่ตำแหน่งต่างๆ (ppb).....	29
3.3 ความคลาดเคลื่อนของความเข้มข้นของกลิ่นระหว่างค่าที่วัดได้กับค่าที่ได้จากการคำนวณ (%)..	31
4.1 ผลการทดลองเปลี่ยนตำแหน่งของเซ็นเซอร์ 3 ตัว.....	59
4.2 ผลการทดลองเปลี่ยนตำแหน่งของเซ็นเซอร์ 4 ตัว.....	83
4.3 ผลการทดลองเปลี่ยนตำแหน่งของเซ็นเซอร์ 5 ตัว.....	105



สารบัญรูป

รูปที่	หน้า
2.1 ภาพตัดขวางของการเปลี่ยนแปลงความเข้มข้นตามเวลาจากแหล่งกำเนิดกลืนที่ปล่อยกลืนแบบทันทีทันใด.....	3
2.2 ความเข้มข้นแบบสัมพัทธ์ของกลืนที่ระยะห่าง 2 เซนติเมตรจากจุดที่กลืนถูกปล่อยออกมาในปริมาณที่คงที่.....	4
2.3 ภาพตัดขวางของการเปลี่ยนแปลงความเข้มข้นตามเวลาจากแหล่งกำเนิดกลืนที่ปล่อยกลืนอย่างต่อเนื่อง.....	5
2.4 ความเข้มข้นของกลืนที่ถูกปล่อยออกจากแหล่งกำเนิดที่ปล่อยอย่างต่อเนื่องและถูกพัดให้ไหลอย่างคงที่.....	6
2.5 ผลจากการสะท้อนความเข้มข้นของสารเคมี.....	6
2.6 การไล่ระดับสีความเข้มข้นของสารเคมีและทิศทางลมเซ็นเซอร์ติดตั้งอยู่บนหุ่นยนต์ขนาดเล็ก....	11
2.7 หุ่นยนต์ไบริทโดยใช้อัลกอริทึม step-by-step	12
2.8 หุ่นยนต์ไบริทโดยใช้อัลกอริทึมแบบซิกแซก.....	13
2.9 เซ็นเซอร์สู่มตัวอย่าง.....	14
2.10 ผลลัพธ์ของการกำจัดแหล่งกำเนิดกลืนโดยใช้เซ็นเซอร์สู่มตัวอย่าง.....	15
2.11 กราฟของเทคนิคการ Interpolation.....	16
2.12 กราฟของเทคนิค Least Square Regression.....	17
2.13 กราฟการประมาณค่า $f(x_i)$ ด้วยฟังก์ชันพหุนามอันดับหนึ่ง.....	18
2.14 สามเหลี่ยม BGW จุดกึ่งกลาง M และจุดสะท้อน R.....	20
2.15 สามเหลี่ยม BGW และจุด E.....	20
2.16 การหาไปที่จุด C_1 หรือ C_2	21
2.17 การหาสามเหลี่ยมเข้าหาจุด B.....	21
3.1 ภาพถ่ายบริเวณและตำแหน่งที่ทำการทดลองวัดความเข้มข้นของกลืน.....	23
3.2 ตำแหน่งต่างๆที่ทำการวัดความเข้มข้นของกลืน.....	23
3.3 โปรแกรมสำหรับพล็อตกราฟจากข้อมูลในตารางที่ 3.1.....	24

สารบัญรูป(ต่อ)

รูปที่	หน้า
3.4 ความเข้มข้นของกลิ่น ณ แต่ละจุดที่ทำการวัด.....	25
3.5 โปรแกรมสำหรับทำการอินเตอร์โพลของข้อมูลในตารางที่ 3.1 แล้วทำการพล็อตกราฟ.....	26
3.6 ความเข้มข้นของกลิ่น ที่ได้จากการทำอินเตอร์โพลของข้อมูล ณ แต่ละจุดที่ทำการวัด.....	27
3.7 โปรแกรมสำหรับคำนวณและพล็อตกราฟค่าความเข้มข้นกลิ่นโดยใช้สมการที่ (3.1).....	28
3.8 ความเข้มข้นของกลิ่น ณ แต่ละจุดที่ได้จากการคำนวณ.....	29
3.9 โปรแกรมสำหรับทำการอินเตอร์โพลของข้อมูลในตารางที่ 3.2 แล้วทำการพล็อตกราฟเมื่อทำการประมวลผลข้อมูลจะได้กราฟดังรูปที่ 3.10.....	30
3.10 ความเข้มข้นของกลิ่น ที่ได้จากการทำอินเตอร์โพลของข้อมูล ณ แต่ละจุดที่ได้จากการคำนวณด้วยสมการที่ (3.1).....	30
3.11 ความคลาดเคลื่อนของความเข้มข้นของกลิ่นระหว่างค่าที่วัดได้กับค่าที่ได้จากการคำนวณ (%).....	31
3.12 ความคลาดเคลื่อนของความเข้มข้นของกลิ่นระหว่างค่าที่ได้จากการอินเตอร์โพลของค่าที่วัดได้กับค่าที่ได้จากการอินเตอร์โพลของค่าที่ได้จากการคำนวณ (%).....	32
4.1 ตัวอย่างการคาดคะเนแหล่งกำเนิดกลิ่นโดยใช้เซ็นเซอร์ 3 ตัว.....	34
4.2 การคาดคะเนตำแหน่งของแหล่งกำเนิดกลิ่นเมื่อวางเซ็นเซอร์ที่ตำแหน่ง (500,400) , (300,200) , (700,200).....	36
4.3 การคาดคะเนตำแหน่งของแหล่งกำเนิดกลิ่นเมื่อวางเซ็นเซอร์ที่ตำแหน่ง (500,1300) , (300,1100) , (700,1100)	37
4.4 การคาดคะเนตำแหน่งของแหล่งกำเนิดกลิ่นเมื่อวางเซ็นเซอร์ที่ตำแหน่ง (100,100) , (300,300) , (500,100)	38
4.5 การคาดคะเนตำแหน่งของแหล่งกำเนิดกลิ่นเมื่อวางเซ็นเซอร์ที่ตำแหน่ง (100,100) , (100,500) , (300,300)	39
4.6 การคาดคะเนตำแหน่งของแหล่งกำเนิดกลิ่นเมื่อวางเซ็นเซอร์ที่ตำแหน่ง (400,100) , (400,500) , (600,300)	40
4.7 การคาดคะเนตำแหน่งของแหล่งกำเนิดกลิ่นเมื่อวางเซ็นเซอร์ที่ตำแหน่ง (500,200) , (700,200) , (300,200)	41

สารบัญญรูป(ต่อ)

รูปที่	หน้า
4.8 การคาดคะเนตำแหน่งของแหล่งกำเนิดคลื่นเมื่อวางเซ็นเซอร์ที่ตำแหน่ง (500,200) , (300,200) , (100,200)	42
4.9 การคาดคะเนตำแหน่งของแหล่งกำเนิดคลื่นเมื่อวางเซ็นเซอร์ที่ตำแหน่ง (100,600) , (100,400) , (100,200)	43
4.10 การคาดคะเนตำแหน่งของแหล่งกำเนิดคลื่นเมื่อวางเซ็นเซอร์ที่ตำแหน่ง (500,200) , (300,400) , (700,400)	44
4.11 การคาดคะเนตำแหน่งของแหล่งกำเนิดคลื่นเมื่อวางเซ็นเซอร์ที่ตำแหน่ง (100,400) , (300,600) , (300,200)	45
4.12 การคาดคะเนตำแหน่งของแหล่งกำเนิดคลื่นเมื่อวางเซ็นเซอร์ที่ตำแหน่ง (500,400) , (300,200) , (700,600)	46
4.13 การคาดคะเนตำแหน่งของแหล่งกำเนิดคลื่นเมื่อวางเซ็นเซอร์ที่ตำแหน่ง (100,200) , (300,400) , (500,600)	47
4.14 การคาดคะเนตำแหน่งของแหล่งกำเนิดคลื่นเมื่อวางเซ็นเซอร์ที่ตำแหน่ง (100,600) , (300,400) , (500,200)	48
4.15 การคาดคะเนตำแหน่งของแหล่งกำเนิดคลื่นเมื่อวางเซ็นเซอร์ที่ตำแหน่ง (500,1300) , (430,1100) , (570,1100)	49
4.16 การคาดคะเนตำแหน่งของแหล่งกำเนิดคลื่นเมื่อวางเซ็นเซอร์ที่ตำแหน่ง (525,1395) , (530,1180) , (660,1230)	50
4.17 การคาดคะเนตำแหน่งของแหล่งกำเนิดคลื่นเมื่อวางเซ็นเซอร์ที่ตำแหน่ง (725,1395) , (730,1180) , (860,1230)	51
4.18 การคาดคะเนตำแหน่งของแหล่งกำเนิดคลื่นเมื่อวางเซ็นเซอร์ที่ตำแหน่ง (500,900) , (430,700) , (570,700)	52
4.19 การคาดคะเนตำแหน่งของแหล่งกำเนิดคลื่นเมื่อวางเซ็นเซอร์ที่ตำแหน่ง (525,895) , (530,680) , (660,730)	53

สารบัญรูป(ต่อ)

รูปที่	หน้า
4.20 การคาดคะเนตำแหน่งของแหล่งกำเนิดคลื่นเมื่อวางเซ็นเซอร์ที่ตำแหน่ง (625,895) , (630,680) , (760,730)	54
4.21 การคาดคะเนตำแหน่งของแหล่งกำเนิดคลื่นเมื่อวางเซ็นเซอร์ที่ตำแหน่ง (500,500) , (430,300) , (570,300)	55
4.22 การคาดคะเนตำแหน่งของแหล่งกำเนิดคลื่นเมื่อวางเซ็นเซอร์ที่ตำแหน่ง (525,595) , (530,380) , (660,430)	56
4.23 การคาดคะเนตำแหน่งของแหล่งกำเนิดคลื่นเมื่อวางเซ็นเซอร์ที่ตำแหน่ง (625,595) , (630,380) , (760,430)	57
4.24 การคาดคะเนตำแหน่งของแหล่งกำเนิดคลื่นเมื่อวางเซ็นเซอร์ที่ตำแหน่ง (825,595) , (830,380) , (960,430)	58
4.25 การคาดคะเนตำแหน่งของแหล่งกำเนิดคลื่นเมื่อวางเซ็นเซอร์ที่ตำแหน่ง (300,200) , (500,200) , (700,200) , (500,400)	62
4.26 การคาดคะเนตำแหน่งของแหล่งกำเนิดคลื่นเมื่อวางเซ็นเซอร์ที่ตำแหน่ง (100,200) , (300,200) , (500,200) , (300,400)	63
4.27 การคาดคะเนตำแหน่งของแหล่งกำเนิดคลื่นเมื่อวางเซ็นเซอร์ที่ตำแหน่ง (200,200) , (200,400) , (200,600) , (400,400)	64
4.28 การคาดคะเนตำแหน่งของแหล่งกำเนิดคลื่นเมื่อวางเซ็นเซอร์ที่ตำแหน่ง (300,200) , (425,200) , (100,650) , (300,650)	65
4.29 การคาดคะเนตำแหน่งของแหล่งกำเนิดคลื่นเมื่อวางเซ็นเซอร์ที่ตำแหน่ง (500,200) , (300,400) , (700,400) , (500,800)	66
4.30 การคาดคะเนตำแหน่งของแหล่งกำเนิดคลื่นเมื่อวางเซ็นเซอร์ที่ตำแหน่ง (300,200) , (100,400) , (500,400) , (300,800)	67
4.31 การคาดคะเนตำแหน่งของแหล่งกำเนิดคลื่นเมื่อวางเซ็นเซอร์ที่ตำแหน่ง (100,400) , (300,200) , (300,600) , (700,400)	68

สารบัญญรูป(ต่อ)

รูปที่	หน้า
4.32 การคาดคะเนตำแหน่งของแหล่งกำเนิดคลื่นเมื่อวางเซ็นเซอร์ที่ตำแหน่ง (100,200) , (300,200) , (500,200) , (700,200)	69
4.33 การคาดคะเนตำแหน่งของแหล่งกำเนิดคลื่นเมื่อวางเซ็นเซอร์ที่ตำแหน่ง (600,200) , (800,200) , (400,200) , (200,200)	70
4.34 การคาดคะเนตำแหน่งของแหล่งกำเนิดคลื่นเมื่อวางเซ็นเซอร์ที่ตำแหน่ง (500,100) , (500,300) , (500,500) , (500,700)	71
4.35 การคาดคะเนตำแหน่งของแหล่งกำเนิดคลื่นเมื่อวางเซ็นเซอร์ที่ตำแหน่ง (200,100) , (200,300) , (200,500) , (200,700)	72
4.36 การคาดคะเนตำแหน่งของแหล่งกำเนิดคลื่นเมื่อวางเซ็นเซอร์ที่ตำแหน่ง (400,200) , (600,200) , (200,500) , (800,400)	73
4.37 การคาดคะเนตำแหน่งของแหล่งกำเนิดคลื่นเมื่อวางเซ็นเซอร์ที่ตำแหน่ง (50,400) , (250,200) , (450,200) , (650,400)	74
4.38 การคาดคะเนตำแหน่งของแหล่งกำเนิดคลื่นเมื่อวางเซ็นเซอร์ที่ตำแหน่ง (50,200) , (250,400) , (450,400) , (650,200)	75
4.39 การคาดคะเนตำแหน่งของแหล่งกำเนิดคลื่นเมื่อวางเซ็นเซอร์ที่ตำแหน่ง (200,200) , (400,400) , (600,400) , (800,200)	76
4.40 การคาดคะเนตำแหน่งของแหล่งกำเนิดคลื่นเมื่อวางเซ็นเซอร์ที่ตำแหน่ง (500,200) , (500,600) , (300,400) , (700,400)	77
4.41 การคาดคะเนตำแหน่งของแหล่งกำเนิดคลื่นเมื่อวางเซ็นเซอร์ที่ตำแหน่ง (300,200) , (300,600) , (100,400) , (500,400)	78
4.42 การคาดคะเนตำแหน่งของแหล่งกำเนิดคลื่นเมื่อวางเซ็นเซอร์ที่ตำแหน่ง (430,100) , (500,300) , (570,100) , (500,400)	79
4.43 การคาดคะเนตำแหน่งของแหล่งกำเนิดคลื่นเมื่อวางเซ็นเซอร์ที่ตำแหน่ง (370,240) , (370,450) , (500,290) , (330,550)	80

สารบัญรูป(ต่อ)

รูปที่	หน้า
4.44 การคาดคะเนตำแหน่งของแหล่งกำเนิดคลื่นเมื่อวางเซ็นเซอร์ที่ตำแหน่ง (670,240) , (670,450) , (800,290) , (630,550)	81
4.45 การคาดคะเนตำแหน่งของแหล่งกำเนิดคลื่นเมื่อวางเซ็นเซอร์ที่ตำแหน่ง (770,240) , (770,450) , (900,290) , (730,550)	82
4.46 การคาดคะเนตำแหน่งของแหล่งกำเนิดคลื่นเมื่อวางเซ็นเซอร์ที่ตำแหน่ง (500,200) , (350,200) , (200,200) , (650,500) , (800,500)	85
4.47 การคาดคะเนตำแหน่งของแหล่งกำเนิดคลื่นเมื่อวางเซ็นเซอร์ที่ตำแหน่ง (500,200) , (350,200) , (200,200) , (650,200) , (200,500)	86
4.48 การคาดคะเนตำแหน่งของแหล่งกำเนิดคลื่นเมื่อวางเซ็นเซอร์ที่ตำแหน่ง (100,200) , (250,200) , (400,200) , (550,200) , (700,200)	87
4.49 การคาดคะเนตำแหน่งของแหล่งกำเนิดคลื่นเมื่อวางเซ็นเซอร์ที่ตำแหน่ง (500,500) , (350,350) , (200,200) , (650,650) , (800,800)	88
4.50 การคาดคะเนตำแหน่งของแหล่งกำเนิดคลื่นเมื่อวางเซ็นเซอร์ที่ตำแหน่ง (350,200) , (500,350) , (650,500) , (800,650) , (950,800)	89
4.51 การคาดคะเนตำแหน่งของแหล่งกำเนิดคลื่นเมื่อวางเซ็นเซอร์ที่ตำแหน่ง (350,800) , (500,650) , (650,500) , (800,350) , (950,200)	90
4.52 การคาดคะเนตำแหน่งของแหล่งกำเนิดคลื่นเมื่อวางเซ็นเซอร์ที่ตำแหน่ง (500,200) , (650,350) , (350,350) , (800,500) , (200,500)	91
4.53 การคาดคะเนตำแหน่งของแหล่งกำเนิดคลื่นเมื่อวางเซ็นเซอร์ที่ตำแหน่ง (650,400) , (800,350) , (500,350) , (950,500) , (350,500)	92
4.54 การคาดคะเนตำแหน่งของแหล่งกำเนิดคลื่นเมื่อวางเซ็นเซอร์ที่ตำแหน่ง (100,100) , (250,250) , (400,400) , (250,550) , (100,700)	93
4.55 การคาดคะเนตำแหน่งของแหล่งกำเนิดคลื่นเมื่อวางเซ็นเซอร์ที่ตำแหน่ง (500,500) , (650,350) , (800,200) , (350,350) , (200,200)	94

สารบัญรูป(ต่อ)

รูปที่	หน้า
4.56 การคาดคะเนตำแหน่งของแหล่งกำเนิดคลื่นเมื่อวางเซ็นเซอร์ที่ตำแหน่ง (650,500) , (800,350) , (950,200) , (500,350) , (350,200)	95
4.57 การคาดคะเนตำแหน่งของแหล่งกำเนิดคลื่นเมื่อวางเซ็นเซอร์ที่ตำแหน่ง (100,400) , (250,250) , (400,100) , (250,550) , (400,700)	96
4.58 การคาดคะเนตำแหน่งของแหล่งกำเนิดคลื่นเมื่อวางเซ็นเซอร์ที่ตำแหน่ง (500,200) , (200,200) , (800,200) , (650,350) , (350,350)	97
4.59 การคาดคะเนตำแหน่งของแหล่งกำเนิดคลื่นเมื่อวางเซ็นเซอร์ที่ตำแหน่ง (650,200) , (350,200) , (950,200) , (800,350) , (500,350)	98
4.60 การคาดคะเนตำแหน่งของแหล่งกำเนิดคลื่นเมื่อวางเซ็นเซอร์ที่ตำแหน่ง (100,100) , (250,250) , (100,400) , (200,550) , (100,700)	99
4.61 การคาดคะเนตำแหน่งของแหล่งกำเนิดคลื่นเมื่อวางเซ็นเซอร์ที่ตำแหน่ง (800,350) , (500,350) , (200,350) , (350,200) , (650,200)	100
4.62 การคาดคะเนตำแหน่งของแหล่งกำเนิดคลื่นเมื่อวางเซ็นเซอร์ที่ตำแหน่ง (950,350) , (650,350) , (350,350) , (500,200) , (800,200)	101
4.63 การคาดคะเนตำแหน่งของแหล่งกำเนิดคลื่นเมื่อวางเซ็นเซอร์ที่ตำแหน่ง (350,200) , (100,350) , (350,500) , (100,650) , (350,800)	102
4.64 การคาดคะเนตำแหน่งของแหล่งกำเนิดคลื่นเมื่อวางเซ็นเซอร์ที่ตำแหน่ง (350,200) , (500,350) , (500,500) , (500,650) , (650,800)	103
4.65 การคาดคะเนตำแหน่งของแหล่งกำเนิดคลื่นเมื่อวางเซ็นเซอร์ที่ตำแหน่ง (50,200) , (200,350) , (200,500) , (200,650) , (350,800)	104

บทที่ 1

บทนำ

1.1. ที่มาและความสำคัญของโครงการ

แม้ว่าเซ็นเซอร์กลิ้งสามารถใช้วัดความเข้มข้นของกลิ้งได้แต่ไม่สามารถระบุตำแหน่งของแหล่งกำเนิดกลิ้งได้ ซึ่งการระบุตำแหน่งนั้นมีความจำเป็นในบางสถานการณ์ เช่น การค้นหาระเบิดหรือวัตถุต้องสงสัย หรือการหาตำแหน่งรั่วไหลของก๊าซในอุตสาหกรรม ดังนั้นการหาวิธีระบุตำแหน่งของแหล่งกำเนิดกลิ้ง โดยใช้ข้อมูลที่วัดได้จากเซ็นเซอร์กลิ้งจึงเป็นสิ่งจำเป็น

1.2. ความมุ่งหมายและวัตถุประสงค์

เพื่อศึกษาและพัฒนาเทคนิคการคาดคะเนตำแหน่งของแหล่งกำเนิดกลิ้ง ซึ่งจะสามารถนำไปประยุกต์ใช้ได้หลากหลาย

1.3. สมมติฐานของการศึกษา

1. วิธีการ Unconstrained Optimization สามารถถูกใช้คาดคะเนตำแหน่งของแหล่งกำเนิดกลิ้งได้ จากข้อมูลที่วัดได้จากเซ็นเซอร์กลิ้งหลายตัว
2. โดยการจัดวางเซ็นเซอร์แต่ละตัวในรูปแบบที่เหมาะสม จะสามารถคาดคะเนตำแหน่งของแหล่งกำเนิดกลิ้งได้อย่างถูกต้องและแม่นยำมากขึ้น

1.4. ขอบเขตการดำเนินงาน

ศึกษาและพัฒนาอัลกอริธึมสำหรับระบุตำแหน่งของแหล่งกำเนิดกลิ้งด้วยวิธีการเชิงเลข (Numerical optimization) โดยใช้โปรแกรม MATLAB ในระยะเวลาตั้งแต่ตั้งแต่วันที่ 1 สิงหาคม 2559 จนถึงเดือน เมษายน 2560

1.5. ประโยชน์ที่คาดว่าจะได้รับ

วิธีการหาตำแหน่งของแหล่งกำเนิดกลิ้งที่พัฒนาขึ้นสามารถนำไปพัฒนาต่อยอดเพื่อนำไปใช้ได้จริงได้

บทที่ 2

ทฤษฎีที่เกี่ยวข้อง

2.1 การไหลของอากาศ และ การเคลื่อนที่ของกลิ่น

กลิ่นนั้นนับเป็นสัญญาณทางเคมี (Chemical signal) ที่เคลื่อนที่ผ่านตัวกลาง คือ อากาศ ด้วยเหตุนี้ความเข้มข้นของกลิ่นที่เคลื่อนที่จะได้รับผลกระทบจากรูปแบบการไหลของอากาศ จึงกล่าวได้ว่ารูปแบบการไหลดังกล่าวมีผลต่อการทำงานของเซ็นเซอร์กลิ่นเป็นอย่างมาก ดังนั้นการศึกษาพื้นฐานเกี่ยวกับการเคลื่อนที่ของกลิ่นจึงเป็นประโยชน์ต่อการใช้งานเซ็นเซอร์กลิ่น และต่อการพัฒนาอัลกอริทึม (Algorithm) เพื่อประมวลผลสัญญาณที่ได้จากเซ็นเซอร์กลิ่น รูปแบบการเคลื่อนที่ของกลิ่นจากที่หนึ่งไปยังอีกที่หนึ่งเป็นได้หลายรูปแบบ ดังนี้

2.1.1 การแพร่

หากสารเคมีในของไหลมีการกระจายอย่างไม่เท่ากัน (Unequal distribution) จะมีแนวโน้มที่สารเคมีนั้นจะเกิดการเคลื่อนที่ อันเป็นผลมาจากการเคลื่อนที่แบบสุ่มของโมเลกุล การเคลื่อนที่ของสารเคมีจากสาเหตุนี้เรียกว่า การแพร่ [5] ที่อุณหภูมิสูงกว่าศูนย์องศา ทุกๆโมเลกุลจะเคลื่อนที่ดังสมการของฟริก (Fick's law) โดยค่าความเร็วในการเคลื่อนที่แบบ RMS สามารถคำนวณได้จาก

$$RMS\ velocity = \sqrt{\frac{kT}{m}} \quad (2.1)$$

โดย k คือ ค่าคงที่ของโบลทซ์มันน์ (Boltzmann's constant) มีค่าเท่ากับ 1.380×10^{-23} J/deg K

T คือ อุณหภูมิ

m คือ มวลของโมเลกุลหนึ่งโมเลกุล

ณ จุดใดๆอัตราการแพร่กระจายจะเป็นสัดส่วนกับเกรเดียนต์ (Gradient) ของความเข้มข้น ณ จุดนั้น ดังสมการ

$$F_r = -AD \frac{dl}{dr} \quad (2.2)$$

โดย A คือ พื้นที่หน้าตัด

D คือ ค่าคงที่ของการแพร่ (m^2/s) โดยทั่วไปมีค่าเท่ากับ 2×10^{-5} ในอากาศและ 2×10^{-9} ในน้ำ สำหรับโมเลกุลขนาดเล็ก

F_r คือ ค่าฟลักซ์ในทิศทาง r

I คือ ความเข้มข้นของสารเคมี

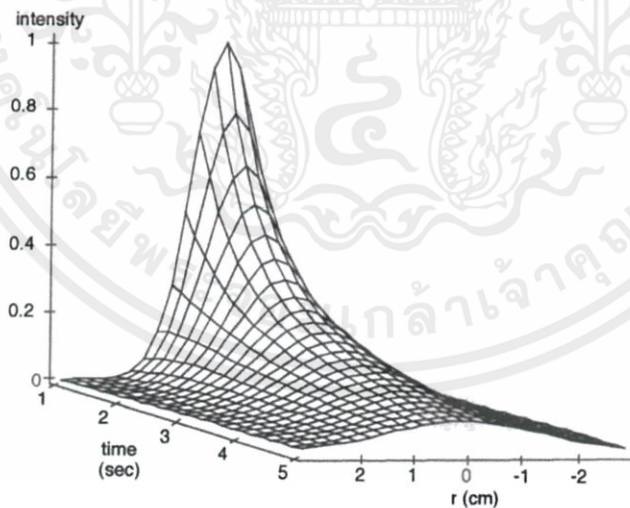
ถ้าสมมติว่ามีกลิ่นที่ถูกปล่อยด้วยปริมาณที่แน่นอน Q อย่างทันทีทันใด จะได้ว่าความเปลี่ยนแปลงของความเข้มข้น (Variation of intensity) ที่ห่างจากจุดที่ปล่อยกลิ่น r ที่เวลา t จะมีค่าเท่ากับ

$$I(r, t) = \frac{Q}{(4\pi Dt)^{\frac{d}{2}}} \exp\left(\frac{-r^2}{4Dt}\right) \quad (2.3)$$

โดย d = 1 สำหรับการแพร่ในหนึ่งมิติ

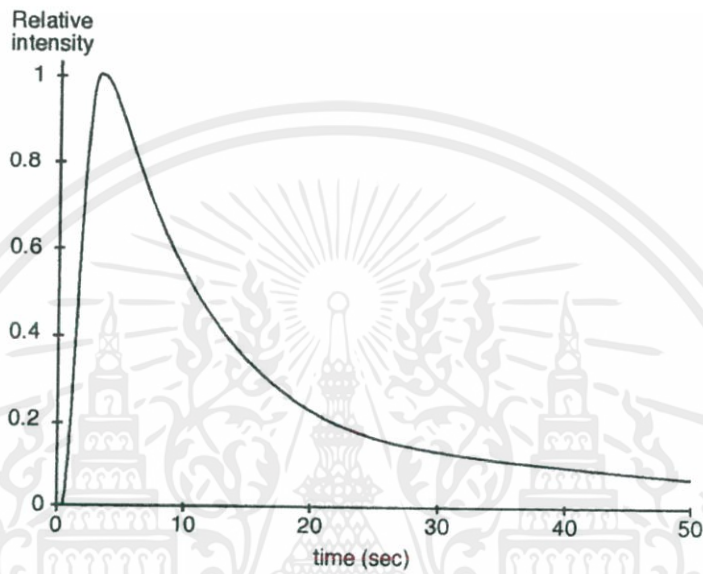
d = 2 สำหรับการแพร่ในสองมิติ

d = 3 สำหรับการแพร่ในสามมิติ



รูปที่ 2.1 ภาพตัดขวางของการเปลี่ยนแปลงความเข้มข้นตามเวลาจากแหล่งกำเนิดกลิ่นที่ปล่อยกลิ่นแบบทันทีทันใด

ภาพตัดขวางของการเปลี่ยนแปลงความเข้มข้นตามเวลาจากแหล่งกำเนิดกลืนที่ปล่อยกลืนแบบทันทีทันใดจะมีการกระจายแบบ Gaussian ในลักษณะสมมาตรดังแสดงในรูปที่ 2.1 โดยความเข้มข้นของกลืนจะมีค่ามากที่สุดที่เวลา $t = r^2/6D$ จากนั้นกลืนจะค่อยๆจางหายไปตามกราฟที่แสดงในรูปที่ 2.2



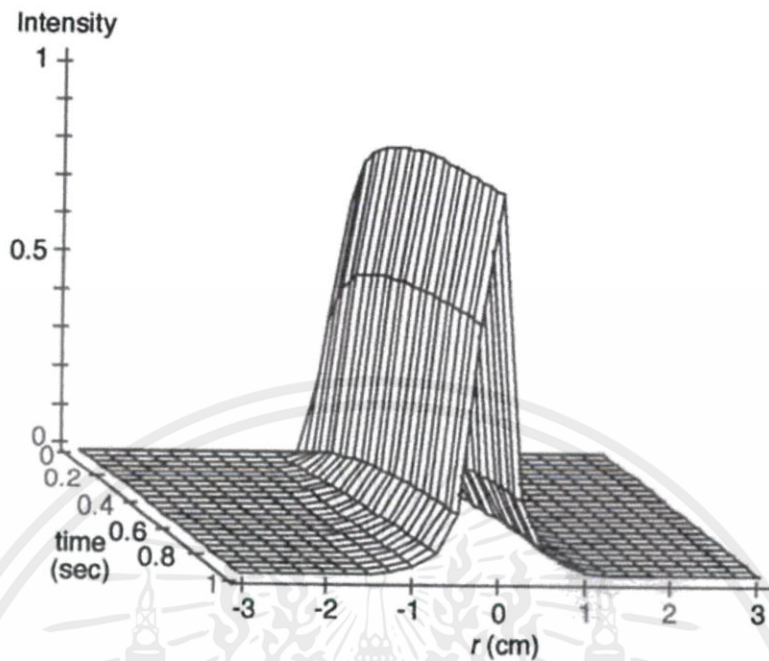
รูปที่ 2.2 ความเข้มข้นแบบสัมพัทธ์ของกลืนที่ระยะห่าง 2 เซนติเมตรจากจุดที่กลืนถูกปล่อยออกมาในปริมาณที่คงที่

สำหรับกรณีนี้ที่แหล่งกำเนิดกลืนปล่อยกลืนอย่างต่อเนื่อง F เช่น กลืนที่รั่วออกจากบรรจุภัณฑ์จะสามารถคำนวณหาความเข้มข้นได้จาก

$$I(r, t) = \frac{F}{(4\pi Dr)} \operatorname{erfc}\left[\frac{r}{(4Dt)^{1/2}}\right] \quad (2.4)$$

รูปที่ 2.3 แสดงถึงค่าความเข้มข้นที่ถูกปล่อยจากแหล่งกำเนิดกลืนที่ปล่อยอย่างต่อเนื่องโดยไม่มี การเคลื่อนที่ของของไหลในบริเวณดังกล่าว ความเข้มข้นของกลืนจะลดลงตามระยะห่างจากแหล่งกำเนิด ดังสมการ

$$I(r, \infty) = \frac{F}{4\pi Dr} \quad (2.5)$$



รูปที่ 2.3 ภาพตัดขวางของการเปลี่ยนแปลงความเข้มข้นตามเวลาจากแหล่งกำเนิดคลื่นที่ปล่อยคลื่นอย่างต่อเนื่อง

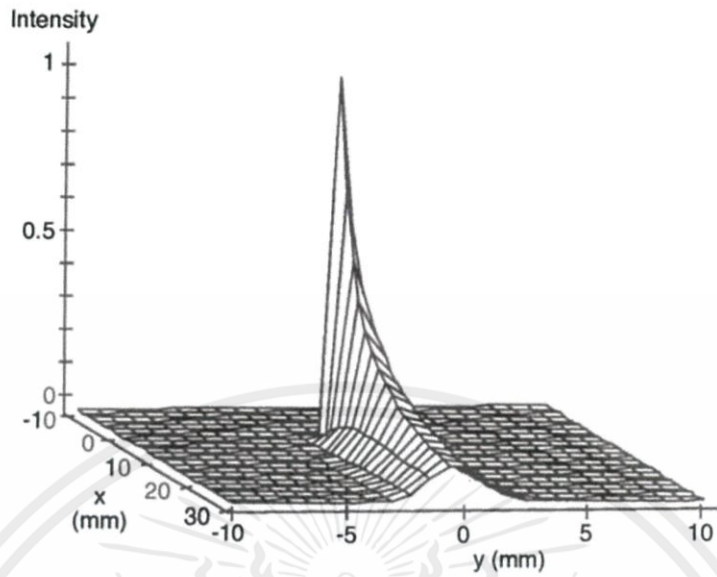
ถ้ามีของไหลไหลผ่านแหล่งกำเนิดคลื่นที่ปล่อยคลื่นอย่างต่อเนื่องด้วยอัตราการไหล ด้วยความเร็ว v จะคำนวณค่าความเข้มข้นได้จากสมการ

$$I(r, \theta) = \frac{J}{(4\pi r D)} \exp\left[-\frac{(1 - \cos(\theta))rv}{2D}\right] \quad (2.6)$$

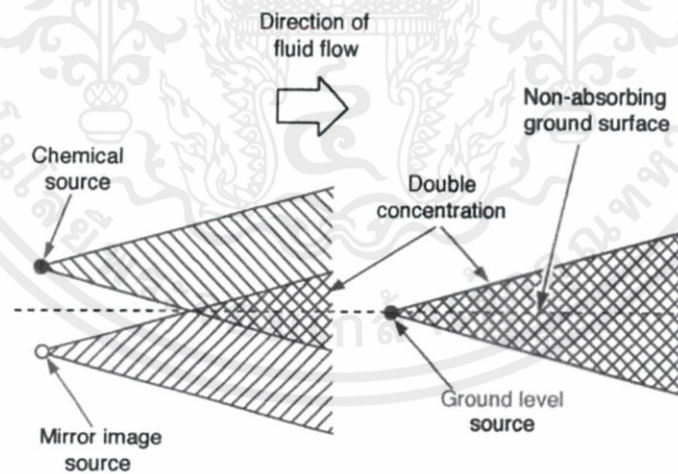
โดย r คือ ระยะทางระหว่างแหล่งกำเนิดกับจุดที่สนใจ

θ คือ มุมระหว่างจุดที่สนใจกับกับแหล่งกำเนิด

รูปที่ 2.4 แสดงถึงความเข้มข้นของคลื่นที่พุ่งออกมาจากแหล่งกำเนิดที่มีค่าคงที่ ไหลในแนวแกน x ค่าความเข้มข้นจะแปรผกผันกับระยะทางและเป็นอิสระต่อความเร็วการไหล



รูปที่ 2.4 ความเข้มข้นของกลิ่นที่ถูกปล่อยออกจากแหล่งกำเนิดที่ปล่อยอย่างต่อเนื่องและถูกพัดให้ไหลอย่างคงที่
 การไหลของอากาศและการเคลื่อนที่ของกลิ่น



รูปที่ 2.5 ผลจากการสะท้อนความเข้มข้นของสารเคมี

หากแหล่งกำเนิดคลื่นอยู่ใกล้กับผิวระนาบที่ไม่ดูดซับคลื่น ผิวระนาบดังกล่าวจะสะท้อนคลื่นไปยังอีกด้านหนึ่งทำให้ความเข้มข้นฝั่งที่สะท้อนเสมือนเป็นแหล่งกำเนิด ในกรณีที่แหล่งกำเนิดบนระนาบไปทับกับส่วนสะท้อนออกมาจะส่งผลให้ค่าความเข้มข้นคลื่นจะสูงเป็นสองเท่าดังแสดงในรูปที่ 6.5

อย่างไรก็ตามที่อธิบายมาถึงจุดนี้นั้นจะเป็นการสมมติว่าการเคลื่อนที่ของคลื่นเป็นการไหลแบบราบเรียบ (Laminar flow) ซึ่งพบได้ยากในสถานการณ์ทั่วไป มักพบในการไหลของของไหลที่มีความหนืดที่ความเร็วต่ำในช่องแคบๆ เท่านั้น การไหลของของไหลส่วนใหญ่จะเป็นแบบปั่นป่วน (Turbulent flow) [6] ด้วยเหตุนี้ในหัวข้อต่อไปจะอธิบายเกี่ยวกับการไหลแบบปั่นป่วน

2.1.2 การไหลแบบปั่นป่วน

การไหลแบบปั่นป่วนนั้นไว้มากและไม่สามารถคาดการณ์ได้ การไหลแบบปั่นป่วนเกิดจากอุปสรรคหรือกลไกวิธีการในการไหล นี่ทำให้เกิดแรงเฉือนที่จะพัฒนาในการไหลที่จะสร้างแรงบิดและมีแนวโน้มที่จะกระแสน้ำวน ถ้ามีแรงเหนียวมากพอพลังงานซึ่งเกิดจากกระแสน้ำวนจะถูกแปลงเป็นความร้อนและกระแสน้ำวนแบบราบเรียบ เมื่อผลกระทบบของความหนืดที่มีขนาดเล็ก กระแสน้ำวนจะพัฒนาเป็นเป็นการไหลแบบปั่นป่วน ความสมดุลของผลกระทบที่มีความหนืดและการหมุนเป็นตัวเลขของเรโนลด์ (Renold's number)

$$Re \equiv \frac{vL}{V} \quad (2.8)$$

โดย Re = Renold's number

L = ความยาวของกระแสน้ำวน (m)

v = ความเร็ว (m/s)

V = Kinematic viscosity

เมื่อ Renold's number ต่ำกว่า 2,000 ไหลราบเรียบและถ้าสูงกว่า 10,000 ในพื้นที่ขนาดใหญ่และความเหนียวการไหลปั่นป่วนต่ำ ช่วงกลางระหว่าง 2,000-10,000 อาจเป็นได้ทั้งราบเรียบหรือปั่นป่วน สำหรับการไหลขนาดเล็ก แรงหนืดและพลังงานจะเปลี่ยนเป็นความร้อน ขนาดแบบนี้จะเริ่มโดยใช้ L_k the Kolmogorov scale:

$$L_k = \left(\frac{v^3}{\varepsilon}\right)^{\frac{1}{4}} \quad (2.9)$$

ε คือ kinetic energy

$$\varepsilon = \left(\frac{v^3}{L}\right) \quad (2.10)$$

โดย L คือการไหลวนขนาดใหญ่ ขนาดขั้นต่ำของกระแสนวน สำหรับลม $v = 1$ m/s และ $Re = 2,000$ ขนาดคือ 3 cm. ในน้ำอัตราการไหล 0.1 m/s ขนาดคือ 2 cm. ผลลัพธ์ของข้อจำกัดของขนาดที่เล็กที่สุดของกระแสนวนคือต้องเป็นขั้นของการไหลของวัตถุแข็งที่ราบเรียบ กลิ่นสามารถผ่านได้อย่างราบเรียบโดยการแพร่เท่านั้น

2.1.3 การแสดงการไหลของอากาศ

เทคนิคการทดลองอย่างง่ายสำหรับการแสดงการไหลของอากาศรอบตัวหุ่นยนต์คือการแนะนำอนุภาคของแข็งหรือของเหลวขนาดเล็กในอากาศ (Pankhurst and Holder, 1952) ความสามารถของอนุภาคเพื่อสะท้อนหรือเกิดแสงทำให้มองเห็นได้ชัดเจน ถ้าอนุภาคกระจายที่มีขนาดเล็กเพียงพอแล้วมวลต่ำช่วยให้อนุภาคเปลี่ยนแปลงอย่างรวดเร็วในทิศทางของการไหลของอากาศ มวลต่ำยังช่วยให้มั่นใจว่าอนุภาคจะไม่ได้รับผลกระทบจากแรงโน้มถ่วง แต่เมื่อตรวจสอบการกระจายระเหยเราไม่ให้ความสนใจมากนักในการติดตามการเคลื่อนไหวของอากาศเป็นสารเคมีที่เป็นเส้นทางที่เป็นสารเคมีที่จะได้นำมาจากสารเคมีพร้อมดำเนินการทางอากาศ สารเคมีเหล่านี้อาจมีลบบเป็นกลางหรือบวกและความนึกคิดสื่อสร้างภาพจะมีลักษณะคล้ายกัน ในกรณีที่เหมาะสมสื่อสร้างภาพจะต้องมีคุณสมบัติดังต่อไปนี้

- ปลอดภัยและปลอดภัยที่จะใช้
- ไม่สร้างความเสียหายให้กับอุปกรณ์รวมทั้งไม่กัดกร่อน
- ง่ายต่อการผลิตและ
- ไม่แพง

แต่น่าเสียดายที่มากที่สุดชนิดของอนุภาคกระจายตัวในอากาศจะมีผลกระทบบางส่วนสำหรับคนที่มีการแพ้เฉพาะที่พวกเขาอาจจะสร้างความเสียหายมากต่อสุขภาพ

ในบทนี้จะได้นำเสนอสรุปครอบคลุมในแง่มุมของการไหลเวียนของอากาศที่เกี่ยวข้องกับการออกแบบของหุ่นยนต์กลิ้งตรวจจับหรือเซ็นเซอร์ การไหลจะมีผลต่อโลกของ microrobots ที่ทำงานในสถานที่คับแคบมากและการไหลของอากาศผ่านเซ็นเซอร์ขนาดเล็ก สำหรับหุ่นยนต์ขนาดใหญ่การไหลเวียนของอากาศส่วนใหญ่จะปั่นป่วนและขั้นตอนวิธีที่ตีความข้อมูลเซ็นเซอร์จะต้องคำนึงถึงจุดนี้ การใช้ค่าเฉลี่ยจากการพยายามที่จะเอาชนะความผันผวนของการอ่านเซ็นเซอร์ที่เกิดจากความวุ่นวายไม่เหมาะสม เพราะธรรมชาติของเศษส่วนของความวุ่นวายมักจะมีความผันผวนในค่าเฉลี่ย ภายใต้อาณัติของอากาศและการเคลื่อนไหวของกลิ้งไม่สามารถมองเห็นได้ นอกจากนี้ยังเป็นความจริงที่ว่าตัวตนของกลิ้งที่แตกต่างกันไม่สามารถกำหนดได้ด้วยสายตา นี่คือเหตุผลที่ว่าทำไมไม่มีการใช้งานเซ็นเซอร์กลิ้งมีความสำคัญซึ่งสามารถระบุและช่วยติดตามกลิ้งได้ ในระหว่างการพัฒนาาระบบเซ็นเซอร์เหล่านี้มักจะเป็นประโยชน์ที่จะเห็นภาพสารเคมีระเหยเพื่อยืนยันเส้นทางของกลิ้งและทราบว่าเซ็นเซอร์ทำงานได้อย่างถูกต้อง ในพื้นที่จำกัดการสร้างภาพโดยตรงเป็นเรื่องยากและการจำลองการไหลของของไหลอาจจะต้องใช้บริษัทจัดการให้ การจำลองการไหลของของไหลได้ถูกนำมาใช้ในการออกแบบของเซ็นเซอร์กลิ้งสำหรับการใช้งานหุ่นยนต์ [7]

2.2 การกระจายสัญญาณเคมี

กลุ่มควันสารเคมีที่ถูกปล่อยสู่สภาพแวดล้อมสามารถเป็นเหมือนประกาศการดึงดูดความสนใจเข้าสู่แหล่งกำเนิด และกระจายการแสดงความต้องการการกระทำบางอย่าง ในหลายครั้งการกระทำนั้นมักจะเป็นการแสดงตำแหน่งของแหล่งกำเนิด ตัวอย่างในเชิงชีวภาพของการแสดงแหล่งกำเนิดกลิ้งในบทที่ 3 อธิบายว่าตัวใหม่ใช้การกระจายสัญญาณเคมีเพื่อทำให้ตัวผู้สามารถหาตำแหน่งของตัวเมียได้ ในระหว่างการสืบพันธุ์ Allomyces (โมลด์น้ำชนิดหนึ่ง) จะปล่อยสัญญาณเคมีในรูปแบบคล้ายกันเพื่อช่วยรวบรวมอวัยวะสืบพันธุ์ของทั้งตัวผู้และตัวเมีย

ในการประยุกต์ใช้กับหุ่นยนต์ เทคนิคการแสดงตำแหน่งเหล่านี้สามารถนำไปใช้ค้นหาสารเคมีอันตรายหรือสารกัมมันตรังสีที่รั่วไหลได้ จะไม่มีปัญหาทางจริยธรรมในการส่งหุ่นยนต์เข้าไปในสถานการณ์ที่อันตราย ยิ่งไปกว่านั้นยังสามารถสร้างหุ่นยนต์ที่เอาตัวรอดในรังสีหรือสารพิษความเข้มข้นสูงได้ ซึ่งการป้องกันให้นักสำรวจที่เป็นมนุษย์ในสภาพการณ์ร้ายแรงนั้นจะทำได้ยากกว่า

หลังจากฝั่งตัวหนึ่งตาย ร่างกายของมันจะปล่อยกรดไขมัน (กรดโอเลอิก) ในขณะที่มันเน่า สารเคมีชนิดนี้จะเป็นสัญญาณให้ฝั่งงานกำจัดร่างของมันออกจากรัง การกระทำนี้เป็นการร่วมแรงกันโดยเมื่อพวกมันตรวจเจอกรดโอเลอิก ฝั่งงานแต่ละตัวจะย้ายศพในระยะสั้นๆไปสู่ทางเข้ารัง ผลสุดท้ายคือฝั่งที่ตายจะถูกผลัดออกมาจากรัง ปฏิกริยานี้ช่วยลดการแพร่เชื้อจากศพได้เป็นอย่างดี มัน

ง่ายที่จะจินตนาการถึงการปล่อยพีโรโมนโดยระบบหุ่นยนต์ในรูปแบบสัญญาณคล้ายกัน หุ่นยนต์ที่ได้รับความเสียหายอย่างรุนแรง เช่น พลังงานหมด สามารถเรียกหาความช่วยเหลือด้วยการปล่อยสารระเหยออกมา ในการทำงานปกติ พลังงานจากแบตเตอรี่จะคุมให้แคปซูลของสารเคมีปิดอยู่ เมื่อพลังงานจากแบตเตอรี่หมด แคปซูลจะเปิดโดยอัตโนมัติ โดยสารเคมีจะถูกปล่อยสู่อากาศไปถึงหุ่นยนต์สำหรับกู้ชีพและซ่อมแซม หุ่นยนต์เหล่านี้จะตรวจจับสารเคมีได้จากระยะไกล และในสถานการณ์ที่จำกัด ซึ่งการกระจายสัญญาณวิทยุใช้ไม่ได้ผล การตามกลุ่มเมฆเคมีจะนำทางไปสู่หุ่นยนต์ที่ได้รับความเสียหาย

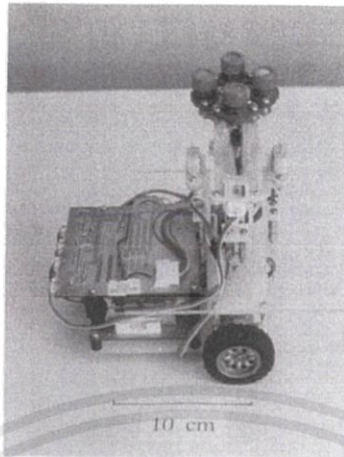
2.3 วิธีการหาแหล่งกำเนิดกลิ่น

2.3.1 เซ็นเซอร์ 2 ตัว สำหรับการบอกตำแหน่งแหล่งกำเนิดกลิ่น

2 ระบบเซ็นเซอร์ที่คิดค้นใหม่สำหรับการบอกตำแหน่งแหล่งกำเนิดกลิ่นได้ถูกพัฒนาโดย Hiroshi Ishida และเพื่อนร่วมงานที่ Tokyo Institute of Technology พวกเขายังได้คิดอัลกอริธึมมากมายที่ใช้ข้อมูลจากเซ็นเซอร์เพื่อนำทางหุ่นยนต์ไปสู่แหล่งกำเนิดของสารระเหย แรงบันดาลใจสำหรับเซ็นเซอร์และอัลกอริธึมมาจากการตามฟีโรโมนของตัวไหม พวกเขารายงานว่างานก่อนหน้านี้ใช้ข้อมูลจากเซ็นเซอร์แก๊ส 2 ตัว เพื่อนำทางหุ่นยนต์โดยไม่วัดทิศทางลมและให้ผลการทดลองที่ไม่ดี มันจึงถูกสรุปว่าข้อมูลเกี่ยวกับลมนั้นมีความสำคัญเท่าๆกับความเข้มข้นของกลิ่นเพื่อการบอกตำแหน่งของแหล่งกำเนิดกลิ่น

2.3.1.1 เซ็นเซอร์ที่รวมทั้งกลิ่นและทิศทางลม

เพื่อรวมการตรวจจับกลิ่นและทิศทางลม ผู้เขียนได้สร้างอาร์เรย์ของเซ็นเซอร์โดยใช้ เซ็นเซอร์ลม F6201-1 4 ตัว ผลิตโดย Shibaura Electronics Co. Ltd. และ เซ็นเซอร์แก๊ส TGS822 [8] แผนภาพส่วนประกอบหลักของระบบเซ็นเซอร์นี้แสดงในรูปที่ 2.6

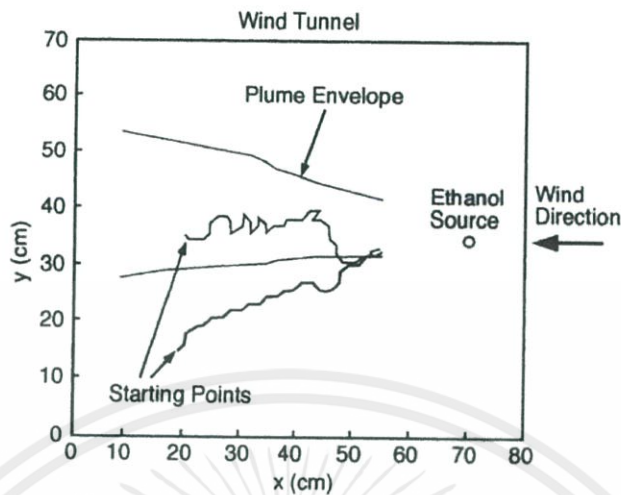


รูปที่ 2.6 การไล่ระดับสีความเข้มข้นของสารเคมีและทิศทางลมเซ็นเซอร์ติดตั้งอยู่บนหุ่นยนต์ขนาดเล็ก

เซ็นเซอร์ลมติดอยู่กับเสากลาง และด้วยเหตุนี้ทำให้เซ็นเซอร์ที่อยู่ในตำแหน่งใต้ลมจะวัดค่าความเร็วลมได้ต่ำที่สุด ผลกระทบนี้ใช้วัดทิศทางลมได้ 90 องศา เพื่อการแสดงผลการไหลของอากาศที่แม่นยำขึ้น ทิศทางลมได้ถูกปรับเพิ่มขึ้น 45 องศา ผลของค่าที่อ่านจากเซ็นเซอร์ลมถูก normalize และบันทึก ทิศทางลมสามารถพิจารณาให้อยู่ใน 45 องศาได้ด้วยการหาคู่ที่เหมาะสมระหว่างค่าจริงกับค่าที่เก็บไว้ โดยดูจากระยะทางยูคลิเดียนที่น้อยที่สุดในรูปที่ 2.6 แสดงการรวมของเซ็นเซอร์กลิ่นและทิศทางลมที่ติดตั้งบนหุ่นยนต์ เมื่อทิศทางลมได้ถูกตัดสินใจ ดังนั้นกราฟความเข้มข้นของสารเคมีตั้งฉากกับทิศทางลมสามารถถูกประมาณได้ กราฟความเข้มข้นนี้หาได้โดยหาผลต่างของข้อมูลจากเซ็นเซอร์แก๊ส 2 ตัว ที่อยู่ในทิศทางลมที่ต้องการ การใช้ข้อมูลการไหลของอากาศและกราฟความเข้มข้นของสารเคมีทำให้เกิด 2 อัลกอริธึมเพื่อนำทางไปสู่แหล่งกำเนิดสารเคมี

2.3.1.2 อัลกอริธึมแรก – วิธีแบบ Step-by-Step

ใจความของอัลกอริธึมนี้คือ หุ่นยนต์เลือกมุ่งไปทางเหนือลมที่ถูกแสดงด้วยเซ็นเซอร์ลม และตรงไปทางกึ่งกลางของกลุ่มเมฆสารเคมีที่ถูกแสดงด้วยการอ่านค่ากราฟความเข้มข้นจากเซ็นเซอร์แก๊ส เมื่อตัดสินใจได้แล้วจึงเคลื่อนที่ไป 2 ซม. ในทิศทางนี้ เส้นทางของหุ่นยนต์ประกอบด้วยลำดับของการตรวจจับ-เคลื่อนที่



รูปที่ 2.7 หุ่นยนต์โปรโตโดยใช้อัลกอริทึม step-by-step

ความเร็วของลมทำให้กลุ่มเมฆสารเคมีแปรปรวน และทำให้ยากต่อการแสดงกราฟเดี่ยวของสารเคมีที่เชื่อถือได้ที่ความเข้มข้นต่ำ เมื่อค่าความเข้มข้นที่อ่านได้ลดต่ำกว่าค่า threshold หุ่นยนต์จะหยุดและรองนกว่าจะอ่านค่าที่สูงกว่าได้ การควบคุมนี้ถูกทดสอบที่ความเร็วลม 20 ซม./วินาที และอากาศอัดด้วยไอเอธานอลที่ถูกปล่อยด้วยอัตรา 150 มล./นาที ภายใต้สภาวะเหล่านี้ แหล่งกำเนิดเอธานอลถูกจำกัดในรัศมีประมาณ 0.5 เมตร ผลการทดลอง 2 ครั้ง ที่ใช้อัลกอริทึมแบบ Step-by-Step ถูกแสดงในรูปที่ 2.7 ถ้าความเร็วลมหรืออัตราการปล่อยแก๊สถูกลดลง จะทำให้เกิดการนำทางผิดพลาดมากขึ้น

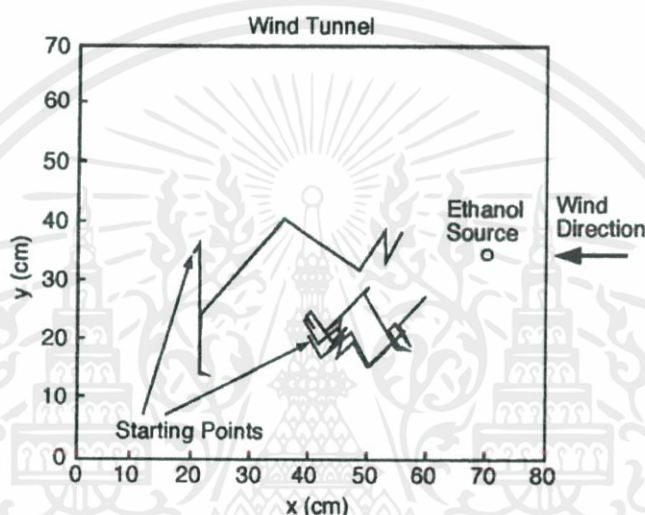
2.3.1.3 อัลกอริทึมที่สอง – วิธีแบบซิกแซก (Zigzag)

สำหรับอัลกอริทึมนี้ หุ่นยนต์ถูกโปรแกรมให้วิ่งเฉียงเต็มความกว้างของกลุ่มเมฆเคมี เมื่อไปถึงขอบด้านไกล หุ่นยนต์จะเปลี่ยนทิศทางเพื่อตัดไปที่ขอบตรงข้าม ในการกวาดแต่ละครั้ง เส้นทางเฉียงจะทำมุมไปทางเหนือลม เพื่อให้หุ่นยนต์มุ่งไปสู่แหล่งกำเนิดกลิ่น ถ้าหุ่นยนต์หลงจากกลุ่มเมฆ มันจะถอยหลังจนตรวจจับสารเคมีได้อีกครั้ง ความเร็วลมที่ 12 ซม./วินาที และอัตราการปล่อยเอธานอลที่ 75 มล./นาที ถูกใช้ระหว่างการทดสอบวิธีซิกแซก อัลกอริทึมนี้ทำงานถูกต้องเมื่อหุ่นยนต์เริ่มต้นที่ตำแหน่งภายในกลุ่มเมฆ และเส้นทางของกลุ่มเมฆไม่มีการแปรปรวนมากนัก รูปที่ 2.8 แสดง 2 เส้นทาง ที่หุ่นยนต์ตามกลุ่มเมฆไปได้สำเร็จเมื่อใช้อัลกอริทึมซิกแซก

มีรายงานว่าด้วงขี้ควาย (Dung beetle, *Geotrupes stercorarius*) ใช้อัลกอริทึมคล้ายกันในระยะสุดท้ายที่มันหามูลวัว (Burkhardt, et al., 1967) เมื่อพยายามจะหากกลุ่มเมฆของกลิ่นจากมูลวัว

สด มันจะบินฝ่าลมในเส้นทางวน เมื่อตรวจพบกลิ่นนั้น มันจะซิกแซกเฉียงไปตามกลุ่มเมฆ เลี้ยวกลับทุกครั้งที่มันเลยจากขอบของกลุ่มเมฆ เมื่อกลุ่มเมฆหมดลงมันจะอยู่เหนือกองมูลพอดี เมื่อเมฆกลับแคบลง ความถี่ของการเลี้ยวเพิ่มขึ้นจะเตือนว่ามันเข้าใกล้เป้าหมายแล้ว

ทั้งอัลกอริทึม Step-by-Step และซิกแซกจะทำงานได้ไม่ดีที่ความเร็วลมต่ำกว่า 2-3 ซม./วินาที เหตุผลหลักคือเซ็นเซอร์ลมจะไม่ให้ข้อมูลที่นำเชื่อถือที่ความเร็วลมต่ำ จากสถานการณ์นี้ เซ็นเซอร์แบบ Active Sampling จึงถูกคิดค้นขึ้น



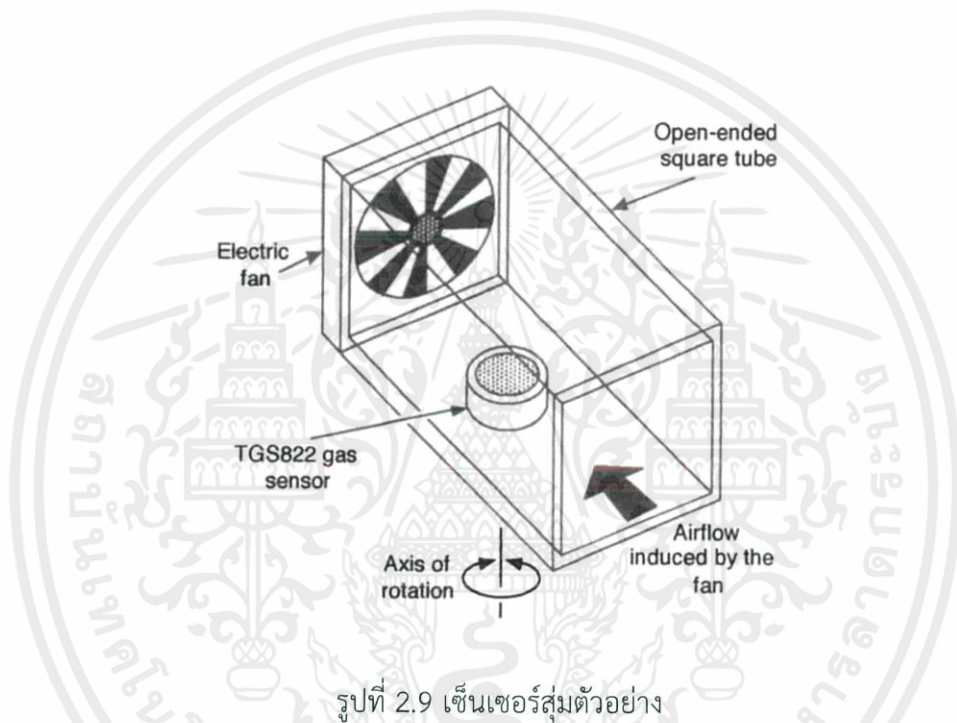
รูปที่ 2.8 หุ่นยนต์โบร์ทโดยใช้อัลกอริทึมแบบซิกแซก

2.3.1.4 เซ็นเซอร์แบบ Active Sampling

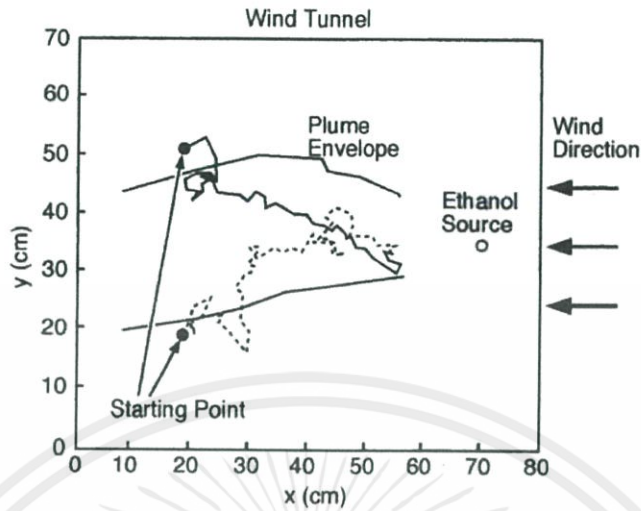
มีการสำรวจว่าตัวไหมตัวผู้กระพือปีกเมื่อถูกกระตุ้นด้วยฟีโรโมนของตัวเมีย (Bombykol) การกระพือปีกจะพาลมเข้าสู่หนวดของมันและผ่านไปด้านหลัง จึงมีความคิดว่าการกระพือปีกนี้ช่วยให้มันรู้ทิศทางไปสู่แหล่งกำเนิดฟีโรโมน เมื่อมันกำลังมุ่งหน้าสู่แหล่งกำเนิด การกระพือปีกจะทำให้มันตรวจพบฟีโรโมนมากขึ้น หากมันกำลังมุ่งหน้าไปทางอื่น การกระพือปีกจะพัดฟีโรโมนออกไป ทำให้มันตรวจพบน้อยลง ในการที่จะตรวจสอบการหาทิศทางด้วยการกระพือปีก Hiroshi Ishida และเพื่อนร่วมทีม (1996) ได้ออกแบบเซ็นเซอร์แบบ Active Sampling โดยใช้พื้นฐานจากเรื่องนี้ ในเซ็นเซอร์มีพัดลมเพื่อสร้างการไหลของอากาศ และเซ็นเซอร์แก๊ส TGS822 ใช้กลิ่นเอทานอลเป็นเป้าหมายในการทดลอง โครงร่างของเซ็นเซอร์ถูกแสดงในรูปที่ 2.9 การตอบสนองของเซ็นเซอร์แสดงถึงการลดลงอย่างมีนัยเมื่อเซ็นเซอร์ขึ้นไปในทิศออกจากแหล่งกำเนิด คุณสมบัตินี้ถูกใช้เป็นพื้นฐานของอัลกอริทึมตามแหล่งกำเนิดกลิ่นอย่างง่าย

อัลกอริธึม:

- หมุนเซ็นเซอร์ 360 องศา ด้วยอัตรา 30 องศา/วินาที ในขณะที่เก็บค่าจากแก๊สเซ็นเซอร์
- เคลื่อนที่หุ่นยนต์ 2 ซม. ในทิศทางที่แก๊สเซ็นเซอร์วัดค่าได้มากที่สุด ด้วยความเร็ว 1 ซม./วินาที
- ทำซ้ำ



หุ่นยนต์ที่ใช้เซ็นเซอร์ Active Sampling ประสบความสำเร็จในการตามหาแหล่งกำเนิดเอธานอลโดยใช้อัลกอริธึมนี้ ผลการทดลอง 2 ครั้ง ถูกแสดงในรูปที่ 2.10 อย่างไรก็ตาม เพราะเวลานานในการตรวจสอบแบบ 360 องศา ทำให้ความเร็วของหุ่นยนต์ค่อนข้างช้า (14 วินาทีต่อการตรวจจับและเคลื่อนที่) ยังพบอีกว่าการตอบสนองแบบมีทิศทางของเซ็นเซอร์มีความแคบ แสดงให้เห็นว่าเอาต์พุตของระบบเซ็นเซอร์จะขึ้นอยู่กับโครงสร้างตามแนวตั้งของกลุ่มเมฆ เพื่อลดความไม่มีอิสระนี้บนโครงสร้าง 3 มิติของกลุ่มเมฆ เซ็นเซอร์ Active Sampling ที่รับมุดได้กว้างขึ้นถูกพัฒนาโดยใช้พัดลมหลายตัว [9]



รูปที่ 2.10 ผลลัพธ์ของการกำจัดแหล่งกำเนิดกลิ่นโดยใช้เซ็นเซอร์สู่มตัวอย่าง

2.3.2 สรุป

หัวข้อของบทนี้คือการกระจายสัญญาณเคมีที่ถูกพาจากแหล่งกำเนิดด้วยการแพร่ และ/หรือ การไหลของของเหลวรอบๆ แม้ว่าสัญญาณแบบนั้นสามารถสื่อความหมายได้หลายแบบ เช่น เป็นสัญญาณเตือนเพื่อเรียกหาการช่วยเหลือ หรือเพื่อให้ระวังอันตราย (Agosta, 1992) การใช้งานที่แพร่หลายที่สุดคือเป็นเหมือนประกาศการเตือนภัยให้เข้าหา การกระทำของแหล่งกำเนิดสารเคมีไม่ว่าจะเป็นความตั้งใจหรือไม่ตั้งใจดูให้สิ่งมีชีวิตรอบๆ เข้าหามัน การหาแหล่งกำเนิดของการกระจายสารเคมีเป็นหัวข้อการวิจัยที่ได้รับความนิยมสูงสุดในเรื่องของการตรวจจับสารเคมีด้วยระบบหุ่นยนต์ และทุกระบบหุ่นยนต์ในบทนี้ถูกออกแบบมาเพื่อการนั้น มีการประยุกต์ใช้เทคโนโลยีนี้ในทางปฏิบัติหลายแบบ รวมถึงการค้นหา , อาหารผิดกฎหมาย, ระเบิด และเหยื่อจากแผ่นดินไหว, การเลื่อนของเปลือกโลก, ฯลฯ ปัจจุบัน สัตว์โดยเฉพาะสุนัขได้ถูกใช้ในงานเหล่านี้ ด้วยการพัฒนาระบบหุ่นยนต์ที่มากพอ จะสามารถทำงานเหล่านั้นได้โดยไม่ต้องฝึกสัตว์ และไม่ต้องใช้ผู้ควบคุมที่มากประสบการณ์

2.4 การประมาณค่าในช่วง (Interpolation)

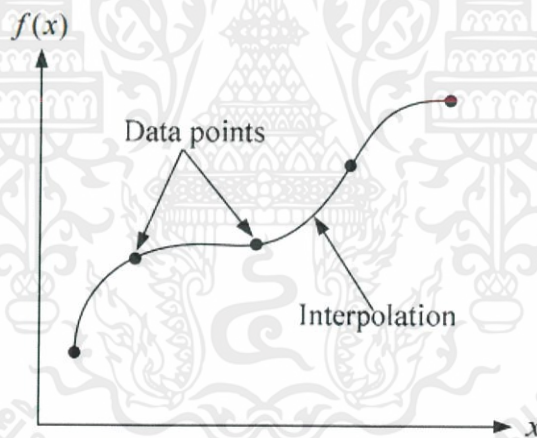
เมื่อพิจารณาปัญหาทางวิศวกรรม รวมถึงการทดลองทางวิทยาศาสตร์ต่างๆ เราจะพบว่าข้อมูลที่เราได้ โดยส่วนใหญ่จะเป็นจุดไม่ต่อเนื่อง (discrete points) เราอาจมีความต้องการที่จะวาดเส้นกราฟที่ต่อเนื่องผ่านจุด เหล่านั้น (to fit a curve over those data points) เพื่อเป็นการอธิบาย

ข้อมูล หรือต้องการทราบค่าที่อยู่ระหว่างจุด ของข้อมูลที่เรามีในทางวิศวกรรมจะอาศัยเทคนิคที่เรียกว่า curve fitting ซึ่งสามารถกระทำได้ 2 แนวทางคือ

1. Interpolation
2. Regression

(1) วิธีการ Interpolation เราจะลากเส้นกราฟ (ซึ่งก็คือ ฟังก์ชัน) ผ่านจุดทุกจุดของข้อมูลที่มี (ดูรูปที่ 2.11 ประกอบ) เทคนิคนี้เหมาะสำหรับจุดข้อมูลที่เราทราบ หรือแน่ใจว่ามีความถูกต้องสูง เช่น ข้อมูลที่ได้จากการ คำนวณที่ซับซ้อน หรือได้จากการทำการทดลองตามวิธีมาตรฐานด้วยเครื่องมือวัดที่มีความถูกต้องสูง (ซึ่งมีค่าใช้จ่าย ในการวัดสูงด้วย ซึ่งเป็นสาเหตุหนึ่ง ที่ไม่สามารถวัดออกมาได้หลายๆ จุด) เป็นต้น ในบทนี้เราจะกล่าวถึง เทคนิคการ Interpolation 3 วิธีต่อไปนี้

- Newton's Interpolating Polynomials
- Lagrange Interpolating Polynomials
- Splines

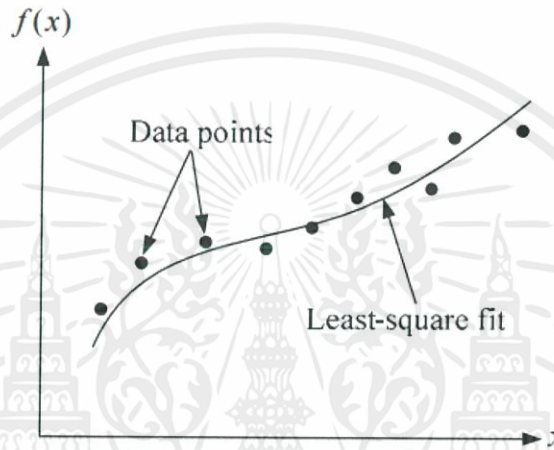


รูปที่ 2.11 กราฟของเทคนิคการ Interpolation

(2) วิธีการ Regression เราจะสร้างเส้นกราฟ หรือลาก curve ให้ผ่านจุดข้อมูลที่เรามีให้มากที่สุดโดยเส้นกราฟ ที่สร้างขึ้นจะเป็นตัวแทนของข้อมูล บอกว่าข้อมูลมีความสัมพันธ์กันแบบใดหรือมีแนวโน้ม จะเปลี่ยนแปลงไป อย่างไรเมื่อปริมาณในแกนหนึ่งเพิ่มขึ้น เทคนิคนี้จะเหมาะกับ ข้อมูลที่ได้จากการทดลอง (experimental data) โดยเฉพาะข้อมูลจากการทดลองภาคสนาม (ซึ่งมีความแปรปรวน ได้มาก) เราอาจรู้จักเทคนิคนี้ในชื่อ Least Square Regression เทคนิคนี้ยังแบ่งย่อย ออกเป็นหลายวิธี

เช่น

- Linear Regression
- Nonlinear Regression
- Polynomial Regression
- Multiple Regression

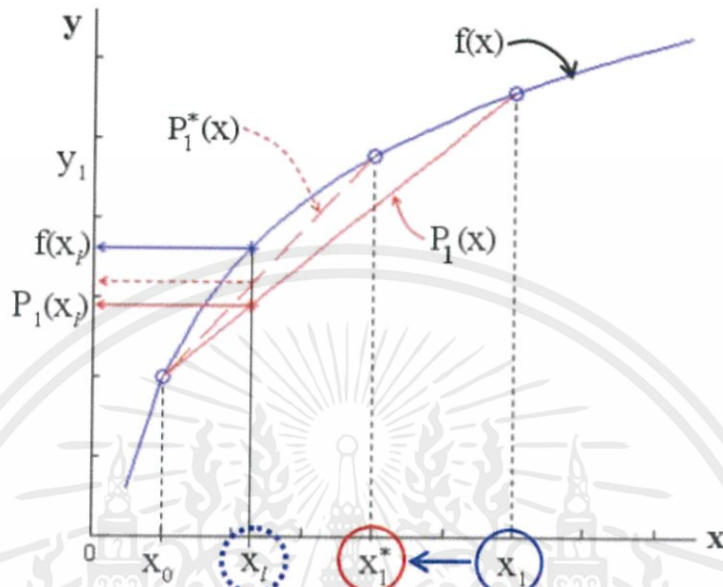


รูปที่ 2.12 กราฟของเทคนิค Least Square Regression

2.4.1 การประมาณค่าในช่วงแบบเชิงเส้น (Linear Interpolation)

จากกราฟรูปที่ 2.13 มีความสัมพันธ์ระหว่าง 2 ปริมาณ (x กับ y) ตามธรรมชาติที่ต้องการทราบ กำหนดให้เป็น ฟังก์ชัน $f(x)$ แต่เนื่องจากข้อมูลจากการศึกษาและทดลองของมีจำกัด จึงอาจทราบข้อมูลเพียง 2 จุดเท่านั้น คือจุด (x_0, y_0) กับ จุด (x_1, y_1) สามารถสร้างสมการ เส้นตรงที่ unique ผ่านจุดทั้งสองนี้สมการเส้นตรงที่หาได้กำหนดให้เป็นสมการ $y = P_1(x)$ ที่นิยามในช่วง $X \in [x_0, x_1]$ หากต้องการทราบค่าของฟังก์ชัน $f(x_i)$ ที่ตำแหน่ง x ใดๆ กำหนดให้เป็น x_i ดังรูปที่ 2.13 ในที่นี้ จะพบว่าจุดต่างๆ บนแกน x เรียงตัวกันดังนี้คือ $x_0 < x_i < x_1$ เนื่องจากไม่ทราบ $f(x)$ ในธรรมชาติ เพียงแค่มีจุดข้อมูล 2 จุดและสมการเส้นตรงที่ผ่าน 2 จุดนั้น จึงทำการประมาณฟังก์ชันจริงในธรรมชาติด้วย ฟังก์ชันหรือสมการเส้นตรงที่สร้างขึ้น $f(x) \approx P_1(x)$ ฉะนั้นค่าของฟังก์ชันที่สนใจ $f(x_i)$ ก็จะประมาณได้ ด้วย $P_1(x_i)$ นั่นเอง สมการหลัก (key function) ที่ใช้อธิบายกราฟเส้นตรงผ่านจุด 2 จุดคือ สมการเส้นตรง หรือสมการ Polynomial อันดับหนึ่ง เขียนได้ดังสมการ

$$f(x) \approx P_1 x = f(x_0) + \frac{f(x_1) - f(x_0)}{x_1 - x_0} (x - x_0) \quad (2.11)$$



รูปที่ 2.13 กราฟการประมาณค่า $f(x_i)$ ด้วยฟังก์ชันพหุนามอันดับหนึ่ง

รูปที่ 2.13 สนใจค่าของฟังก์ชันที่ตำแหน่ง x_i ซึ่งอยู่ระหว่าง x_0 กับ x_1 เมื่อคำนวณหาสมการเส้นตรงตาม สมการ (2.11) จะได้สมการ $P_1(x)$ ค่าฟังก์ชันในตำแหน่งที่สนใจจะมีค่า $f(x_i) \approx P_1(x_i)$ หากกำหนดช่วง ข้อมูลที่ศึกษาให้แคบลงจาก x_1 เป็น x_1^* เมื่อคำนวณหาสมการเส้นตรงในช่วง $x \in [x_0, x_1^*]$ จะได้ สมการ $P_1^*(x)$ และได้ค่าฟังก์ชันเท่ากับ $f(x_i) \in P_1^*(x_i)$ ซึ่งจะเข้าใกล้ค่าจริง $f(x_i)$ มากกว่า จะเห็นได้ว่าช่วงข้อมูล (interval) ที่มีความยาวต่างกัน ก็จะมีผลต่อความถูกต้องในการคำนวณหรือประมาณค่าฟังก์ชันที่ตำแหน่ง x_i แตกต่างกันไปด้วย

2.5 การประมาณค่าต่ำสุดด้วยวิธี Unconstrained Optimization ของ Nelder-Mead

วิธีการ Nelder-Mead คือวิธีการเชิงเลขที่ถูกใช้อย่างแพร่หลาย เช่นสำหรับโปรแกรม MATLAB สามารถเรียกใช้ได้ด้วยฟังก์ชัน `fminsearch` เพื่อหาค่าสูงสุดหรือต่ำสุดของฟังก์ชันในหลายมิติ (multidimensional space) ใช้งานได้กับการ Optimize แบบไม่เป็นเชิงเส้น (nonlinear optimization) ซึ่งไม่สามารถหาการอนุพันธ์ได้ ถูกคิดค้นโดย John Nelder และ Roger Mead ในปี 1965

วิธีการนี้ใช้หลักการของซิมเพล็กซ์ สำหรับสมการ 2 ตัวแปร รูปแบบของซิมเพล็กซ์จะเป็นสามเหลี่ยม โดยมีการเปรียบเทียบค่าของฟังก์ชันกับจุดยอดของสามเหลี่ยมนั้น ซึ่งจุดยอดที่มีค่ามากที่สุดจะถูกกำจัดและแทนที่ด้วยค่าที่น้อยกว่า ซึ่งมีขั้นตอนดังนี้

1. สร้างสามเหลี่ยมเริ่มต้น (BGW)

ให้ $f(x,y)$ เป็นฟังก์ชันที่จะหาค่าต่ำสุด และเลือกจุด 3 จุดเพื่อเป็นจุดยอดของสามเหลี่ยม จากนั้นหาค่าจากฟังก์ชัน 3 ค่า จากจุดเหล่านั้น โดยกำหนดให้

$$z_k = f(x_k, y_k) \text{ เมื่อ } k = 1, 2, 3 \text{ และ } z_1 \leq z_2 \leq z_3$$

จุดยอดของสามเหลี่ยมคือ $B = (x_1, y_1)$, $G = (x_2, y_2)$ และ $W = (x_3, y_3)$

2. หากึ่งกลางของด้านที่ดี (M)

จุดที่ดีที่สุด 2 จุด คือ B และ G ซึ่งจะให้ค่าฟังก์ชันที่น้อยที่สุด 2 ค่า โดยที่

$$M = \frac{B + G}{2} = \left(\frac{x_1 + x_2}{2}, \frac{y_1 + y_2}{2} \right) \quad (2.12)$$

3. การสะท้อนด้วยจุด R

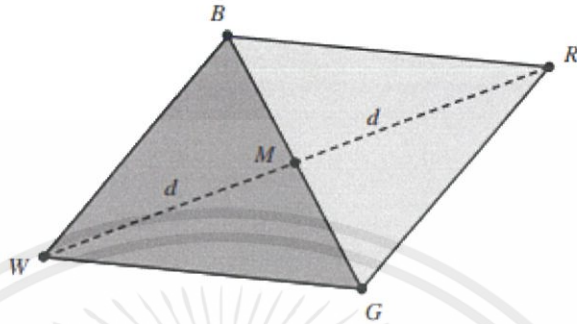
ค่าของฟังก์ชันจะลดลงจากจุด W ไปทางจุด B และ G ดังนั้นจึงมีความเป็นไปได้ที่ค่าของฟังก์ชันจะลดลงเมื่ออีกเมื่อข้ามเส้นตรง BG โดยที่

$$R = M + (M - W) \quad (2.13)$$

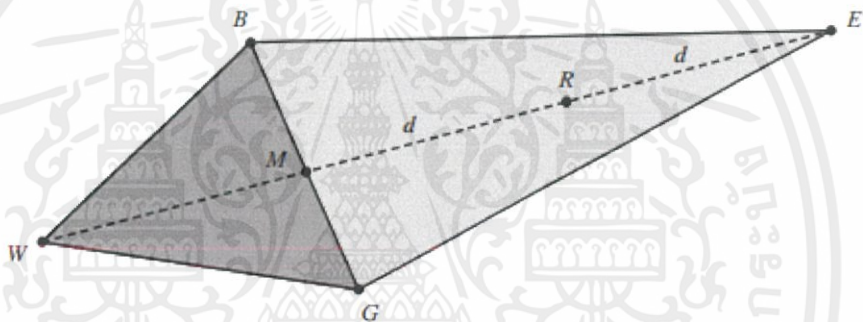
4. การขยายด้วยจุด E

หากค่าของฟังก์ชันที่จุด R น้อยกว่าค่าของฟังก์ชันที่จุด W จะสามารถเลื่อนไปได้ถึงจุด E โดยที่

$$E = R + (R - M) \quad (2.14)$$

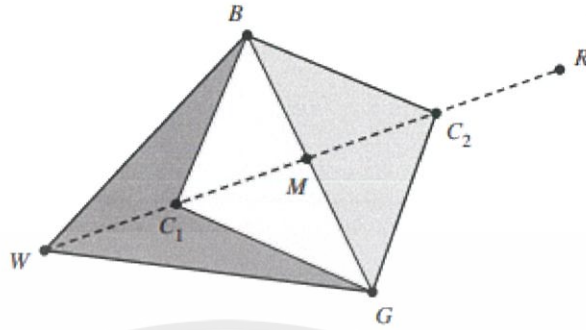


รูปที่ 2.14 สามเหลี่ยม BGW จุดกึ่งกลาง M และจุดสะท้อน R

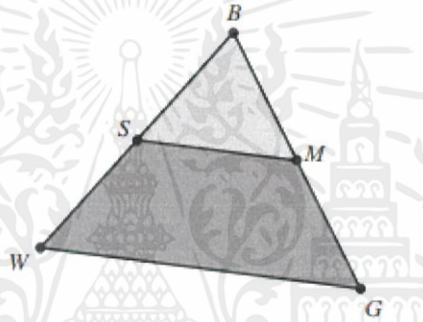


รูปที่ 2.15 สามเหลี่ยม BGW และจุด E

5. การหดไปที่จุด C
หากค่าของฟังก์ชันที่จุด R เท่ากับค่าของฟังก์ชันที่จุด W จะต้องทดสอบที่จุดอื่นแทน โดยเราสามารถเลื่อนไปที่จุด C_1 หรือ C_2 ซึ่งเป็นจุดกึ่งกลางของเส้นตรง WM และ MR ตามลำดับ
6. หดไปที่จุด B
หากค่าของฟังก์ชันที่จุด C ไม่น้อยกว่าค่าของฟังก์ชันที่จุด W ดังนั้นจุด G และ W ต้องถูกหดเข้าหาจุด B โดยแทนจุด G ด้วยจุด M และแทนที่จุด W ด้วยจุด S ซึ่งเป็นจุดกึ่งกลางของเส้นตรง BW



รูปที่ 2.16 การหดไปที่จุด C_1 หรือ C_2



รูปที่ 2.17 การหดสามเหลี่ยมเข้าหาจุด B

บทที่ 3

การวัดความเข้มข้นของกลิ่นในทางปฏิบัติและการคำนวณความเข้มข้นของกลิ่นด้วยสมการการกระจายของกลิ่นอย่างง่าย

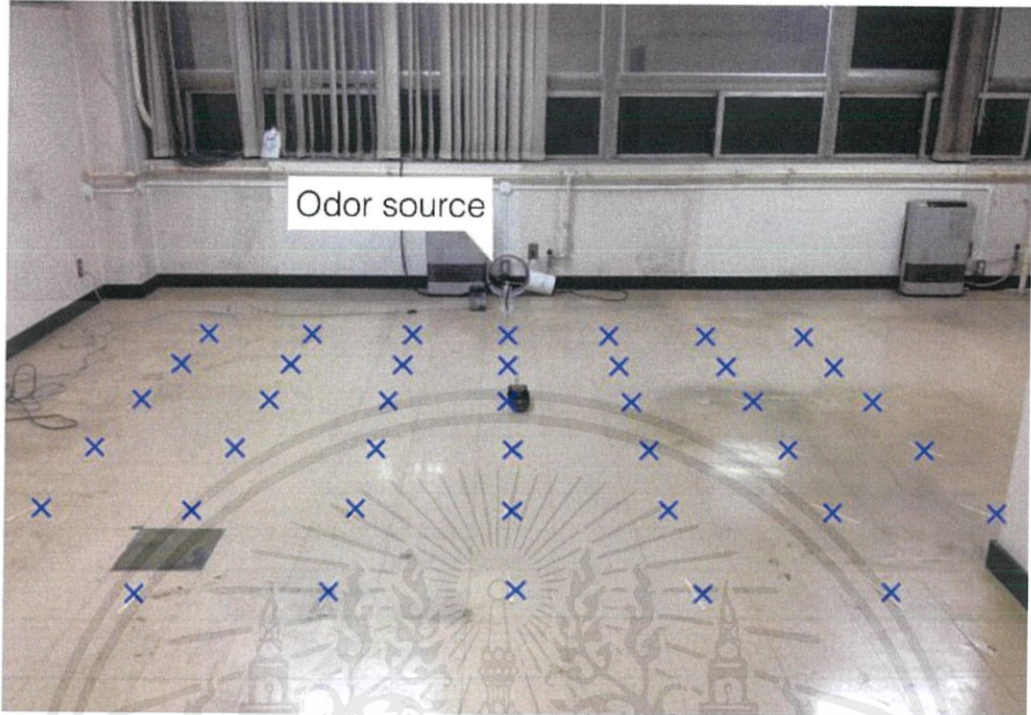
3.1 ขั้นตอนการดำเนินงาน

โครงการนี้มีขั้นตอนการดำเนินงานเริ่มตั้งแต่การทำกรทดลองวัดค่าความเข้มข้นของกลิ่น ณ ตำแหน่งต่างๆในห้องปิดโดยใช้เครื่องตรวจวัดไอระเหย (หัวข้อ3.2) จากนั้นทำการคำนวณค่าความเข้มข้นของกลิ่น ณ ตำแหน่งต่างๆภายใต้สภาพแวดล้อมเดียวกัน โดยใช้สมการการกระจายของกลิ่นอย่างง่ายที่ได้อธิบายไปในหัวข้อ 2.1.1 (หัวข้อ3.3) ข้อมูลที่วัดได้กับข้อมูลที่คำนวณได้จะถูกนำมาเปรียบเทียบกันเพื่อตรวจสอบว่าสมการการกระจายของกลิ่นอย่างง่ายที่ใช้ นั้นจะให้ผลลัพธ์ที่ใกล้เคียงหรือต่างกับค่าที่วัดได้จริงอย่างไร (หัวข้อ3.4)

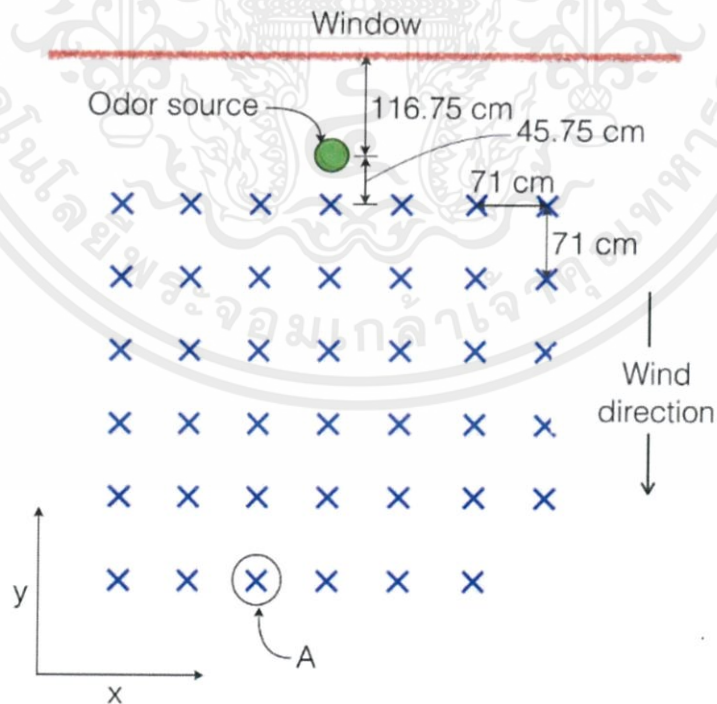
3.2 การวัดค่าความเข้มข้นของกลิ่นในห้องปิด

ในโครงการนี้จะนำค่าความเข้มข้นของกลิ่นที่ ดร.ยศศิริ อาริยะกุล ทำการวัดและตีพิมพ์ในเอกสารการประชุมวิชาการเรื่อง “Simulation of Sensor Network for Odor Source Localization Using Numerical Optimization Technique” โดยใช้เครื่องตรวจวัดไอระเหยของสารอินทรีย์ชนิดโฟโตไอออนไนเซชัน (Photoionization Detector : PID detector) รุ่น ppbRAE 3000 ของบริษัท RAE System ทำการวัดความเข้มข้นกลิ่นทั้งหมด 41 จุด ในห้องปิด โดยมีตำแหน่งการวัดแสดงดังรูปที่ 3.1

สำหรับแหล่งกำเนิดกลิ่นนั้นใช้เป็นเอทานอลความเข้มข้น 99.5% บรรจุขวดโดยมีปากขวดอยู่ชิดกับพัดลมที่ตั้งความเร็วลมไว้ที่ 9 ลิตรต่อวินาที ทำการวัดความเร็วลมด้วยเครื่องวัดความเร็วลม (Anemometer) รุ่น ISA-12 ของบริษัท Sibata โดยทำการปล่อยกลิ่นทิ้งไว้เป็นเวลา 2 นาที ก่อนเริ่มทำการวัดค่าความเข้มข้น โดยใช้เวลาวัดค่าความเข้มข้นของกลิ่นที่แต่ละจุดจุดละ 10 วินาที



รูปที่ 3.1 ภาพถ่ายบริเวณและตำแหน่งที่ทำการทดลองวัดความเข้มข้นของกลิ่น



รูปที่ 3.2 ตำแหน่งต่างๆที่ทำการวัดความเข้มข้นของกลิ่น

เอกสารนี้เป็นเอกสารที่สงวนไว้ สำหรับการใช้งานเพื่อการศึกษาเท่านั้น ไม่อนุญาตให้นำไปใช้ประโยชน์ด้านการค้า
ไม่ว่ากรณีใด ๆ ทั้งสิ้น อีกทั้งห้ามมิให้ดัดแปลงเนื้อหา และต้องอ้างอิงถึงเจ้าของเอกสารทุกครั้งที่มีการนำไปใช้

ค่าความเข้มข้นที่วัดได้ในหน่วย ppb มีค่าแสดงดังตารางที่ 3.1

ตารางที่ 3.1 ค่าความเข้มข้นของกลิ่นที่วัดได้ที่ตำแหน่งต่างๆ (ppb)

ตำแหน่ง	X (cm)						
Y (cm)	0	71	142	213	284	355	426
355	6020	4610	3510	131180	4690	4890	4560
284	8740	9560	7380	62590	6510	9450	7730
213	11540	11410	18530	28880	9280	10720	12910
142	15910	14250	34090	25140	12180	13660	15190
71	16810	16300	29440	26720	15430	17360	17450
0	21250	24470	29470	27270	16840	16780	16800

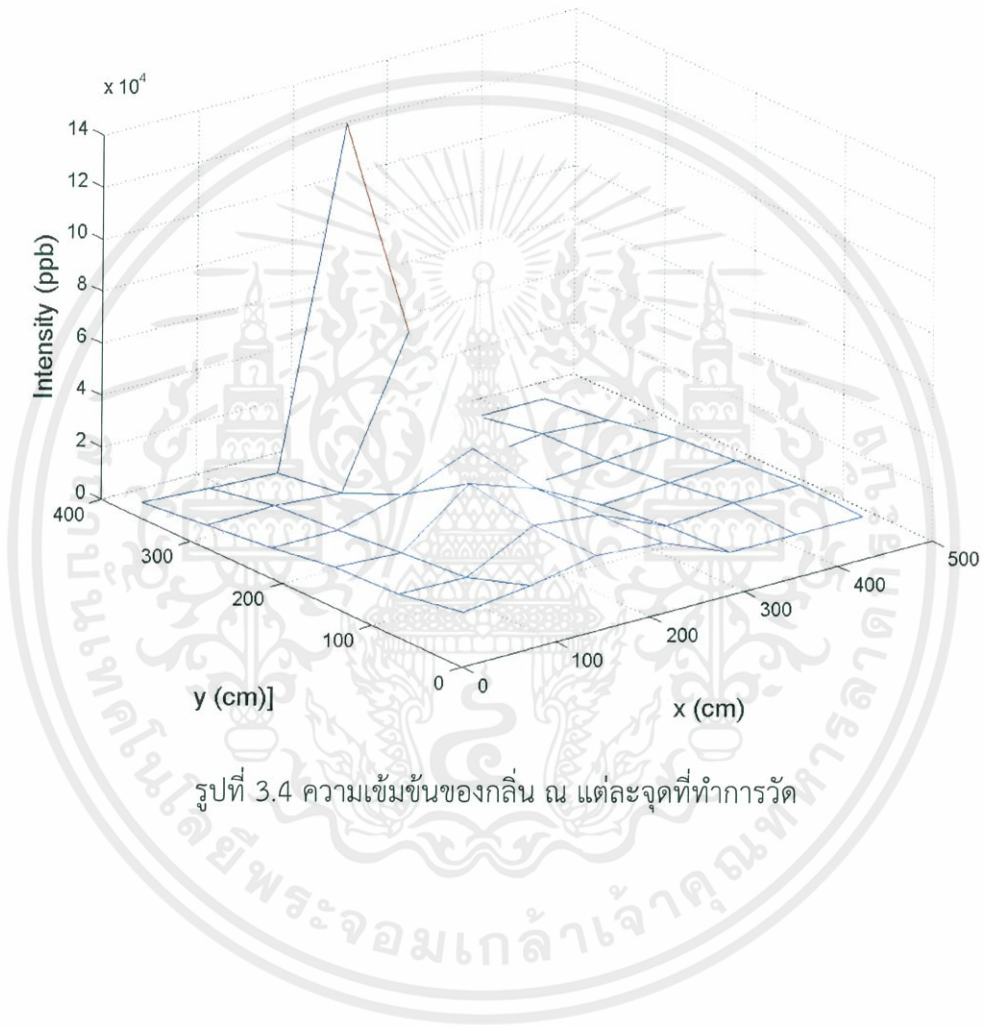
จากนั้นทำการพล็อตกราฟจากข้อมูลที่วัดได้ดังกล่าว โดยเขียนเป็นโปรแกรมบน MATLAB ดังแสดงในรูปที่ 3.3

```

Editor - E:\ปริจเจคปี4เทอม1\ทำเอง\elec4c01.m
elec4c01.m * +
1 - tic;
2
3 % กราฟข้อมูลที่ได้จากการวัด ที่ระยะห่าง 71cm
4 % MeasuredIntensity คือข้อมูลที่วัดที่ระยะห่าง 71cm
5 - MeasuredIntensity = ...
6 [6020,4610,3510,131180,4690,4890,4560;
7 8740,9560,7380,62590,6510,9450,7730;
8 11540,11410,18530,28880,9280,10720,12910;
9 15910,14250,34090,25140,12180,13660,15190;
10 16810,16300,29440,26720,15430,17360,17450;
11 21250,24470,29470,27270,16840,16780,16800];
12
13 % Create x-y axis
14 - [xx,yy] = meshgrid(0:71:426,0:71:355);
15
16 % Graphing
17 % ทำการ flip y ก่อนวาดกราฟเพราะข้อมูลที่วัดมากกับการพล็อตโปรแกรมสลับกัน
18 - mesh(xx,flipud(yy),MeasuredIntensity)
19 - xlabel('x (cm)', 'FontSize',14)
20 - ylabel('y (cm)'],'FontSize',14)
21 - zlabel('Intensity (ppb)', 'FontSize',14)
22
23 - clearvars -except MeasuredIntensity
24
25 - toc
    
```

รูปที่ 3.3 โปรแกรมสำหรับพล็อตกราฟจากข้อมูลในตารางที่ 3.1

เมื่อทำการประมวลผลข้อมูลแล้วจะได้กราฟดังรูปที่ 3.4 ซึ่งกราฟค่อนข้างหยาบเนื่องจากจุดที่ใช้วัดมีน้อยเกินไป ดังนั้นจึงทำการอินเตอร์โพล (Interpolate) ข้อมูลที่วัดได้ในตารางที่ 4.1 เพื่อลดระยะห่างระหว่างแต่ละจุดจาก 71 cm ให้เหลือ 1 cm แล้วจึงทำการพล็อตกราฟ เพื่อให้กราฟมีความต่อเนื่องมากขึ้น โปรแกรมในส่วนนี้แสดงดังในรูปที่ 3.5



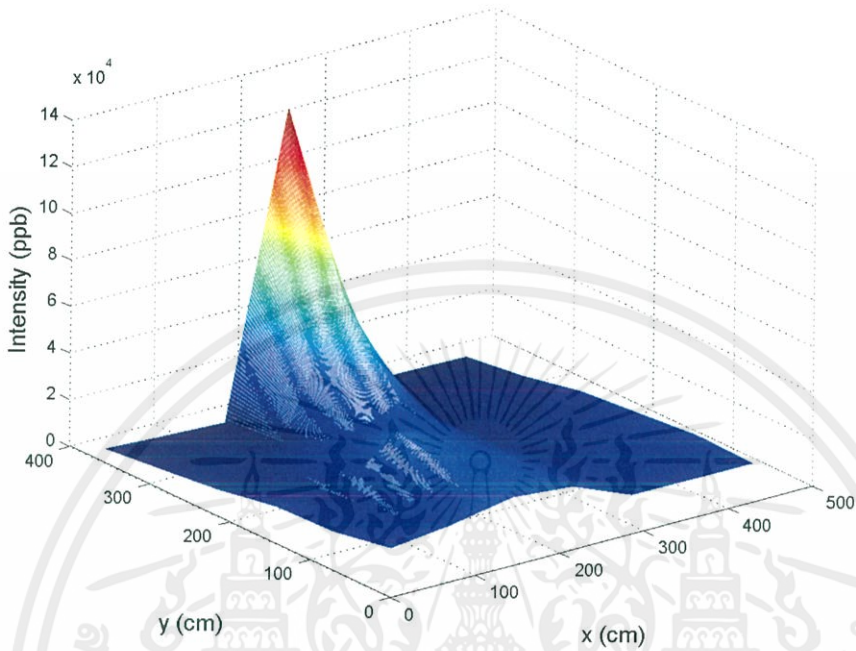
```

Editor - E:\ปริมาตรคมี4เทอม1\ทำเอง\elec4c02.m*
elec4c01.m x elec4c02.m* x +
1 - tic;
2
3 % นี่เป็นโค้ดสำหรับ Interpolate ข้อมูลที่ได้จากการวัด
4 % ผลลัพธ์คือการที่ระยะห่างของข้อมูลลดลงจาก 71cm เป็น 1cm
5 - MeasuredIntensity = ...
6 [6020,4610,3510,131180,4690,4890,4560;
7 8740,9560,7380,62590,6510,9450,7730;
8 11540,11410,18530,28880,9280,10720,12910;
9 15910,14250,34090,25140,12180,13660,15190;
10 16810,16300,29440,26720,15430,17360,17450;
11 21250,24470,29470,27270,16840,16780,16800];
12
13 % Create x-y axis
14 - [xx,yy] = meshgrid(0:71:426,0:71:355);
15
16 % Create refined x-y axis for interpolation
17 - [xxx,yyy] = meshgrid(0:1:426,0:1:355);
18
19 % Interpolation
20 - InterpMeasuredIntensity = interp2(xx,yy,MeasuredIntensity,xxx,yyy);
21
22 % Graphing
23 - mesh(xxx,flipud(yyy),InterpMeasuredIntensity)
24 - xlabel('x (cm)','FontSize',14)
25 - ylabel('y (cm)','FontSize',14)
26 - zlabel('Intensity (ppb)','FontSize',14)
27
28 - clearvars -except MeasuredIntensity InterpMeasuredIntensity
29
30 - toc

```

รูปที่ 3.5 โปรแกรมสำหรับการอินเตอร์โพลของข้อมูลในตารางที่ 3.1 แล้วทำการพล็อตกราฟ

เมื่อทำการประมวลผลข้อมูลจะได้กราฟดังแสดงในรูปที่ 3.6



รูปที่ 3.6 ความเข้มข้นของกัลีน ที่ได้จากการทำอินเตอร์โพลเทจากข้อมูล ณ แต่ละจุดที่ทำกรวัด

3.3 การคำนวณค่าความเข้มข้นของกัลีน

ในขั้นตอนนี้จะทำการพิสูจน์ว่าสมการการกระจายของกัลีน คือ

$$C_o(x, y) = \frac{2q}{4\pi K d_s} e^{-\frac{U}{2K}(d_s - \Delta x)} \quad (3.1)$$

มีความถูกต้องหรือไม่ จึงทำการคำนวณความเข้มข้นของกัลีน ณ ตำแหน่งต่างๆ ที่สอดคล้องกับตำแหน่งในห้องปิดในหัวข้อ 3.2 โดยกำหนดให้ต้นกำเนิดกัลีนอยู่บริเวณกลางห้องด้านบน จากนั้นนำผลที่ได้มาเปรียบเทียบกับ

โดยในการคำนวณในส่วนนี้ จะใช้สมการ (2.7) คำนวณค่าความเข้มข้นของกัลีนในพื้นที่ 355 x 426 cm โดยกำหนดค่าตัวแปรต่างๆ ดังนี้

- อัตราการปล่อยกัลีน (q) = 0.625 cm³/s
- ความเร็วลม (U) = 11.26 cm/s
- Diffusion coefficient (K) = 15.2 cm²/s

- มุมของทิศทางลมเทียบกับแกนนอน (θ) = 90°
- ระยะห่างระหว่างจุด = 71 cm

โดยเขียนเป็นโปรแกรมบน MATLAB ดังแสดงในรูปที่ 3.7 ทั้งนี้การกำหนดค่าตัวแปร K และ Q จะอ้างอิงจากผลงานวิจัยเรื่อง “Remote sensing of gas/odor source location and concentration distribution using mobile system” ของ Hiroshi Ishida [2]

```

Editor - E:\ปริมาตร4\เล่ม1\ทำเอง\elec4c03.m
elec4c03.m x +
1 - tic;
2   % ค่าพารามิเตอร์ Intensity ที่ระยะห่าง 71cm
3   % q, K, U, Theta จากวิทยานิพนธ์ อ.อริชิตะ
4 - q = 37.5/60; %[cm^3/s]
5 - K = 15.2; %[cm^2/s]
6   % Data from experiment
7 - U = 11.26; %[cm/s]
8 - Theta = 90;
9   % Define position of the odor source
10 - Xs = 213;
11 - Ys = 400.75;
12   % Create x-y axis
13 - [xx,yy] = meshgrid(0:71:426,0:71:355);
14   % Prepare a matrix for the answer
15 - CalculatedIntensity = zeros(6,7);
16 - num_rows = size(CalculatedIntensity,1);
17 - num_cols = size(CalculatedIntensity,2);
18   % Calculation
19 - for i=1:1:num_rows
20 -   for j=1:1:num_cols
21 -
22 -     CalculatedIntensity(i,j) = ((2*q/(4*pi*K))/sqrt((Xs-xx(i,j))^2 ...
23 -       + (Ys-yy(i,j))^2))*exp(-(U/(2*K))*(sqrt((Xs-xx(i,j))^2 ...
24 -       + (Ys-yy(i,j))^2) - (Xs - xx(i,j))*cosd(Theta) ...
25 -       + (Ys - yy(i,j))*sind(Theta)));
26 -
27 -   end
28 - end
29   % Graphing
30   % ไม่ต้อง flipud(yy) เพราะการระบุตำแหน่งของ Xs,Ys ที่ 213,400.75 ุบแล้ว
31 - mesh(xx,yy,CalculatedIntensity)
32 - xlabel('x (cm)','FontSize',14)
33 - ylabel('y (cm)','FontSize',14)
34 - zlabel('Intensity (Arbitrary unit)','FontSize',14)
35 - clearvars -except CalculatedIntensity
36 - toc
37

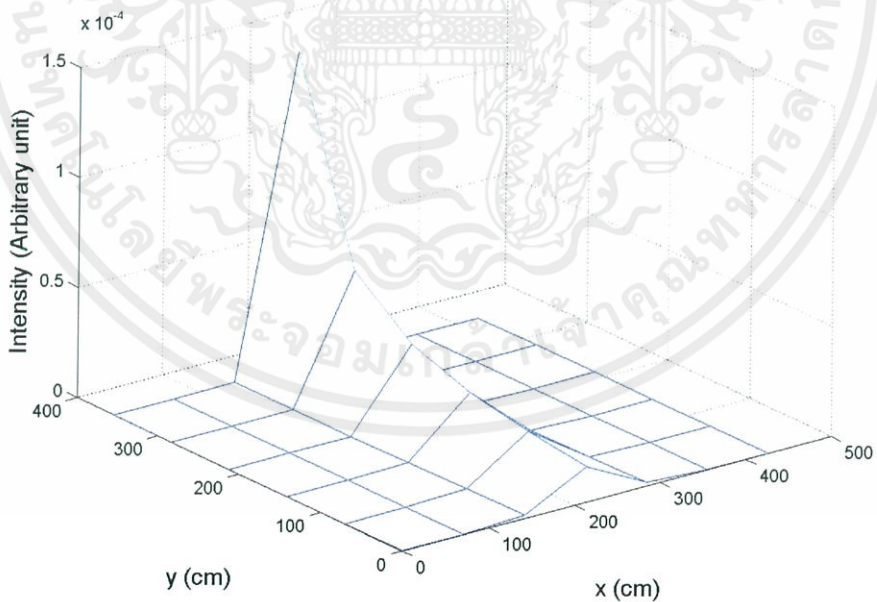
```

รูปที่ 3.7 โปรแกรมสำหรับคำนวณและพล็อตกราฟค่าความเข้มข้นกลิ่นโดยใช้สมการที่ (3.1)

เมื่อทำการประมวลผลข้อมูลจะได้กราฟดังรูปที่ 3.8

ตารางที่ 3.2 ค่าความเข้มข้นของกลืนที่คำนวณได้ที่ตำแหน่งต่างๆ (ppb)

ตำแหน่ง	X (cm)						
Y (cm)	0	71	142	213	284	355	426
355	$6.20 \cdot 10^{-24}$	$1.00 \cdot 10^{-12}$	$4.59 \cdot 10^{-2}$	143040	$4.59 \cdot 10^{-2}$	$1.00 \cdot 10^{-12}$	$6.20 \cdot 10^{-24}$
284	$1.37 \cdot 10^{-16}$	$5.76 \cdot 10^{-7}$	30.21	56053	30.21	$5.76 \cdot 10^{-7}$	$1.37 \cdot 10^{-16}$
213	$7.77 \cdot 10^{-12}$	$6.01 \cdot 10^{-4}$	266.61	34856	266.61	$6.01 \cdot 10^{-4}$	$7.77 \cdot 10^{-12}$
142	$1.00 \cdot 10^{-8}$	$3.09 \cdot 10^{-2}$	705.82	25292	705.82	$3.09 \cdot 10^{-2}$	$1.00 \cdot 10^{-8}$
71	$1.31 \cdot 10^{-6}$	$3.56 \cdot 10^{-1}$	1180.90	19846	1180.90	$3.56 \cdot 10^{-1}$	$1.31 \cdot 10^{-6}$
0	$4.16 \cdot 10^{-5}$	1.82	1593.50	16330	1593.50	1.82	$4.16 \cdot 10^{-5}$



รูปที่ 3.8 ความเข้มข้นของกลืน ณ แต่ละจุดที่ได้จากการคำนวณ

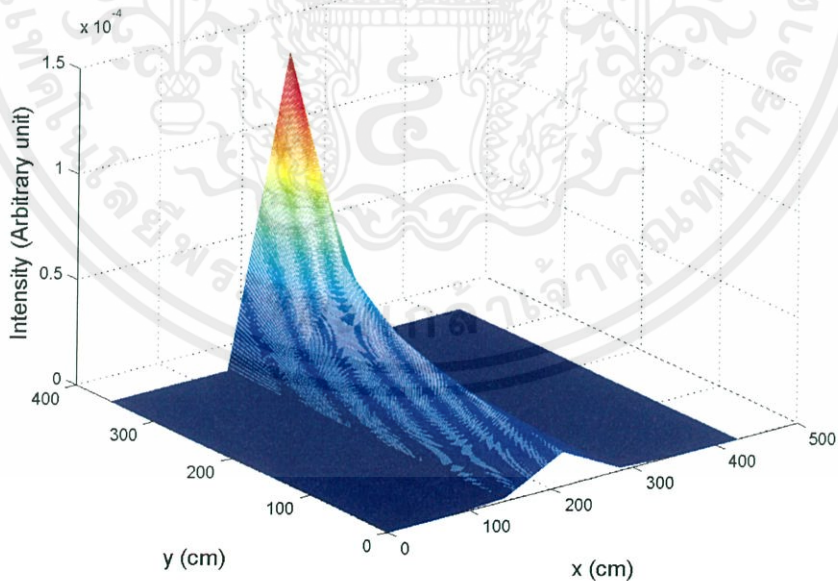
จากนั้นทำการอินเตอร์โพลของข้อมูลที่คำนวณได้ในตารางที่ 3.2 ได้เพื่อลดระยะห่างระหว่างแต่ละจุดจาก 71 cm ให้เหลือ 1 cm แล้วจึงทำการพล็อตกราฟ เพื่อให้กราฟมีความต่อเนื่องมากขึ้น โปรแกรมในส่วนนี้แสดงดังในรูปที่ 3.9

```

Variables - CalculatedIntensity
Editor - elec4c04.m

elec4c04.m x +
1 - tic;
2   % Interpolate ข้อมูลที่คำนวณจาก PreCalculation
3   % ระยะห่างของข้อมูลลดจาก 71cm เป็น 1cm
4 - CalculatedIntensity = [4.15993539394673e-14,1.81982107980021e-09,1.59354472294738e-06,1.63298813790647e-05
5   % Create x-y axis
6 - [xx,yy] = meshgrid(0:71:426,0:71:355);
7   % Create refined x-y axis for interpolation
8 - [xxx,yyy] = meshgrid(0:1:426,0:1:355);
9   % Interpolation
10 - InterpCalculatedIntensity = interp2(xx,yy,CalculatedIntensity,xxx,yyy);
11  % Graphing
12 - mesh(xxx,yyy,InterpCalculatedIntensity)
13 - xlabel('x (cm)','FontSize',14)
14 - ylabel('y (cm)','FontSize',14)
15 - zlabel('Intensity (Arbitrary unit)','FontSize',14)
16 - clearvars -except CalculatedIntensity InterpCalculatedIntensity
17 - toc
    
```

รูปที่ 3.9 โปรแกรมสำหรับทำการอินเตอร์โพลของข้อมูลในตารางที่ 3.2 แล้วทำการพล็อตกราฟ เมื่อทำการประมวลผลข้อมูลจะได้กราฟดังรูปที่ 3.10



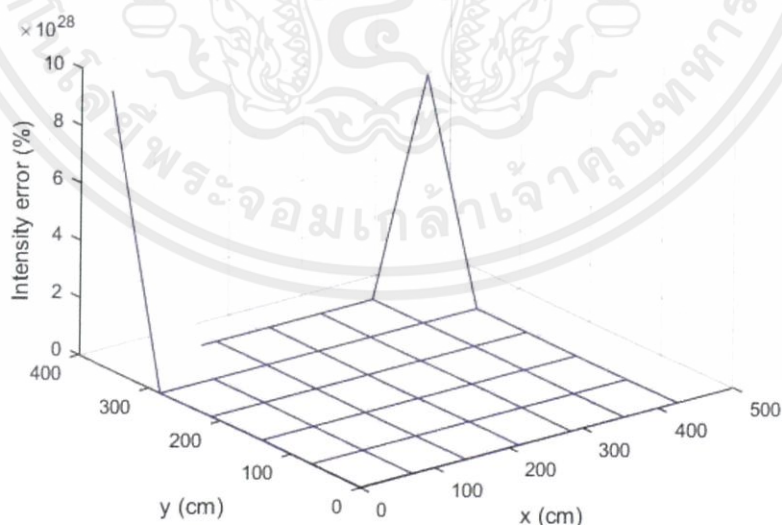
รูปที่ 3.10 ความเข้มข้นของคลื่น ที่ได้จากการทำอินเตอร์โพลของข้อมูล ณ แต่ละจุดที่ได้จากการคำนวณด้วยสมการที่ (3.1)

3.4 การเปรียบเทียบค่าที่วัดได้กับค่าที่คำนวณได้

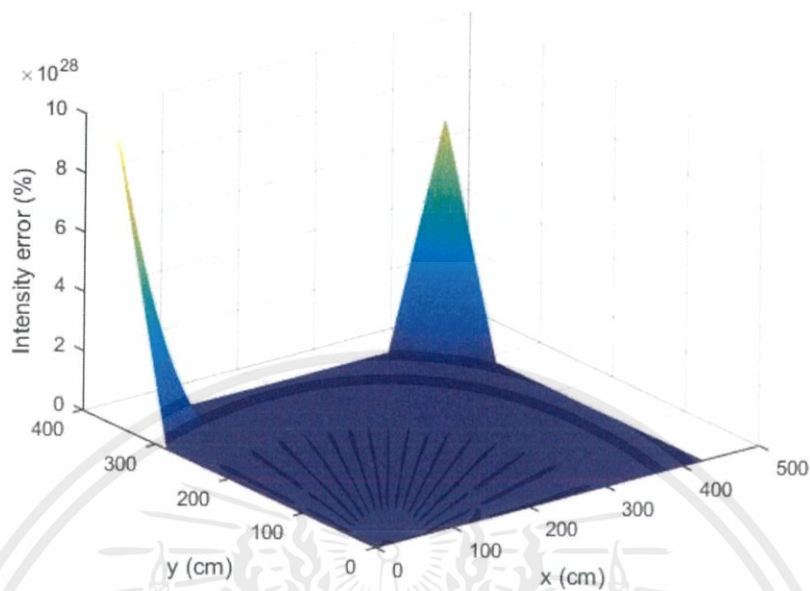
ทำการเปรียบเทียบค่าที่ได้จากการวัดในตารางที่ 3.1 กับค่าที่ได้จากการคำนวณในตารางที่ 3.2 ได้ผลดังแสดงในตารางที่ 3.3 และพล็อตเป็นกราฟได้ดังรูปที่ 3.11 และทำการเปรียบเทียบค่าที่ได้จากการอินเตอร์โพลค่าที่ได้จากการวัดในรูปที่ 3.6 กับค่าที่ได้จากการอินเตอร์โพลค่าที่ได้จากการคำนวณในรูปที่ 3.10 ได้ผลแสดงเป็นกราฟได้ดังรูปที่ 3.12

ตารางที่ 3.3 ความคลาดเคลื่อนของความเข้มข้นของกลีเซอรอลระหว่างค่าที่วัดได้กับค่าที่ได้จากการคำนวณ (%)

ตำแหน่ง	X (cm)						
Y (cm)	0	71	142	213	284	355	426
355	9.71 ²⁸	4.58 ¹⁷	7.65 ⁶	-8.23	1.02 ⁷	4.86 ¹⁷	7.36 ²⁸
284	6.36 ²¹	1.66 ¹²	2.43 ⁴	11.66	2.14 ⁴	1.64 ¹²	5.62 ²¹
213	1.48 ¹⁷	1.90 ⁹	6.85 ³	-17.14	3.38 ³	1.78 ⁹	1.66 ¹⁷
142	1.58 ¹⁴	4.61 ⁷	4.73 ³	-0.60	1.62 ³	4.42 ⁷	1.51 ¹⁴
71	1.28 ¹²	4.58 ⁶	2.39 ³	34.64	1.21 ³	4.88 ⁶	1.33 ¹²
0	5.11 ¹⁰	1.34 ⁶	1.75 ³	66.99	956.76	9.22 ⁵	4.04 ¹⁰



รูปที่ 3.11 ความคลาดเคลื่อนของความเข้มข้นของกลีเซอรอลระหว่างค่าที่วัดได้กับค่าที่ได้จากการคำนวณ (%)



รูปที่ 3.12 ความคลาดเคลื่อนของความเข้มข้นของกลืนระหว่างค่าที่ได้จากการอินเตอร์โพลค่าที่วัดได้กับว่างค่าที่ได้จากการอินเตอร์โพลค่าที่ได้จากการการคำนวณ (%)

จากตารางที่ 3.3 รูปที่ 3.11 และรูปที่ 3.12 พบว่าช่วงบริเวณกลางห้องการค่าความคลาดเคลื่อนระหว่างข้อมูลที่ได้จากการวัดกับข้อมูลที่ได้จากการคำนวณมีค่าน้อยมาก แต่บริเวณมุมห้องด้านซ้ายบนและขวาบนมีความคลาดเคลื่อนที่สูง ที่เป็นเหตุนี้คาดว่าเป็นเพราะเมื่อกลืนได้แพร่กระจายทั่วห้องที่ทำการทดลองแล้ว บริเวณมุมห้องด้านซ้ายบนและขวาบนจะมีกลืนเข้มข้นมากกว่าค่าที่คำนวณได้ เพราะกลืนที่แพร่กระจายออกเกิดการตกค้างและสะสมเนื่องจากผนังห้องต่างกับในสมการที่เป็นสมการแบบไม่มีขอบเขต (No boundary condition)

เนื่องจากผลที่ได้จากการคำนวณมีความคลาดเคลื่อนโดยรวมไม่ต่างจากผลที่ได้จากการวัดการทดลองตั้งแต่บทที่ 4 เป็นต้นไปจะใช้การคำนวณเป็นหลัก

บทที่ 4

การทดลองหาตำแหน่งของแหล่งกำเนิดคลื่นด้วยวิธีการเชิงเลข

4.1 การทดลองคาดคะเนตำแหน่งของแหล่งกำเนิดคลื่นด้วยวิธีการเชิงเลขด้วยเซ็นเซอร์ 3 ตัว

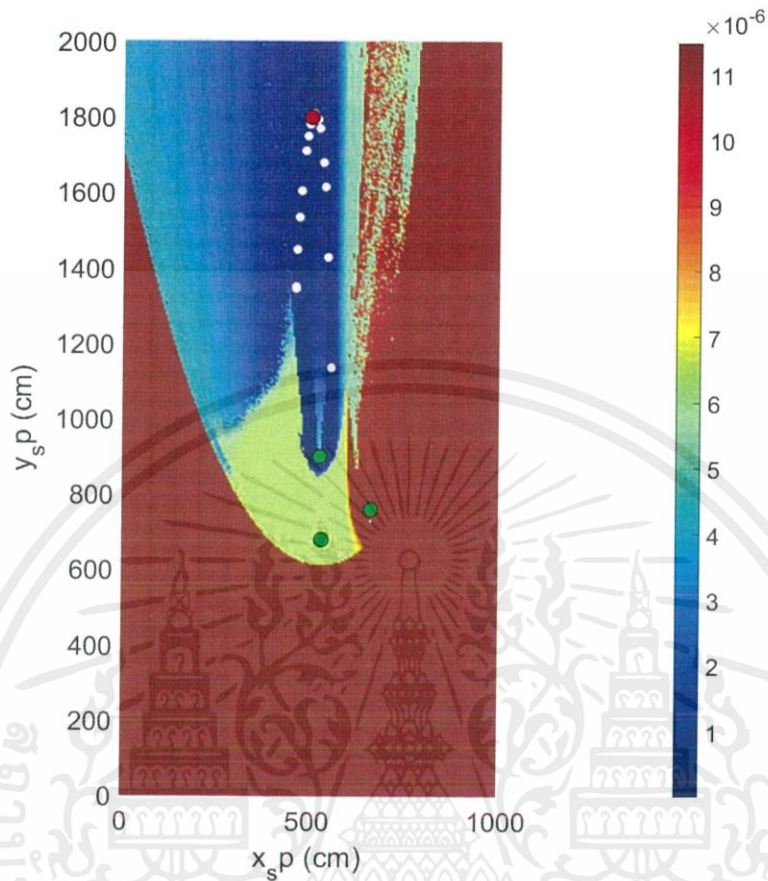
ในปริภูมิพิกัดนี้จะใช้วิธีการคาดคะเนแหล่งกำเนิดคลื่นด้วยวิธีการเชิงเลข [3] ซึ่งอธิบายเป็นขั้นตอนได้ดังนี้

- (ก) คำนวณค่าความเข้มข้นของคลื่นที่ตำแหน่งทุกตำแหน่งจากแหล่งกำเนิดคลื่นจริงบนพื้นที่ที่กำหนด โดยใช้สมการ (3.1)
- (ข) กำหนดตำแหน่งของเซ็นเซอร์ที่ใช้ในการวัดค่าความเข้มข้นของคลื่น โดยใช้เซ็นเซอร์ 3 ตัว และเก็บค่าความเข้มข้นคลื่นที่เซ็นเซอร์แต่ละตัววัดได้ โดยใช้ค่าที่ได้จากขั้นตอนที่ (ก) จะได้ผลลัพธ์เป็นค่าความเข้มข้น 3 ค่า
- (ค) สร้างแหล่งกำเนิดคลื่นจำลองขึ้น และคำนวณค่าความเข้มข้นที่เซ็นเซอร์แต่ละตัววัดได้จากแหล่งกำเนิดคลื่นจำลอง จะได้ผลลัพธ์เป็นค่าความเข้มข้นอีก 3 ค่า
- (ง) หาค่าความแตกต่างที่น้อยที่สุดระหว่างความเข้มข้นที่ได้จากขั้นตอนที่ (ข) และขั้นตอนที่ (ค) โดยใช้วิธี Optimization ดังสมการที่ (4.1) จะได้ผลลัพธ์เป็นค่าความคลาดเคลื่อน 1 ค่า ต่อตำแหน่งของแหล่งกำเนิดคลื่นจำลอง 1 ชุด

$$\Delta C = \sum_{i=1}^n |C_0(x_i, y_i, x_s, y_s; q, K) - C_i(x_i, y_i, \hat{x}_s, \hat{y}_s; q_a, K_a)| \quad (4.1)$$

- (จ) ทำซ้ำขั้นตอนที่ (ค) - (ง) โดยเปลี่ยนตำแหน่งของแหล่งกำเนิดคลื่นจำลองจนทั่วพื้นที่ที่ทดลอง และนำค่าความคลาดเคลื่อนที่ได้จากขั้นตอนที่ (ง) ไปพล็อตลงในกราฟที่ตำแหน่งของแหล่งกำเนิดคลื่นจำลองที่ให้ค่าความคลาดเคลื่อนนั้น

ตัวอย่างกราฟที่ได้จากกระบวนการข้างต้นแสดงดังในรูปที่ 4.1 โดยวงกลมสีแดงแสดงตำแหน่งของแหล่งกำเนิดคลื่นจริง วงกลมสีเขียวแสดงตำแหน่งของเซ็นเซอร์ และบริเวณที่มีค่าความคลาดเคลื่อนน้อยคือบริเวณที่มีแนวโน้มที่จะมีแหล่งกำเนิดคลื่นจริงมาก



รูปที่ 4.1 ตัวอย่างการคาดคะเนแหล่งกำเนิดคลื่นโดยใช้เซ็นเซอร์ 3 ตัว

จะใช้สีที่บ่งบอกช่วงของค่าความคลาดเคลื่อน โดยค่าสีจะขึ้นอยู่กับค่าความคลาดเคลื่อนมากที่สุดและน้อยที่สุดในแต่ละรูป ดังนี้

- สีขาว มีค่าความคลาดเคลื่อนในช่วง

$$\frac{Intensity\ Error(x, y) - MIN(Intensity\ Error)}{MIN(Intensity\ Error)} \leq 10^3$$

- สีน้ำเงินเข้มมีค่าความคลาดเคลื่อนในช่วง

$$\frac{Intensity\ Error(x, y) - MIN(Intensity\ Error)}{MIN(Intensity\ Error)} > 10^3$$

และ

$$Intensity\ Error(x, y) \leq \frac{MAX(Intensity\ Error)}{4}$$

- สีฟ้าอ่อนเข้มมีค่าความเคลื่อนไหวในช่วง

$$\frac{MAX(Intensity Error)}{4} < Intensity Error(x, y) \leq \frac{MAX(Intensity Error)}{3}$$

- สีเขียวเข้มมีค่าความเคลื่อนไหวในช่วง

$$\frac{MAX(Intensity Error)}{3} < Intensity Error(x, y) \leq \frac{MAX(Intensity Error)}{2}$$

เซ็นเซอร์ทั้ง 3 ตัวจะถูกปรับเปลี่ยนตำแหน่งในหลายๆรูปแบบ เพื่อหารูปแบบการเรียงตัวของเซ็นเซอร์ที่เหมาะสมที่สุด โดยจะพิจารณาจากพื้นที่สีขาวในกราฟ ซึ่งเป็นพื้นที่ที่มีโอกาสที่จะมีแหล่งกำเนิดคลื่นอยู่ โดยจุด 1 จุด มีพื้นที่ 0.0025 ตารางเมตร ที่รูปแบบการเรียงตัวของเซ็นเซอร์ที่ให้พื้นที่สีขาวอย่างน้อยหมายความว่ายังบอบบริเวณที่มีต้นกำเนิดคลื่นได้อย่างแม่นยำ นอกจากนี้จะหาค่าเฉลี่ยของระยะทางแบบยูคลิด (Euclidian distance) ระหว่างจุดสีขาวแต่ละจุดกับต้นกำเนิดคลื่นจริงด้วย ดังสมการที่ (4.2)

$$d = \sum_{i=1}^n \frac{\sqrt{(x_s - x_{ei})^2 + (y_s - y_{ei})^2}}{n} \quad (4.2)$$

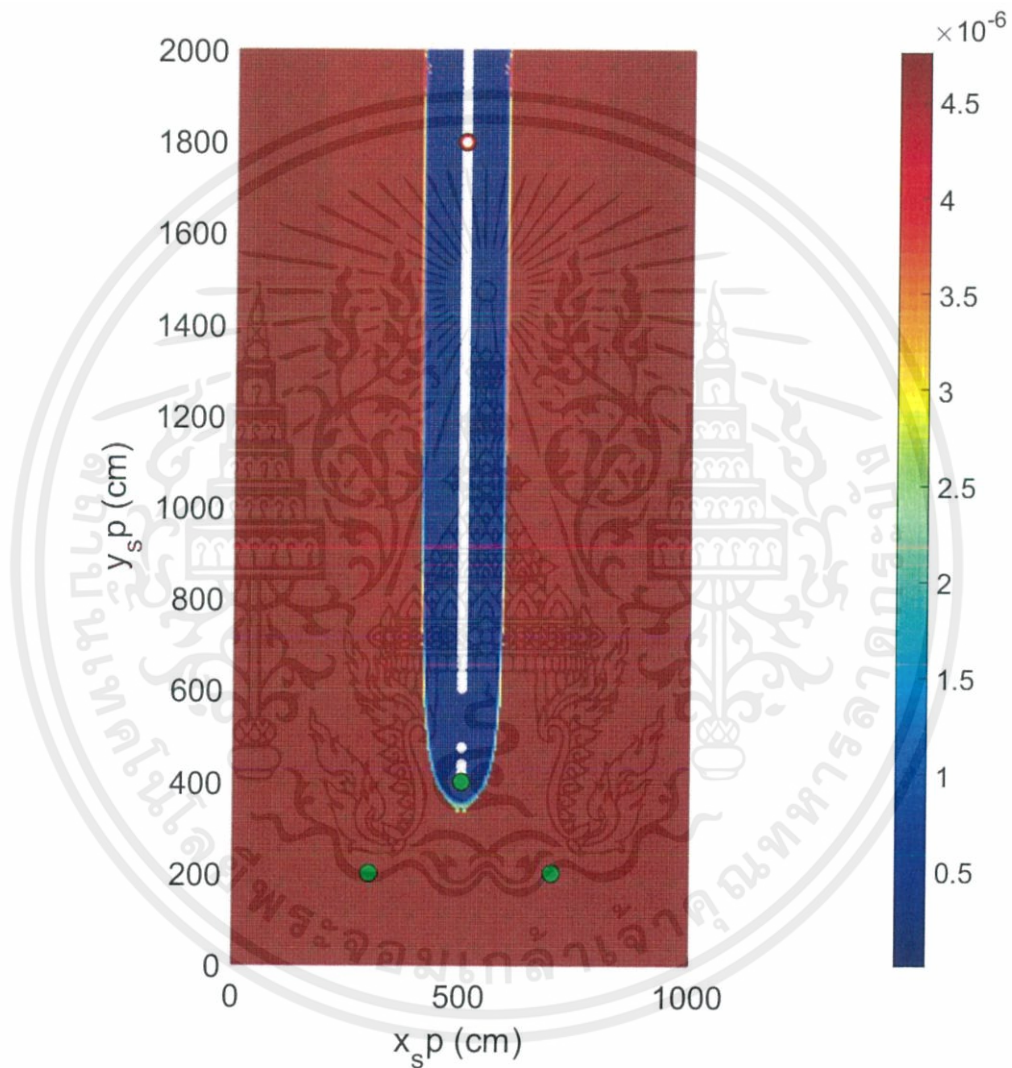
เมื่อ x_s และ y_s คือ ตำแหน่งของแหล่งกำเนิดคลื่นจริง

x_{ei} และ y_{ei} คือ ตำแหน่งของจุดสีขาวจุดที่ i

n คือ จำนวนของจุดสีขาวทั้งหมด

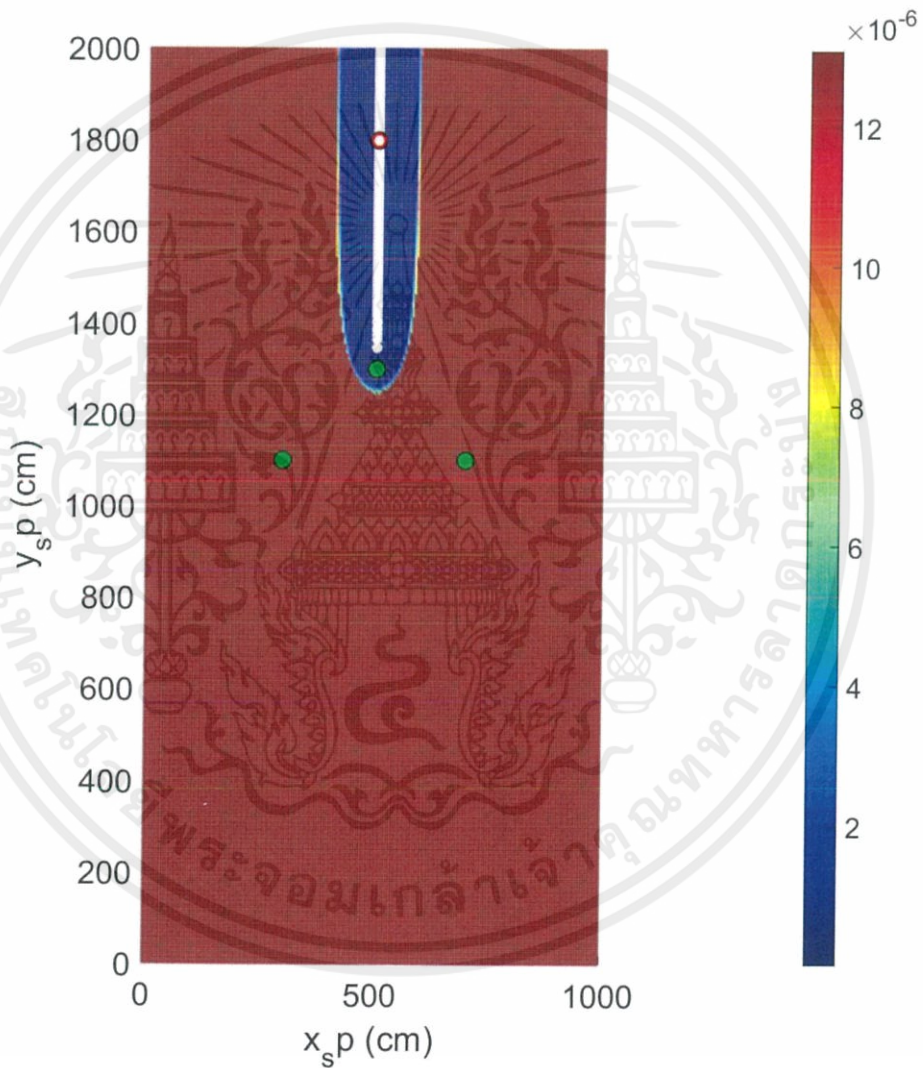
โดยได้ทดลองเปลี่ยนตำแหน่งของเซ็นเซอร์ทั้ง 3 ตัว ทั้งสิ้น 23 รูปแบบดังนี้ และสังเกตค่าพื้นที่สีขาว และระยะทางยูคลิดดังกล่าว โดยค่าทั้งสองค่านั้นยังมีค่าน้อยยิ่งบ่งบอกว่าการจัดเรียงเซ็นเซอร์ในรูปแบบดังกล่าวสามารถระบุบริเวณที่มีต้นกำเนิดคลื่นได้อย่างแม่นยำและถูกต้องตามลำดับ

- | | |
|----------------------|-------------------------------|
| 1. เซ็นเซอร์ตัวที่ 1 | ตำแหน่ง (500,400) |
| เซ็นเซอร์ตัวที่ 2 | ตำแหน่ง (300,200) |
| เซ็นเซอร์ตัวที่ 3 | ตำแหน่ง (700,200) |
| พื้นที่สีขาว | 0.32 % (0.64 m ²) |



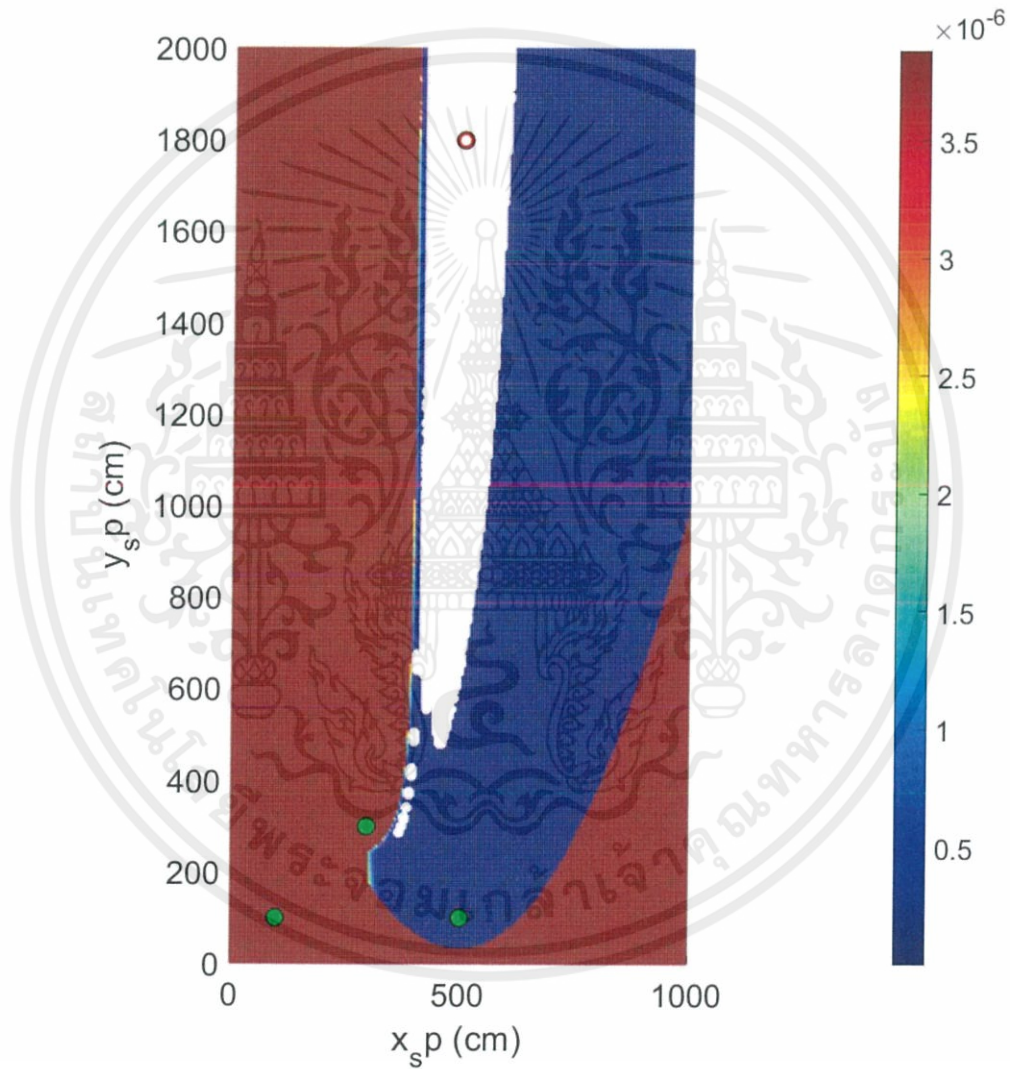
รูปที่ 4.2 การคาดคะเนตำแหน่งของแหล่งกำเนิดคลื่นเมื่อวางเซ็นเซอร์ที่ตำแหน่ง (500,400) , (300,200) , (700,200)

- | | |
|----------------------|-------------------------------|
| 2. เซ็นเซอร์ตัวที่ 1 | ตำแหน่ง (500,1300) |
| เซ็นเซอร์ตัวที่ 2 | ตำแหน่ง (300,1100) |
| เซ็นเซอร์ตัวที่ 3 | ตำแหน่ง (700,1100) |
| พื้นที่สีขา | 0.16 % (0.31 m ²) |



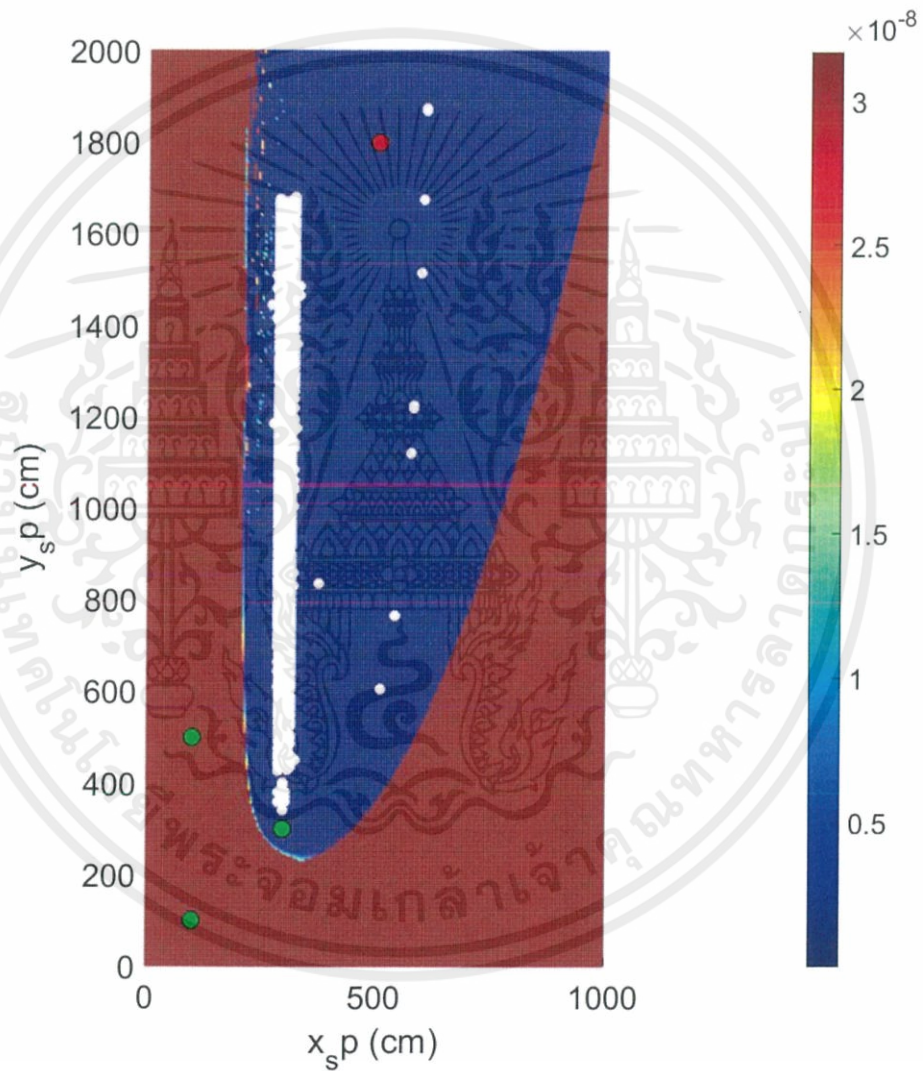
รูปที่ 4.3 การคาดคะเนตำแหน่งของแหล่งกำเนิดกลิ่นเมื่อวางเซ็นเซอร์ที่ตำแหน่ง (500,1300) , (300,1100) , (700,1100)

- | | |
|----------------------|--------------------------------|
| 3. เซ็นเซอร์ตัวที่ 1 | ตำแหน่ง (100,100) |
| เซ็นเซอร์ตัวที่ 2 | ตำแหน่ง (300,300) |
| เซ็นเซอร์ตัวที่ 3 | ตำแหน่ง (500,100) |
| พื้นที่สีขาว | 9.98 % (20.12 m ²) |



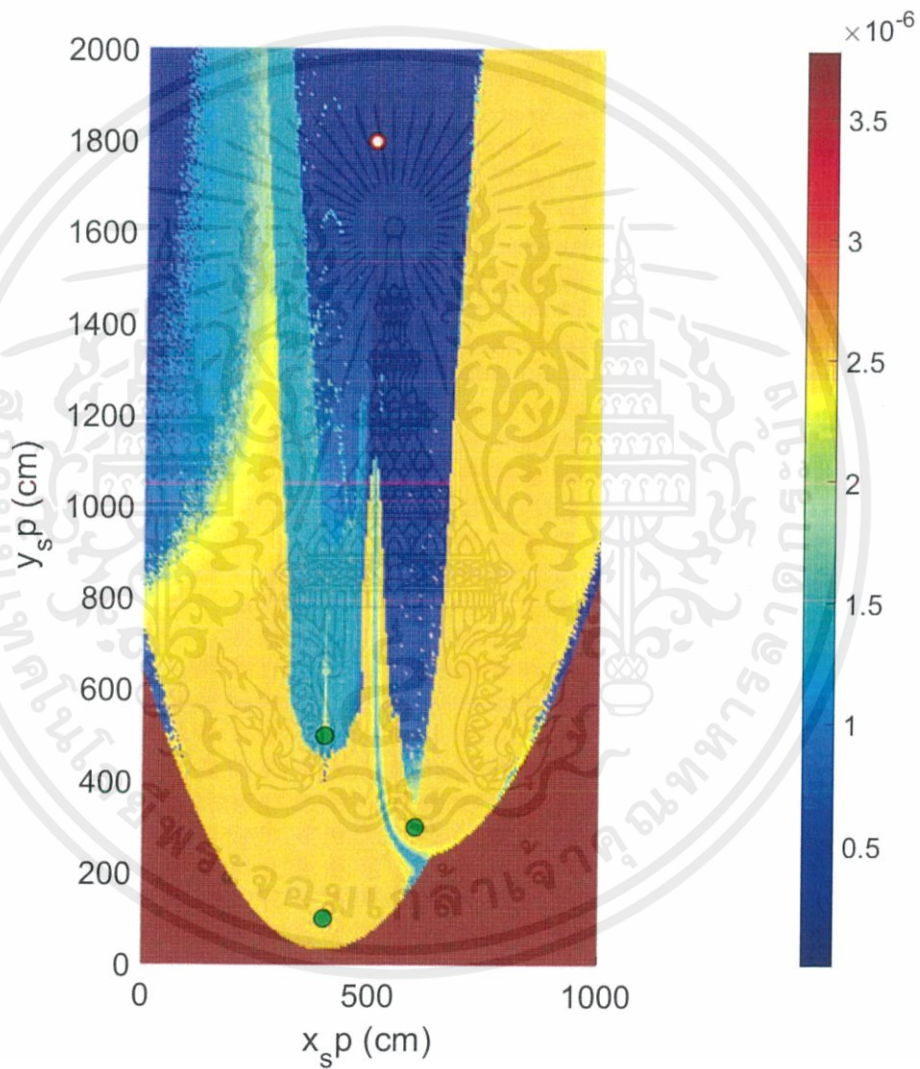
รูปที่ 4.4 การคาดคะเนตำแหน่งของแหล่งกำเนิดกลิ่นเมื่อวางเซ็นเซอร์ที่ตำแหน่ง (100,100) , (300,300) , (500,100)

- | | |
|----------------------|-------------------------------|
| 4. เซ็นเซอร์ตัวที่ 1 | ตำแหน่ง (100,100) |
| เซ็นเซอร์ตัวที่ 2 | ตำแหน่ง (100,500) |
| เซ็นเซอร์ตัวที่ 3 | ตำแหน่ง (300,300) |
| พื้นที่สีขาว | 2.05 % (4.12 m ²) |



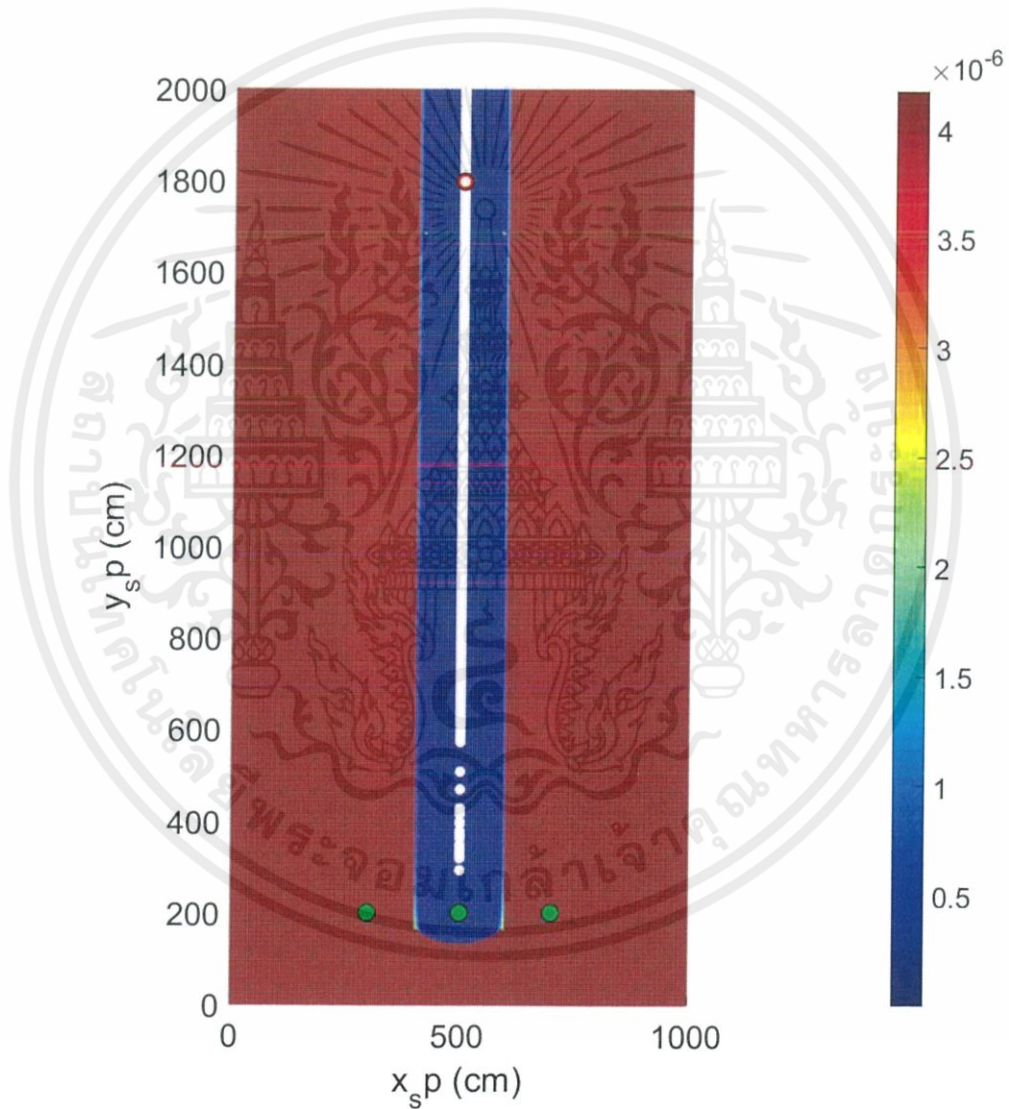
รูปที่ 4.5 การคาดคะเนตำแหน่งของแหล่งกำเนิดคลื่นเมื่อวางเซ็นเซอร์ที่ตำแหน่ง (100,100) , (100,500) , (300,300)

- | | |
|----------------------|----------------------------|
| 5. เซ็นเซอร์ตัวที่ 1 | ตำแหน่ง (400,100) |
| เซ็นเซอร์ตัวที่ 2 | ตำแหน่ง (400,500) |
| เซ็นเซอร์ตัวที่ 3 | ตำแหน่ง (600,300) |
| พื้นที่สีขาว | 0.01 % (0 m ²) |



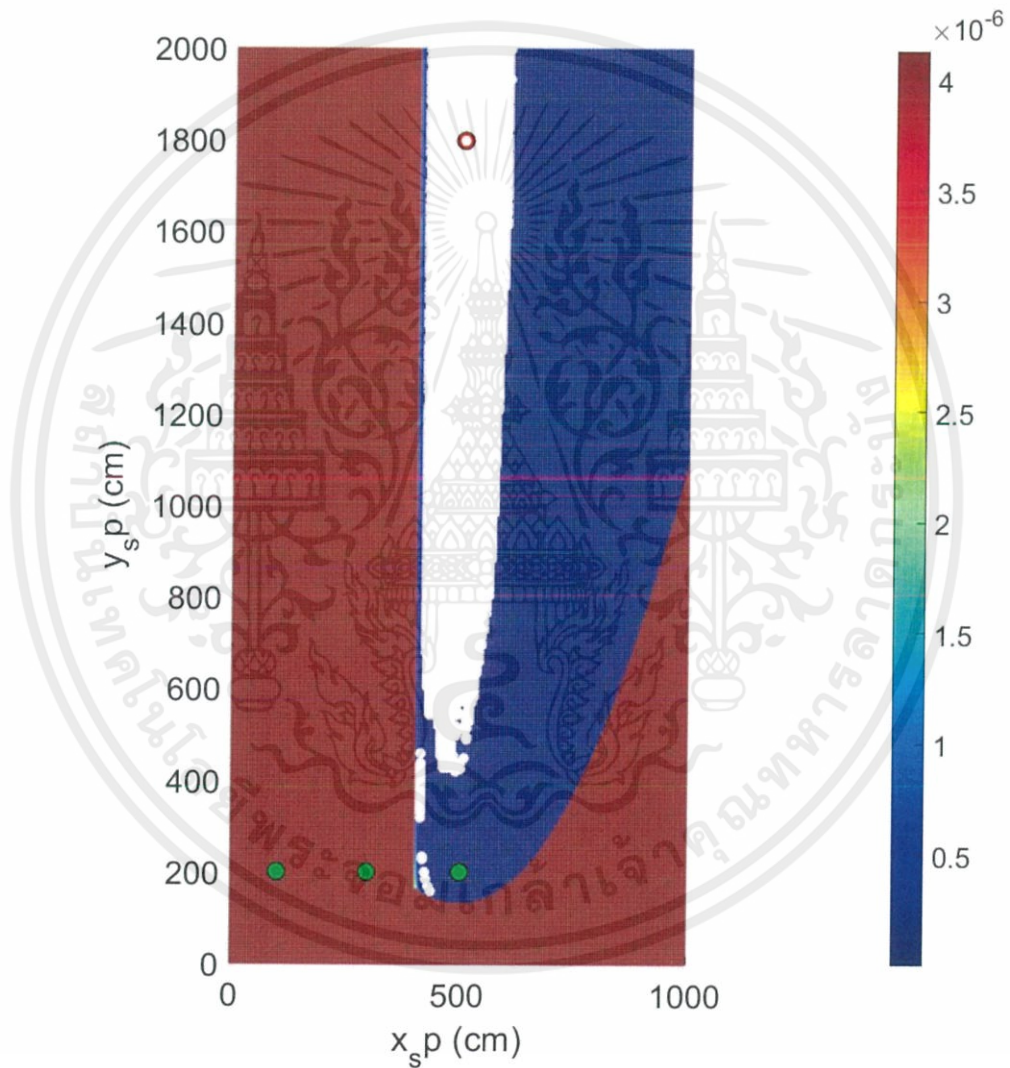
รูปที่ 4.6 การคาดคะเนตำแหน่งของแหล่งกำเนิดกลิ่นเมื่อวางเซ็นเซอร์ที่ตำแหน่ง (400,100) , (400,500) , (600,300)

- | | |
|----------------------|-------------------------------|
| 6. เซ็นเซอร์ตัวที่ 1 | ตำแหน่ง (500,200) |
| เซ็นเซอร์ตัวที่ 2 | ตำแหน่ง (300,200) |
| เซ็นเซอร์ตัวที่ 3 | ตำแหน่ง (700,200) |
| พื้นที่สีขาว | 0.37 % (0.75 m ²) |



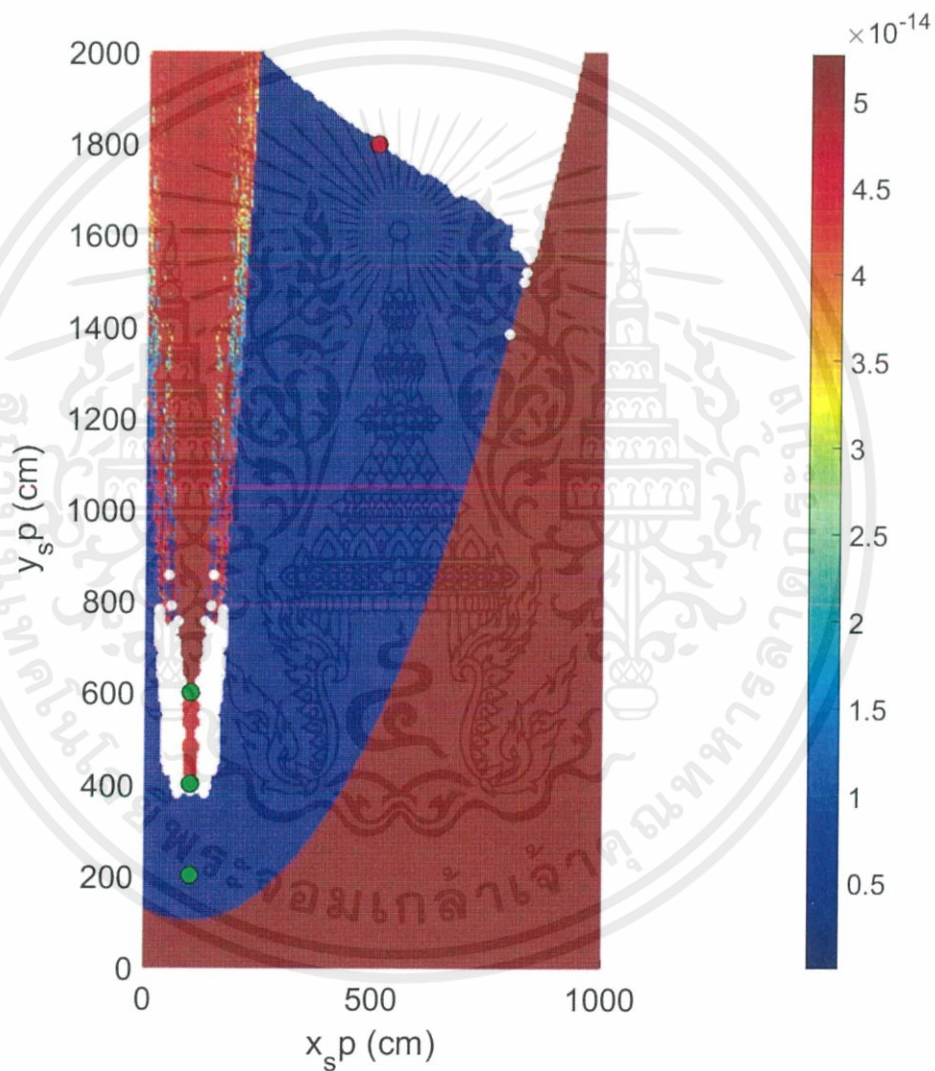
รูปที่ 4.7 การคาดคะเนตำแหน่งของแหล่งกำเนิดคลื่นเมื่อวางเซ็นเซอร์ที่ตำแหน่ง (500,200) , (700,200) , (300,200)

- | | |
|----------------------|---------------------------------|
| 7. เซ็นเซอร์ตัวที่ 1 | ตำแหน่ง (500,200) |
| เซ็นเซอร์ตัวที่ 2 | ตำแหน่ง (300,200) |
| เซ็นเซอร์ตัวที่ 3 | ตำแหน่ง (100,200) |
| พื้นที่สีขาว | 11.04 % (22.25 m ²) |



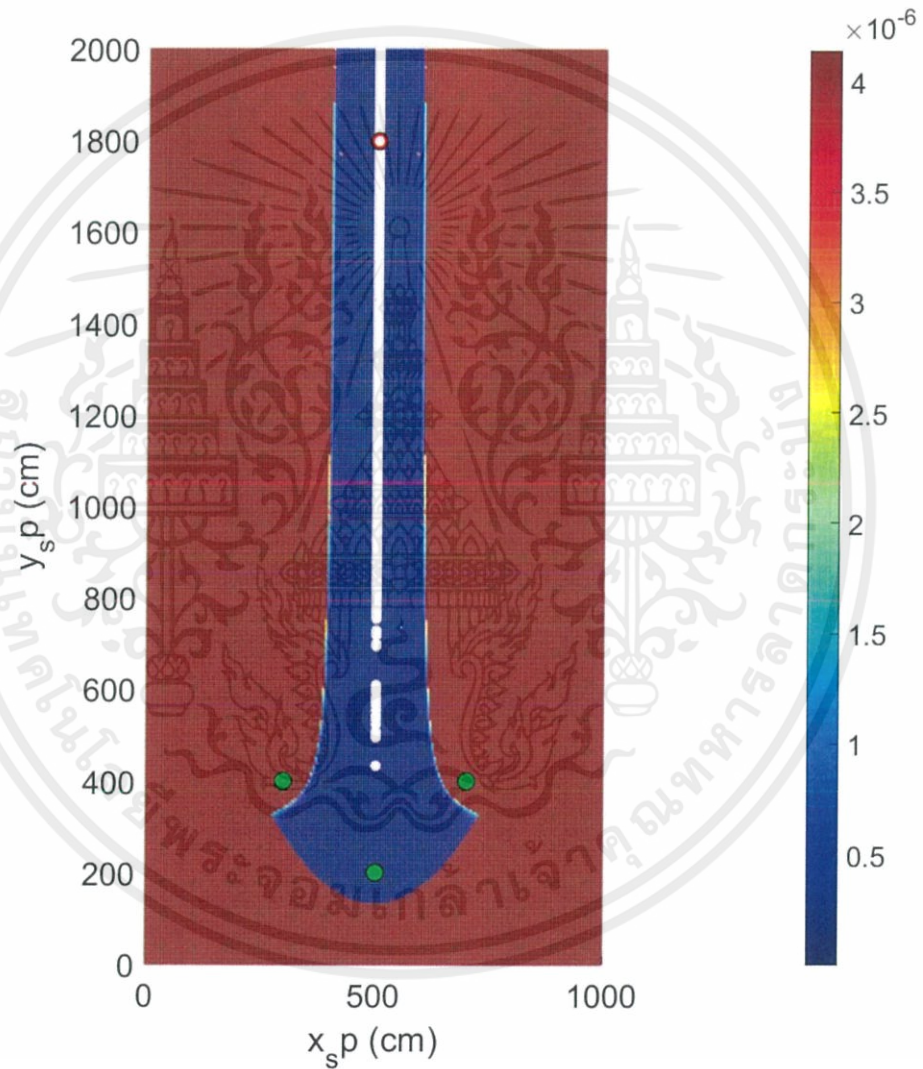
รูปที่ 4.8 การคาดคะเนตำแหน่งของแหล่งกำเนิดกลิ่นเมื่อวางเซ็นเซอร์ที่ตำแหน่ง (500,200) , (300,200) , (100,200)

- | | |
|----------------------|--------------------------------|
| 8. เซ็นเซอร์ตัวที่ 1 | ตำแหน่ง (100,600) |
| เซ็นเซอร์ตัวที่ 2 | ตำแหน่ง (100,400) |
| เซ็นเซอร์ตัวที่ 3 | ตำแหน่ง (100,200) |
| พื้นที่สีขาว | 8.07 % (16.25 m ²) |



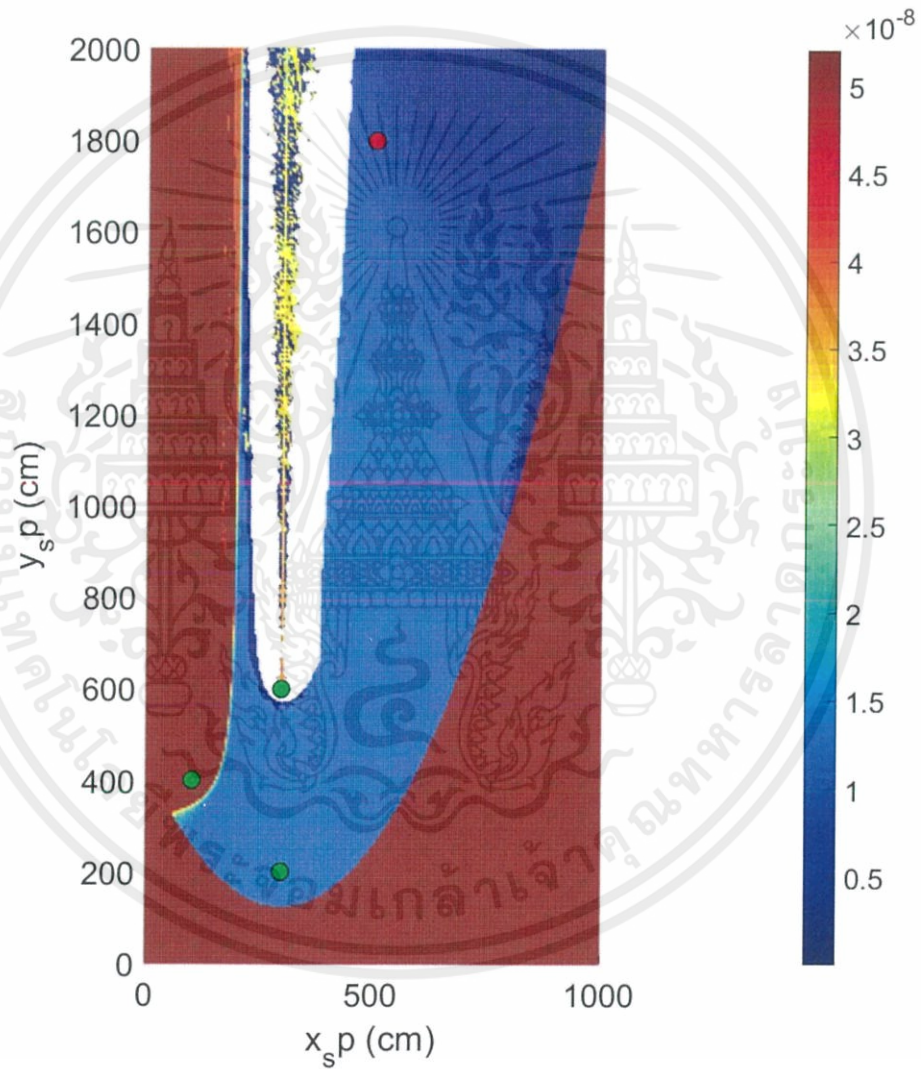
รูปที่ 4.9 การคาดคะเนตำแหน่งของแหล่งกำเนิดคลื่นเมื่อวางเซ็นเซอร์ที่ตำแหน่ง (100,600) , (100,400) , (100,200)

- | | |
|----------------------|-------------------------------|
| 9. เซ็นเซอร์ตัวที่ 1 | ตำแหน่ง (500,200) |
| เซ็นเซอร์ตัวที่ 2 | ตำแหน่ง (300,400) |
| เซ็นเซอร์ตัวที่ 3 | ตำแหน่ง (700,400) |
| พื้นที่สีขาว | 0.34 % (0.68 m ²) |



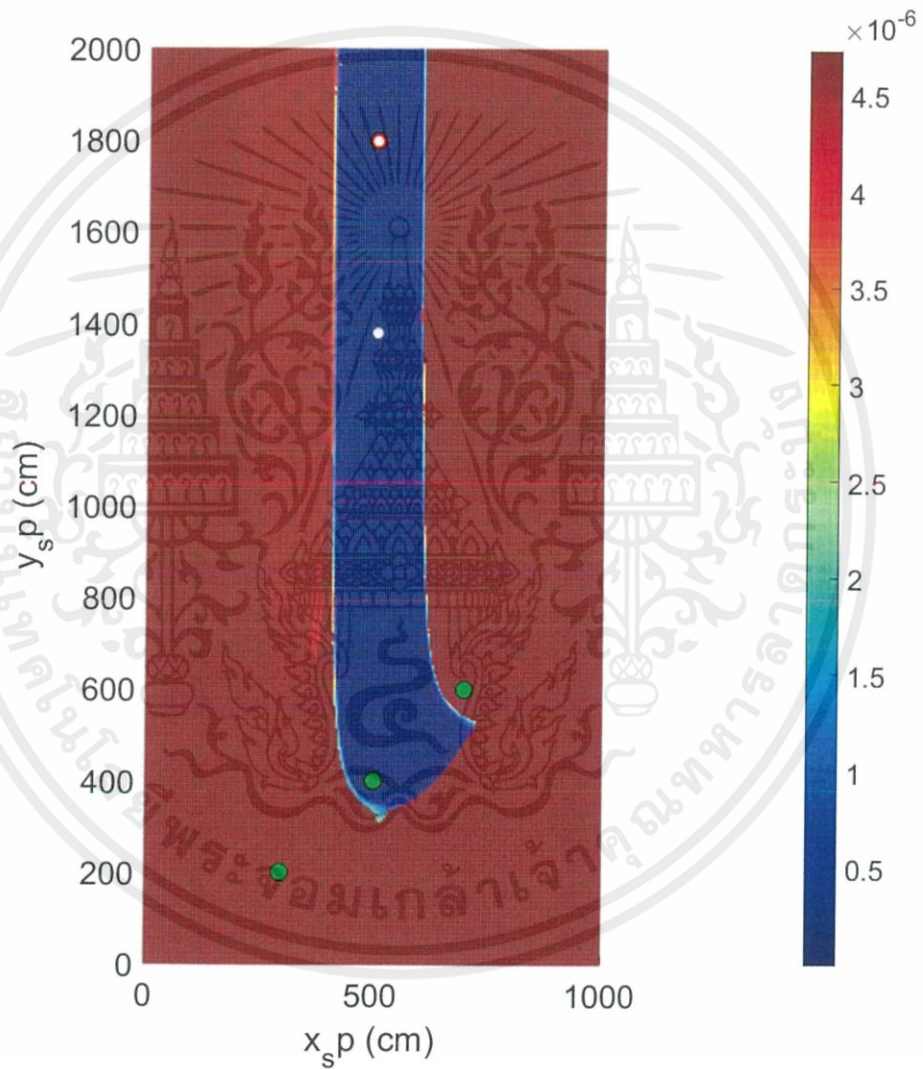
รูปที่ 4.10 การคาดคะเนตำแหน่งของแหล่งกำเนิดกลิ่นเมื่อวางเซ็นเซอร์ที่ตำแหน่ง (500,200) , (300,400) , (700,400)

10. เซ็นเซอร์ตัวที่ 1	ตำแหน่ง (100,400)
เซ็นเซอร์ตัวที่ 2	ตำแหน่ง (300,600)
เซ็นเซอร์ตัวที่ 3	ตำแหน่ง (300,200)
พื้นที่สีขา	5.77 % (11.62 m ²)



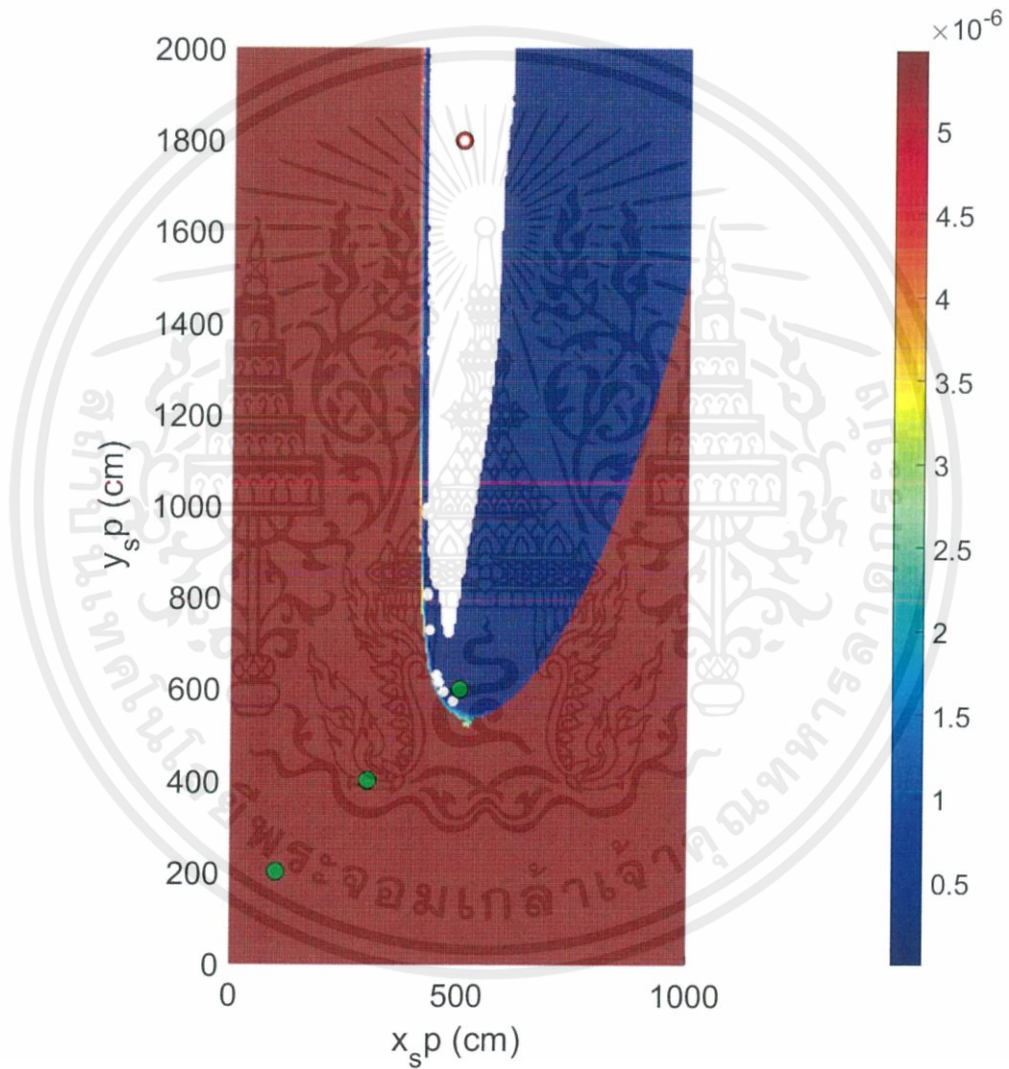
รูปที่ 4.11 การคาดคะเนตำแหน่งของแหล่งกำเนิดคลื่นเมื่อวางเซ็นเซอร์ที่ตำแหน่ง (100,400) , (300,600) , (300,200)

- | | |
|-----------------------|-------------------------------|
| 11. เซ็นเซอร์ตัวที่ 1 | ตำแหน่ง (500,400) |
| เซ็นเซอร์ตัวที่ 2 | ตำแหน่ง (300,200) |
| เซ็นเซอร์ตัวที่ 3 | ตำแหน่ง (700,600) |
| พื้นที่สีขาว | 0.01 % (0.01 m ²) |



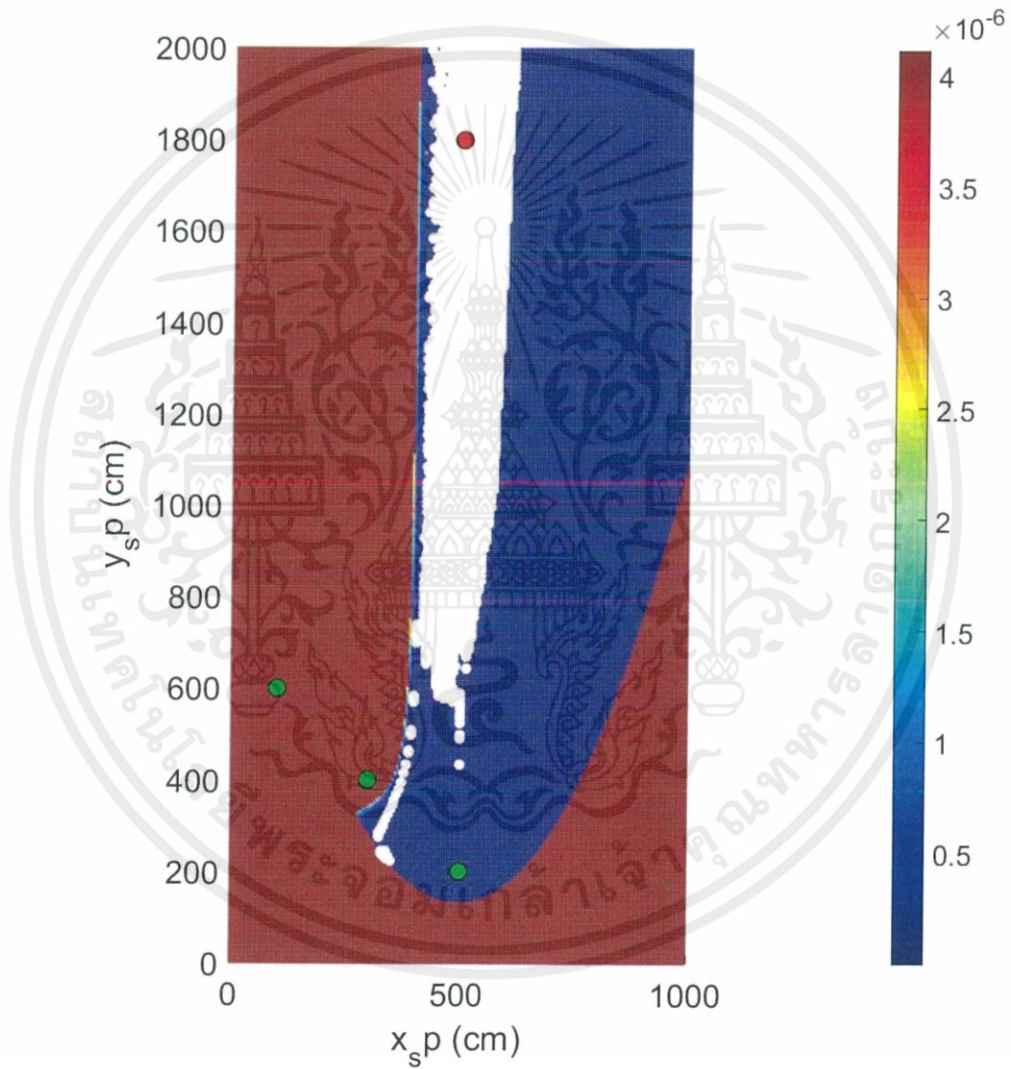
รูปที่ 4.12 การคาดคะเนตำแหน่งของแหล่งกำเนิดคลื่นเมื่อวางเซ็นเซอร์ที่ตำแหน่ง (500,400) , (300,200) , (700,600)

- | | |
|-----------------------|--------------------------------|
| 12. เซ็นเซอร์ตัวที่ 1 | ตำแหน่ง (100,200) |
| เซ็นเซอร์ตัวที่ 2 | ตำแหน่ง (300,400) |
| เซ็นเซอร์ตัวที่ 3 | ตำแหน่ง (500,600) |
| พื้นที่สีขาว | 7.41 % (14.94 m ²) |



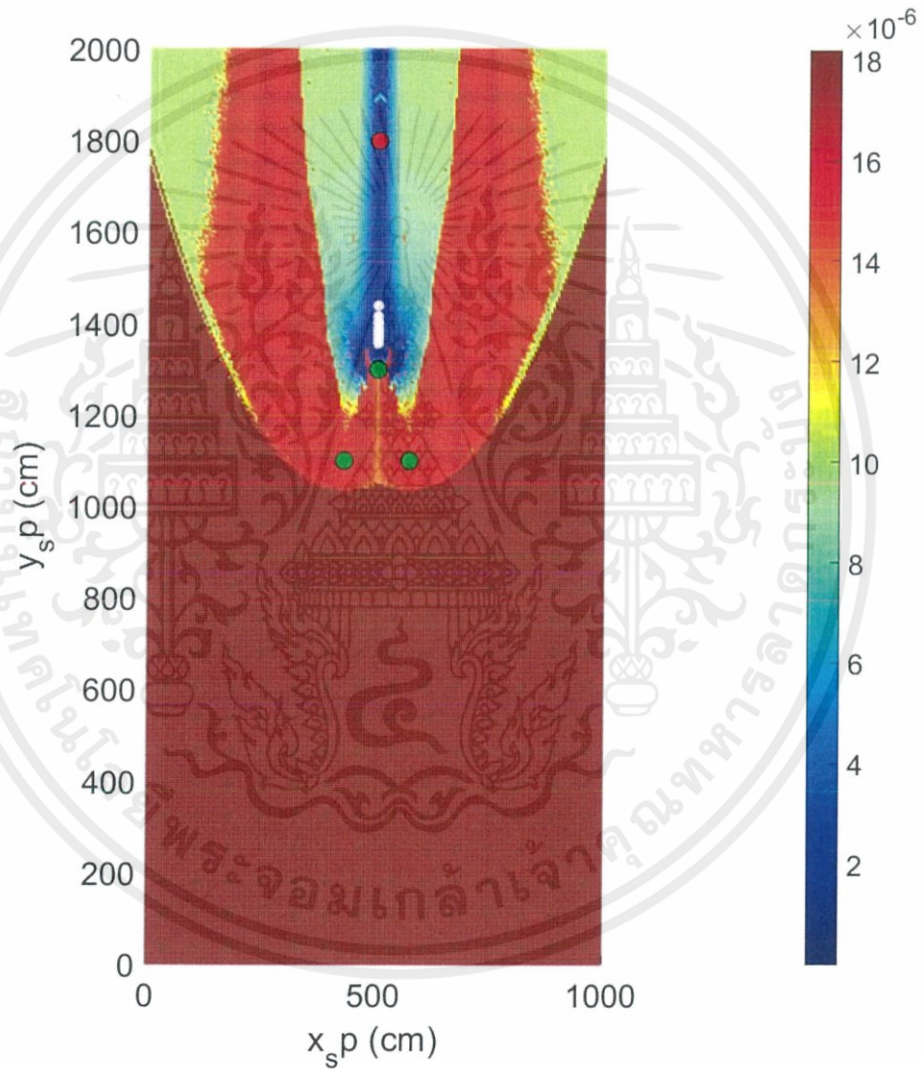
รูปที่ 4.13 การคาดคะเนตำแหน่งของแหล่งกำเนิดคลื่นเมื่อวางเซ็นเซอร์ที่ตำแหน่ง
(100,200) , (300,400) , (500,600)

13. เซ็นเซอร์ตัวที่ 1	ตำแหน่ง (100,600)
เซ็นเซอร์ตัวที่ 2	ตำแหน่ง (300,400)
เซ็นเซอร์ตัวที่ 3	ตำแหน่ง (500,200)
พื้นที่สีขา	8.35 % (16.82 m ²)



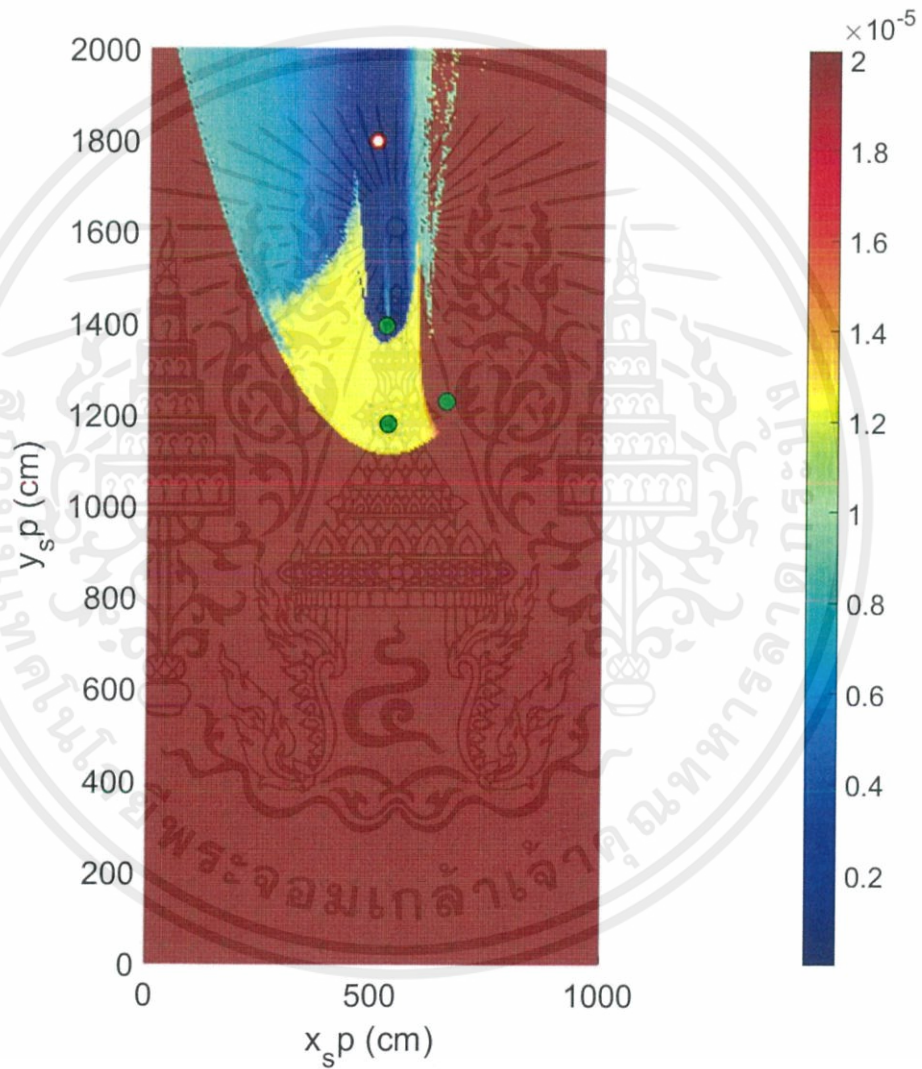
รูปที่ 4.14 การคาดคะเนตำแหน่งของแหล่งกำเนิดคลื่นเมื่อวางเซ็นเซอร์ที่ตำแหน่ง (100,600) , (300,400) , (500,200)

- | | |
|-----------------------|-------------------------------|
| 14. เซ็นเซอร์ตัวที่ 1 | ตำแหน่ง (500,1300) |
| เซ็นเซอร์ตัวที่ 2 | ตำแหน่ง (430,1100) |
| เซ็นเซอร์ตัวที่ 3 | ตำแหน่ง (570,1100) |
| พื้นที่สีขาว | 0.01 % (0.03 m ²) |



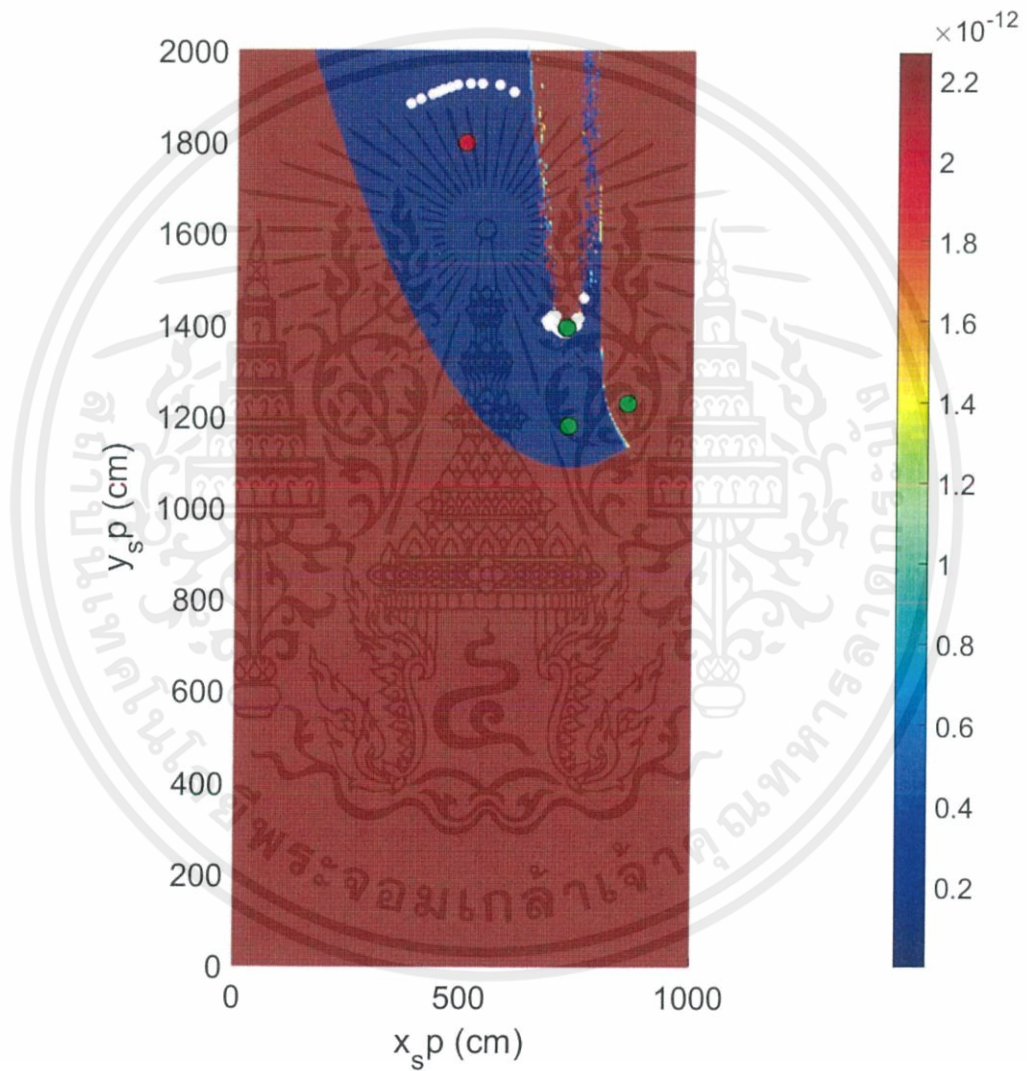
รูปที่ 4.15 การคาดคะเนตำแหน่งของแหล่งกำเนิดกลิ่นเมื่อวางเซ็นเซอร์ที่ตำแหน่ง (500,1300) , (430,1100) , (570,1100)

- | | |
|-----------------------|-------------------------------|
| 15. เซ็นเซอร์ตัวที่ 1 | ตำแหน่ง (525,1395) |
| เซ็นเซอร์ตัวที่ 2 | ตำแหน่ง (530,1180) |
| เซ็นเซอร์ตัวที่ 3 | ตำแหน่ง (660,1230) |
| พื้นที่สีขา | 0.01 % (0.00 m ²) |



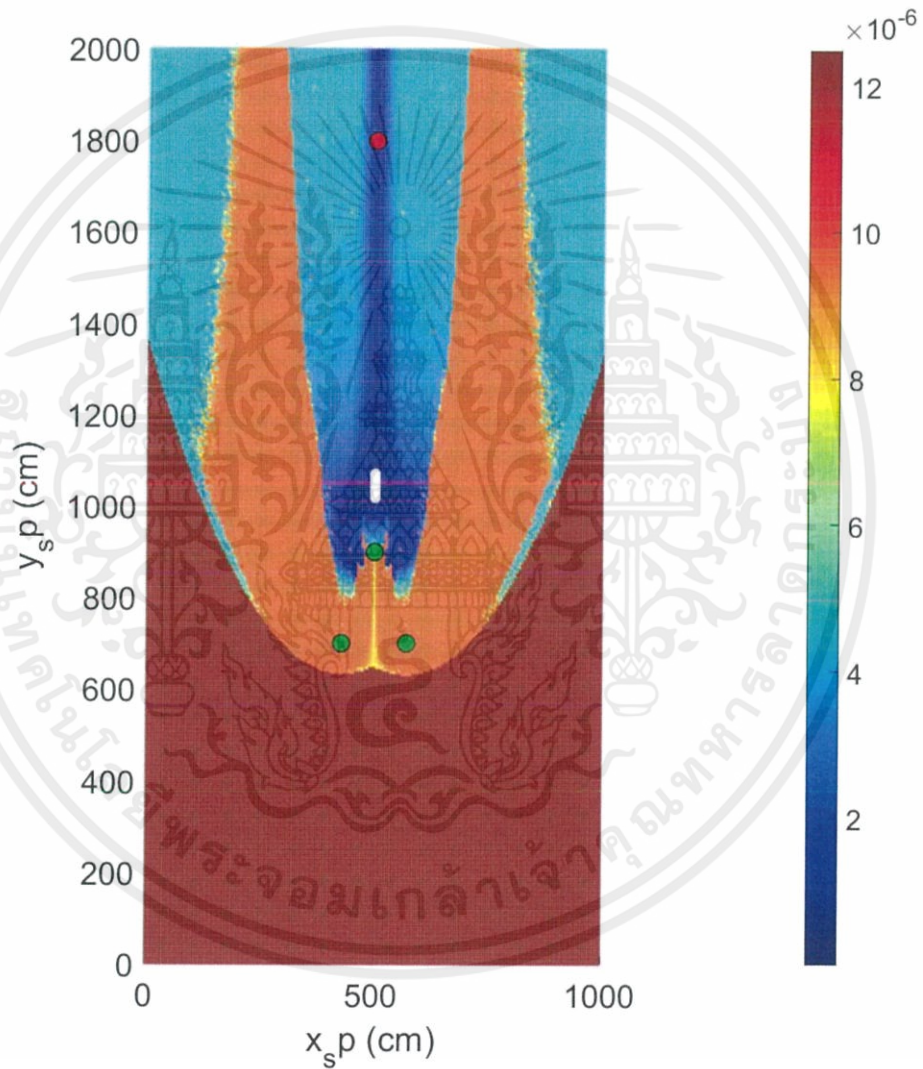
รูปที่ 4.16 การคาดคะเนตำแหน่งของแหล่งกำเนิดกลิ่นเมื่อวางเซ็นเซอร์ที่ตำแหน่ง
(525,1395) , (530,1180) , (660,1230)

- | | |
|-----------------------|-------------------------------|
| 16. เซ็นเซอร์ตัวที่ 1 | ตำแหน่ง (725,1395) |
| เซ็นเซอร์ตัวที่ 2 | ตำแหน่ง (730,1180) |
| เซ็นเซอร์ตัวที่ 3 | ตำแหน่ง (860,1230) |
| พื้นที่สีขา | 0.04 % (0.08 m ²) |



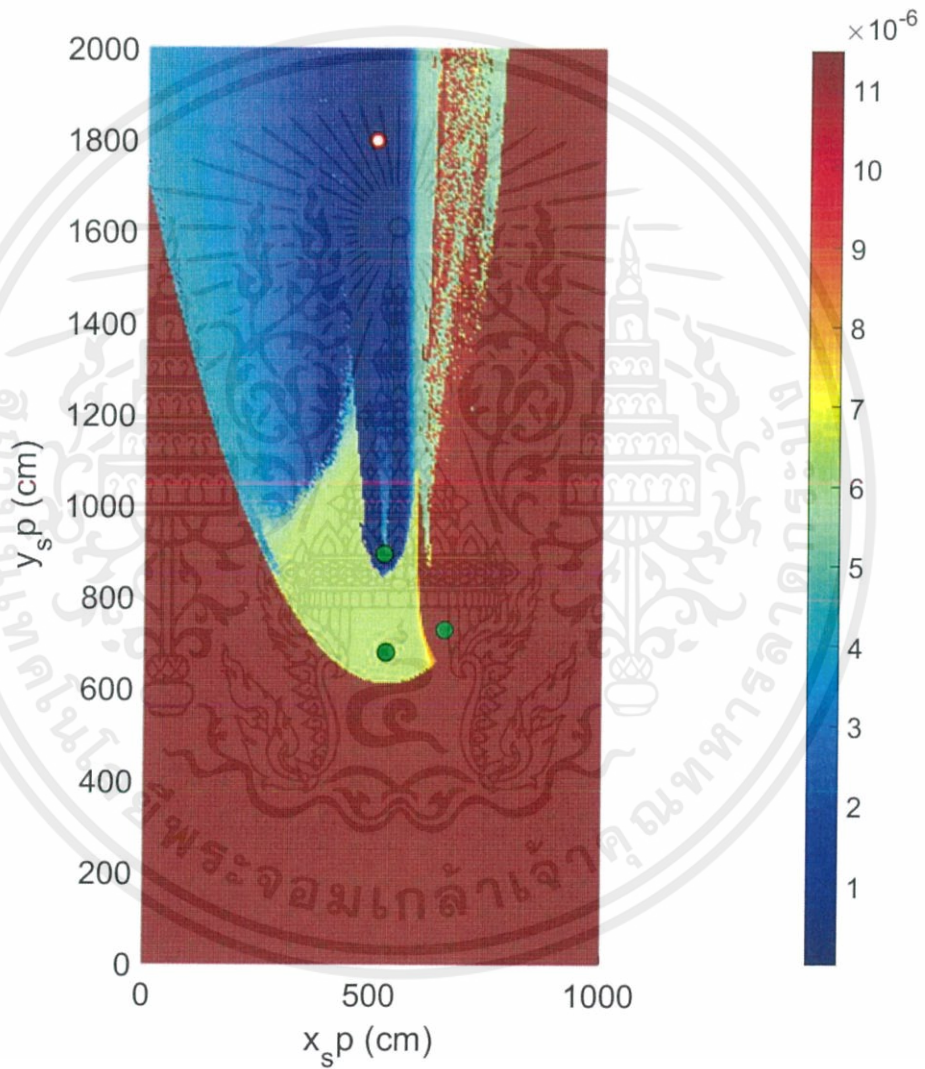
รูปที่ 4.17 การคาดคะเนตำแหน่งของแหล่งกำเนิดกลิ่นเมื่อวางเซ็นเซอร์ที่ตำแหน่ง (725,1395) , (730,1180) , (860,1230)

- | | |
|-----------------------|-------------------------------|
| 17. เซ็นเซอร์ตัวที่ 1 | ตำแหน่ง (500,900) |
| เซ็นเซอร์ตัวที่ 2 | ตำแหน่ง (430,700) |
| เซ็นเซอร์ตัวที่ 3 | ตำแหน่ง (570,700) |
| พื้นที่สีขาว | 0.01 % (0.03 m ²) |



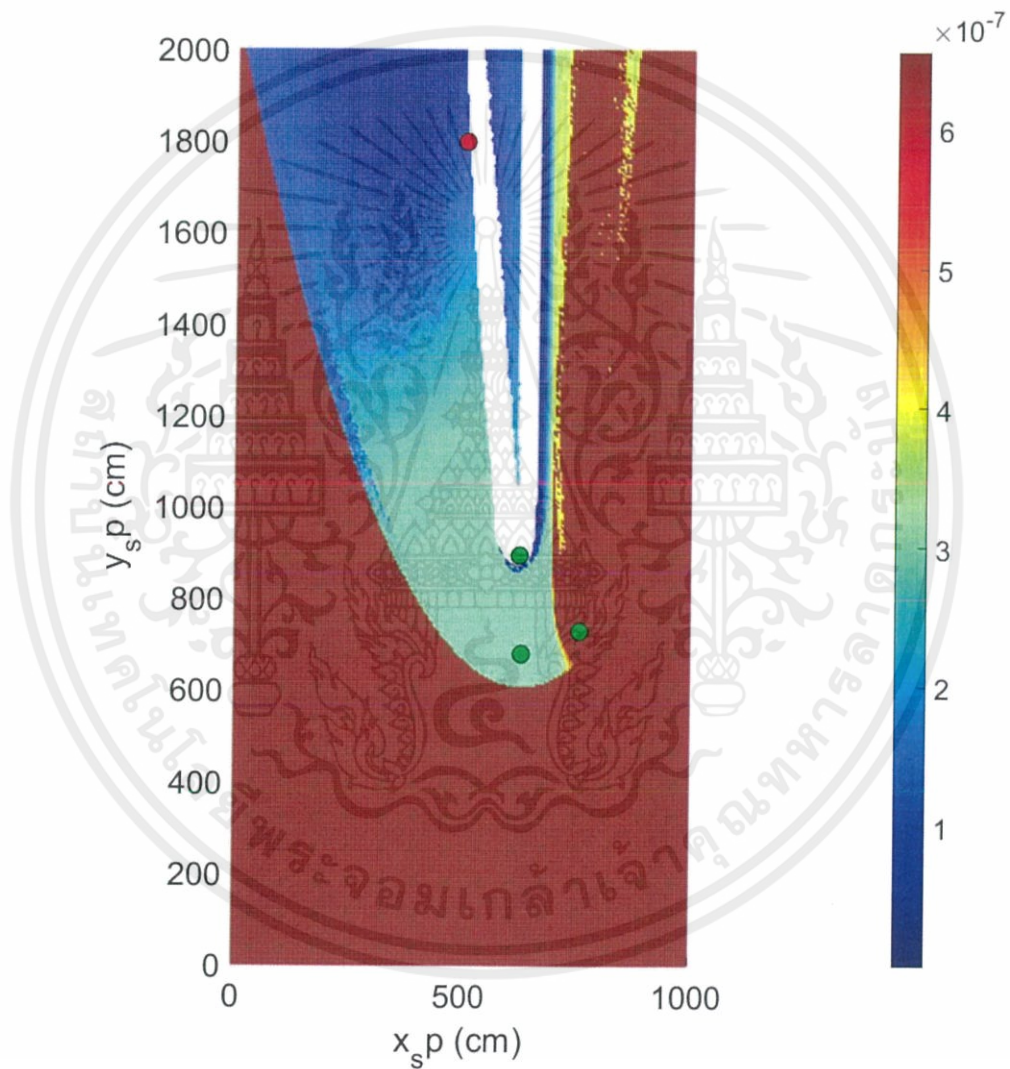
รูปที่ 4.18 การคาดคะเนตำแหน่งของแหล่งกำเนิดกลิ่นเมื่อวางเซ็นเซอร์ที่ตำแหน่ง (500,900) , (430,700) , (570,700)

- | | |
|-----------------------|-------------------------------|
| 18. เซ็นเซอร์ตัวที่ 1 | ตำแหน่ง (525,895) |
| เซ็นเซอร์ตัวที่ 2 | ตำแหน่ง (530,680) |
| เซ็นเซอร์ตัวที่ 3 | ตำแหน่ง (660,730) |
| พื้นที่สีขาว | 0.01 % (0.00 m ²) |



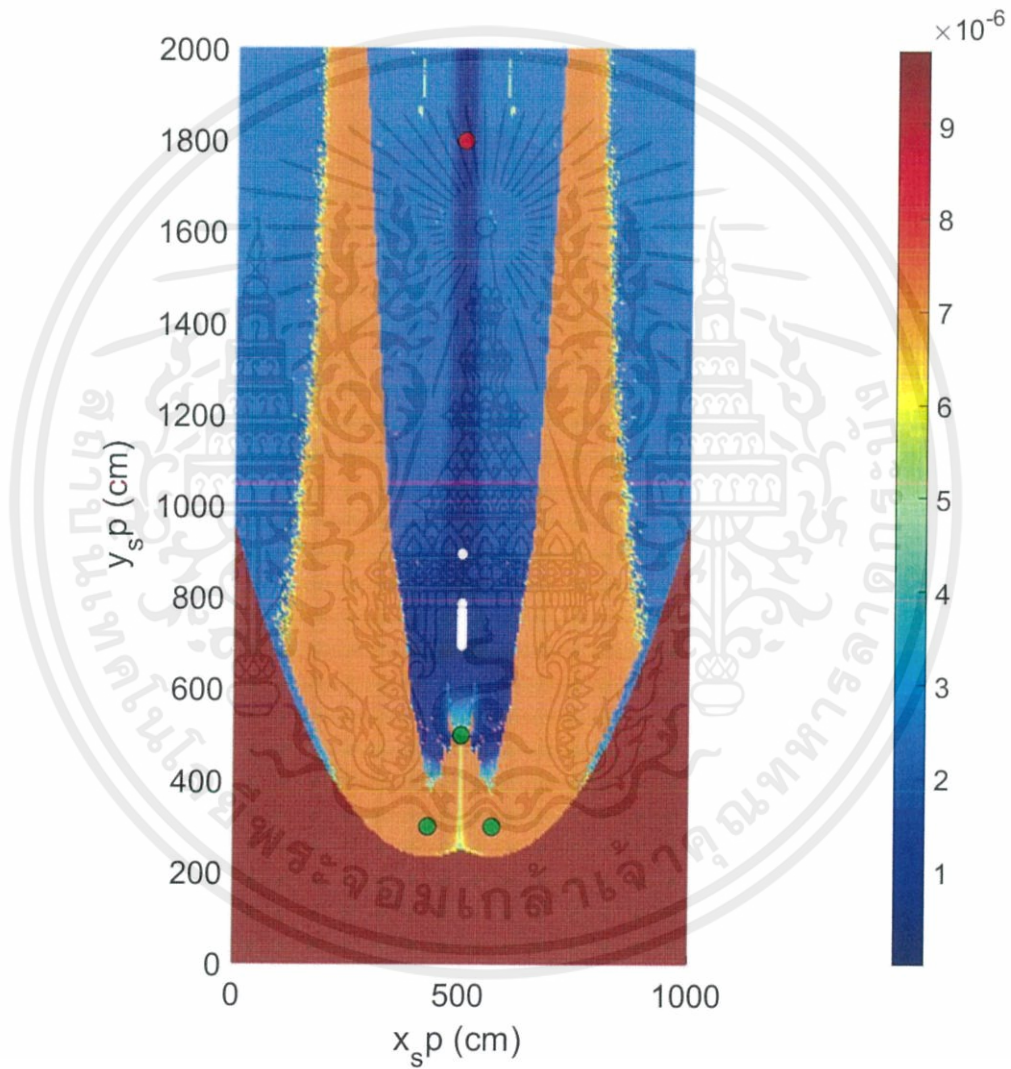
รูปที่ 4.19 การคาดคะเนตำแหน่งของแหล่งกำเนิดกลิ่นเมื่อวางเซ็นเซอร์ที่ตำแหน่ง
(525,895) , (530,680) , (660,730)

19. เซ็นเซอร์ตัวที่ 1	ตำแหน่ง (625,895)
เซ็นเซอร์ตัวที่ 2	ตำแหน่ง (630,680)
เซ็นเซอร์ตัวที่ 3	ตำแหน่ง (760,730)
พื้นที่สีขา	3.33 % (6.71 m ²)



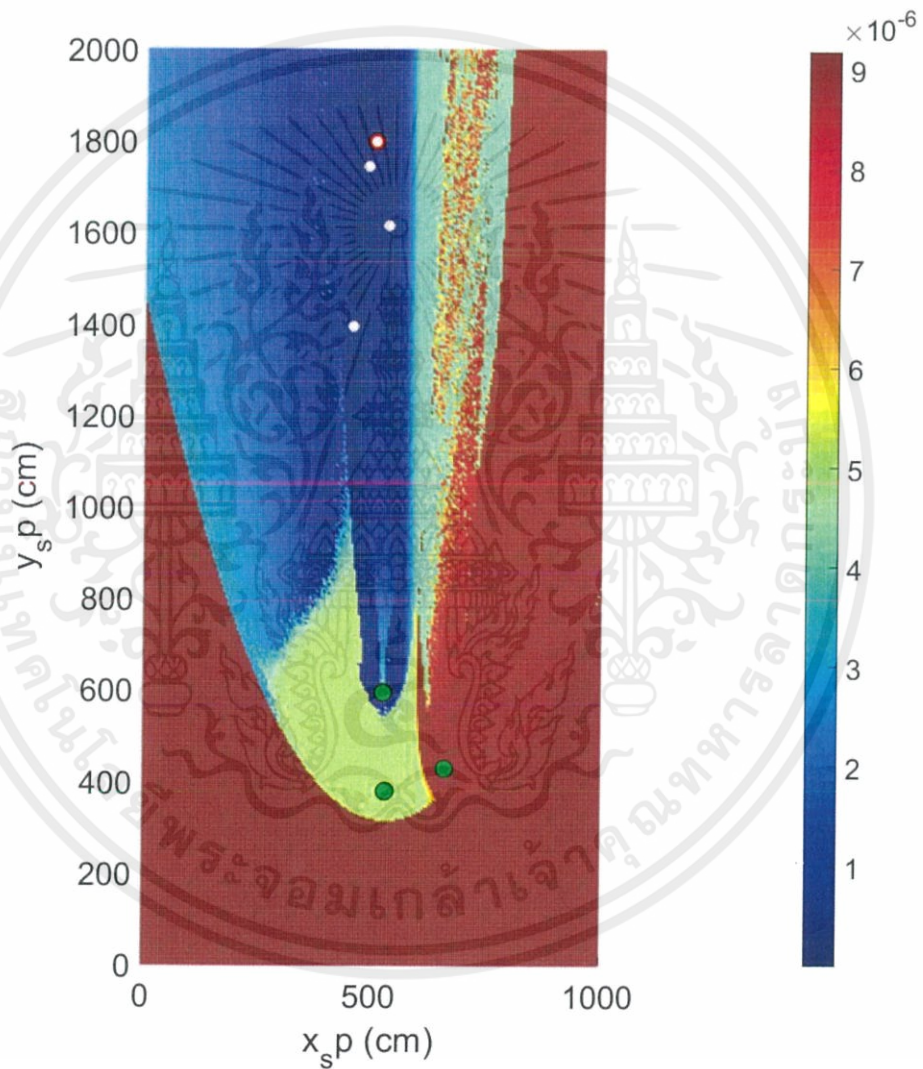
รูปที่ 4.20 การคาดคะเนตำแหน่งของแหล่งกำเนิดกลิ่นเมื่อวางเซ็นเซอร์ที่ตำแหน่ง (625,895) , (630,680) , (760,730)

- | | |
|-----------------------|-------------------------------|
| 20. เซ็นเซอร์ตัวที่ 1 | ตำแหน่ง (500,500) |
| เซ็นเซอร์ตัวที่ 2 | ตำแหน่ง (430,300) |
| เซ็นเซอร์ตัวที่ 3 | ตำแหน่ง (570,300) |
| พื้นที่สีขา | 0.01 % (0.03 m ²) |



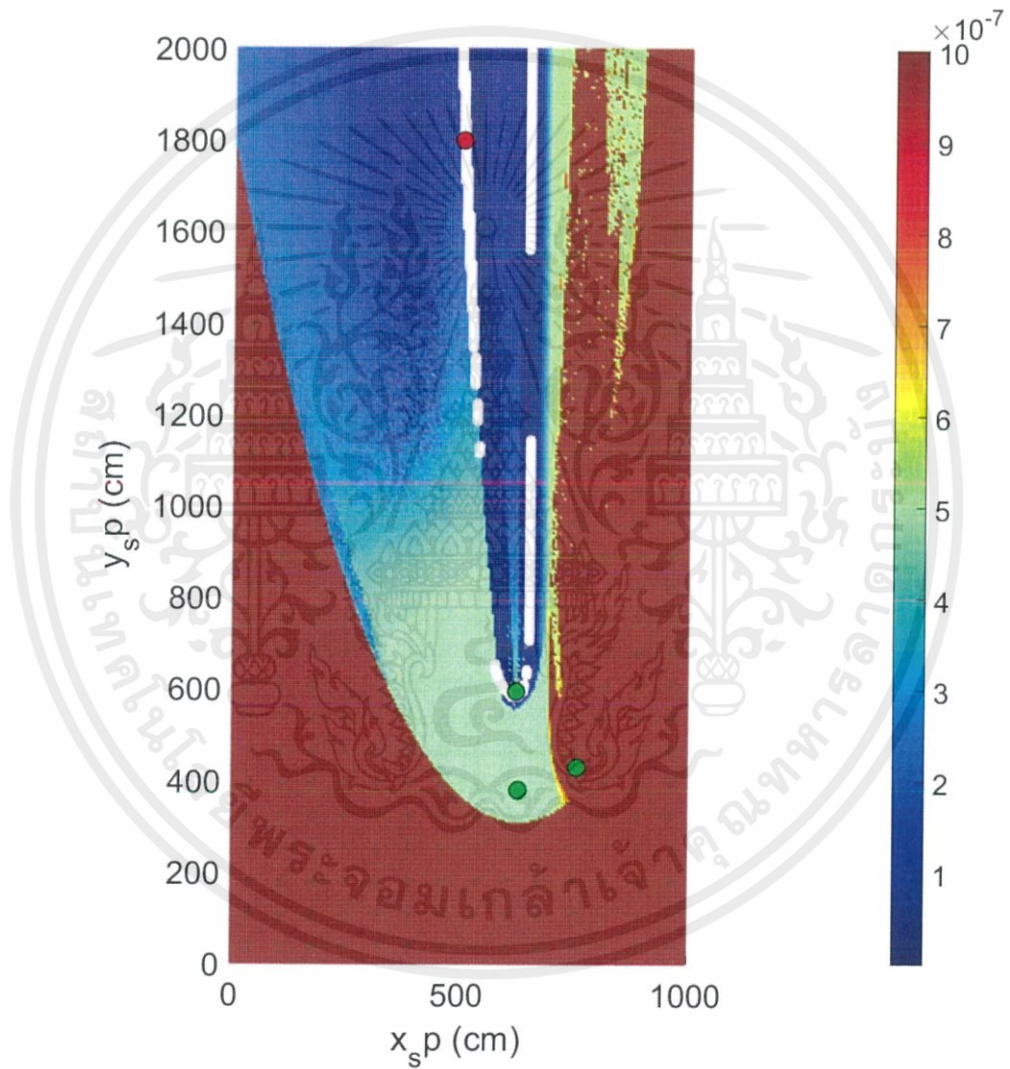
รูปที่ 4.21 การคาดคะเนตำแหน่งของแหล่งกำเนิดกลิ่นเมื่อวางเซ็นเซอร์ที่ตำแหน่ง (500,500) , (430,300) , (570,300)

- | | |
|-----------------------|-------------------------------|
| 21. เซ็นเซอร์ตัวที่ 1 | ตำแหน่ง (525,595) |
| เซ็นเซอร์ตัวที่ 2 | ตำแหน่ง (530,380) |
| เซ็นเซอร์ตัวที่ 3 | ตำแหน่ง (660,430) |
| พื้นที่สีขา | 0.01 % (0.01 m ²) |



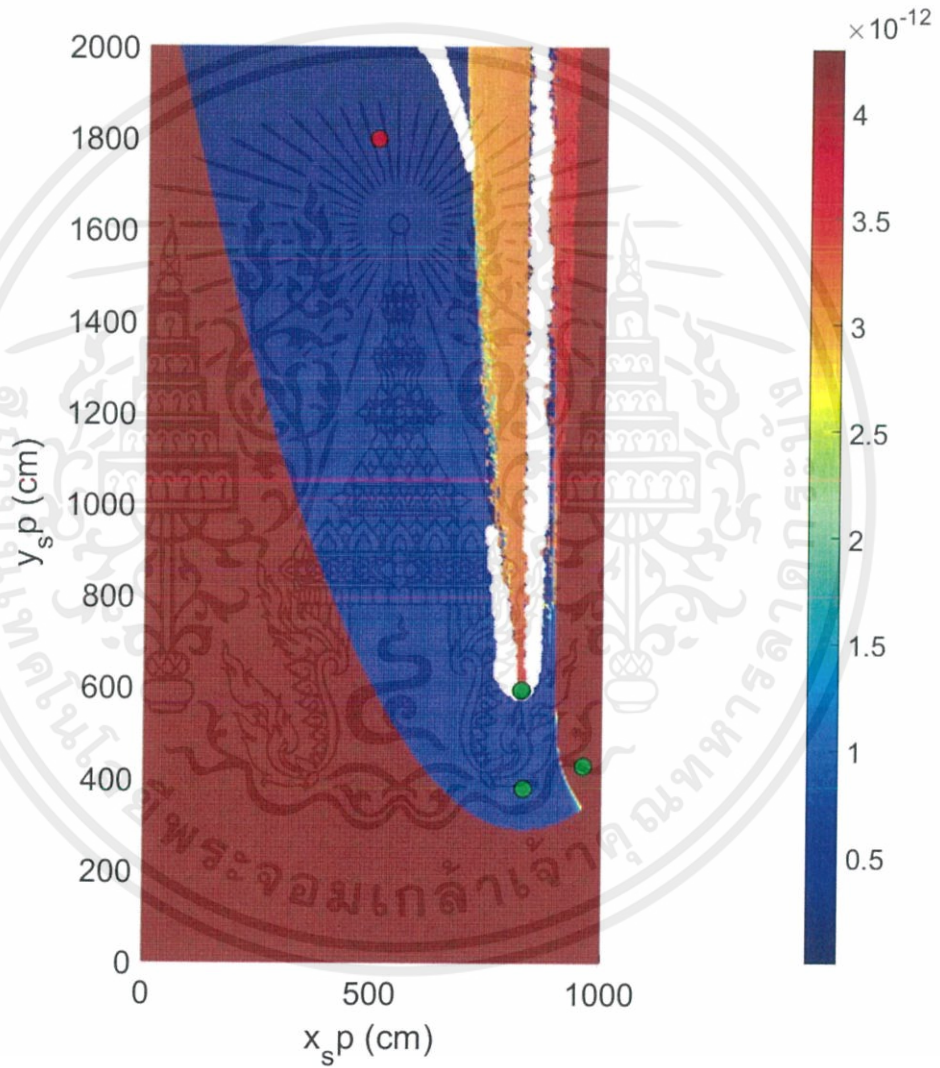
รูปที่ 4.22 การคาดคะเนตำแหน่งของแหล่งกำเนิดกลิ่นเมื่อวางเซ็นเซอร์ที่ตำแหน่ง (525,595) , (530,380) , (660,430)

22. เซ็นเซอร์ตัวที่ 1	ตำแหน่ง (625,595)
เซ็นเซอร์ตัวที่ 2	ตำแหน่ง (630,380)
เซ็นเซอร์ตัวที่ 3	ตำแหน่ง (760,430)
พื้นที่สีขา	0.48 % (0.97 m ²)



รูปที่ 4.23 การคาดคะเนตำแหน่งของแหล่งกำเนิดกลิ่นเมื่อวางเซ็นเซอร์ที่ตำแหน่ง (625,595) , (630,380) , (760,430)

23. เซ็นเซอร์ตัวที่ 1	ตำแหน่ง (825,595)
เซ็นเซอร์ตัวที่ 2	ตำแหน่ง (830,380)
เซ็นเซอร์ตัวที่ 3	ตำแหน่ง (960,430)
พื้นที่สีขาว	1.44 % (2.91 m ²)



รูปที่ 4.24 การคาดคะเนตำแหน่งของแหล่งกำเนิดกลิ่นเมื่อวางเซ็นเซอร์ที่ตำแหน่ง (825,595) , (830,380) , (960,430)

ผลการทดลองในรูปที่ 4.2 - 4.24 สรุปพร้อมได้ดังแสดงในตารางที่ 4.1

ตารางที่ 4.1 ผลการทดลองเปลี่ยนตำแหน่งของเซ็นเซอร์ 3 ตัว

ครั้งที่	ตำแหน่ง เซ็นเซอร์ 1	ตำแหน่ง เซ็นเซอร์ 2	ตำแหน่ง เซ็นเซอร์ 3	พื้นที่สีขาว				เวลาที่ใช้ คำนวณ (s)
				จำนวน จุด	%	พื้นที่ (m ²)	ระยะทางคลาดเคลื่อน เฉลี่ย (m)	
1	(500,400)	(300,200)	(700,200)	256	0.32%	0.64	5.46	346.91
2	(500,1300)	(300,1100)	(700,1100)	125	0.16%	0.31	1.76	303.76
3	(100,100)	(300,300)	(500,100)	8047	9.98%	20.12	4.75	352.04
4	(100,100)	(100,500)	(300,300)	1649	2.05%	4.12	7.38	376.38
5	(400,100)	(400,500)	(600,300)	1	0.00%	0.00	0.00	421.68
6	(500,200)	(300,200)	(700,200)	299	0.37%	0.75	5.98	383.21
7	(500,200)	(300,200)	(100,200)	8899	11.04%	22.25	5.18	368.30
8	(100,600)	(100,400)	(100,200)	6501	8.07%	16.25	3.35	255.48
9	(500,200)	(300,400)	(700,400)	272	0.34%	0.68	5.18	371.79
10	(100,400)	(300,600)	(300,200)	4647	5.77%	11.62	6.01	241.26
11	(500,400)	(300,200)	(700,600)	4	0.00%	0.01	1.08	417.66
12	(100,200)	(300,400)	(500,600)	5976	7.41%	14.94	3.63	397.13
13	(100,600)	(300,400)	(500,200)	6728	8.35%	16.82	5.00	385.52
14	(500,1300)	(430,1100)	(570,1100)	12	0.01%	0.03	4.13	281.83
15	(525,1395)	(530,1180)	(660,1230)	1	0.00%	0.00	0.00	213.31
16	(725,1395)	(730,1180)	(860,1230)	31	0.04%	0.08	3.35	189.01
17	(500,900)	(430,700)	(570,700)	11	0.01%	0.03	7.55	357.18
18	(525,895)	(530,680)	(660,730)	1	0.00%	0.00	0.00	326.02
19	(625,895)	(630,680)	(760,730)	2685	3.33%	6.71	4.17	298.53
20	(500,500)	(430,300)	(570,300)	11	0.01%	0.03	10.57	443.18
21	(525,595)	(530,380)	(660,430)	4	0.00%	0.01	1.63	393.21
22	(625,595)	(630,380)	(760,430)	389	0.48%	0.97	4.30	363.41

ครั้งที่	ตำแหน่ง เซ็นเซอร์ 1	ตำแหน่ง เซ็นเซอร์ 2	ตำแหน่ง เซ็นเซอร์ 3	พื้นที่สีขาว				เวลาที่ใช้ คำนวณ (s)
				จำนวน จุด	%	พื้นที่ (m ²)	ระยะทางคลาดเคลื่อน เฉลี่ย (m)	
23	(825,595)	(830,380)	(960,430)	1164	1.44%	2.91	6.91	318.23
เวลาที่ใช้ในการคำนวณเฉลี่ย = 339.3491304 s								



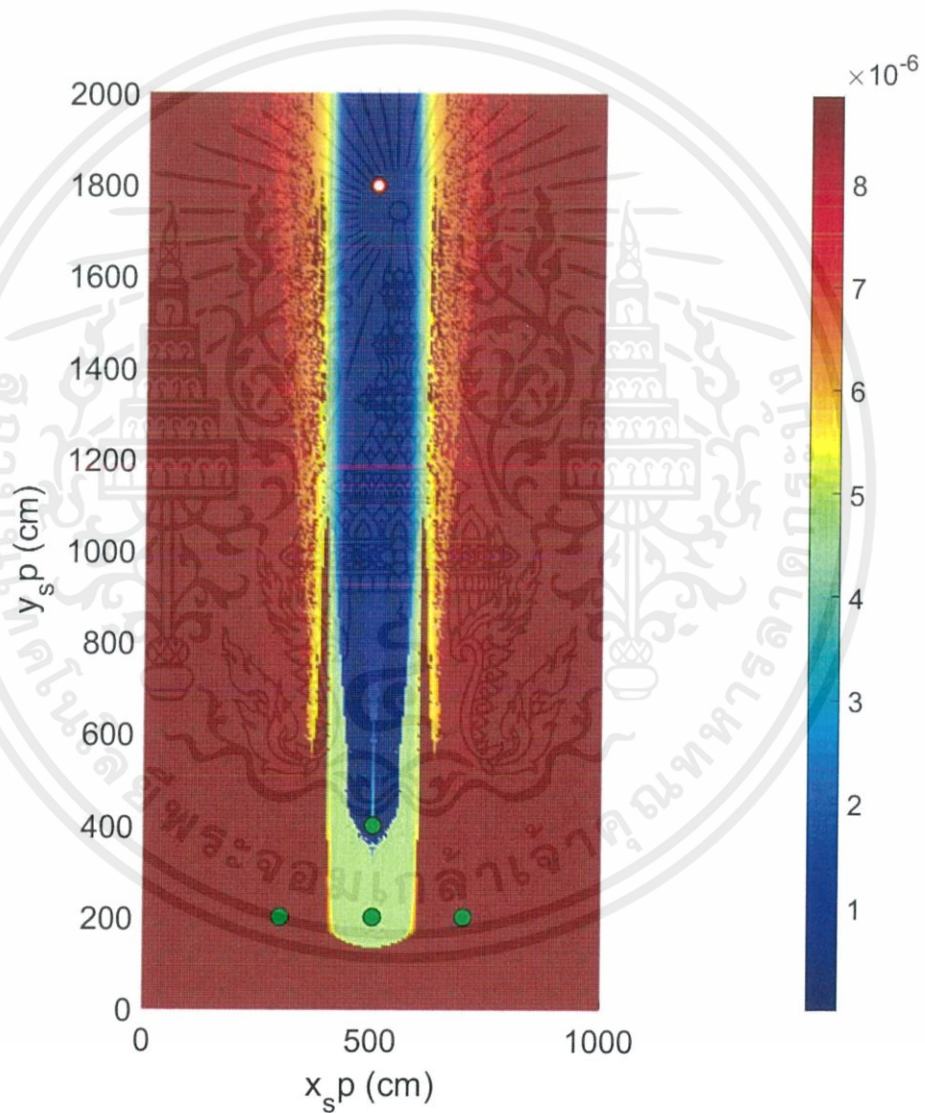
เอกสารนี้เป็นเอกสารที่สงวนไว้ สำหรับการใช้งานเพื่อการศึกษาเท่านั้น ไม่อนุญาตให้นำไปใช้ประโยชน์ด้านการค้า
ไม่ว่ากรณีใด ๆ ทั้งสิ้น อีกทั้งห้ามมิให้ดัดแปลงเนื้อหา และต้องอ้างอิงถึงเจ้าของเอกสารทุกครั้งที่มีการนำไปใช้

4.2 การทดลองคาดคะเนตำแหน่งของแหล่งกำเนิดคลื่นด้วยวิธีการเชิงเลขด้วย เซ็นเซอร์ 4 ตัว

ในส่วนนี้จะทำการทดลองเช่นเดียวกับในหัวข้อ 4.1 โดยเพิ่มจำนวนเซ็นเซอร์เป็น 4 ตัว โดยปรับเปลี่ยนรูปแบบการวางเซ็นเซอร์ทั้งสิ้น 21 รูปแบบ

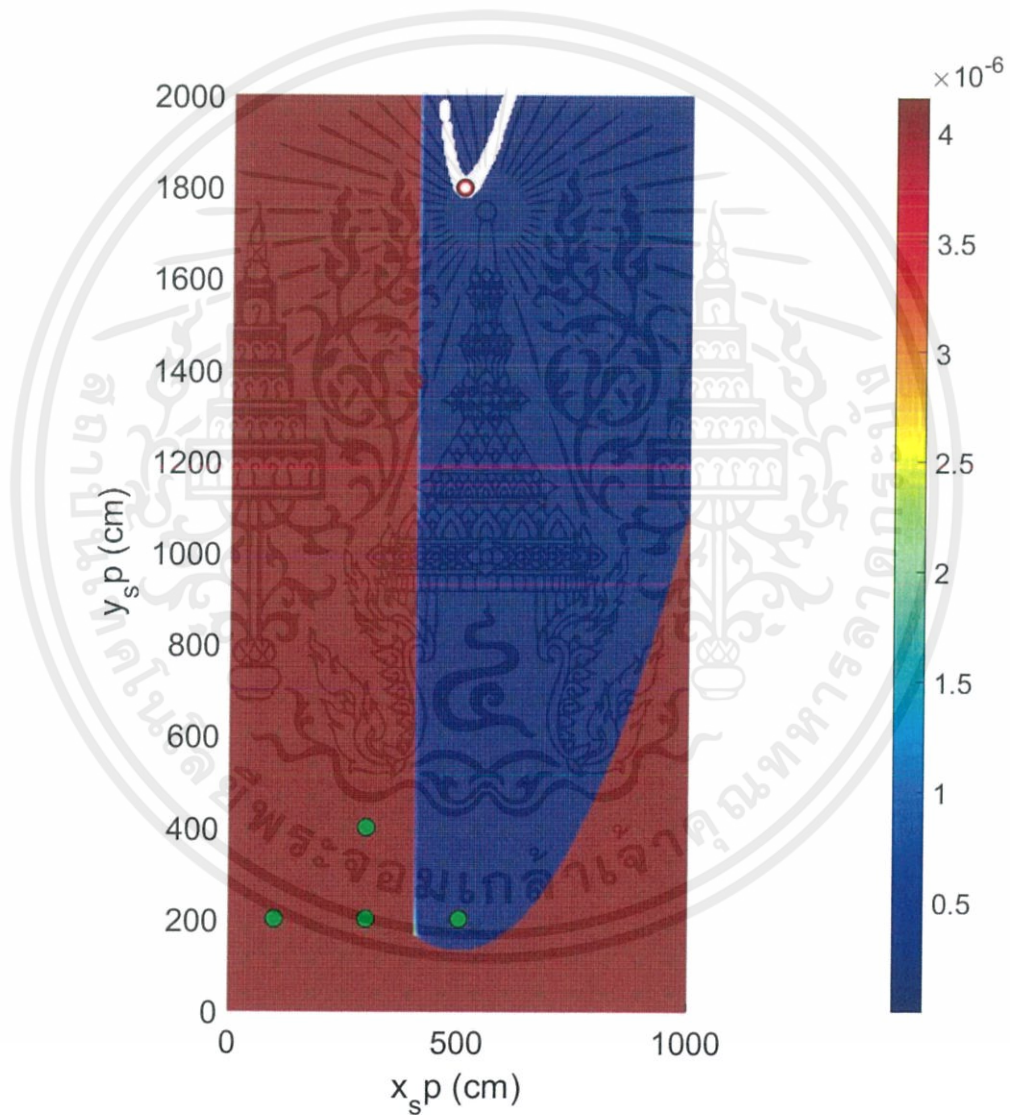


- | | |
|----------------------|-------------------------------|
| 1. เซ็นเซอร์ตัวที่ 1 | ตำแหน่ง (300,200) |
| เซ็นเซอร์ตัวที่ 2 | ตำแหน่ง (500,200) |
| เซ็นเซอร์ตัวที่ 3 | ตำแหน่ง (700,200) |
| เซ็นเซอร์ตัวที่ 4 | ตำแหน่ง (500,400) |
| พื้นที่สีขาว | 0.01 % (0.00 m ²) |



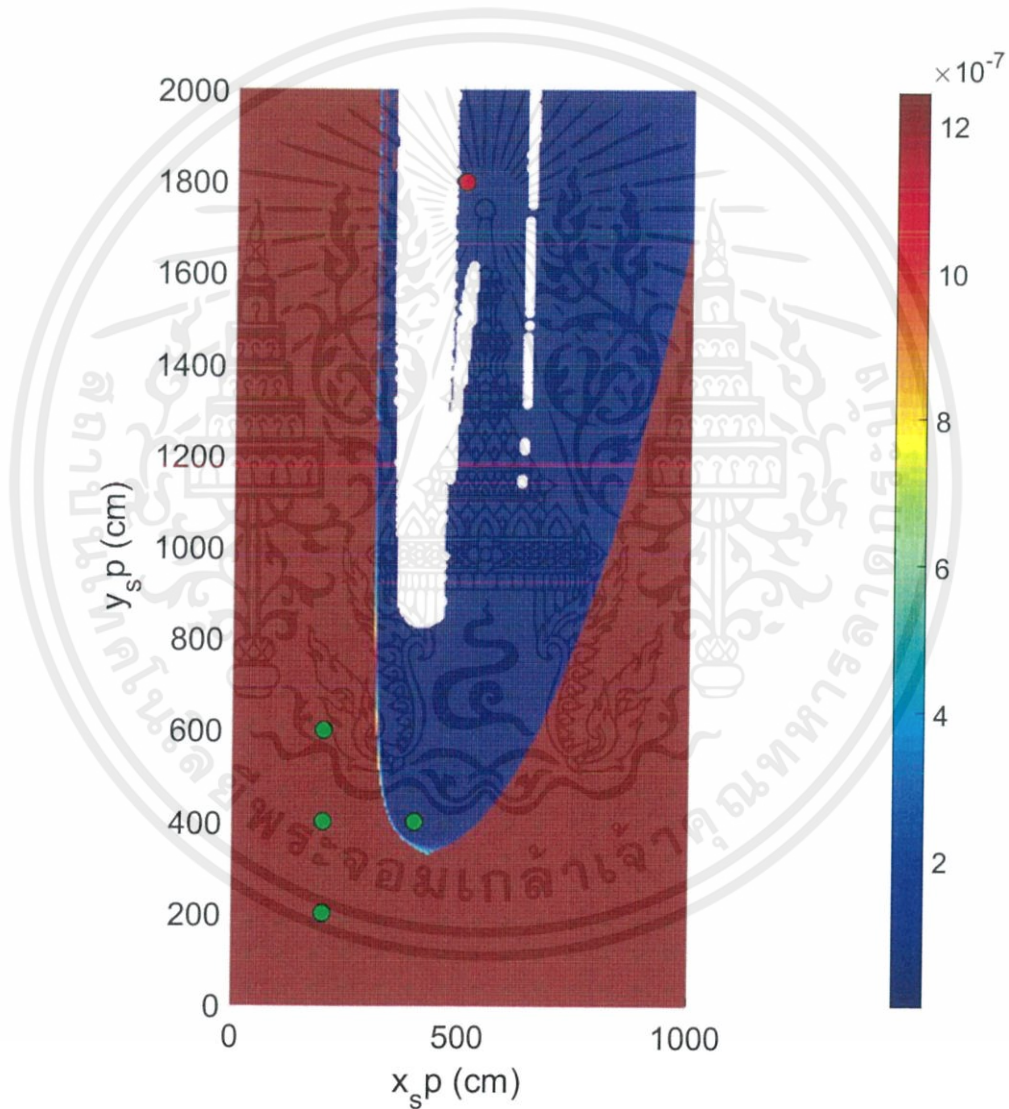
รูปที่ 4.25 การคาดคะเนตำแหน่งของแหล่งกำเนิดคลื่นเมื่อวางเซ็นเซอร์ที่ตำแหน่ง (300,200) , (500,200) , (700,200) , (500,400)

- | | |
|----------------------|-------------------------------|
| 2. เซ็นเซอร์ตัวที่ 1 | ตำแหน่ง (100,200) |
| เซ็นเซอร์ตัวที่ 2 | ตำแหน่ง (300,200) |
| เซ็นเซอร์ตัวที่ 3 | ตำแหน่ง (500,200) |
| เซ็นเซอร์ตัวที่ 4 | ตำแหน่ง (300,400) |
| พื้นที่สีขาว | 0.21 % (0.42 m ²) |



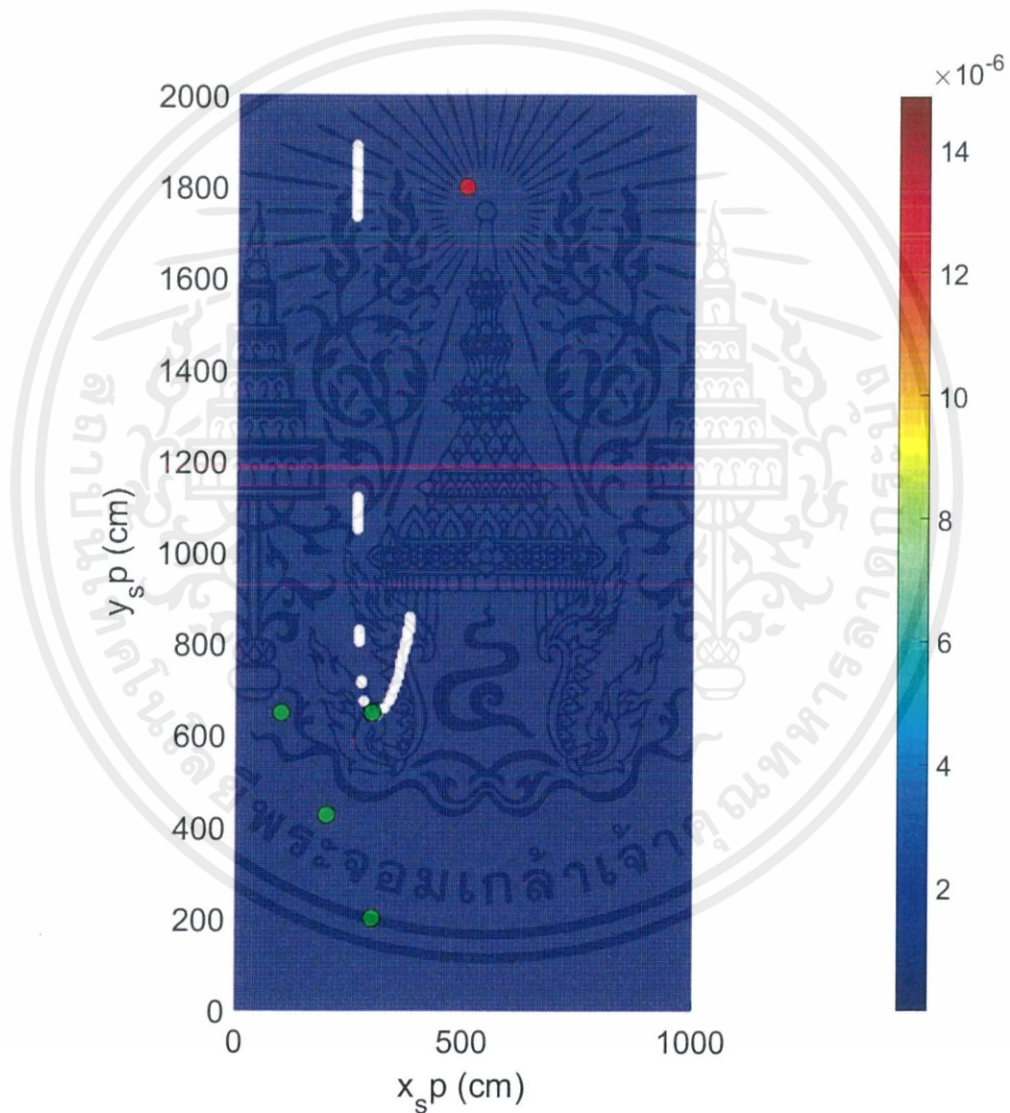
รูปที่ 4.26 การคาดคะเนตำแหน่งของแหล่งกำเนิดคลื่นเมื่อวางเซ็นเซอร์ที่ตำแหน่ง (100,200) , (300,200) , (500,200) , (300,400)

- | | |
|----------------------|--------------------------------|
| 3. เซ็นเซอร์ตัวที่ 1 | ตำแหน่ง (200,200) |
| เซ็นเซอร์ตัวที่ 2 | ตำแหน่ง (200,400) |
| เซ็นเซอร์ตัวที่ 3 | ตำแหน่ง (200,600) |
| เซ็นเซอร์ตัวที่ 4 | ตำแหน่ง (400,400) |
| พื้นที่สีขาว | 6.06 % (12.20 m ²) |



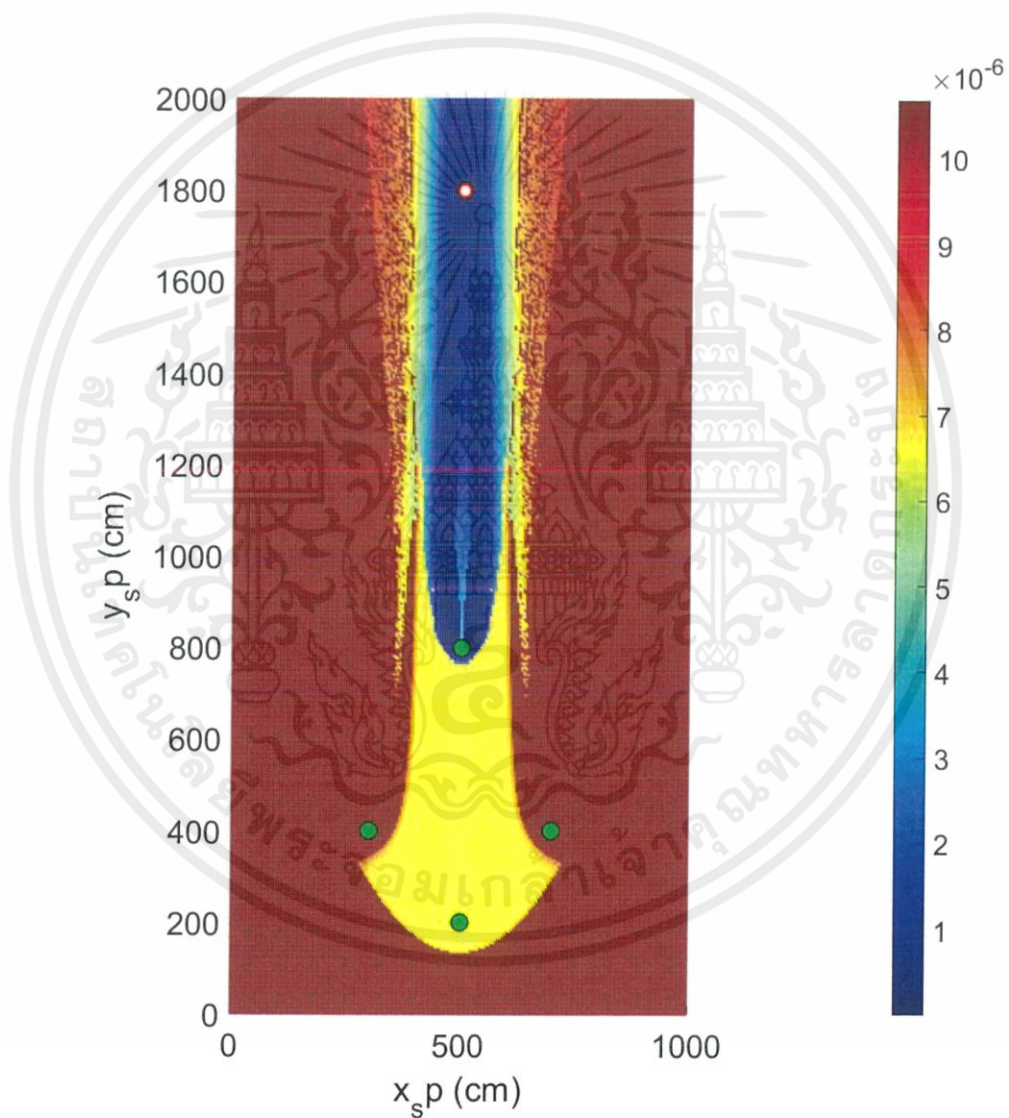
รูปที่ 4.27 การคาดคะเนตำแหน่งของแหล่งกำเนิดกลิ่นเมื่อวางเซ็นเซอร์ที่ตำแหน่ง
(200,200) , (200,400) , (200,600) , (400,400)

- | | |
|----------------------|-------------------------------|
| 4. เซ็นเซอร์ตัวที่ 1 | ตำแหน่ง (300,200) |
| เซ็นเซอร์ตัวที่ 2 | ตำแหน่ง (425,200) |
| เซ็นเซอร์ตัวที่ 3 | ตำแหน่ง (100,650) |
| เซ็นเซอร์ตัวที่ 4 | ตำแหน่ง (300,650) |
| พื้นที่สีขาว | 0.11 % (0.23 m ²) |



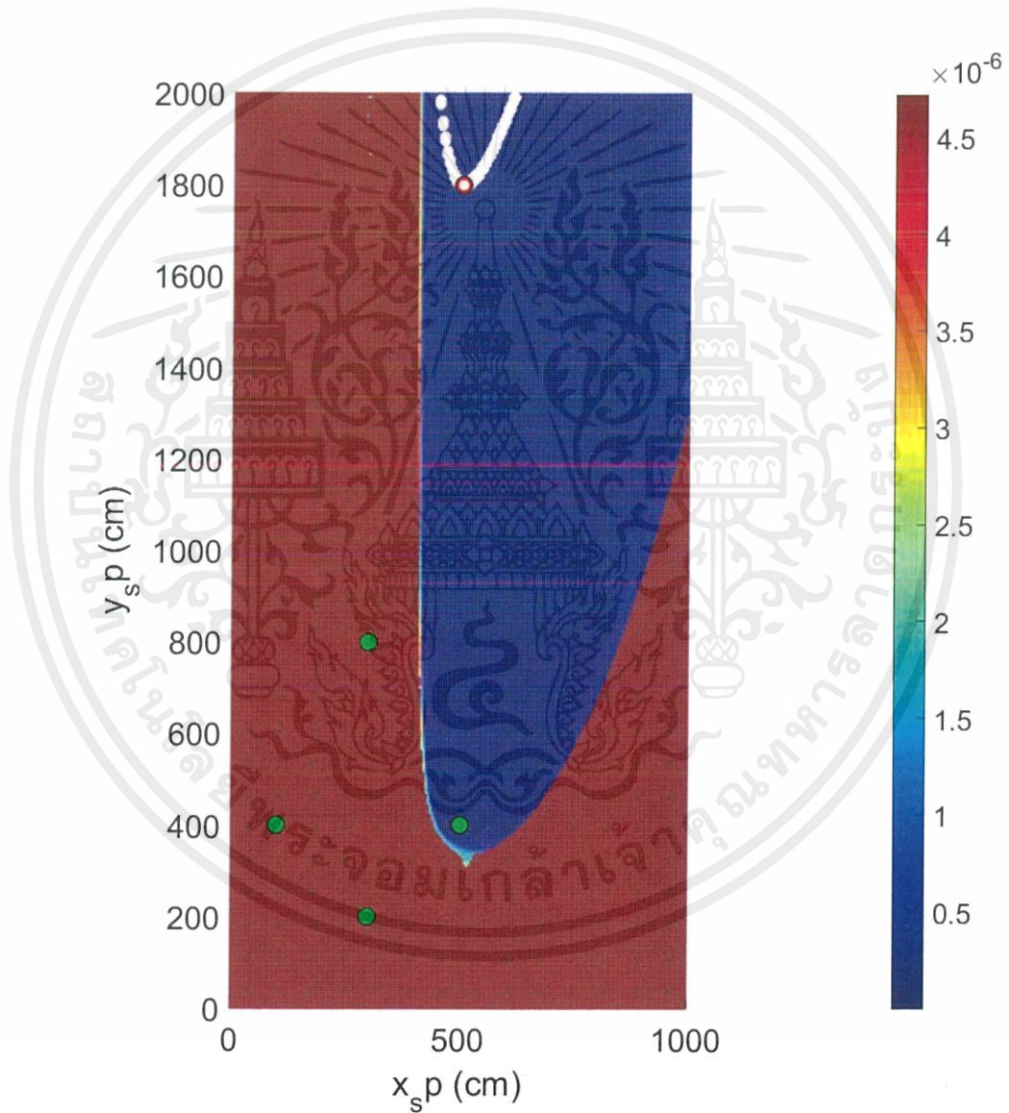
รูปที่ 4.28 การคาดคะเนตำแหน่งของแหล่งกำเนิดคลื่นเมื่อวางเซ็นเซอร์ที่ตำแหน่ง (300,200) , (425,200) , (100,650) , (300,650)

- | | |
|----------------------|-------------------------------|
| 5. เซ็นเซอร์ตัวที่ 1 | ตำแหน่ง (500,200) |
| เซ็นเซอร์ตัวที่ 2 | ตำแหน่ง (300,400) |
| เซ็นเซอร์ตัวที่ 3 | ตำแหน่ง (700,400) |
| เซ็นเซอร์ตัวที่ 4 | ตำแหน่ง (500,800) |
| พื้นที่สีขาว | 0.01 % (0.00 m ²) |



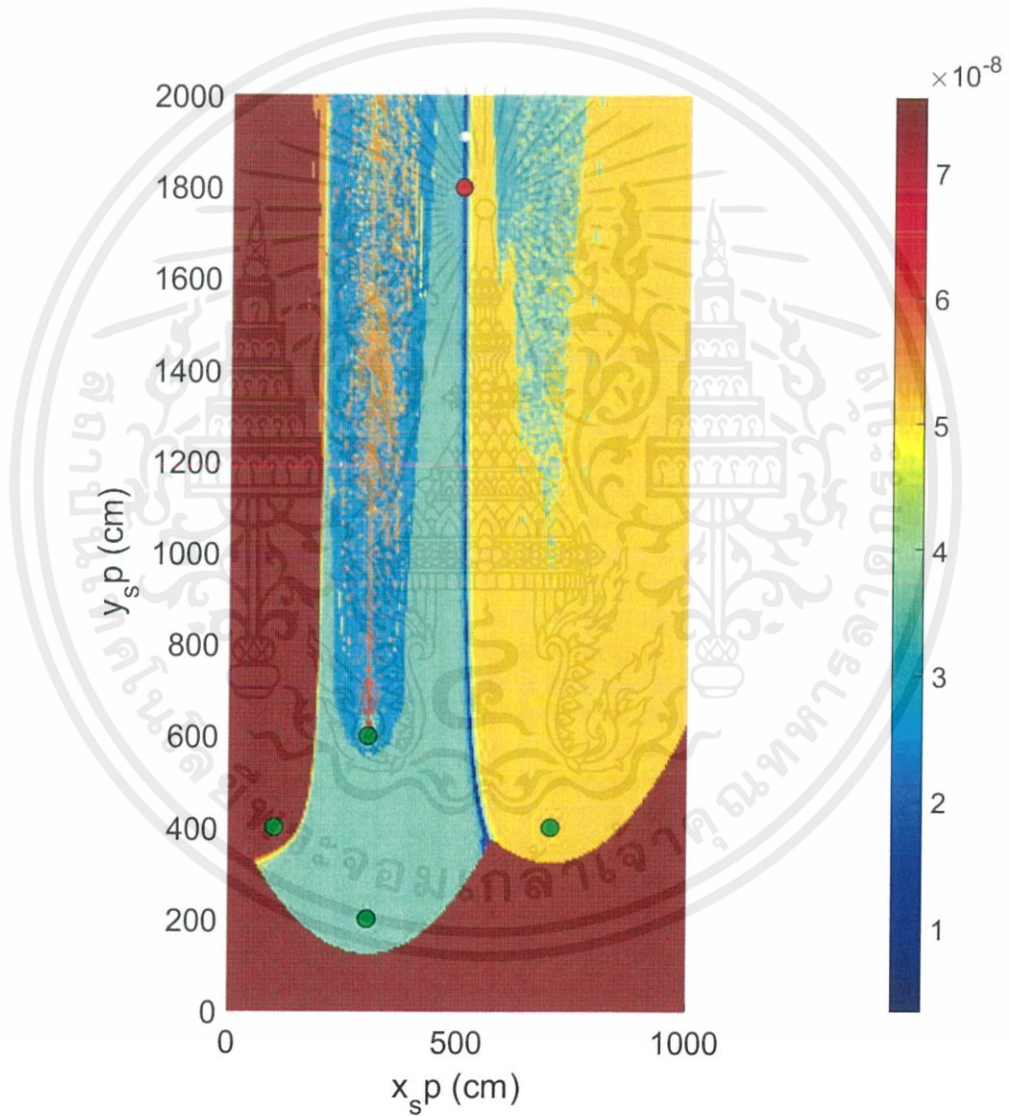
รูปที่ 4.29 การคาดคะเนตำแหน่งของแหล่งกำเนิดคลื่นเมื่อวางเซ็นเซอร์ที่ตำแหน่ง (500,200) , (300,400) , (700,400) , (500,800)

- | | |
|----------------------|-------------------------------|
| 6. เซ็นเซอร์ตัวที่ 1 | ตำแหน่ง (300,200) |
| เซ็นเซอร์ตัวที่ 2 | ตำแหน่ง (100,400) |
| เซ็นเซอร์ตัวที่ 3 | ตำแหน่ง (500,400) |
| เซ็นเซอร์ตัวที่ 4 | ตำแหน่ง (300,800) |
| พื้นที่สีขาว | 0.12 % (0.25 m ²) |



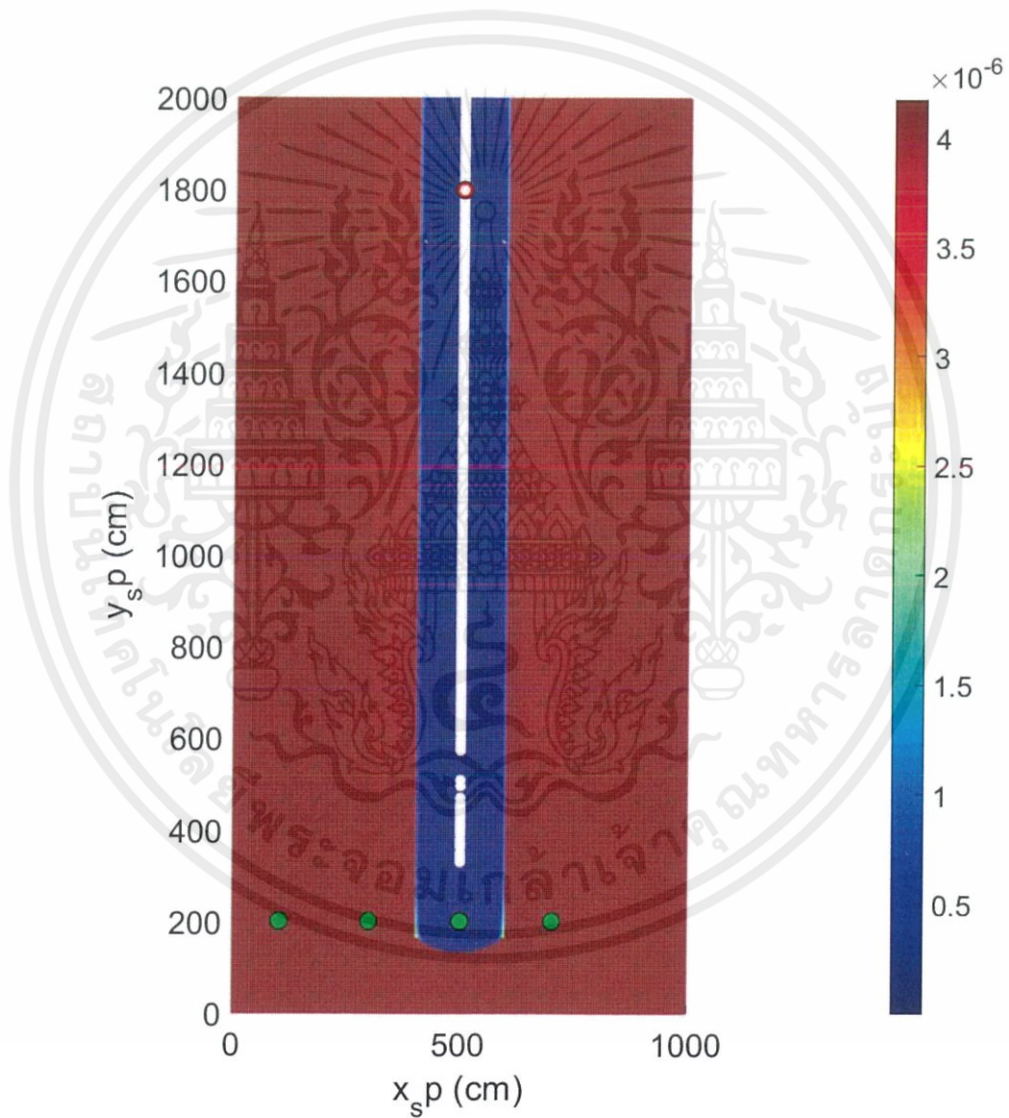
รูปที่ 4.30 การคาดคะเนตำแหน่งของแหล่งกำเนิดคลื่นเมื่อวางเซ็นเซอร์ที่ตำแหน่ง
(300,200) , (100,400) , (500,400) , (300,800)

- | | |
|----------------------|-------------------------------|
| 7. เซ็นเซอร์ตัวที่ 1 | ตำแหน่ง (100,400) |
| เซ็นเซอร์ตัวที่ 2 | ตำแหน่ง (300,200) |
| เซ็นเซอร์ตัวที่ 3 | ตำแหน่ง (300,600) |
| เซ็นเซอร์ตัวที่ 4 | ตำแหน่ง (700,400) |
| พื้นที่สีขาว | 0.01 % (0.00 m ²) |



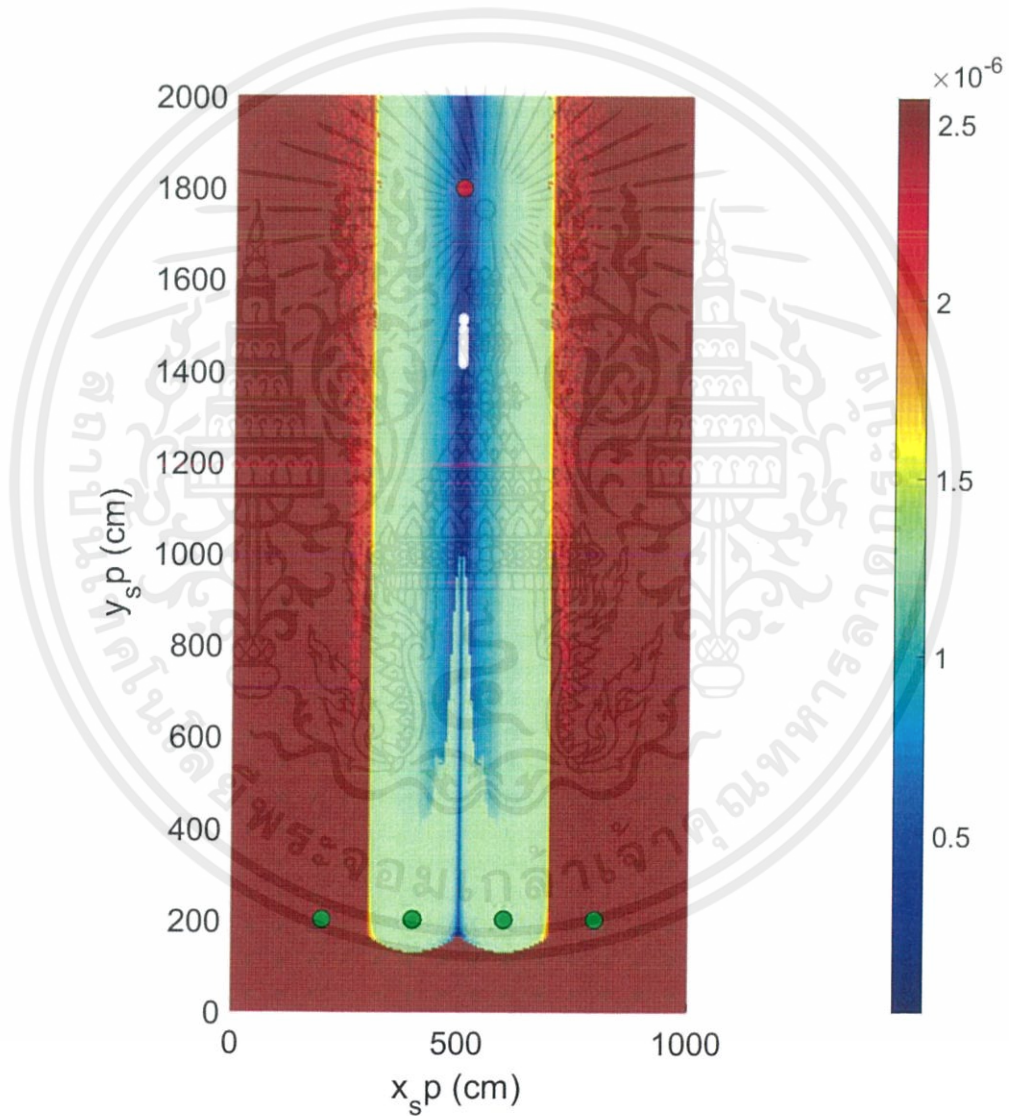
รูปที่ 4.31 การคาดคะเนตำแหน่งของแหล่งกำเนิดกลิ่นเมื่อวางเซ็นเซอร์ที่ตำแหน่ง (100,400) , (300,200) , (300,600) , (700,400)

- | | |
|----------------------|-------------------------------|
| 8. เซ็นเซอร์ตัวที่ 1 | ตำแหน่ง (100,200) |
| เซ็นเซอร์ตัวที่ 2 | ตำแหน่ง (300,200) |
| เซ็นเซอร์ตัวที่ 3 | ตำแหน่ง (500,200) |
| เซ็นเซอร์ตัวที่ 4 | ตำแหน่ง (700,200) |
| พื้นที่สีขาว | 0.38 % (0.77 m ²) |



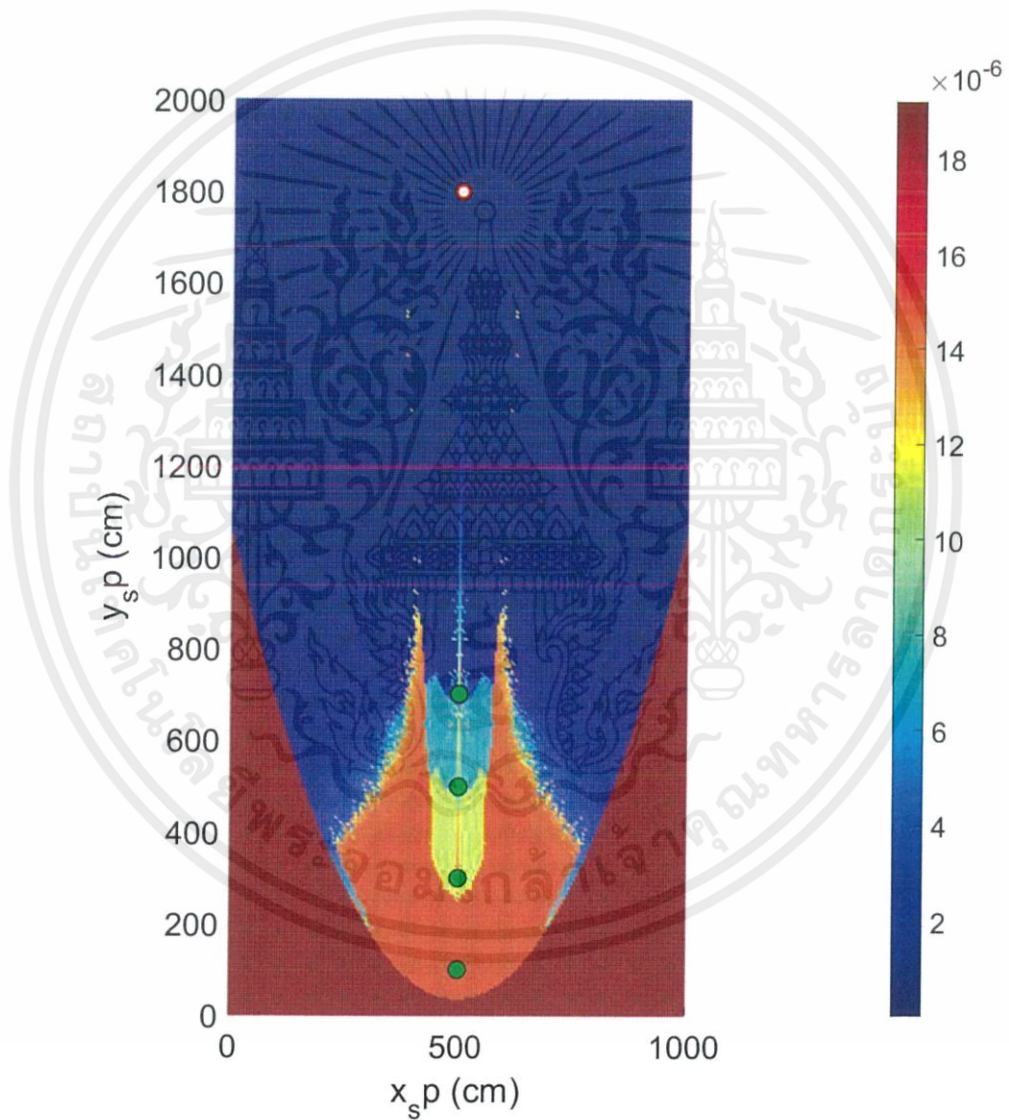
รูปที่ 4.32 การคาดคะเนตำแหน่งของแหล่งกำเนิดคลื่นเมื่อวางเซ็นเซอร์ที่ตำแหน่ง (100,200) , (300,200) , (500,200) , (700,200)

- | | |
|----------------------|-------------------------------|
| 9. เซ็นเซอร์ตัวที่ 1 | ตำแหน่ง (600,200) |
| เซ็นเซอร์ตัวที่ 2 | ตำแหน่ง (800,200) |
| เซ็นเซอร์ตัวที่ 3 | ตำแหน่ง (400,200) |
| เซ็นเซอร์ตัวที่ 4 | ตำแหน่ง (200,200) |
| พื้นที่สีขา | 0.02 % (0.04 m ²) |



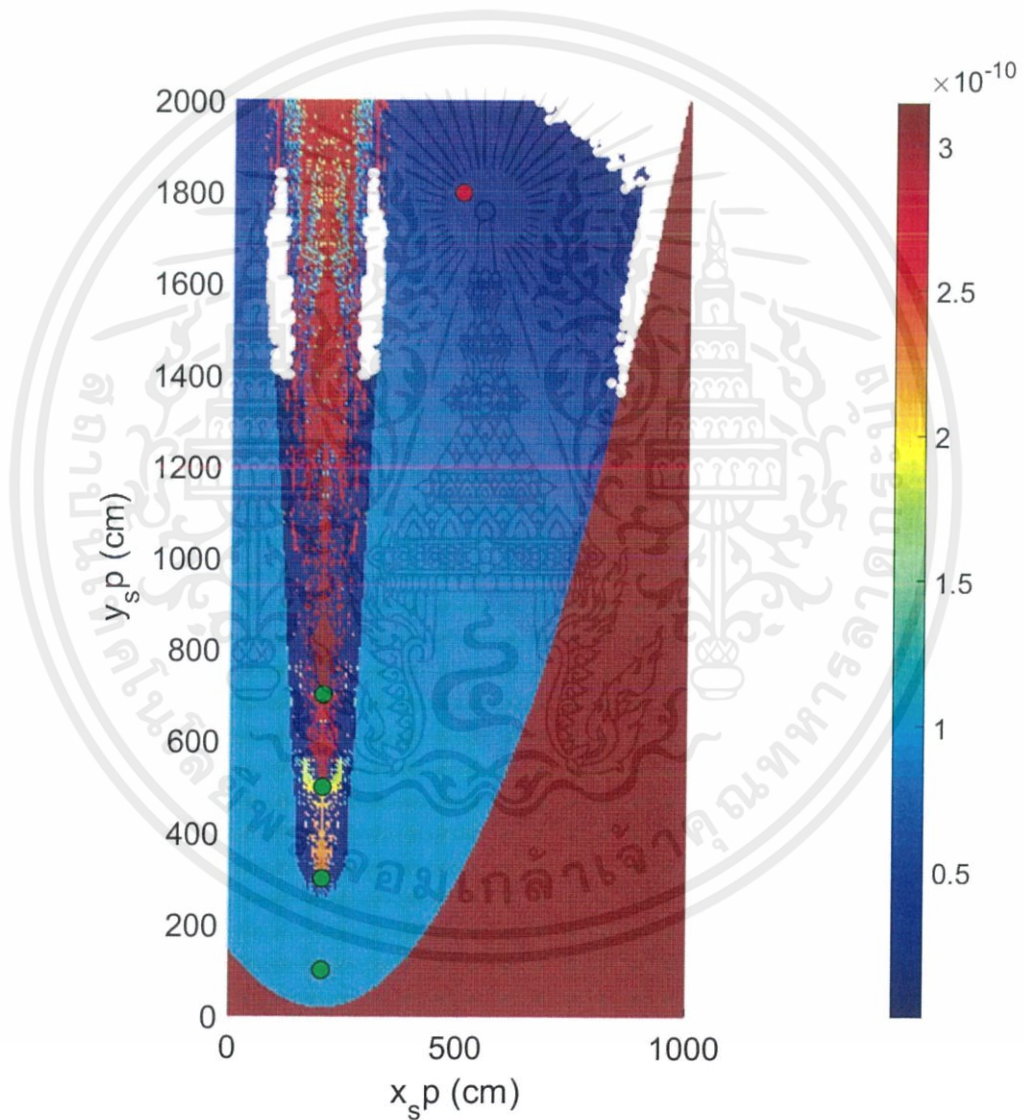
รูปที่ 4.33 การคาดคะเนตำแหน่งของแหล่งกำเนิดคลื่นเมื่อวางเซ็นเซอร์ที่ตำแหน่ง (600,200) , (800,200) , (400,200) , (200,200)

10. เซ็นเซอร์ตัวที่ 1	ตำแหน่ง (500,100)
เซ็นเซอร์ตัวที่ 2	ตำแหน่ง (500,300)
เซ็นเซอร์ตัวที่ 3	ตำแหน่ง (500,500)
เซ็นเซอร์ตัวที่ 4	ตำแหน่ง (500,700)
พื้นที่สีขาว	0.12 % (0.00 m ²)



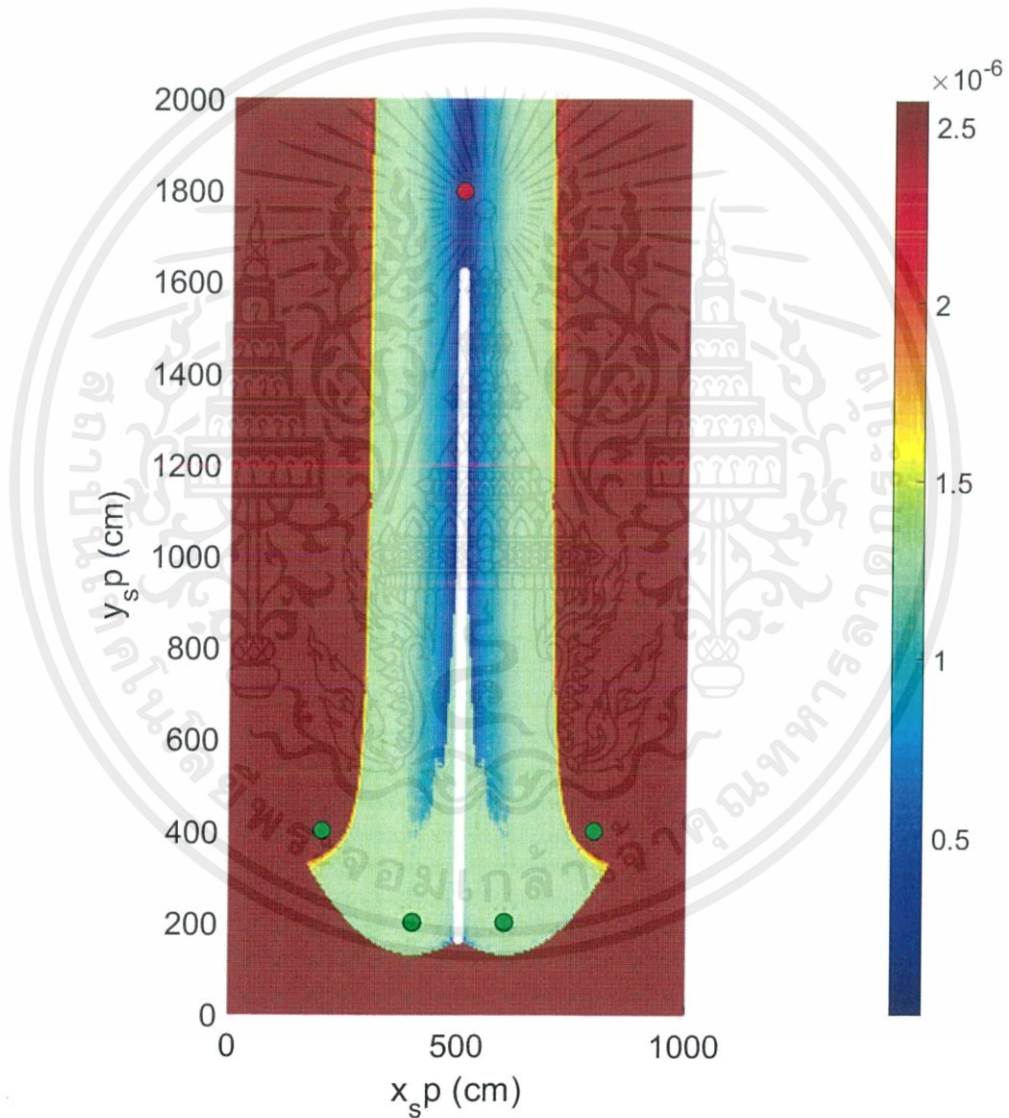
รูปที่ 4.34 การคาดคะเนตำแหน่งของแหล่งกำเนิดคลื่นเมื่อวางเซ็นเซอร์ที่ตำแหน่ง (500,100) , (500,300) , (500,500) , (500,700)

11. เซ็นเซอร์ตัวที่ 1	ตำแหน่ง (200,100)
เซ็นเซอร์ตัวที่ 2	ตำแหน่ง (200,300)
เซ็นเซอร์ตัวที่ 3	ตำแหน่ง (200,500)
เซ็นเซอร์ตัวที่ 4	ตำแหน่ง (200,700)
พื้นที่สีขาว	2.27 % (4.58 m ²)



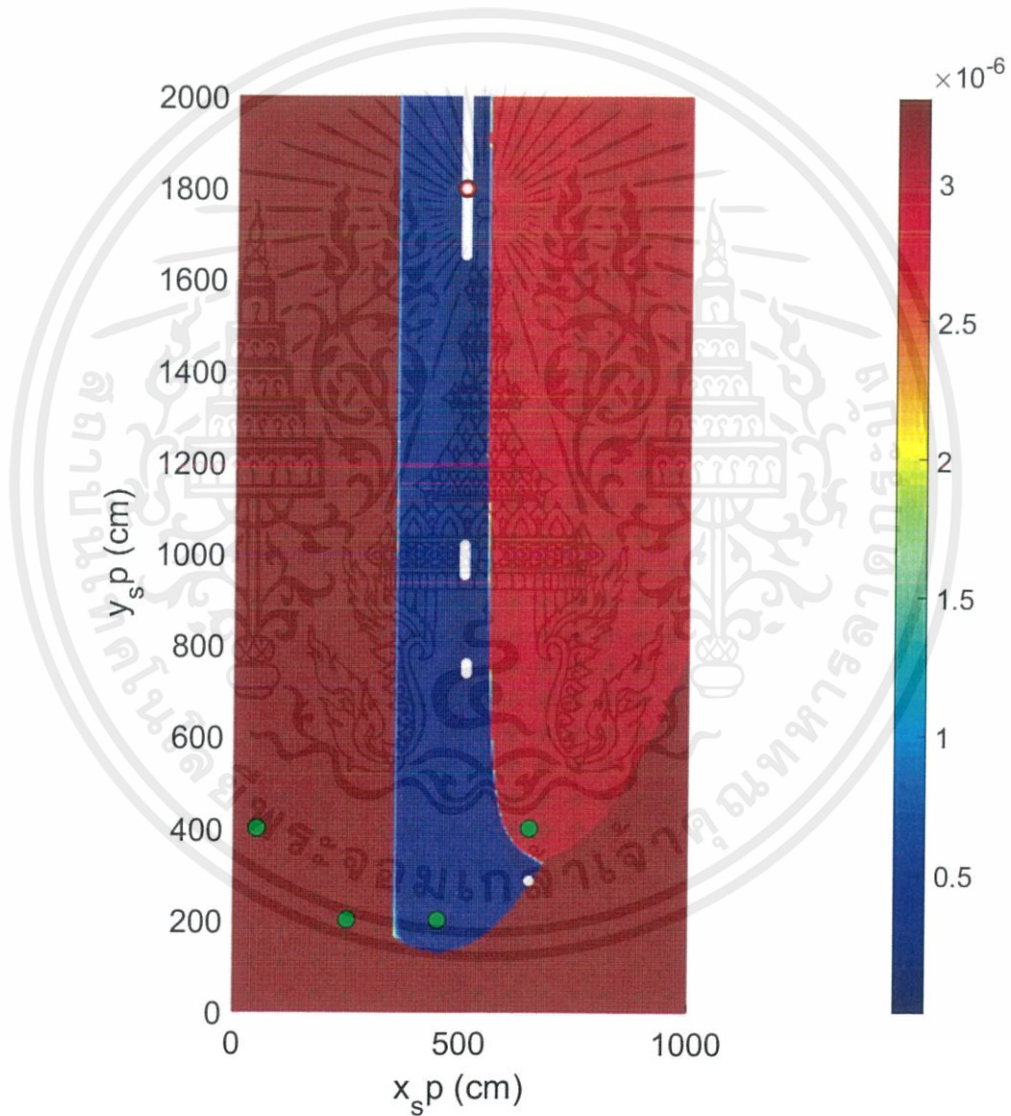
รูปที่ 4.35 การคาดคะเนตำแหน่งของแหล่งกำเนิดคลื่นเมื่อวางเซ็นเซอร์ที่ตำแหน่ง (200,100) , (200,300) , (200,500) , (200,700)

12. เซ็นเซอร์ตัวที่ 1	ตำแหน่ง (400,200)
เซ็นเซอร์ตัวที่ 2	ตำแหน่ง (600,200)
เซ็นเซอร์ตัวที่ 3	ตำแหน่ง (200,400)
เซ็นเซอร์ตัวที่ 4	ตำแหน่ง (800,400)
พื้นที่สีขาว	0.36 % (0.72 m ²)



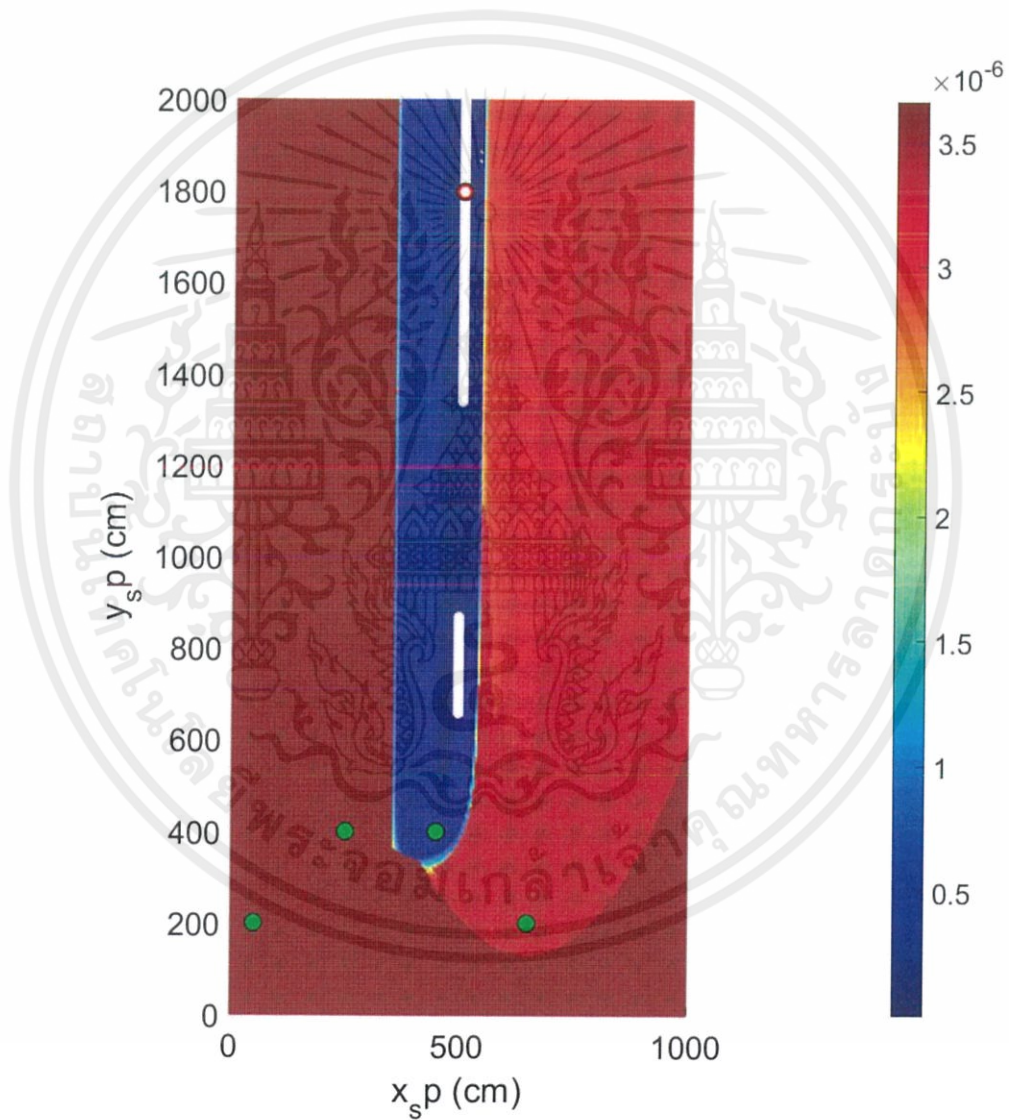
รูปที่ 4.36 การคาดคะเนตำแหน่งของแหล่งกำเนิดคลื่นเมื่อวางเซ็นเซอร์ที่ตำแหน่ง (400,200) , (600,200) , (200,500) , (800,400)

- | | |
|-----------------------|-------------------------------|
| 13. เซ็นเซอร์ตัวที่ 1 | ตำแหน่ง (50,400) |
| เซ็นเซอร์ตัวที่ 2 | ตำแหน่ง (250,200) |
| เซ็นเซอร์ตัวที่ 3 | ตำแหน่ง (450,200) |
| เซ็นเซอร์ตัวที่ 4 | ตำแหน่ง (650,400) |
| พื้นที่สีขาว | 0.11 % (0.23 m ²) |



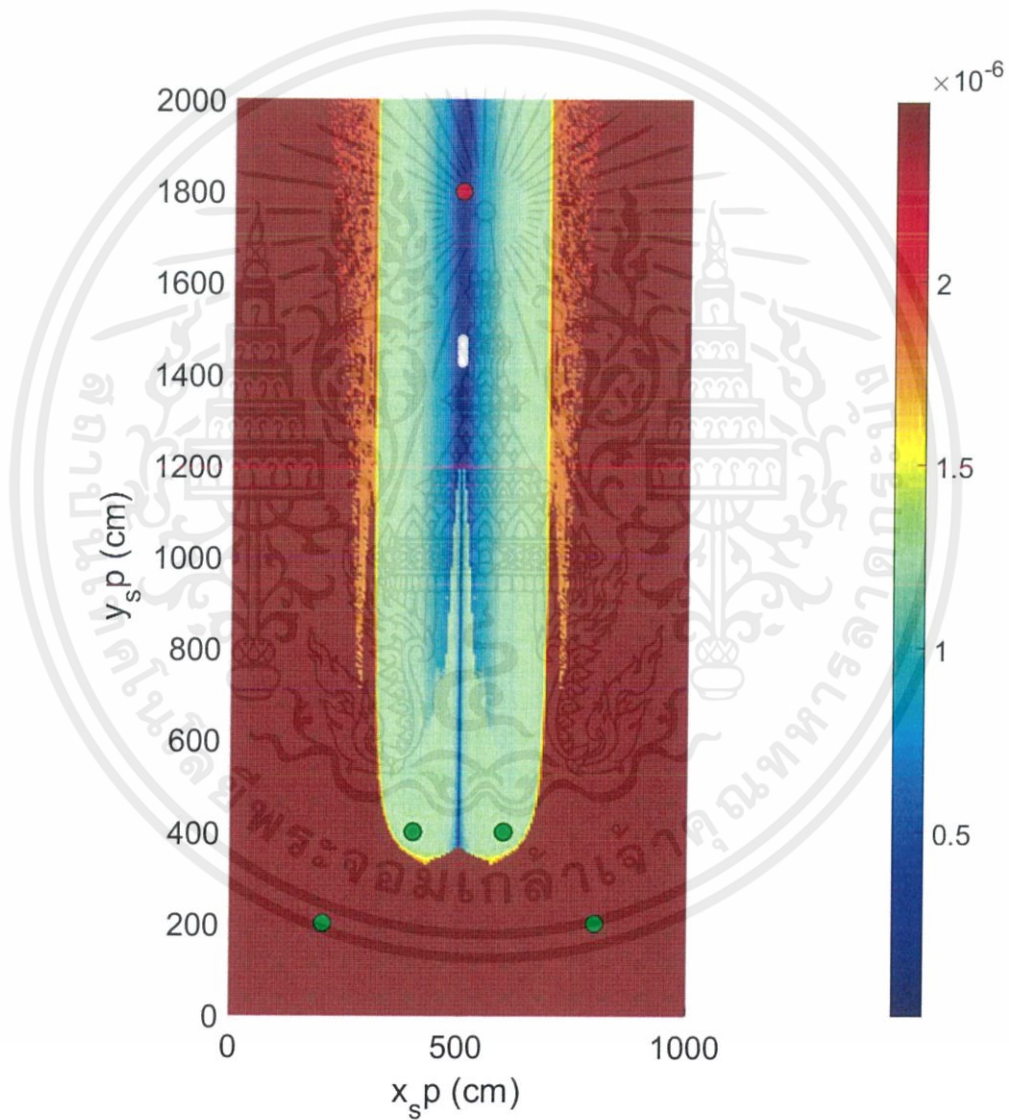
รูปที่ 4.37 การคาดคะเนตำแหน่งของแหล่งกำเนิดกลิ่นเมื่อวางเซ็นเซอร์ที่ตำแหน่ง (50,400) , (250,200) , (450,200) , (650,400)

- | | |
|-----------------------|-------------------------------|
| 14. เซ็นเซอร์ตัวที่ 1 | ตำแหน่ง (50,200) |
| เซ็นเซอร์ตัวที่ 2 | ตำแหน่ง (250,400) |
| เซ็นเซอร์ตัวที่ 3 | ตำแหน่ง (450,400) |
| เซ็นเซอร์ตัวที่ 4 | ตำแหน่ง (650,200) |
| พื้นที่สีขา | 0.22 % (0.44 m ²) |



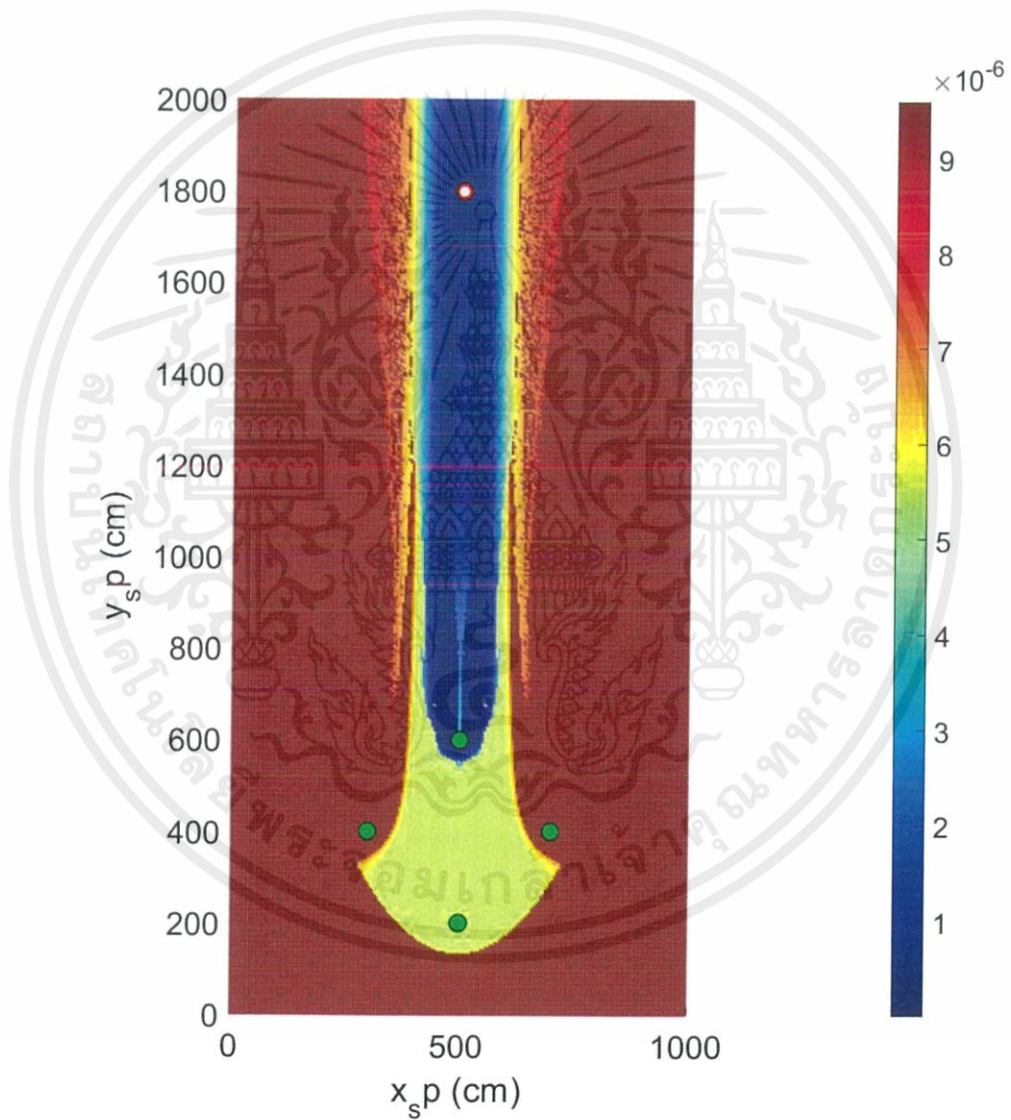
รูปที่ 4.38 การคาดคะเนตำแหน่งของแหล่งกำเนิดกลิ่นเมื่อวางเซ็นเซอร์ที่ตำแหน่ง (50,200) , (250,400) , (450,400) , (650,200)

- | | |
|-----------------------|-------------------------------|
| 15. เซ็นเซอร์ตัวที่ 1 | ตำแหน่ง (200,200) |
| เซ็นเซอร์ตัวที่ 2 | ตำแหน่ง (400,400) |
| เซ็นเซอร์ตัวที่ 3 | ตำแหน่ง (600,400) |
| เซ็นเซอร์ตัวที่ 4 | ตำแหน่ง (800,200) |
| พื้นที่สีขาว | 0.01 % (0.02 m ²) |



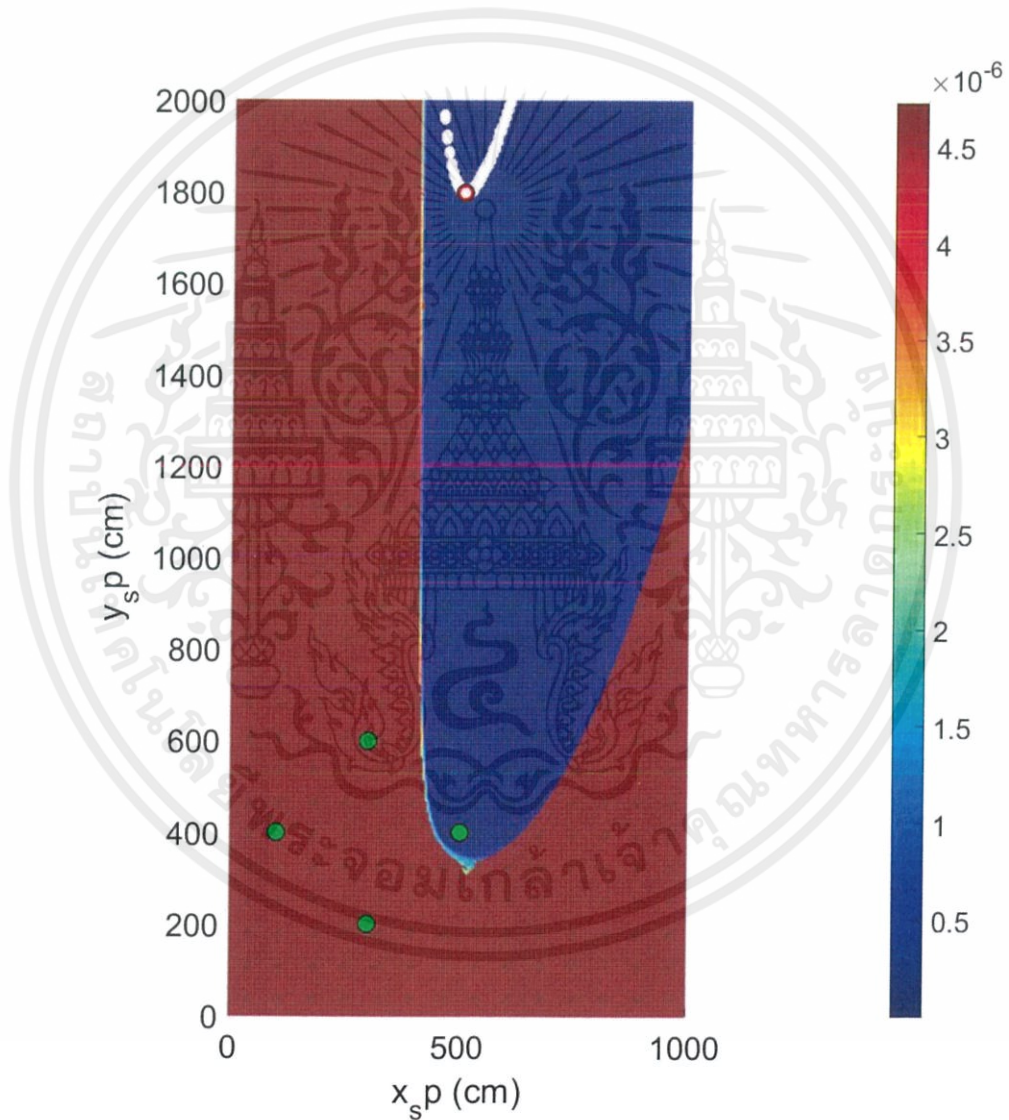
รูปที่ 4.39 การคาดคะเนตำแหน่งของแหล่งกำเนิดกลิ่นเมื่อวางเซ็นเซอร์ที่ตำแหน่ง (200,200) , (400,400) , (600,400) , (800,200)

16. เซ็นเซอร์ตัวที่ 1	ตำแหน่ง (500,200)
เซ็นเซอร์ตัวที่ 2	ตำแหน่ง (500,600)
เซ็นเซอร์ตัวที่ 3	ตำแหน่ง (300,400)
เซ็นเซอร์ตัวที่ 4	ตำแหน่ง (700,400)
พื้นที่สีขาว	0.01 % (0.00 m ²)



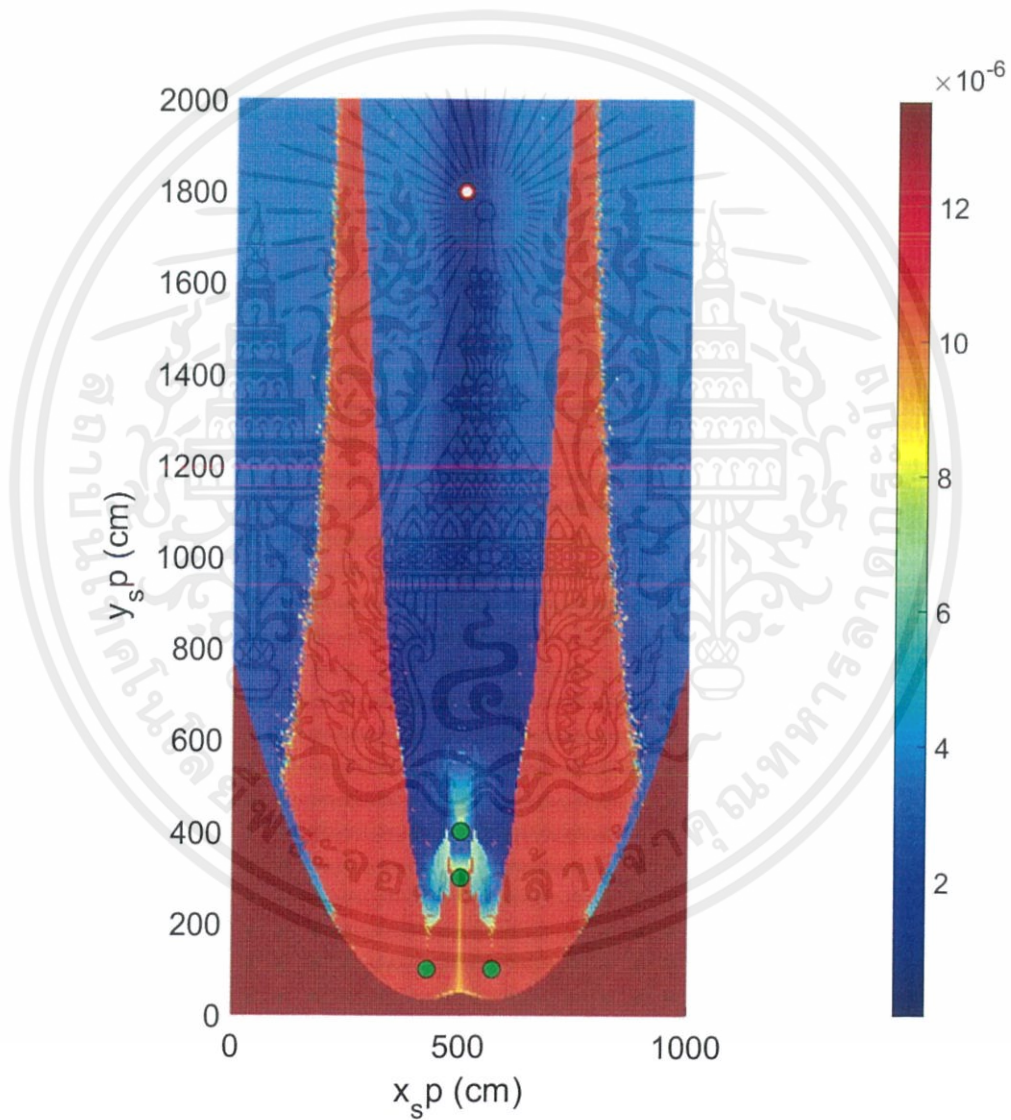
รูปที่ 4.40 การคาดคะเนตำแหน่งของแหล่งกำเนิดคลื่นเมื่อวางเซ็นเซอร์ที่ตำแหน่ง (500,200) , (500,600) , (300,400) , (700,400)

17. เซ็นเซอร์ตัวที่ 1	ตำแหน่ง (300,200)
เซ็นเซอร์ตัวที่ 2	ตำแหน่ง (300,600)
เซ็นเซอร์ตัวที่ 3	ตำแหน่ง (100,400)
เซ็นเซอร์ตัวที่ 4	ตำแหน่ง (500,400)
พื้นที่สีขาว	0.11 % (0.21 m ²)



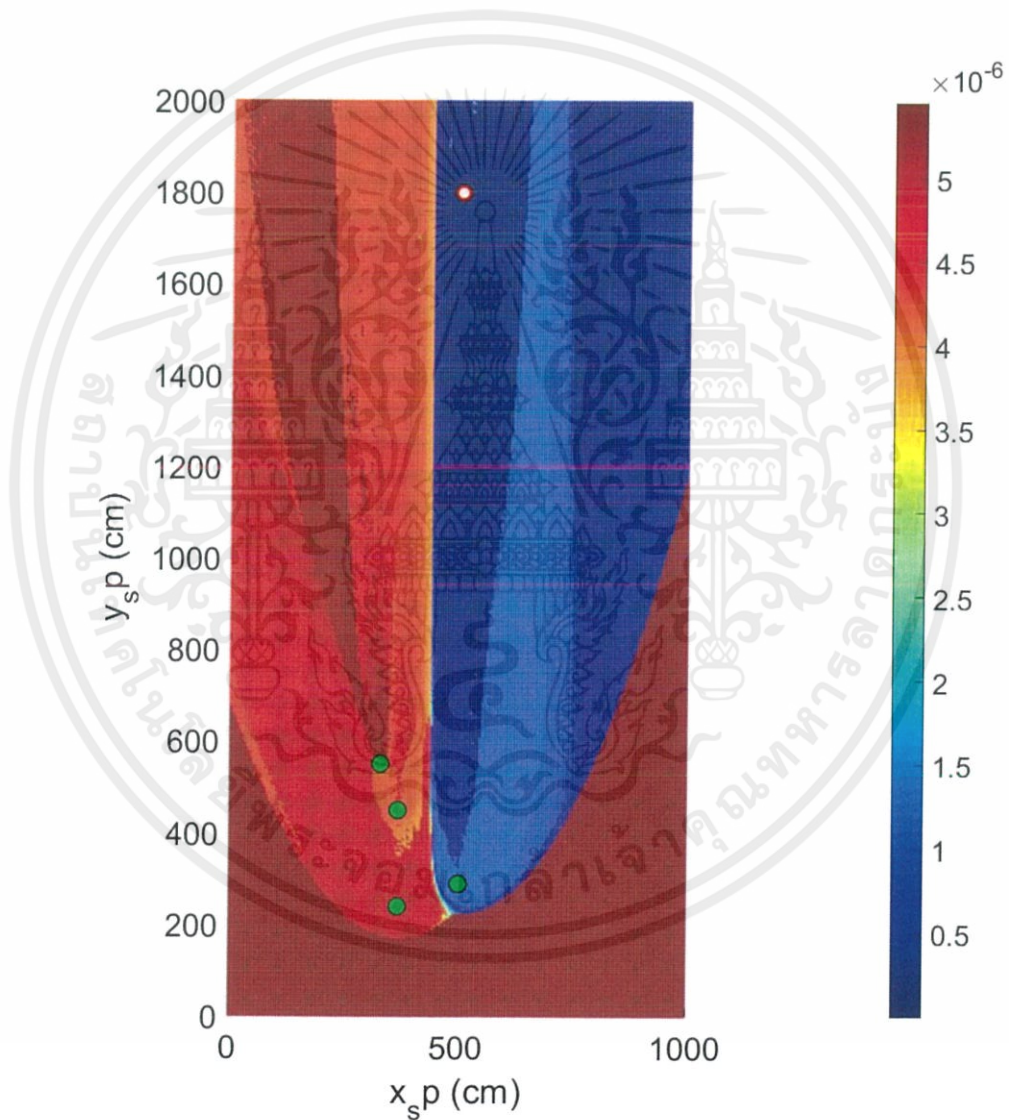
รูปที่ 4.41 การคาดคะเนตำแหน่งของแหล่งกำเนิดคลื่นเมื่อวางเซ็นเซอร์ที่ตำแหน่ง (300,200) , (300,600) , (100,400) , (500,400)

- | | |
|-----------------------|-------------------------------|
| 18. เซ็นเซอร์ตัวที่ 1 | ตำแหน่ง (430,100) |
| เซ็นเซอร์ตัวที่ 2 | ตำแหน่ง (500,300) |
| เซ็นเซอร์ตัวที่ 3 | ตำแหน่ง (570,100) |
| เซ็นเซอร์ตัวที่ 4 | ตำแหน่ง (500,400) |
| พื้นที่สีขาว | 0.01 % (0.01 m ²) |



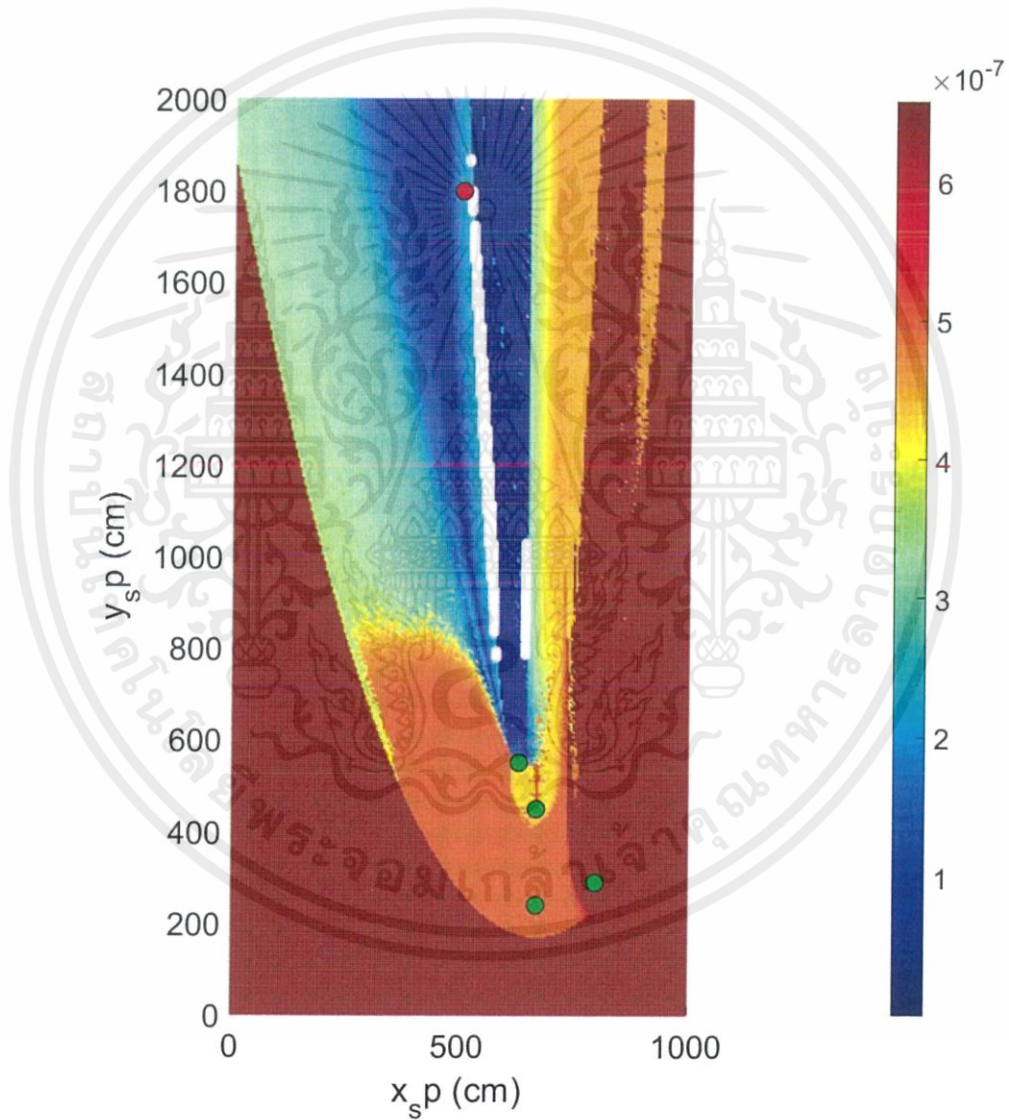
รูปที่ 4.42 การคาดคะเนตำแหน่งของแหล่งกำเนิดคลื่นเมื่อวางเซ็นเซอร์ที่ตำแหน่ง (430,100) , (500,300) , (570,100) , (500,400)

- | | |
|-----------------------|-------------------------------|
| 19. เซ็นเซอร์ตัวที่ 1 | ตำแหน่ง (370,240) |
| เซ็นเซอร์ตัวที่ 2 | ตำแหน่ง (370,450) |
| เซ็นเซอร์ตัวที่ 3 | ตำแหน่ง (500,290) |
| เซ็นเซอร์ตัวที่ 4 | ตำแหน่ง (330,550) |
| พื้นที่สีขาว | 0.01 % (0.01 m ²) |



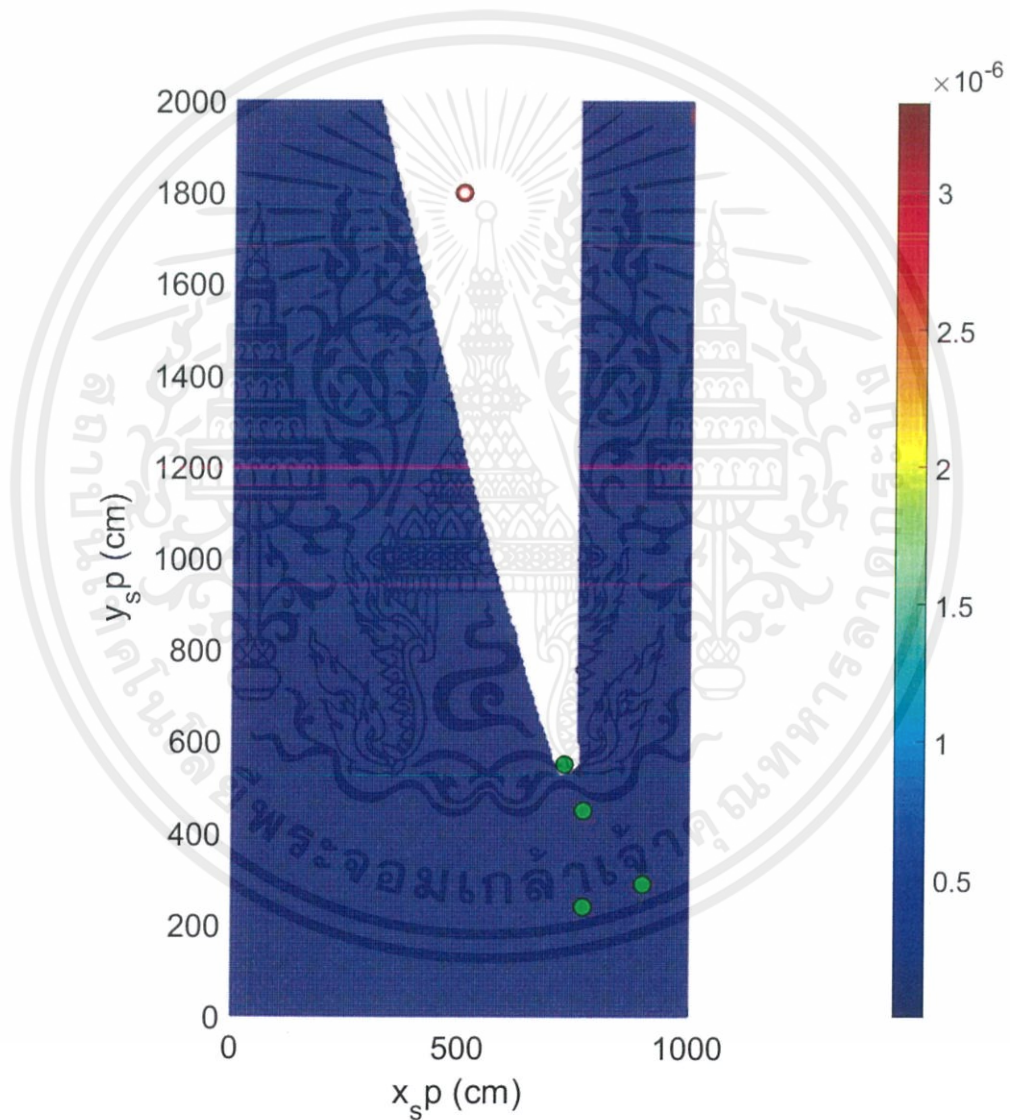
รูปที่ 4.43 การคาดคะเนตำแหน่งของแหล่งกำเนิดกลิ่นเมื่อวางเซ็นเซอร์ที่ตำแหน่ง (370,240) , (370,450) , (500,290) , (330,550)

20. เซ็นเซอร์ตัวที่ 1	ตำแหน่ง (670,240)
เซ็นเซอร์ตัวที่ 2	ตำแหน่ง (670,450)
เซ็นเซอร์ตัวที่ 3	ตำแหน่ง (800,290)
เซ็นเซอร์ตัวที่ 4	ตำแหน่ง (630,550)
พื้นที่สีขาว	0.48 % (0.97 m ²)



รูปที่ 4.44 การคาดคะเนตำแหน่งของแหล่งกำเนิดกลิ่นเมื่อวางเซ็นเซอร์ที่ตำแหน่ง (670,240) , (670,450) , (800,290) , (630,550)

21. เซ็นเซอร์ตัวที่ 1	ตำแหน่ง (770,240)
เซ็นเซอร์ตัวที่ 2	ตำแหน่ง (770,450)
เซ็นเซอร์ตัวที่ 3	ตำแหน่ง (900,290)
เซ็นเซอร์ตัวที่ 4	ตำแหน่ง (730,550)
พื้นที่สีขาว	16.64 % (33.54 m ²)



รูปที่ 4.45 การคาดคะเนตำแหน่งของแหล่งกำเนิดคลื่นเมื่อวางเซ็นเซอร์ที่ตำแหน่ง (770,240) , (770,450) , (900,290) , (730,550)

ผลการทดลองในรูปที่ 4.25 - 4.45 สรุปรวมได้ดังแสดงในตารางที่ 4.2

ตารางที่ 4.2 ผลการทดลองเปลี่ยนตำแหน่งของเซ็นเซอร์ 4 ตัว

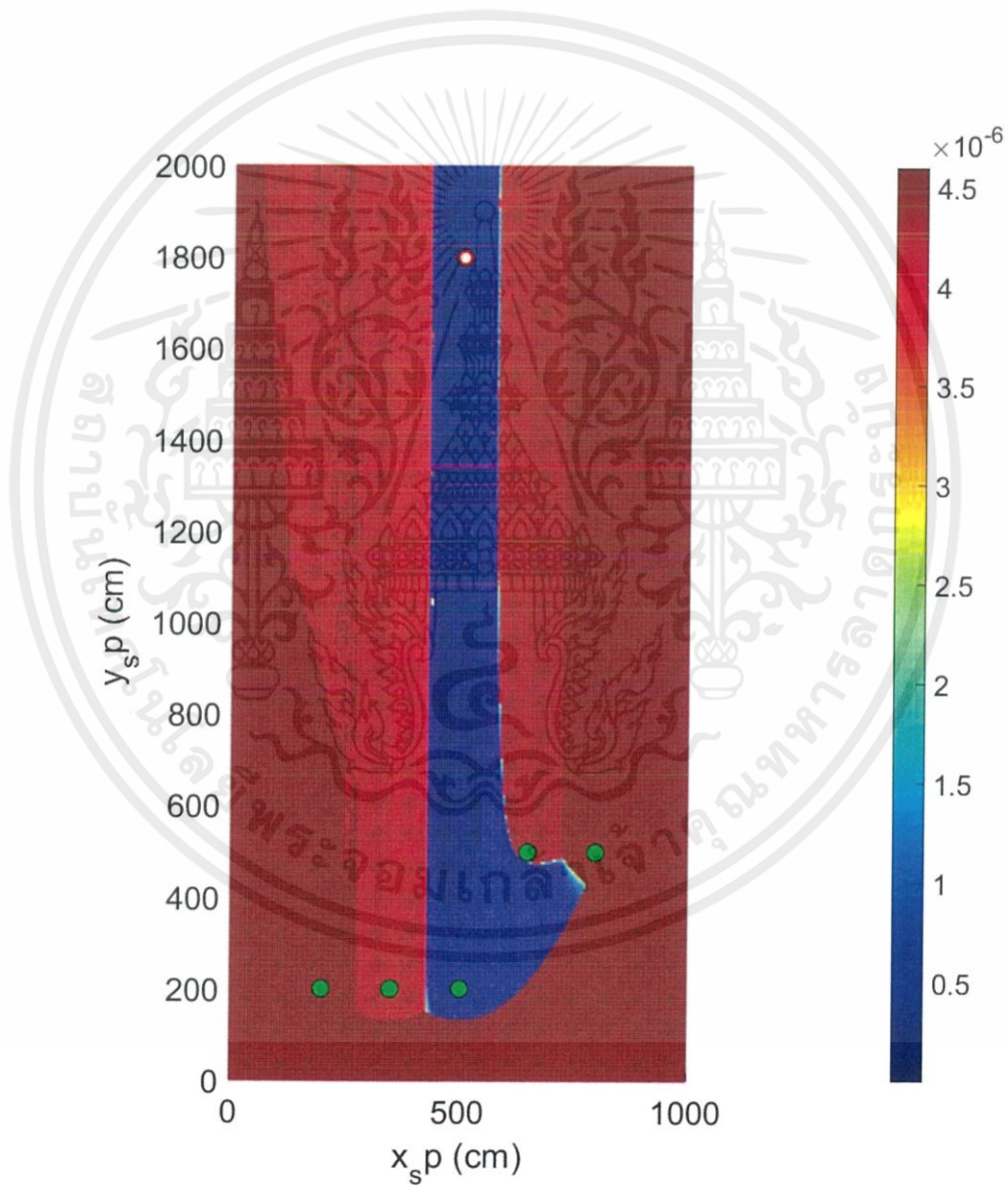
ปี การ วัด	ตำแหน่ง เซ็นเซอร์ 1	ตำแหน่ง เซ็นเซอร์ 2	ตำแหน่ง เซ็นเซอร์ 3	ตำแหน่ง เซ็นเซอร์ 4	พื้นที่สีขาว				เวลาที่ใช้ คำนวณ (s)
					จำนวน จุด	%	พื้นที่ (m ²)	ระยะทาง คลาดเคลื่อน เฉลี่ย (m)	
1	(300,200)	(500,200)	(700,200)	(500,400)	1	0.00%	0.00	0.00	448.46
2	(100,200)	(300,200)	(500,200)	(300,400)	169	0.21%	0.42	0.85	420.10
3	(200,200)	(200,400)	(200,600)	(400,400)	4881	6.06%	12.20	3.99	485.63
4	(300,200)	(425,200)	(100,650)	(300,650)	90	0.11%	0.23	7.35	453.17
5	(500,200)	(300,400)	(700,400)	(500,800)	1	0.00%	0.00	0.00	421.94
6	(300,200)	(100,400)	(500,400)	(300,800)	100	0.12%	0.25	0.86	469.23
7	(100,400)	(300,200)	(300,600)	(700,400)	1	0.00%	0.00	1.10	489.28
8	(100,200)	(300,200)	(500,200)	(700,200)	309	0.38%	0.77	6.10	429.56
9	(600,200)	(800,200)	(400,200)	(200,200)	17	0.02%	0.04	3.42	442.31
10	(500,100)	(500,300)	(500,500)	(500,700)	1	0.00%	0.00	0.00	407.79
11	(200,100)	(200,300)	(200,500)	(200,700)	1833	2.27%	4.58	4.06	495.12
12	(400,200)	(600,200)	(200,400)	(800,400)	289	0.36%	0.72	9.15	474.24
13	(50,400)	(250,200)	(450,200)	(650,400)	90	0.11%	0.23	2.71	468.36
14	(50,200)	(250,400)	(450,400)	(650,200)	176	0.22%	0.44	3.98	467.84
15	(200,200)	(400,400)	(600,400)	(800,200)	8	0.01%	0.02	3.47	425.51
16	(500,200)	(500,600)	(300,400)	(700,400)	1	0.00%	0.00	0.00	461.47
17	(300,200)	(300,600)	(100,400)	(500,400)	85	0.11%	0.21	0.85	417.98
18	(430,100)	(500,300)	(570,100)	(500,400)	3	0.00%	0.01	0.03	400.57
19	(370,240)	(370,450)	(500,290)	(330,550)	3	0.00%	0.01	0.03	435.23
20	(670,240)	(670,450)	(800,290)	(630,550)	386	0.48%	0.97	5.81	406.93
21	(770,240)	(770,450)	(900,290)	(730,550)	13416	16.64%	33.54	4.09	502.28
เวลาที่ใช้ในการคำนวณเฉลี่ย = 448.7142857 s									

4.3 การทดลองคาดคะเนตำแหน่งของแหล่งกำเนิดคลื่นด้วยวิธีการเชิงเลขด้วย เซ็นเซอร์ 5 ตัว

ในส่วนนี้จะทำการทดลองเช่นเดียวกับในหัวข้อ 4.1 และ 4.2 โดยเพิ่มจำนวนเซ็นเซอร์เป็น 5 ตัว โดยปรับเปลี่ยนรูปแบบการวางเซ็นเซอร์ทั้งสิ้น 20 รูปแบบ

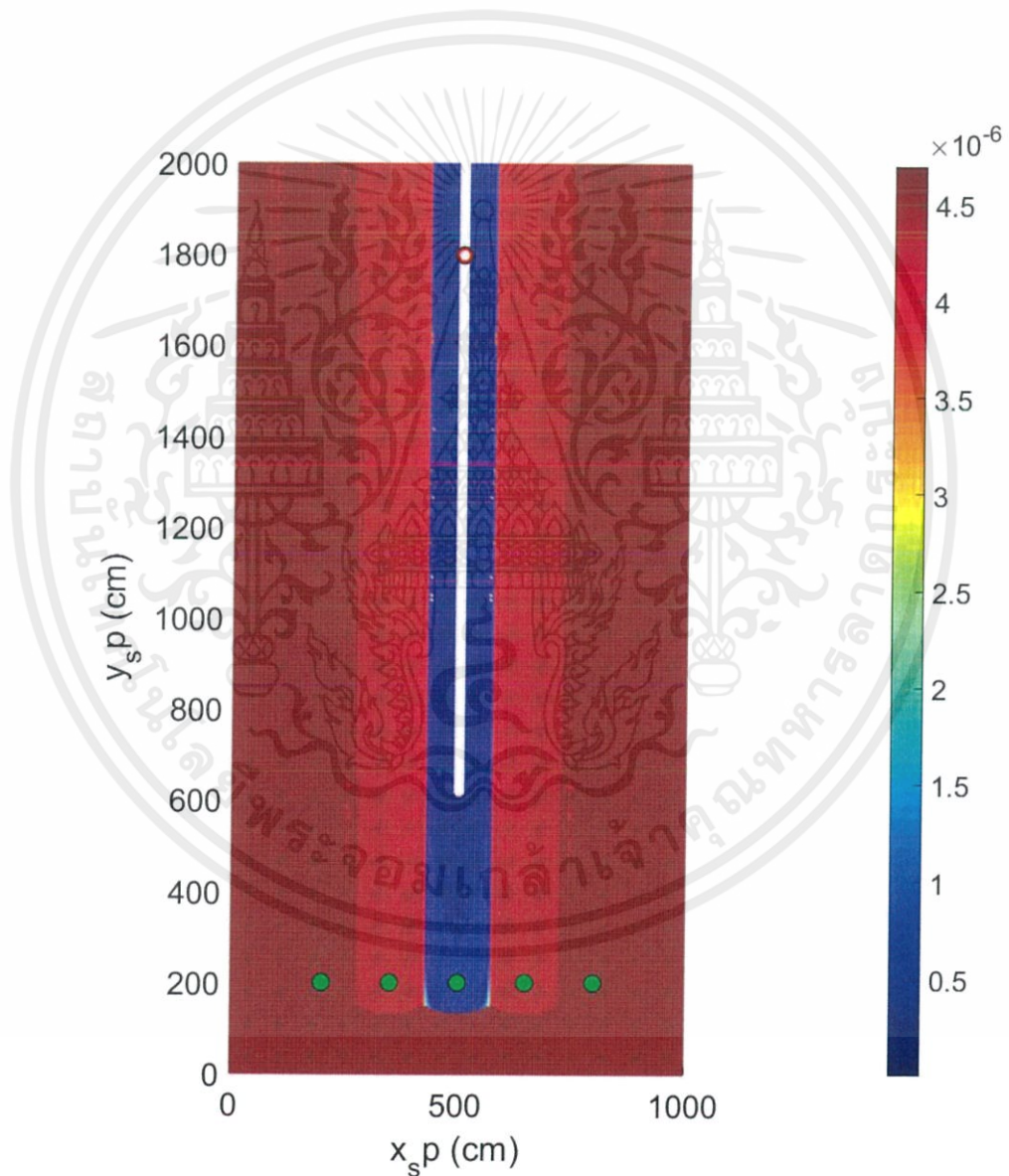


- | | |
|----------------------|-------------------------------|
| 1. เซ็นเซอร์ตัวที่ 1 | ตำแหน่ง (500,200) |
| เซ็นเซอร์ตัวที่ 2 | ตำแหน่ง (350,200) |
| เซ็นเซอร์ตัวที่ 3 | ตำแหน่ง (200,200) |
| เซ็นเซอร์ตัวที่ 4 | ตำแหน่ง (650,500) |
| เซ็นเซอร์ตัวที่ 5 | ตำแหน่ง (800,500) |
| พื้นที่สีขาว | 0.01 % (0.01 m ²) |



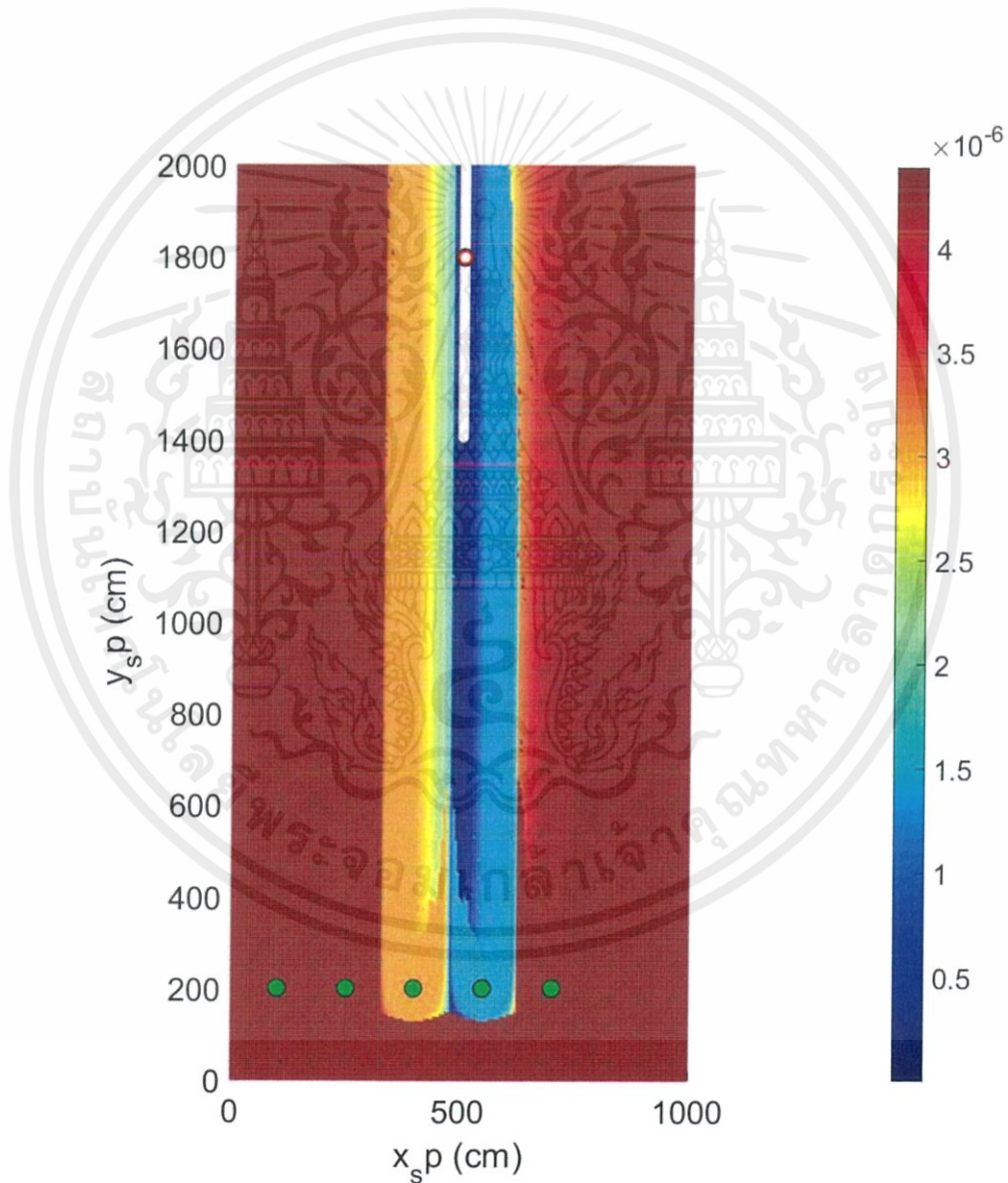
รูปที่ 4.46 การคาดคะเนตำแหน่งของแหล่งกำเนิดกลิ่นเมื่อวางเซ็นเซอร์ที่ตำแหน่ง (500,200) , (350,200) , (200,200) , (650,500) , (800,500)

- | | |
|----------------------|-------------------------------|
| 2. เซ็นเซอร์ตัวที่ 1 | ตำแหน่ง (500,200) |
| เซ็นเซอร์ตัวที่ 2 | ตำแหน่ง (350,200) |
| เซ็นเซอร์ตัวที่ 3 | ตำแหน่ง (200,200) |
| เซ็นเซอร์ตัวที่ 4 | ตำแหน่ง (650,200) |
| เซ็นเซอร์ตัวที่ 5 | ตำแหน่ง (800,200) |
| พื้นที่สีขา | 0.34 % (0.69 m ²) |



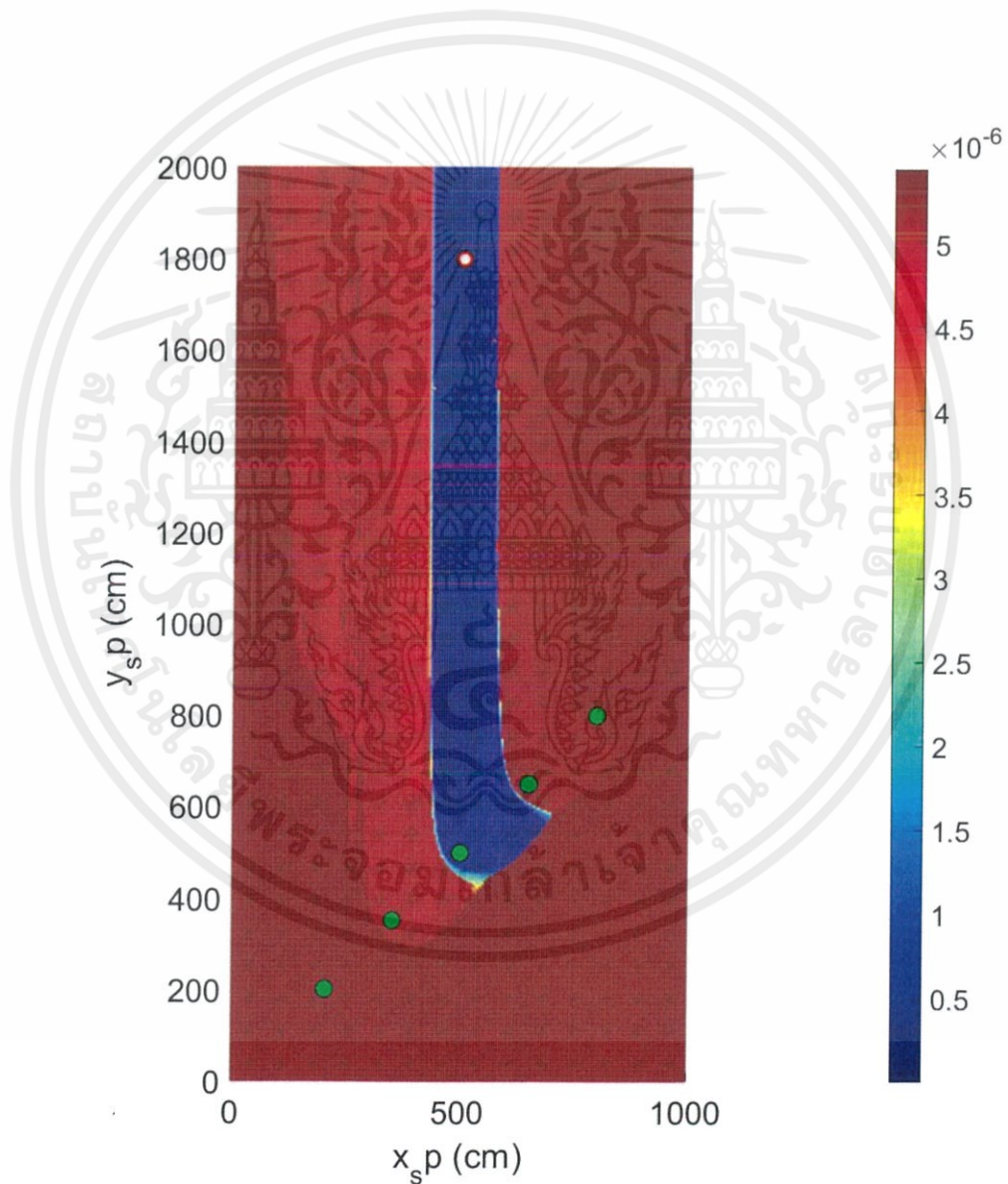
รูปที่ 4.47 การคาดคะเนตำแหน่งของแหล่งกำเนิดกลิ่นเมื่อวางเซ็นเซอร์ที่ตำแหน่ง (500,200) , (350,200) , (200,200) , (650,200) , (200,500)

- | | |
|----------------------|-------------------------------|
| 3. เซ็นเซอร์ตัวที่ 1 | ตำแหน่ง (100,200) |
| เซ็นเซอร์ตัวที่ 2 | ตำแหน่ง (250,200) |
| เซ็นเซอร์ตัวที่ 3 | ตำแหน่ง (400,200) |
| เซ็นเซอร์ตัวที่ 4 | ตำแหน่ง (550,200) |
| เซ็นเซอร์ตัวที่ 5 | ตำแหน่ง (700,200) |
| พื้นที่สีขาว | 0.15 % (0.30 m ²) |



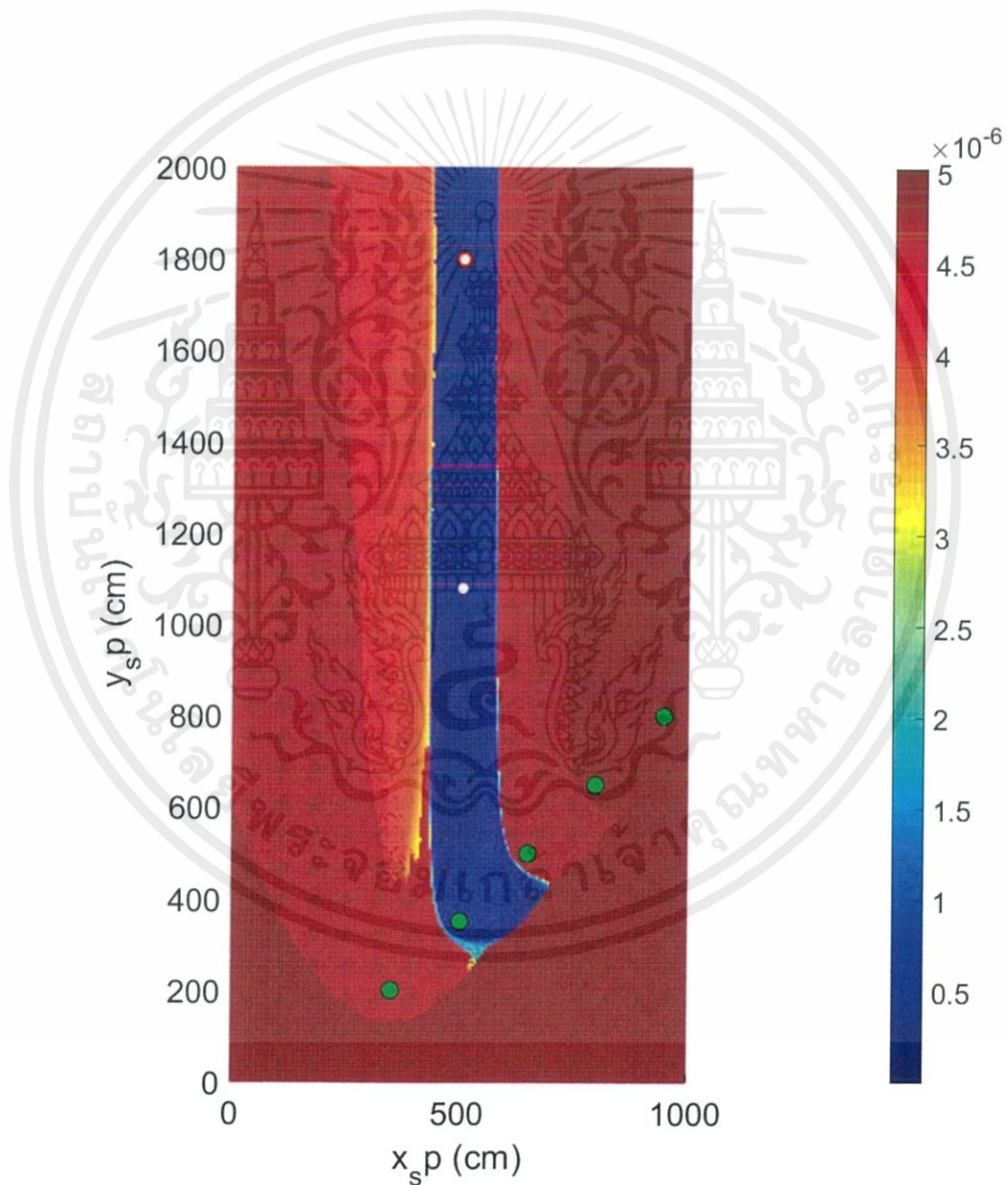
รูปที่ 4.48 การคาดคะเนตำแหน่งของแหล่งกำเนิดกลิ่นเมื่อวางเซ็นเซอร์ที่ตำแหน่ง (100,200) , (250,200) , (400,200) , (550,200) , (700,200)

- | | |
|----------------------|-------------------------------|
| 4. เซ็นเซอร์ตัวที่ 1 | ตำแหน่ง (500,500) |
| เซ็นเซอร์ตัวที่ 2 | ตำแหน่ง (350,350) |
| เซ็นเซอร์ตัวที่ 3 | ตำแหน่ง (200,200) |
| เซ็นเซอร์ตัวที่ 4 | ตำแหน่ง (650,350) |
| เซ็นเซอร์ตัวที่ 5 | ตำแหน่ง (800,800) |
| พื้นที่สีขาว | 0.01 % (0.01 m ²) |



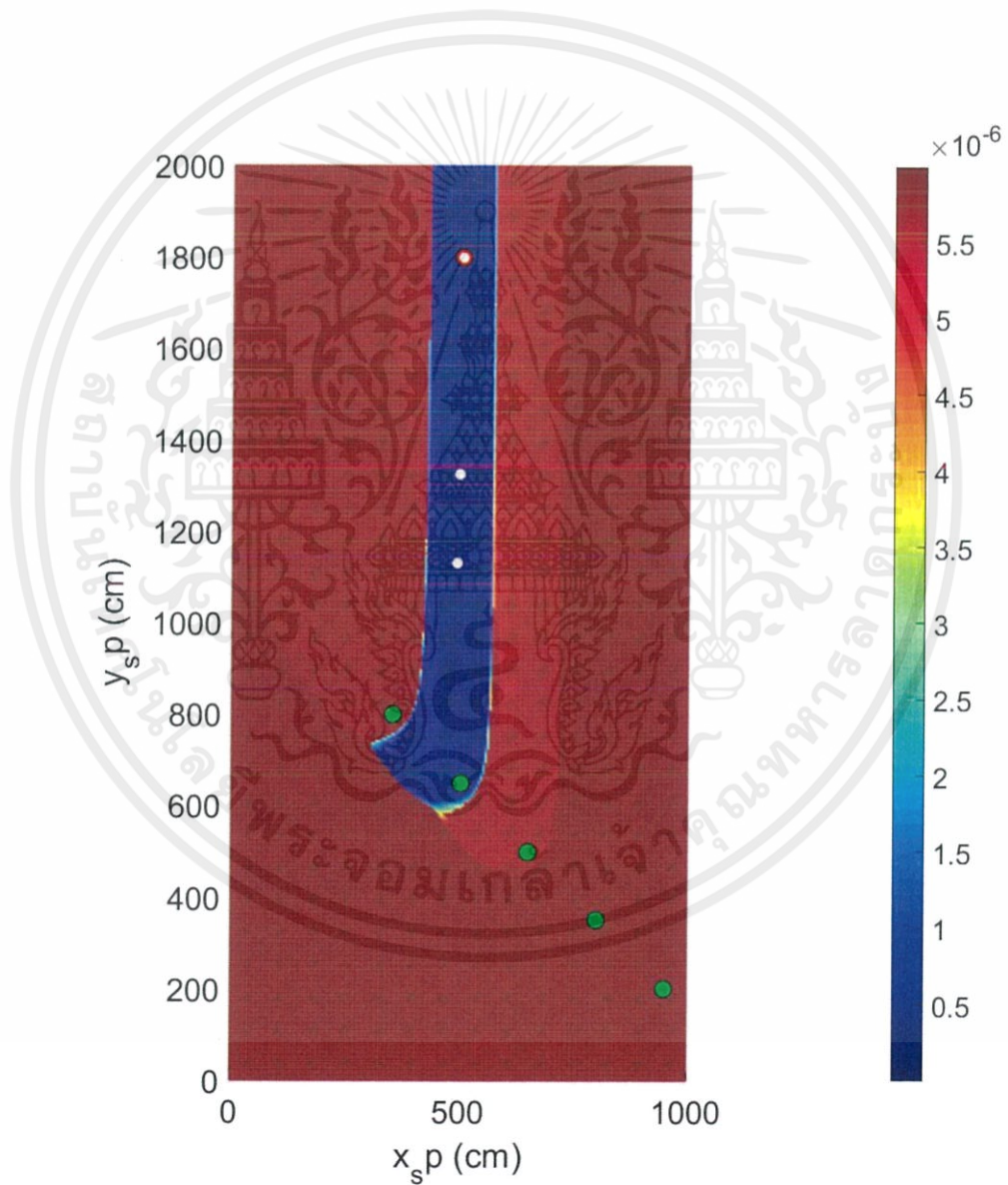
รูปที่ 4.49 การคาดคะเนตำแหน่งของแหล่งกำเนิดกลิ่นเมื่อวางเซ็นเซอร์ที่ตำแหน่ง (500,500) , (350,350) , (200,200) , (650,650) , (800,800)

- | | |
|----------------------|-------------------------------|
| 5. เซ็นเซอร์ตัวที่ 1 | ตำแหน่ง (350,200) |
| เซ็นเซอร์ตัวที่ 2 | ตำแหน่ง (500,350) |
| เซ็นเซอร์ตัวที่ 3 | ตำแหน่ง (650,500) |
| เซ็นเซอร์ตัวที่ 4 | ตำแหน่ง (800,650) |
| เซ็นเซอร์ตัวที่ 5 | ตำแหน่ง (950,800) |
| พื้นที่สีขาว | 0.01 % (0.01 m ²) |



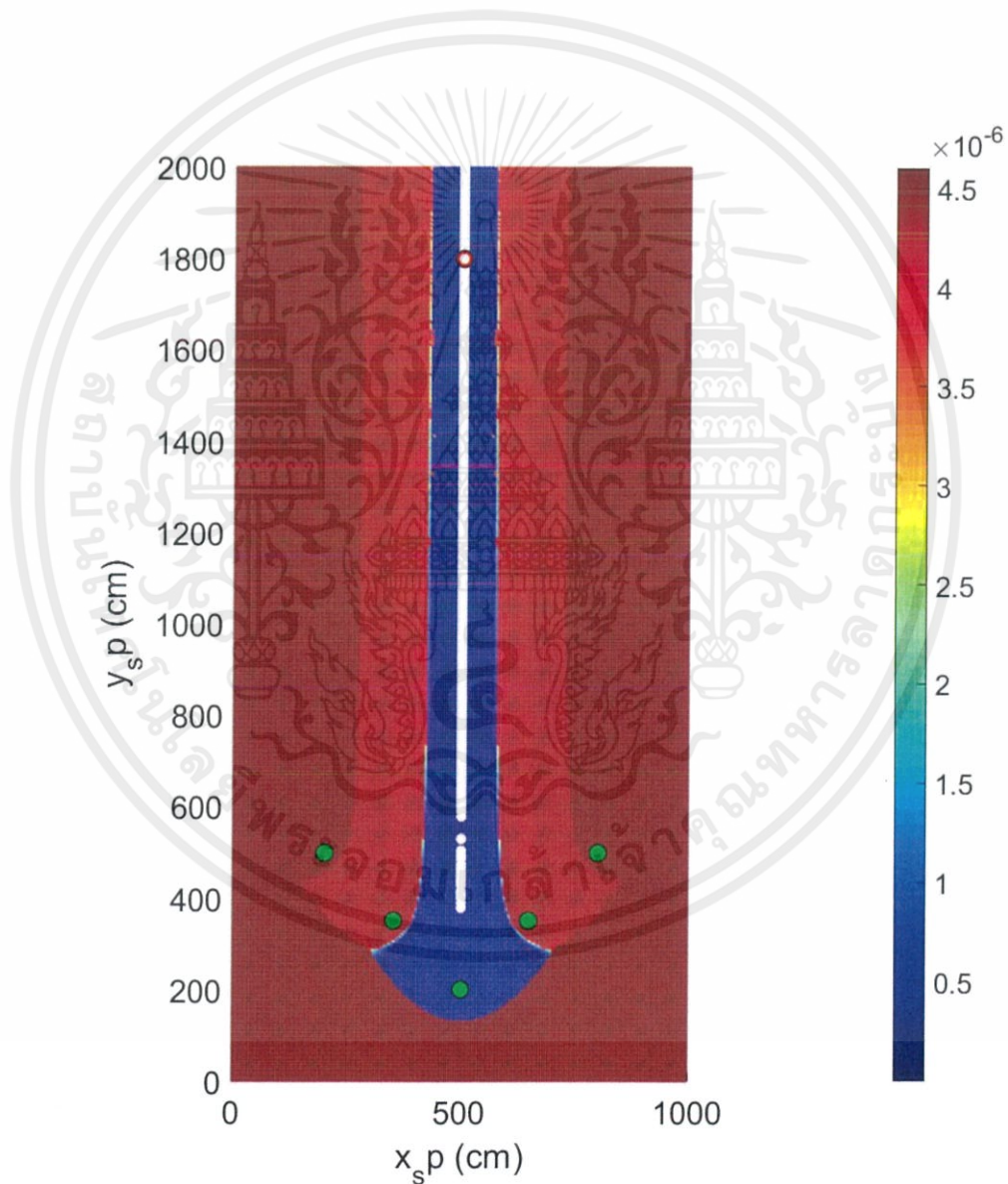
รูปที่ 4.50 การคาดคะเนตำแหน่งของแหล่งกำเนิดกลิ่นเมื่อวางเซ็นเซอร์ที่ตำแหน่ง (350,200) , (500,350) , (650,500) , (800,650) , (950,800)

6. เซ็นเซอร์ตัวที่ 1	ตำแหน่ง (350,800)
เซ็นเซอร์ตัวที่ 2	ตำแหน่ง (500,650)
เซ็นเซอร์ตัวที่ 3	ตำแหน่ง (650,500)
เซ็นเซอร์ตัวที่ 4	ตำแหน่ง (800,350)
เซ็นเซอร์ตัวที่ 5	ตำแหน่ง (950,200)
พื้นที่สีขาว	0.01 % (0.01 m ²)



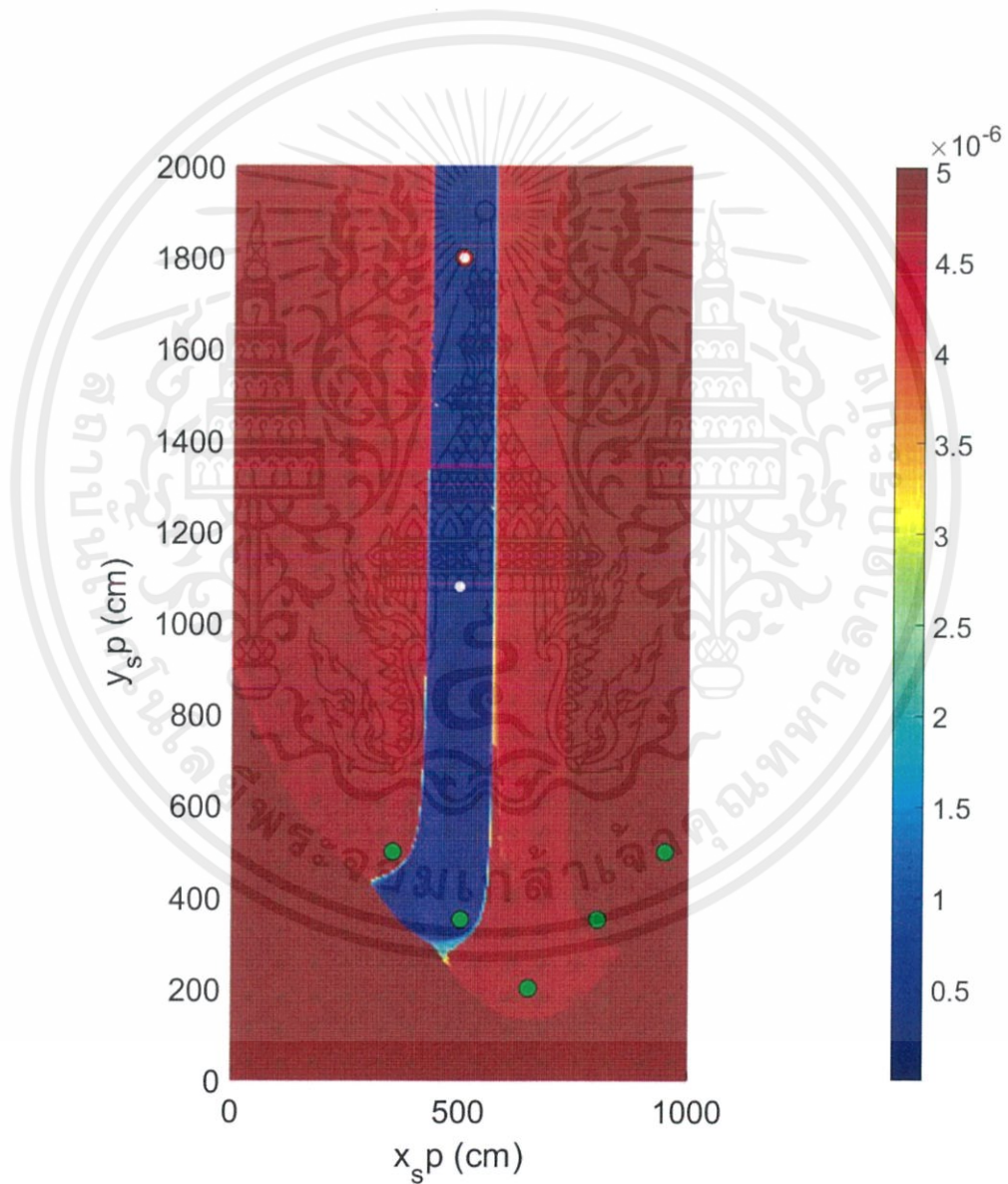
รูปที่ 4.51 การคาดคะเนตำแหน่งของแหล่งกำเนิดกลิ่นเมื่อวางเซ็นเซอร์ที่ตำแหน่ง (350,800) , (500,650) , (650,500) , (800,350) , (950,200)

- | | |
|----------------------|-------------------------------|
| 7. เซ็นเซอร์ตัวที่ 1 | ตำแหน่ง (500,200) |
| เซ็นเซอร์ตัวที่ 2 | ตำแหน่ง (650,350) |
| เซ็นเซอร์ตัวที่ 3 | ตำแหน่ง (350,350) |
| เซ็นเซอร์ตัวที่ 4 | ตำแหน่ง (800,500) |
| เซ็นเซอร์ตัวที่ 5 | ตำแหน่ง (200,500) |
| พื้นที่สีขาว | 0.38 % (0.76 m ²) |



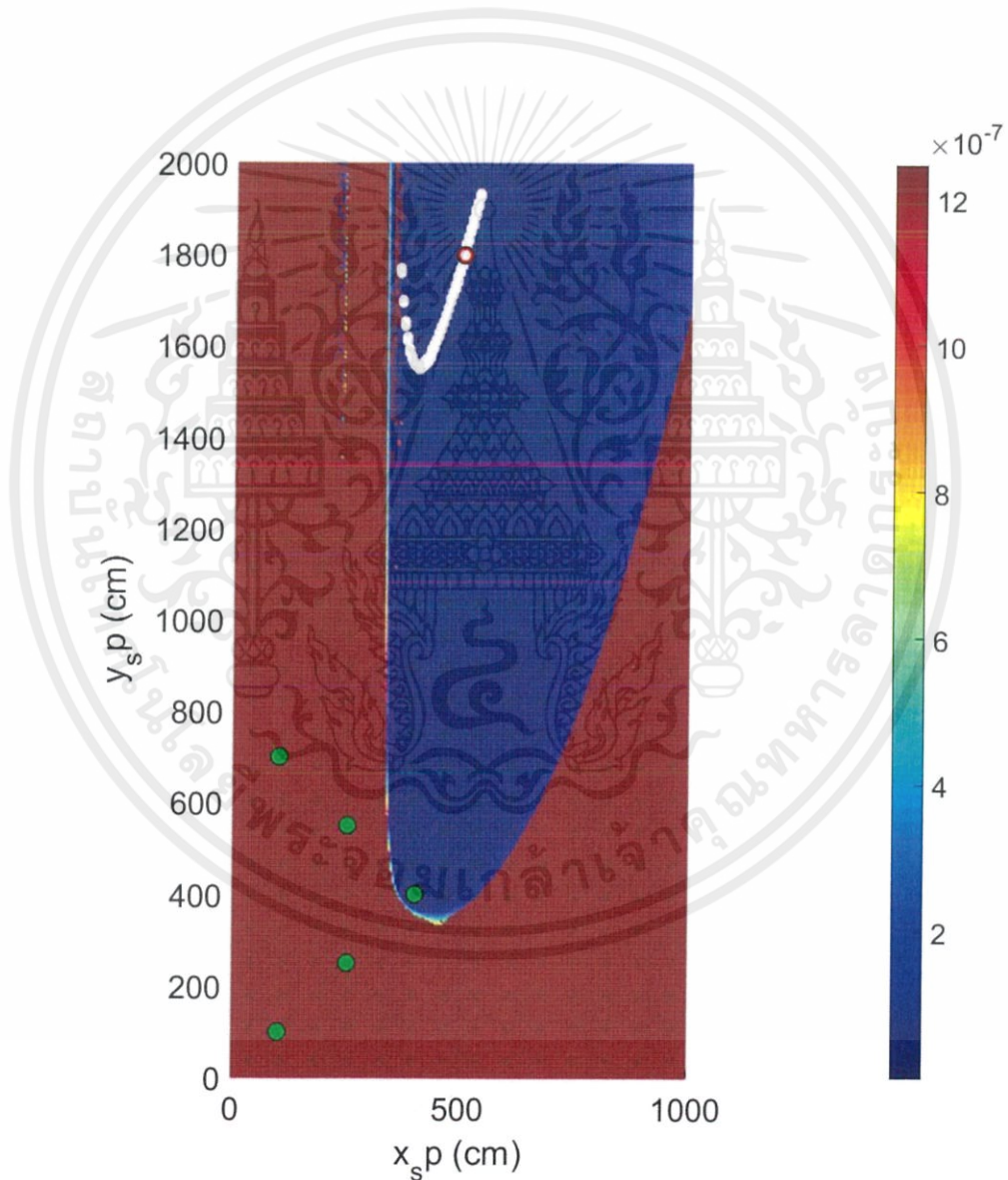
รูปที่ 4.52 การคาดคะเนตำแหน่งของแหล่งกำเนิดกลิ่นเมื่อวางเซ็นเซอร์ที่ตำแหน่ง (500,200) , (650,350) , (350,350) , (800,500) , (200,500)

- | | |
|----------------------|-------------------------------|
| 8. เซ็นเซอร์ตัวที่ 1 | ตำแหน่ง (650,400) |
| เซ็นเซอร์ตัวที่ 2 | ตำแหน่ง (800,350) |
| เซ็นเซอร์ตัวที่ 3 | ตำแหน่ง (500,350) |
| เซ็นเซอร์ตัวที่ 4 | ตำแหน่ง (950,500) |
| เซ็นเซอร์ตัวที่ 5 | ตำแหน่ง (350,500) |
| พื้นที่สีขาว | 0.01 % (0.01 m ²) |



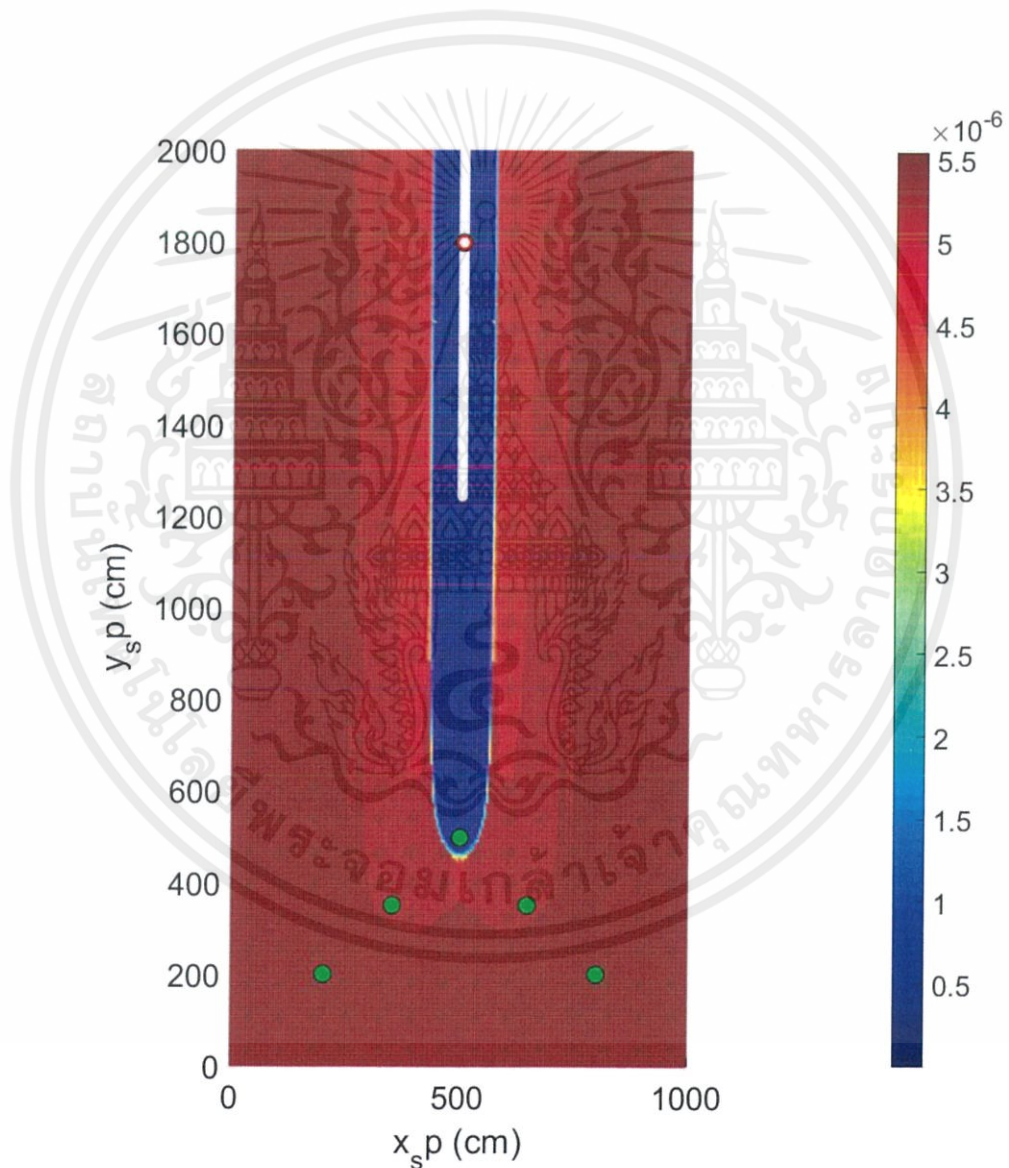
รูปที่ 4.53 การคาดคะเนตำแหน่งของแหล่งกำเนิดกลิ่นเมื่อวางเซ็นเซอร์ที่ตำแหน่ง (650,400) , (800,350) , (500,350) , (950,500) , (350,500)

- | | |
|----------------------|-------------------------------|
| 9. เซ็นเซอร์ตัวที่ 1 | ตำแหน่ง (100,100) |
| เซ็นเซอร์ตัวที่ 2 | ตำแหน่ง (250,250) |
| เซ็นเซอร์ตัวที่ 3 | ตำแหน่ง (400,400) |
| เซ็นเซอร์ตัวที่ 4 | ตำแหน่ง (250,550) |
| เซ็นเซอร์ตัวที่ 5 | ตำแหน่ง (100,700) |
| พื้นที่สีขาว | 0.13 % (0.27 m ²) |



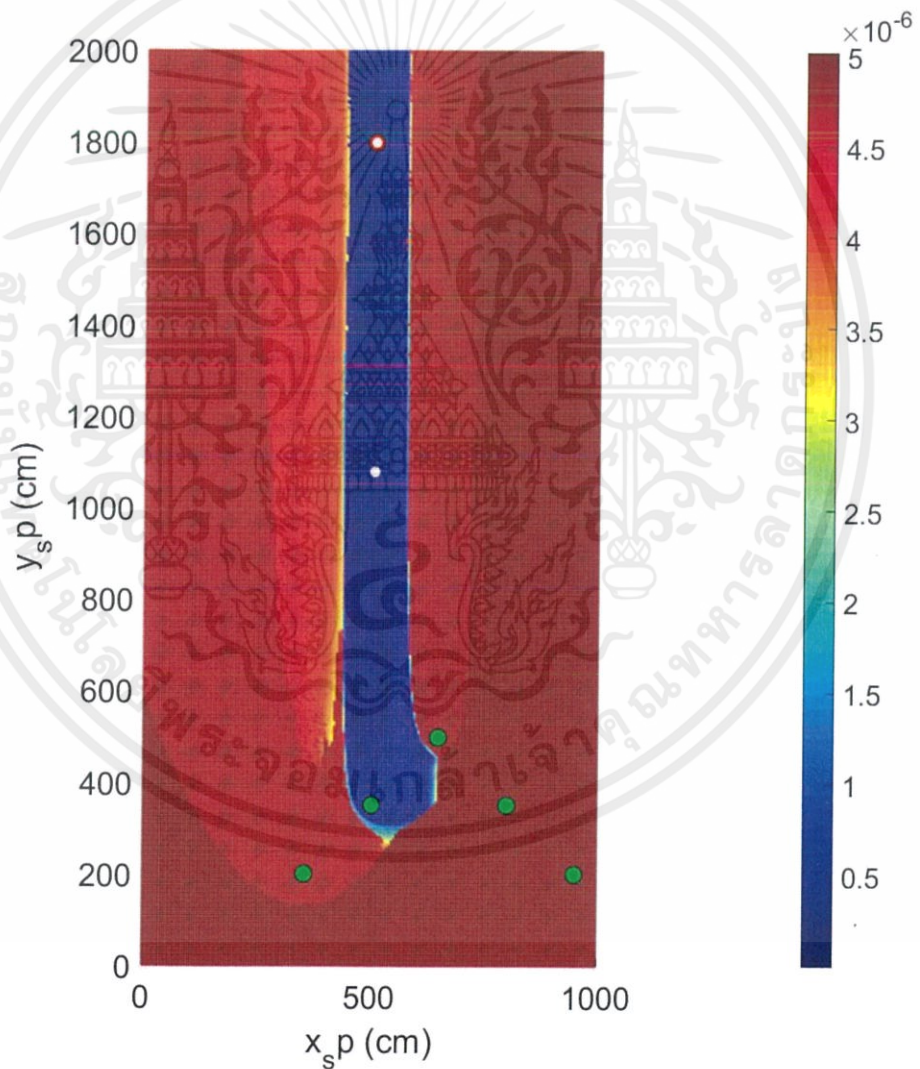
รูปที่ 4.54 การคาดคะเนตำแหน่งของแหล่งกำเนิดกลิ่นเมื่อวางเซ็นเซอร์ที่ตำแหน่ง (100,100) , (250,250) , (400,400) , (250,550) , (100,700)

- | | |
|-----------------------|-------------------------------|
| 10. เซ็นเซอร์ตัวที่ 1 | ตำแหน่ง (500,500) |
| เซ็นเซอร์ตัวที่ 2 | ตำแหน่ง (650,350) |
| เซ็นเซอร์ตัวที่ 3 | ตำแหน่ง (800,200) |
| เซ็นเซอร์ตัวที่ 4 | ตำแหน่ง (350,350) |
| เซ็นเซอร์ตัวที่ 5 | ตำแหน่ง (200,200) |
| พื้นที่สีขาว | 0.19 % (0.38 m ²) |



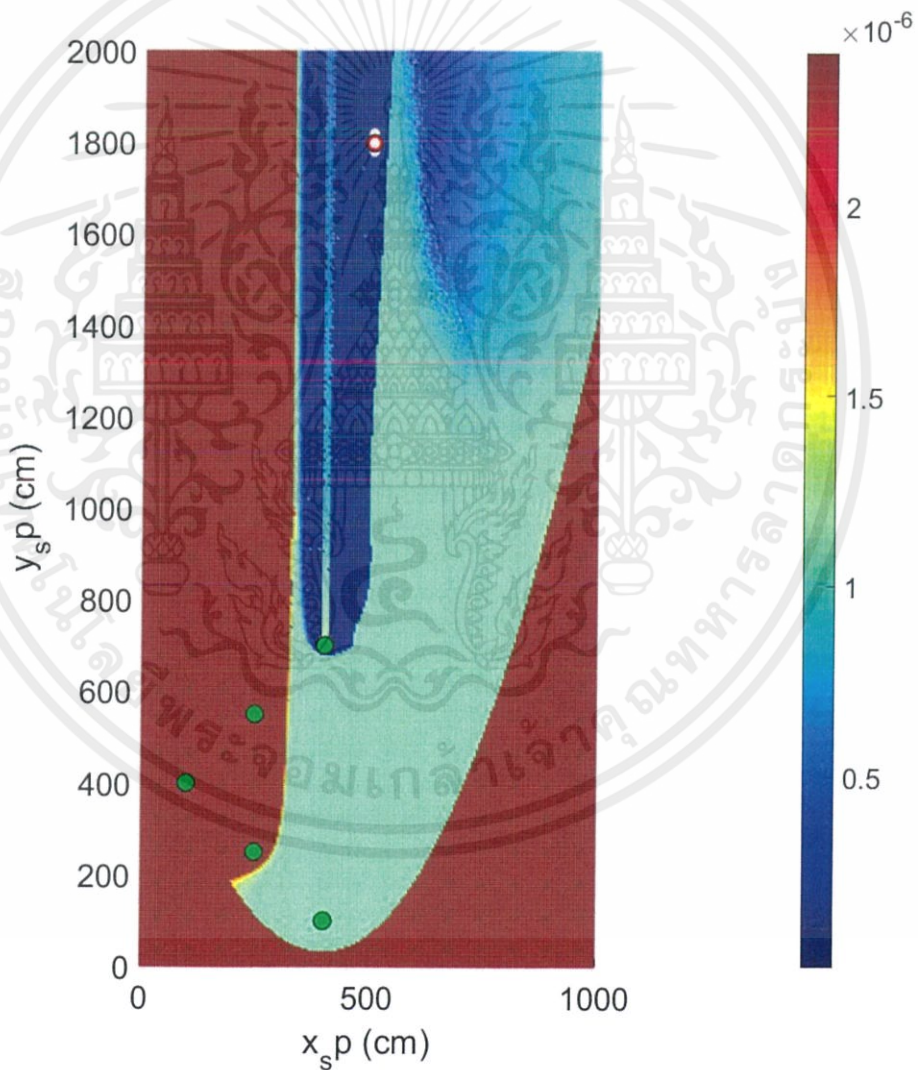
รูปที่ 4.55 การคาดคะเนตำแหน่งของแหล่งกำเนิดกลิ่นเมื่อวางเซ็นเซอร์ที่ตำแหน่ง (500,500) , (650,350) , (800,200) , (350,350) , (200,200)

- | | |
|-----------------------|-------------------------------|
| 11. เซ็นเซอร์ตัวที่ 1 | ตำแหน่ง (650,500) |
| เซ็นเซอร์ตัวที่ 2 | ตำแหน่ง (800,350) |
| เซ็นเซอร์ตัวที่ 3 | ตำแหน่ง (950,200) |
| เซ็นเซอร์ตัวที่ 4 | ตำแหน่ง (500,350) |
| เซ็นเซอร์ตัวที่ 5 | ตำแหน่ง (350,200) |
| พื้นที่สีขาว | 0.01 % (0.01 m ²) |



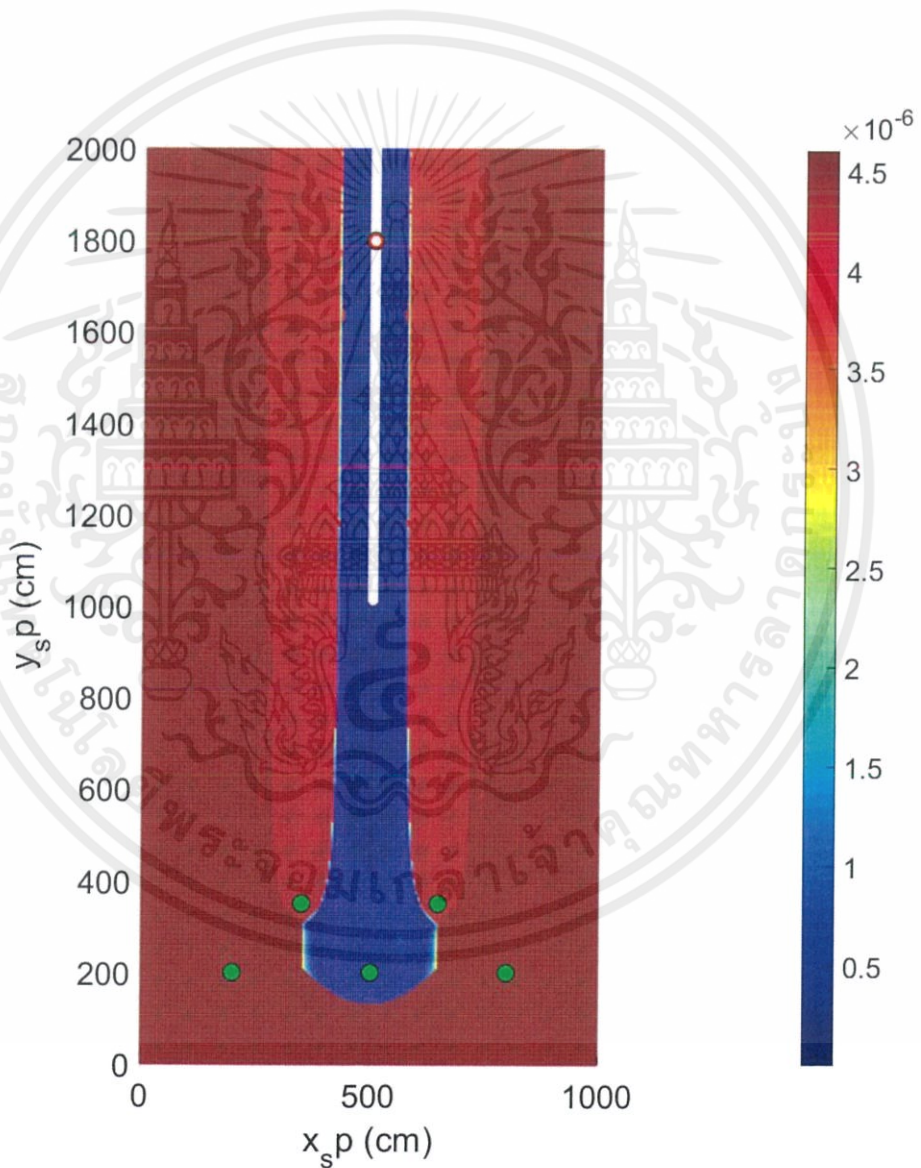
รูปที่ 4.56 การคาดคะเนตำแหน่งของแหล่งกำเนิดคลื่นเมื่อวางเซ็นเซอร์ที่ตำแหน่ง
(650,500) , (800,350) , (950,200) , (500,350) , (350,200)

- | | |
|-----------------------|-------------------------------|
| 12. เซ็นเซอร์ตัวที่ 1 | ตำแหน่ง (100,400) |
| เซ็นเซอร์ตัวที่ 2 | ตำแหน่ง (250,250) |
| เซ็นเซอร์ตัวที่ 3 | ตำแหน่ง (400,100) |
| เซ็นเซอร์ตัวที่ 4 | ตำแหน่ง (250,550) |
| เซ็นเซอร์ตัวที่ 5 | ตำแหน่ง (400,700) |
| พื้นที่สีขาว | 0.01 % (0.02 m ²) |



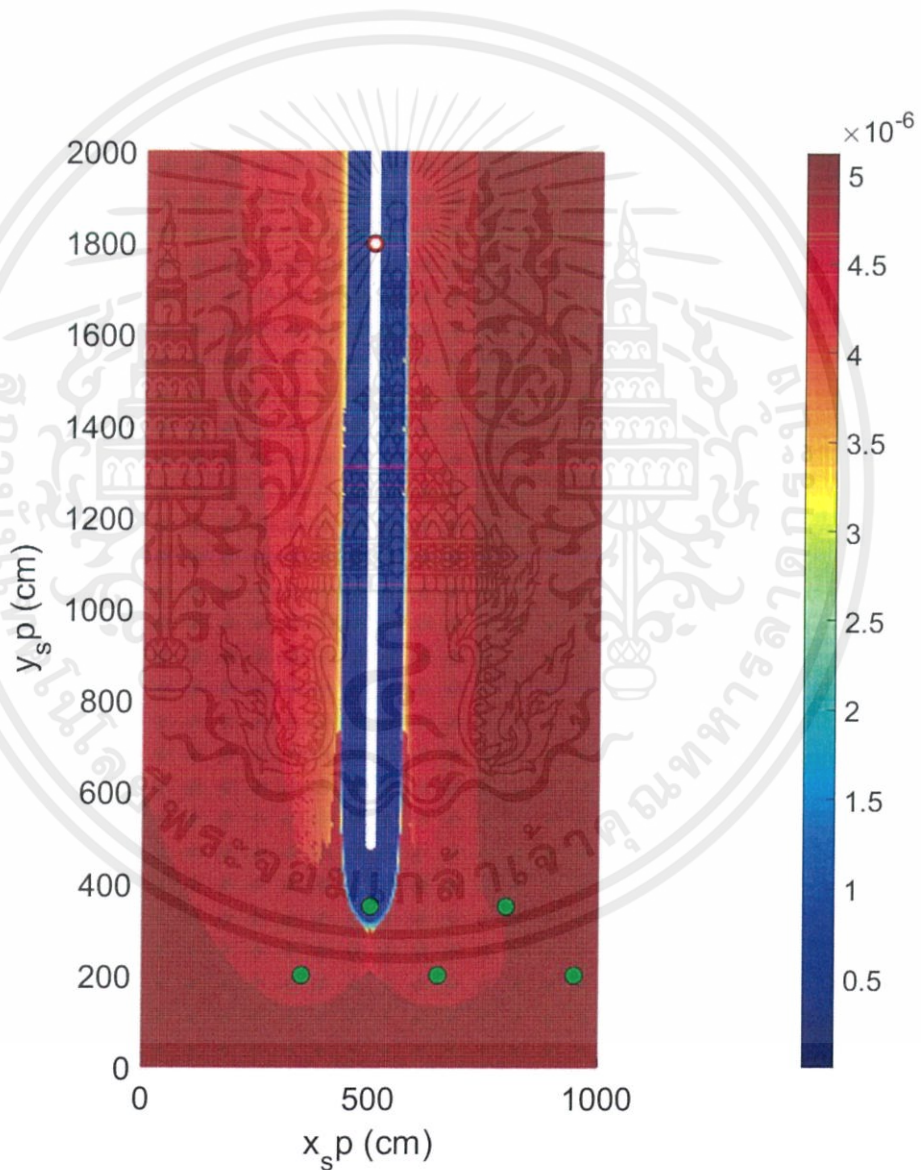
รูปที่ 4.57 การคาดคะเนตำแหน่งของแหล่งกำเนิดกลิ่นเมื่อวางเซ็นเซอร์ที่ตำแหน่ง (100,400) , (250,250) , (400,100) , (250,550) , (400,700)

- | | |
|-----------------------|-------------------------------|
| 13. เซ็นเซอร์ตัวที่ 1 | ตำแหน่ง (500,200) |
| เซ็นเซอร์ตัวที่ 2 | ตำแหน่ง (200,200) |
| เซ็นเซอร์ตัวที่ 3 | ตำแหน่ง (800,200) |
| เซ็นเซอร์ตัวที่ 4 | ตำแหน่ง (650,350) |
| เซ็นเซอร์ตัวที่ 5 | ตำแหน่ง (350,350) |
| พื้นที่สีขาว | 0.25 % (0.50 m ²) |



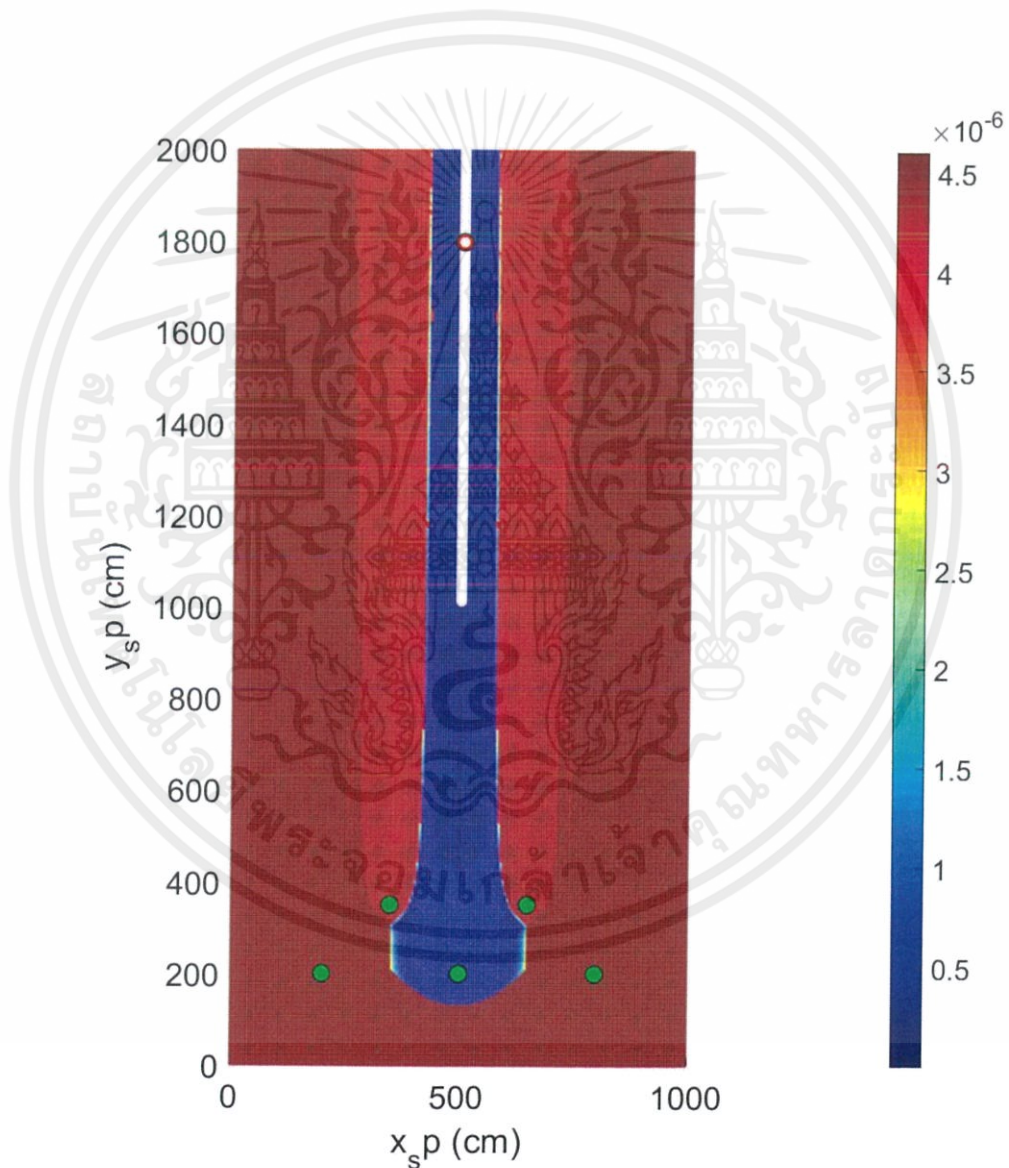
รูปที่ 4.58 การคาดคะเนตำแหน่งของแหล่งกำเนิดคลื่นเมื่อวางเซ็นเซอร์ที่ตำแหน่ง (500,200) , (200,200) , (800,200) , (650,350) , (350,350)

- | | |
|-----------------------|-------------------------------|
| 14. เซ็นเซอร์ตัวที่ 1 | ตำแหน่ง (650,200) |
| เซ็นเซอร์ตัวที่ 2 | ตำแหน่ง (350,200) |
| เซ็นเซอร์ตัวที่ 3 | ตำแหน่ง (950,200) |
| เซ็นเซอร์ตัวที่ 4 | ตำแหน่ง (800,350) |
| เซ็นเซอร์ตัวที่ 5 | ตำแหน่ง (500,350) |
| พื้นที่สีขาว | 0.37 % (0.75 m ²) |



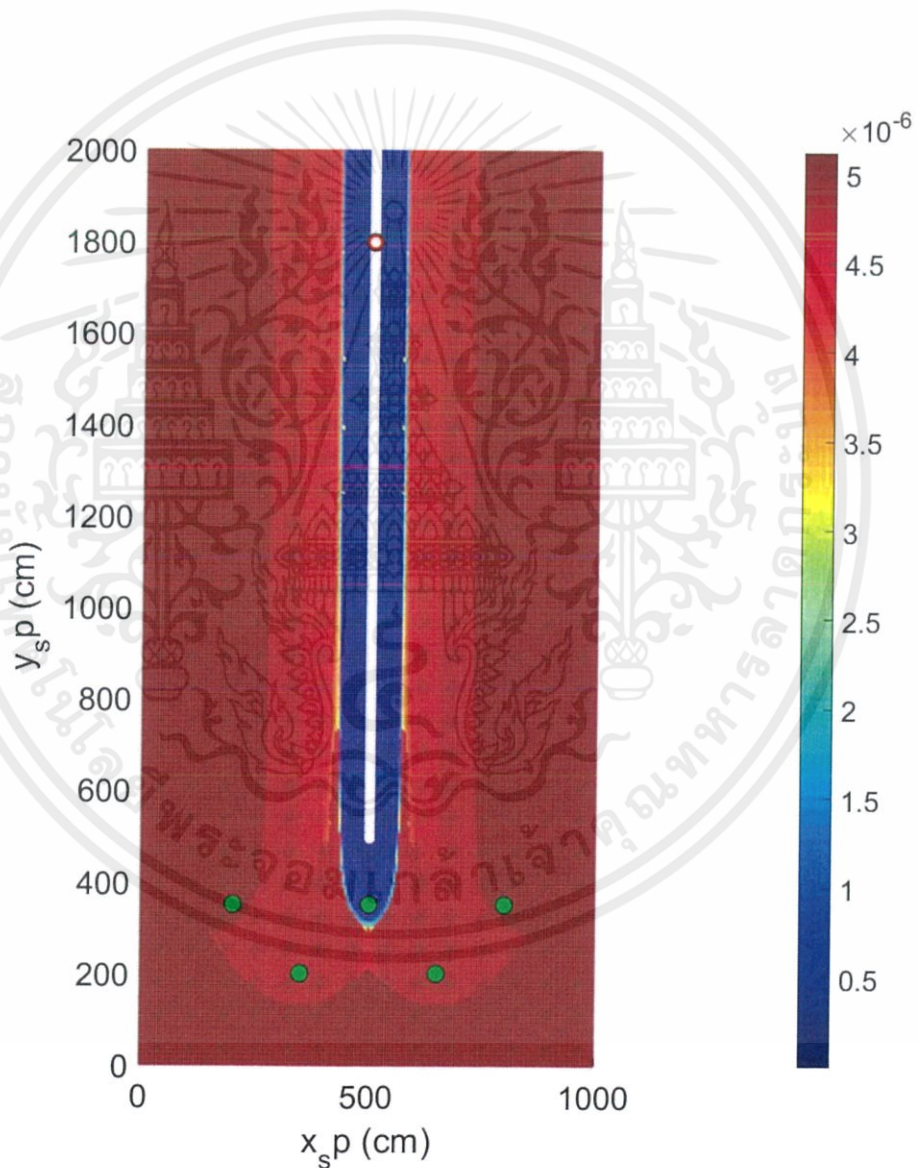
รูปที่ 4.59 การคาดคะเนตำแหน่งของแหล่งกำเนิดคลื่นเมื่อวางเซ็นเซอร์ที่ตำแหน่ง
(650,200) , (350,200) , (950,200) , (800,350) , (500,350)

- | | |
|-----------------------|-------------------------------|
| 15. เซ็นเซอร์ตัวที่ 1 | ตำแหน่ง (100,100) |
| เซ็นเซอร์ตัวที่ 2 | ตำแหน่ง (250,250) |
| เซ็นเซอร์ตัวที่ 3 | ตำแหน่ง (100,400) |
| เซ็นเซอร์ตัวที่ 4 | ตำแหน่ง (200,550) |
| เซ็นเซอร์ตัวที่ 5 | ตำแหน่ง (100,700) |
| พื้นที่สีขาว | 3.71 % (7.48 m ²) |



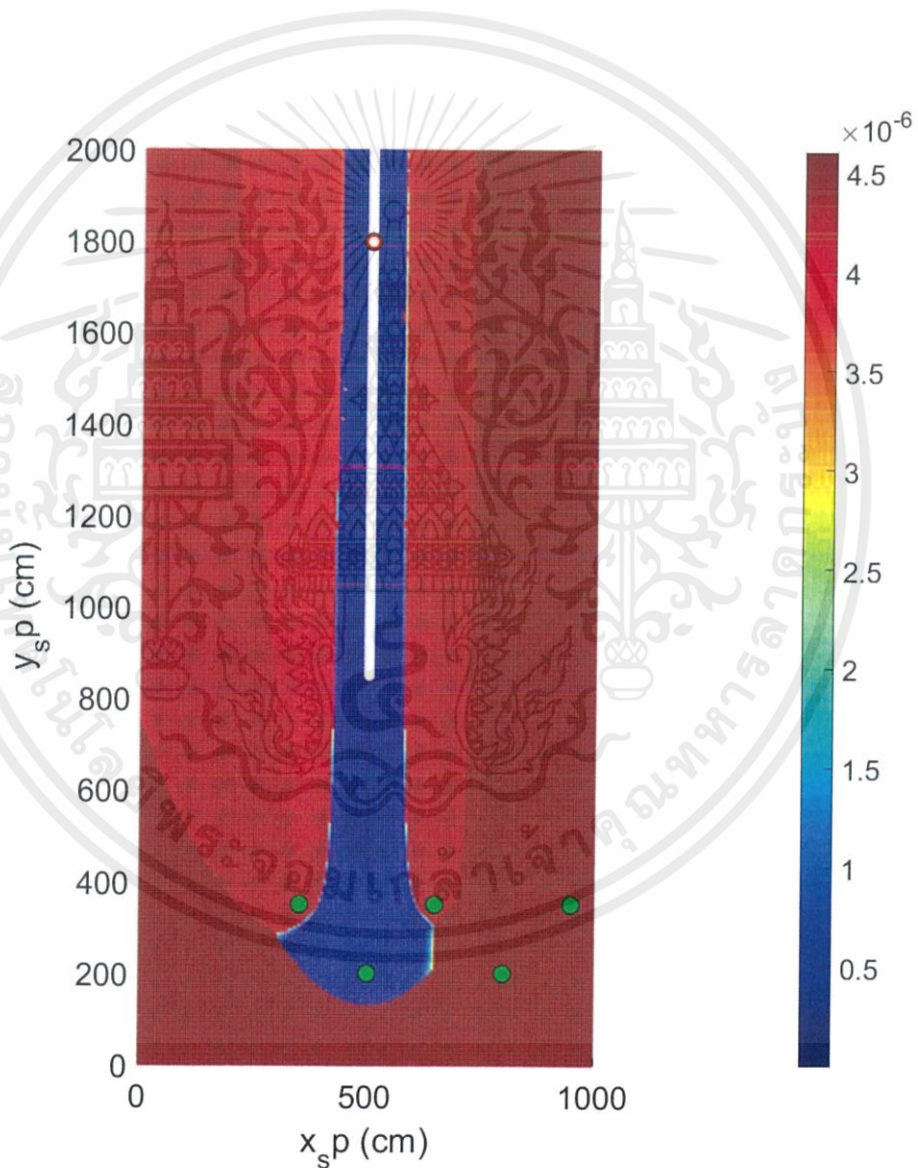
รูปที่ 4.60 การคาดคะเนตำแหน่งของแหล่งกำเนิดคลื่นเมื่อวางเซ็นเซอร์ที่ตำแหน่ง (100,100) , (250,250) , (100,400) , (200,550) , (100,700)

16. เซ็นเซอร์ตัวที่ 1	ตำแหน่ง (800,350)
เซ็นเซอร์ตัวที่ 2	ตำแหน่ง (500,350)
เซ็นเซอร์ตัวที่ 3	ตำแหน่ง (200,350)
เซ็นเซอร์ตัวที่ 4	ตำแหน่ง (350,200)
เซ็นเซอร์ตัวที่ 5	ตำแหน่ง (650,200)
พื้นที่สีขา	0.37 % (0.75 m ²)



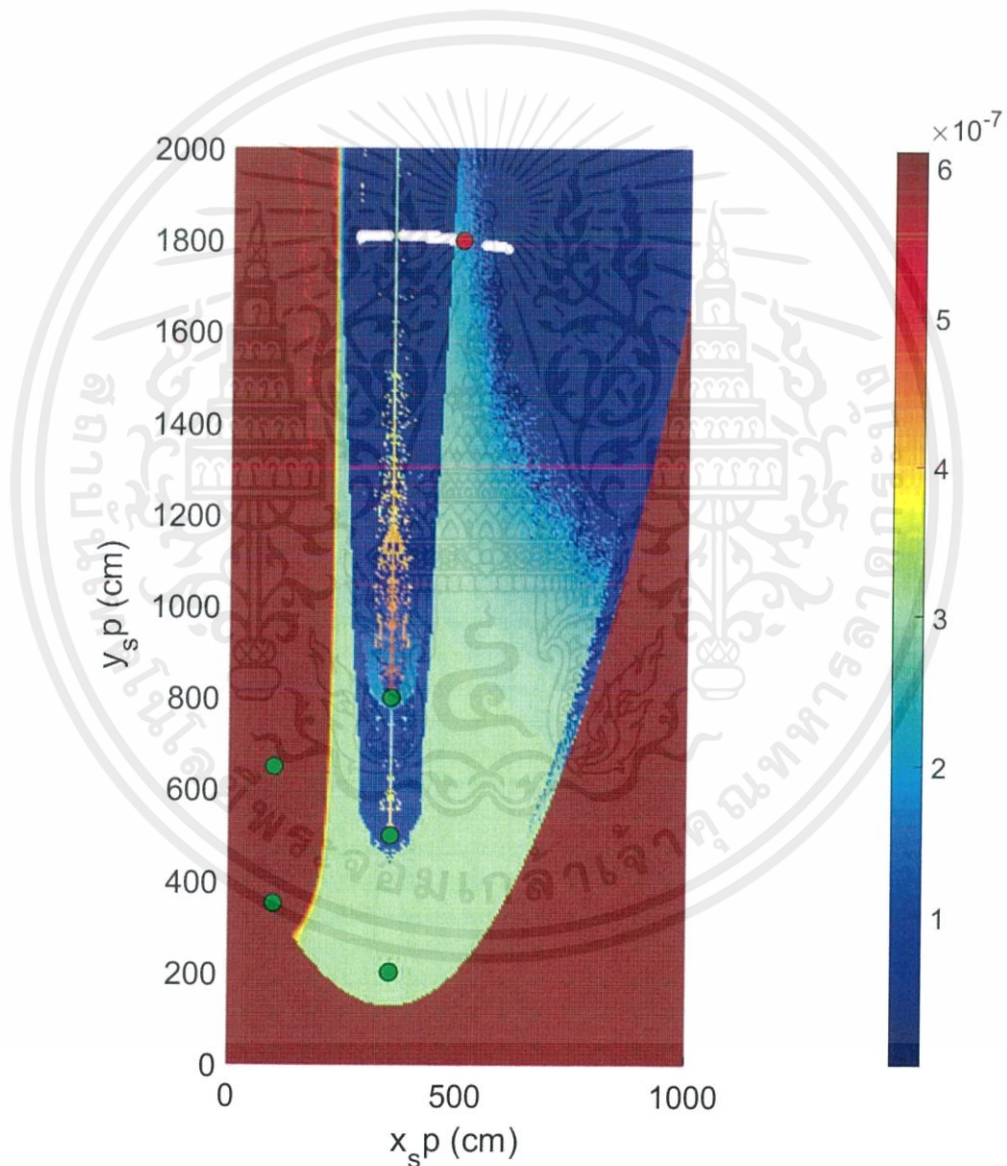
รูปที่ 4.61 การคาดคะเนตำแหน่งของแหล่งกำเนิดคลื่นเมื่อวางเซ็นเซอร์ที่ตำแหน่ง (800,350) , (500,350) , (200,350) , (350,200) , (650,200)

- | | |
|-----------------------|-------------------------------|
| 17. เซ็นเซอร์ตัวที่ 1 | ตำแหน่ง (950,350) |
| เซ็นเซอร์ตัวที่ 2 | ตำแหน่ง (650,350) |
| เซ็นเซอร์ตัวที่ 3 | ตำแหน่ง (350,350) |
| เซ็นเซอร์ตัวที่ 4 | ตำแหน่ง (500,200) |
| เซ็นเซอร์ตัวที่ 5 | ตำแหน่ง (800,200) |
| พื้นที่สีขาว | 0.29 % (0.58 m ²) |



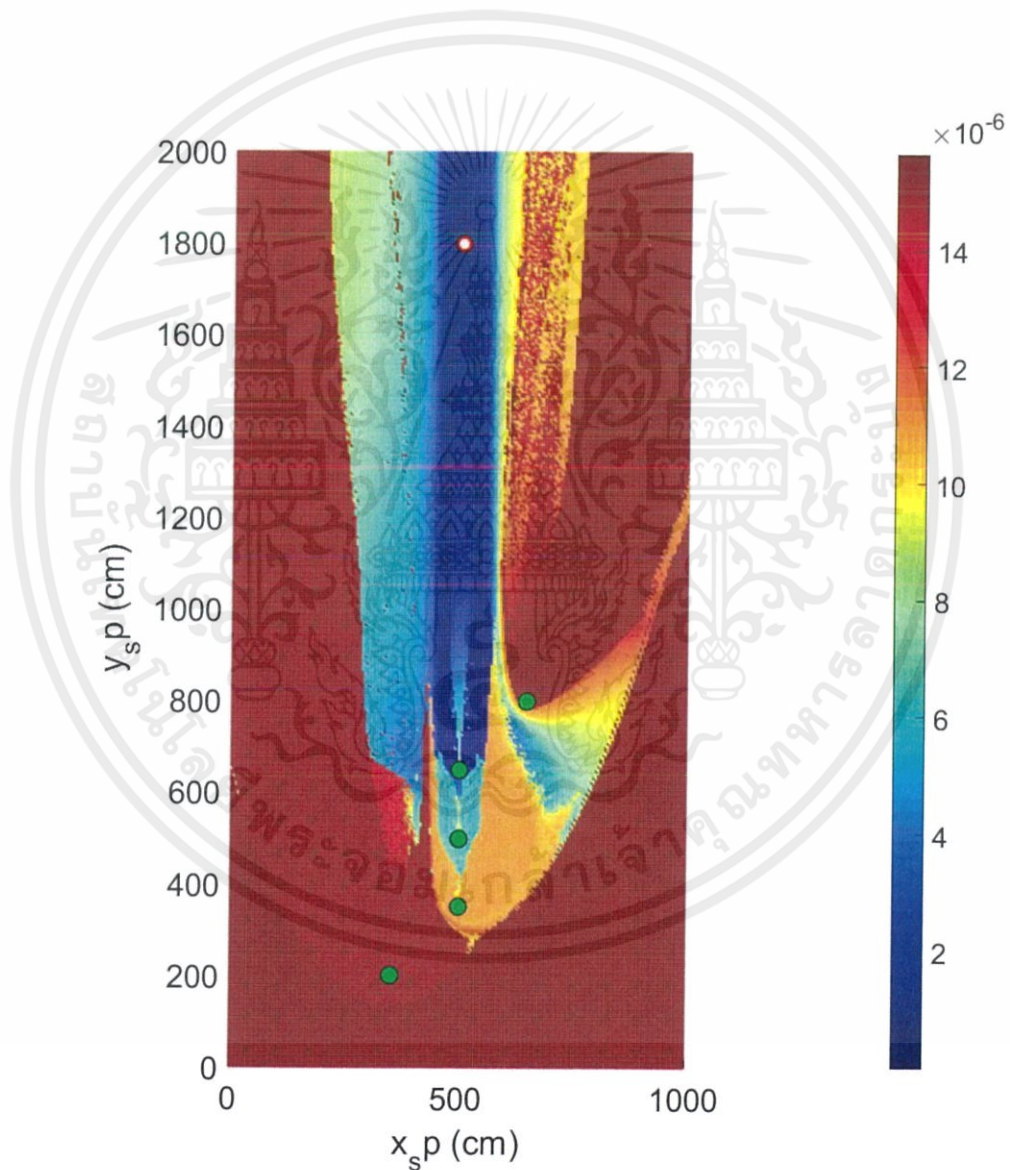
รูปที่ 4.62 การคาดคะเนตำแหน่งของแหล่งกำเนิดคลื่นเมื่อวางเซ็นเซอร์ที่ตำแหน่ง (950,350) , (650,350) , (350,350) , (500,200) , (800,200)

- | | |
|-----------------------|-------------------------------|
| 18. เซ็นเซอร์ตัวที่ 1 | ตำแหน่ง (350,200) |
| เซ็นเซอร์ตัวที่ 2 | ตำแหน่ง (100,350) |
| เซ็นเซอร์ตัวที่ 3 | ตำแหน่ง (350,500) |
| เซ็นเซอร์ตัวที่ 4 | ตำแหน่ง (100,650) |
| เซ็นเซอร์ตัวที่ 5 | ตำแหน่ง (350,800) |
| พื้นที่สีขาว | 0.06 % (0.13 m ²) |



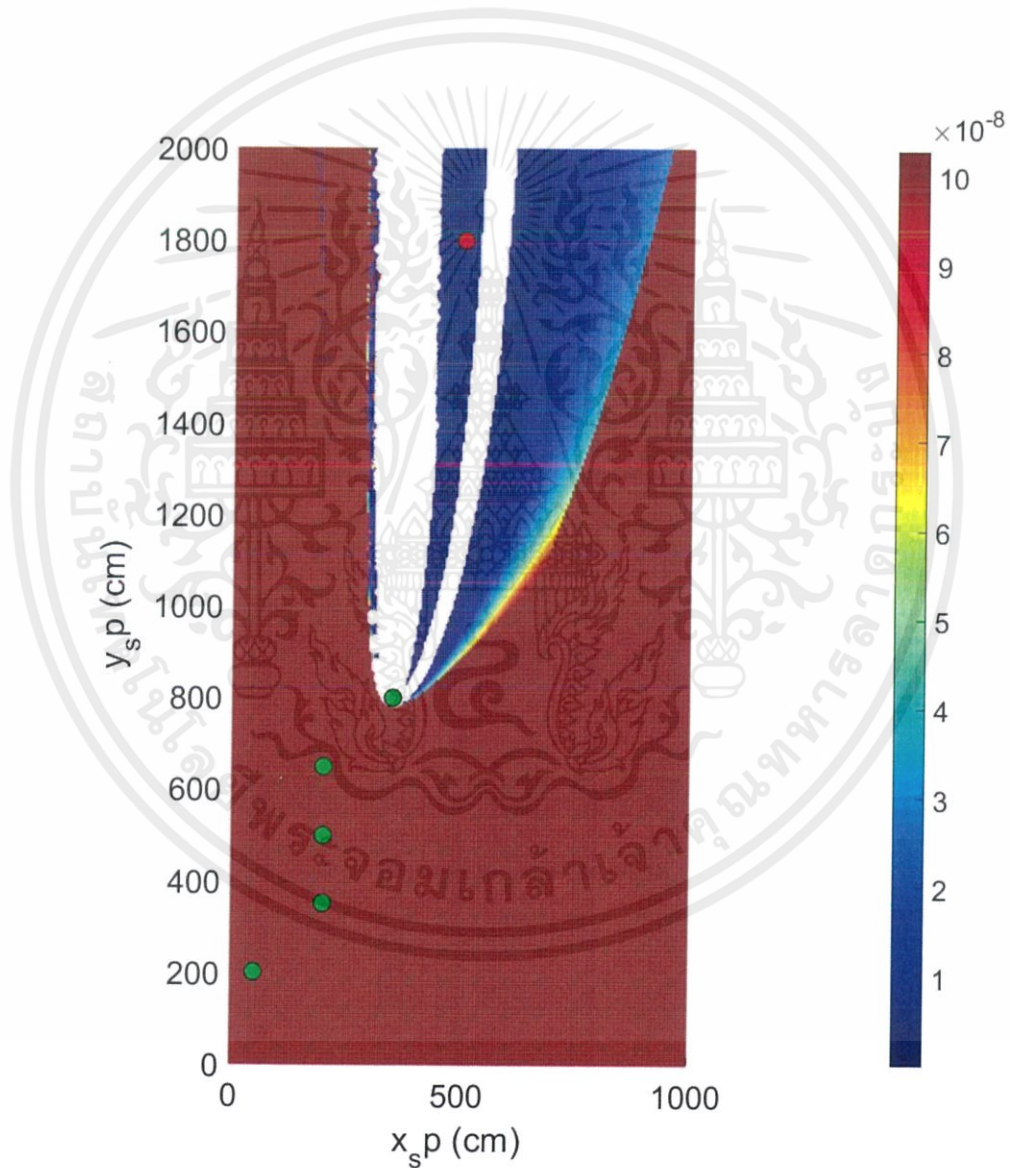
รูปที่ 4.63 การคาดคะเนตำแหน่งของแหล่งกำเนิดคลื่นเมื่อวางเซ็นเซอร์ที่ตำแหน่ง (350,200) , (100,350) , (350,500) , (100,650) , (350,800)

- | | |
|-----------------------|-------------------------------|
| 19. เซ็นเซอร์ตัวที่ 1 | ตำแหน่ง (350,200) |
| เซ็นเซอร์ตัวที่ 2 | ตำแหน่ง (500,350) |
| เซ็นเซอร์ตัวที่ 3 | ตำแหน่ง (500,500) |
| เซ็นเซอร์ตัวที่ 4 | ตำแหน่ง (500,650) |
| เซ็นเซอร์ตัวที่ 5 | ตำแหน่ง (650,800) |
| พื้นที่สีขาว | 0.01 % (0.00 m ²) |



รูปที่ 4.64 การคาดคะเนตำแหน่งของแหล่งกำเนิดคลื่นเมื่อวางเซ็นเซอร์ที่ตำแหน่ง
(350,200) , (500,350) , (500,500) , (500,650) , (650,800)

20. เซ็นเซอร์ตัวที่ 1	ตำแหน่ง (50,200)
เซ็นเซอร์ตัวที่ 2	ตำแหน่ง (200,350)
เซ็นเซอร์ตัวที่ 3	ตำแหน่ง (200,500)
เซ็นเซอร์ตัวที่ 4	ตำแหน่ง (200,650)
เซ็นเซอร์ตัวที่ 5	ตำแหน่ง (350,800)
พื้นที่สีขาว	7.71 % (15.53 m ²)



รูปที่ 4.65 การคาดคะเนตำแหน่งของแหล่งกำเนิดกลิ่นเมื่อวางเซ็นเซอร์ที่ตำแหน่ง (50,200) , (200,350) , (200,500) , (200,650) , (350,800)

ผลการทดลองในรูปที่ 4.46 - 4.65 สรุปพร้อมได้ดังแสดงในตารางที่ 4.3

ตารางที่ 4.3 ผลการทดลองเปลี่ยนตำแหน่งของเซ็นเซอร์ 5 ตัว

ครั้งที่	ตำแหน่ง เซ็นเซอร์ 1	ตำแหน่ง เซ็นเซอร์ 2	ตำแหน่ง เซ็นเซอร์ 3	ตำแหน่ง เซ็นเซอร์ 4	ตำแหน่ง เซ็นเซอร์ 5	พื้นที่สีขาว				เวลาที่ใช้ คำนวณ (s)
						จำนวน จุด	%	พื้นที่ (m ²)	ระยะทาง คลาดเคลื่อน เฉลี่ย (m)	
1	(500,200)	(350,200)	(200,200)	(650,500)	(800,500)	3	0.00%	0.01	0.03	462.73
2	(500,200)	(350,200)	(200,200)	(650,200)	(800,200)	277	0.34%	0.69	5.20	549.96
3	(100,200)	(250,200)	(400,200)	(550,200)	(700,200)	120	0.15%	0.30	1.66	467.30
4	(500,500)	(350,350)	(200,200)	(650,650)	(800,800)	3	0.00%	0.01	0.03	458.12
5	(350,200)	(500,350)	(650,500)	(800,650)	(950,800)	4	0.00%	0.01	1.83	406.97
6	(350,800)	(500,650)	(650,500)	(800,350)	(950,200)	5	0.01%	0.01	2.31	457.60
7	(500,200)	(650,350)	(350,350)	(800,500)	(200,500)	305	0.38%	0.76	5.92	437.92
8	(650,400)	(800,350)	(500,350)	(950,500)	(350,500)	4	0.00%	0.01	1.83	444.97
9	(100,100)	(250,250)	(400,400)	(250,550)	(100,700)	106	0.13%	0.27	1.48	411.48
10	(500,500)	(650,350)	(800,200)	(350,350)	(200,200)	152	0.19%	0.38	2.31	503.07
11	(650,500)	(800,350)	(950,200)	(500,350)	(350,200)	4	0.00%	0.01	1.83	443.90
12	(100,400)	(250,250)	(400,100)	(250,550)	(400,700)	9	0.01%	0.02	0.11	504.33
13	(500,200)	(200,200)	(800,200)	(650,350)	(350,350)	198	0.25%	0.50	3.34	503.02
14	(650,200)	(350,200)	(950,200)	(800,350)	(500,350)	299	0.37%	0.75	5.73	528.54
15	(100,100)	(250,250)	(100,400)	(250,550)	(100,700)	2993	3.71%	7.48	8.09	407.26
16	(800,350)	(500,350)	(200,350)	(350,200)	(650,200)	298	0.37%	0.75	5.71	455.85
17	(950,350)	(650,350)	(350,350)	(500,200)	(800,200)	231	0.29%	0.58	4.10	458.00
18	(350,200)	(100,350)	(350,500)	(100,650)	(350,800)	51	0.06%	0.13	1.10	509.77
19	(350,200)	(500,350)	(500,500)	(500,650)	(650,800)	1	0.00%	0.00	0.00	428.70
20	(50,200)	(200,350)	(200,500)	(200,650)	(350,800)	6211	7.71%	15.53	3.89	427.38
เวลาที่ใช้ในการคำนวณเฉลี่ย = 463.34 s										

บทที่ 5

สรุปผลการทดลอง

5.1 รูปแบบการวางตำแหน่งของเซ็นเซอร์ที่เหมาะสม

จากการทดลองที่ 4.1 , 4.2 และ 4.3 พบว่า เมื่อวางเซ็นเซอร์ในตำแหน่งที่เหมาะสม จะทำให้อัลกอริธึมที่พัฒนาขึ้นสามารถระบุตำแหน่งของแหล่งกำเนิดกลิ่นได้ โดยรูปแบบการวางเซ็นเซอร์ที่สามารถคาดคะเนแหล่งกำเนิดกลิ่นได้แม่นยำที่สุดคือรูปแบบสามเหลี่ยมหน้าจั่ว

เมื่อพิจารณาจากรูปที่ 4.21, รูปที่ 4.22 และตารางที่ 4.1 พบว่าการเรียงให้จุดยอดของสามเหลี่ยมหน้าจั่วหันเข้าหาแหล่งกำเนิดกลิ่นโดยทำมุมเอียงกับทิศทางลมเล็กน้อย จะทำให้สามารถคาดคะเนตำแหน่งของแหล่งกำเนิดกลิ่นได้แม่นยำมากกว่าการหันเข้าหาทิศทางลมโดยตรง โดยพิจารณาจากตารางที่ 4.1 จะพบว่าการหันจุดยอดของสามเหลี่ยมหน้าจั่วเข้าหาแหล่งกำเนิดกลิ่นโดยทำมุมเอียงกับทิศทางลมเล็กน้อย จะให้ค่าระยะทางคลาดเคลื่อนเฉลี่ยที่น้อยกว่า

นอกจากนี้เมื่อพิจารณาเปรียบเทียบจำนวนเซ็นเซอร์ที่ใช้ พบว่าการเพิ่มเซ็นเซอร์ที่ใช้จาก 3 ตัวเป็น 4 ตัวจะทำให้สามารถระบุตำแหน่งของแหล่งกำเนิดกลิ่นได้อย่างถูกต้องและแม่นยำมากขึ้น ในขณะที่การเพิ่มเซ็นเซอร์ที่ใช้เป็น 5 ตัวจะทำให้ความถูกต้องและแม่นยำเพิ่มมากขึ้นจากกรณีใช้เซ็นเซอร์ 4 ตัวเล็กน้อย สำหรับเวลาที่ใช้ประมวลผลนั้น กรณีที่ใช้เซ็นเซอร์ 4 ตัวมีการใช้เวลาเพิ่มจากกรณีที่ใช้เซ็นเซอร์ 3 ตัวพอสมควร แต่กรณีที่ใช้เซ็นเซอร์ 5 ตัวมีการใช้เวลาเพิ่มจากกรณีที่ใช้เซ็นเซอร์ 4 ตัวไม่มากนัก

5.2 วิจารณ์ผลการทดลอง

1. สมการการแพร่กระจายของกลิ่นที่ใช้ในโครงงานนี้เป็นสมการอย่างง่ายที่สมมติว่า อัตราการปล่อยกลิ่น (q) , ความเร็วลม (U) , และ Diffusion coefficient (K) เป็นค่าคงที่ ทั้งนี้การประมวลผลด้วยสมการที่ซับซ้อนแต่มีความใกล้เคียงกับสภาพแวดล้อมจริงมากขึ้นนั้นจำเป็นต้องทำการศึกษาต่อไป

2. การทดลองในโครงงานนี้แม้จะทำการทดลองถึง 64 รูปแบบแต่ผลที่ได้ระบุได้เพียงว่าการวางเซ็นเซอร์รูปแบบใดดีที่สุดที่สุดในบรรดาที่ทดลองเท่านั้น ยังไม่สามารถหารูปแบบทั่วไป (General approach) สำหรับการหาแหล่งกำเนิดกลิ่นได้ ซึ่งกระบวนการวิจัยเพื่อหารูปแบบทั่วไปดังกล่าวนี้เป็นสิ่งที่จะต้องดำเนินการต่อไป

เอกสารอ้างอิง

- [1] Y. Ariyakul et al., Simulation of Sensor Network For Odor Source Localization Using Numerical Optimization Technique, IEEJ Sensors and Micromachines (E) 2014, Tokyo, Japan, May 2014.
- [2] Hiroshi Ishida , Takamichi Nakamoto, and Toyosaka Moriizumi : “Remote sensing of gas/odor source location and concentration distribution using mobile system”, Sensors and Actuators, 49, p.52-57 (1998)
- [3] J.O Hinze : “Turbulence”, McGraw-Hill, New York (1975)
- [4] R. Andrew Russell : “Odour detection by mobile robots” ,World scientific series in robotics and intelligent systems, p.69-116 (1999)
- [5] Dusenbery, D.B., Sensory Ecology: How Organisms Acquire and Respond to Information, W.H. Freeman and Company, N.Y., 1992.
- [6] Scorer, R.S., Environmental Aerodynamics, Ellis Horwood Ltd. Publisher, Chichester, 1978.
- [7] Russell, R.A., “Laying and sensing ordor markings as a strategy for assisting mobile robot navigation tasks”, IEEE Robotics & Automation Magazine, September 1995, pp. 3-9
- [8] Ishida, H., Suetsugu, K., Nakamoto, T. and Moriizumi, T., “Study of automous mobile sensing system for localization of odor source using gas sensors and anemometric sensor”, Sensors and Actuators A, Vol. 45, 1994, pp. 153-157.
- [9] Ishida, H., Hayashi, K., Takakusaki, M., Nakomoto, T., Moriizumi, T., an Kanzaki, R., “Odour-source localization system mimicking behaviour of silkwormmoth”, Sensors and Actuators A, Vol. 51, 1996, pp. 225-230.



เอกสารนี้เป็นเอกสารที่สงวนไว้ สำหรับการใช้งานเพื่อการศึกษาเท่านั้น ไม่อนุญาตให้นำไปใช้ประโยชน์ด้านการค้า
ไม่ว่ากรณีใด ๆ ทั้งสิ้น อีกทั้งห้ามมิให้ดัดแปลงเนื้อหา และต้องอ้างอิงถึงเจ้าของเอกสารทุกครั้งที่มีการนำไปใช้

โปรแกรมสำหรับพล็อตกราฟจากค่าความเข้มข้นกลิ่นที่วัดได้

```
MeasuredIntensity = ...
```

```
[6020,4610,3510,131180,4690,4890,4560;
```

```
8740,9560,7380,62590,6510,9450,7730;
```

```
11540,11410,18530,28880,9280,10720,12910;
```

```
15910,14250,34090,25140,12180,13660,15190;
```

```
16810,16300,29440,26720,15430,17360,17450;
```

```
21250,24470,29470,27270,16840,16780,16800];
```

```
% Create x-y axis
```

```
[xx,yy] = meshgrid(0:71:426,0:71:355);
```

```
% Graphing
```

```
% คือปกติในการพล็อตกราฟ ค่าในแกน y จะเพิ่มค่าของ row ใน matrix
```

```
% แต่ข้อมูลนี้ตรงกันข้าม เพราะต้องการพล็อตโมเดลที่มีทิศทางการหันหน้า
```

```
% ตรงกับลักษณะของห้องจริงที่ไปวัด
```

```
% (คือต้องการให้ทิศทางของแกน y เพิ่มไปในทางที่ row ของ matrix ลด)
```

```
% จึงต้องทำการ flip y ก่อนวาดกราฟ
```

```
mesh(xx,flipud(yy),MeasuredIntensity)
```

```
xlabel('x (cm)','FontSize',14)
```

```
ylabel('y (cm)'],'FontSize',14)
```

```
zlabel('Intensity (ppb)','FontSize',14)
```

```
clearvars -except MeasuredIntensity
```

โปรแกรมสำหรับอินเทอร์โพลค่าความเข้มข้นกลิ่นที่วัดได้แล้วทำการพล็อตกราฟ

```
MeasuredIntensity = ...  
[6020,4610,3510,131180,4690,4890,4560;  
8740,9560,7380,62590,6510,9450,7730;  
11540,11410,18530,28880,9280,10720,12910;  
15910,14250,34090,25140,12180,13660,15190;  
16810,16300,29440,26720,15430,17360,17450;  
21250,24470,29470,27270,16840,16780,16800];  
% Create x-y axis  
[xx,yy] = meshgrid(0:71:426,0:71:355);  
% Create refined x-y axis for interpolation  
[xxx,yyy] = meshgrid(0:1:426,0:1:355);  
% Interpolation  
InterpMeasuredIntensity = interp2(xx,yy,MeasuredIntensity,xxx,yyy);  
% Graphing  
mesh(xxx,flipud(yyy),InterpMeasuredIntensity)  
xlabel('x (cm)','FontSize',14)  
ylabel('y (cm)','FontSize',14)  
zlabel('Intensity (ppb)','FontSize',14)  
clearvars -except MeasuredIntensity InterpMeasuredIntensity
```

โปรแกรมสำหรับคำนวณค่าความเข้มข้นกลิ่นแล้วทำการพล็อตกราฟ

% q and K values from Ishida Sensei's thesis

q = 37.5/60; %[cm³/s]

K = 15.2; %[cm²/s]

% Data from experiment

U = 11.26; %[cm/s]

Theta = 90;

% Define position of the odor source

Xs = 213;

Ys = 400.75;

% Create x-y axis

[xx,yy] = meshgrid(0:71:426,0:71:355);

% Prepare a matrix for the answer

CalculatedIntensity = zeros(6,7);

num_rows = size(CalculatedIntensity,1);

num_cols = size(CalculatedIntensity,2);

% Calculation

for i=1:1:num_rows

for j=1:1:num_cols

CalculatedIntensity(i,j) = ((2*q/(4*pi*K))/sqrt((Xs-xx(i,j))^2 ...
+ (Ys-yy(i,j))^2))*exp(-(U/(2*K))*(sqrt((Xs-xx(i,j))^2 ...
+ (Ys-yy(i,j))^2) - ((Xs - xx(i,j))*cosd(Theta) ...
+ (Ys - yy(i,j))*sind(Theta))));

end

end

% Graphing

mesh(xx,yy,CalculatedIntensity)

xlabel('x (cm)','FontSize',14)

ylabel('y (cm)','FontSize',14)

zlabel('Intensity (Arbitrary unit)','FontSize',14)

โปรแกรมสำหรับอินเทอร์พอลค่าความเข้มข้นกลืนที่คำนวณได้แล้วทำการพล็อตกราฟ

```
CalculatedIntensity = [4.15993539394673e-14,1.81982107980021e-09,1.59354472294738e-06,1.63298813790647e-05,1.59354472294738e-06,1.81982107980021e-09,4.15993539394673e-14;1.31269296065975e-15,3.56056314279816e-10,1.18085659402947e-06,1.98459437836548e-05,1.18085659402947e-06,3.56056314279816e-10,1.31269296065975e-15;1.00480880413142e-17,3.08982989563571e-11,7.05823377990695e-07,2.52915940585900e-05,7.05823377990695e-07,3.08982989563571e-11,1.00480880413142e-17;7.76760618344266e-21,6.00814778084721e-13,2.66608205722370e-07,3.48559252338757e-05,2.66608205722370e-07,6.00814778084721e-13,7.76760618344266e-21;1.37459434743676e-25,5.76022820950058e-16,3.02079695935592e-08,5.60531046052263e-05,3.02079695935592e-08,5.76022820950058e-16,1.37459434743676e-25;6.19926292379298e-33,1.00703341474520e-21,4.58921861175951e-11,0.000143042622134649,4.58921861175951e-11,1.00703341474520e-21,6.19926292379298e-33];  
% Create x-y axis  
[xx,yy] = meshgrid(0:71:426,0:71:355);  
% Create refined x-y axis for interpolation  
[xxx,yyy] = meshgrid(0:1:426,0:1:355);  
% Interpolation  
InterpCalculatedIntensity = interp2(xx,yy,CalculatedIntensity,xxx,yyy);  
% Graphing  
mesh(xxx,yyy,InterpCalculatedIntensity)  
xlabel('x (cm)','FontSize',14)  
ylabel('y (cm)','FontSize',14)  
zlabel('Intensity (Arbitrary unit)','FontSize',14)  
clearvars -except CalculatedIntensity InterpCalculatedIntensity
```

โปรแกรมสำหรับคาดคะเนตำแหน่งของแหล่งกำเนิดกลิ่นโดยใช้เซ็นเซอร์ 3 ตัว

tic;

% Constant taken from Ishida Sensei's thesis

q = 37.5/60; %[cm³/s]

K = 15.2; %[cm²/s]

U = 11.26; %[cm/s]

Theta = 90;

% Define the REAL position of the odor source

Xs = 500;

Ys = 1800;

% Define the initial odor source position

qi = 36;

Ki = 17;

% Define the location of Sensors used

S1_i = (100/5)+1;

S1_j = (400/5)+1;

S2_i = (500/5)+1;

S2_j = (400/5)+1;

S3_i = (300/5)+1;

S3_j = (600/5)+1;

% Create x-y axis (1cm scale)

[xxx,yyy] = meshgrid(0:5:1000,0:5:2000);

% create xs-ys axis for trying varying positions of Xs and Ys

[XXXs,YYYs] = meshgrid(0:5:1000,0:5:2000);

% Prepare a matrix for the answer

num_rows = size(yyy,1);

num_cols = size(xxx,2);

CalculatedIntensity = zeros(num_rows,num_cols);

IntensityError = zeros(num_rows,num_cols);

```

%The number of color spots in graph
%DeepBlueSpot = 0;
BlueSpot = 0;
SkySpot = 0;
GreenSpot = 0;
%Euclid error of Deep blue spots
ErrorAt = 0;
CumulativeError = 0;
AverageError = 0;
% Calculation of odor intensity at point (i,j) when odor source is
% placed at point (Xs,Ys)
for i=1:1:num_rows
    for j=1:1:num_cols
        d = sqrt((Xs-xxx(i,j))^2 + (Ys-yyy(i,j))^2);
        dx = (Xs-xxx(i,j))*cosd(Theta) + (Ys-yyy(i,j))*sind(Theta);
        CalculatedIntensity(i,j) = ((2*q/(4*pi*K))*exp(-(U/(2*K))*(d-dx)))/d;
    end
end
% Calculate Intensity Error
for is=1:1:num_rows
    for js=1:1:num_cols
        % Specify number of Sensors used
        MainEquation = @(predict) ...
            abs(-1*CalculatedIntensity(S1_i,S1_j) +
            ((2*predict(1)/(4*pi*predict(2)))/sqrt((XXXs(is,js)-xxx(S1_i,S1_j))^2 + (YYYs(is,js)-
            yyy(S1_i,S1_j))^2))*exp(-(U/(2*predict(2)))*(sqrt((XXXs(is,js)-xxx(S1_i,S1_j))^2 +
            (YYYs(is,js)-yyy(S1_i,S1_j))^2) - ((XXXs(is,js) - xxx(S1_i,S1_j))*cosd(Theta) + (YYYs(is,js) -
            yyy(S1_i,S1_j))*sind(Theta)))) ...
            + abs(-1*CalculatedIntensity(S2_i,S2_j) +
            ((2*predict(1)/(4*pi*predict(2)))/sqrt((XXXs(is,js)-xxx(S2_i,S2_j))^2 + (YYYs(is,js)-
            yyy(S2_i,S2_j))^2))*exp(-(U/(2*predict(2)))*(sqrt((XXXs(is,js)-xxx(S2_i,S2_j))^2 +

```

```

(YYYs(is,js)-yyy(S2_i,S2_j))^2 - ((XXXs(is,js) - xxx(S2_i,S2_j))*cosd(Theta) + (YYYs(is,js) -
yyy(S2_i,S2_j))*sind(Theta)))) ...
    + abs(-1*CalculatedIntensity(S3_i,S3_j) +
((2*predict(1)/(4*pi*predict(2)))/sqrt((XXXs(is,js)-xxx(S3_i,S3_j))^2 + (YYYs(is,js)-
yyy(S3_i,S3_j))^2))*exp(-(U/(2*predict(2)))*(sqrt((XXXs(is,js)-xxx(S3_i,S3_j))^2 +
(YYYs(is,js)-yyy(S3_i,S3_j))^2 - ((XXXs(is,js) - xxx(S3_i,S3_j))*cosd(Theta) + (YYYs(is,js) -
yyy(S3_i,S3_j))*sind(Theta))))));
% Perform fminsearch
    [predict,fval] = fminsearch(MainEquation,[qi,Ki]);
    IntensityError(is,js) = fval;
end
end
% Graphing
mesh(xxx,yyy,IntensityError)
hold on;
xlabel('x_sp (cm)','FontSize',20)
ylabel('y_sp (cm)','FontSize',20)
zlabel('Intensity Error (Arbitrary unit)','FontSize',12),
hold on;
plot3(XXXs(S1_i,S1_j),YYYs(S1_i,S1_j),0,'o','LineWidth',1,'MarkerEdgeColor','k','MarkerFaceColor','green','MarkerSize',11)
hold on;
plot3(XXXs(S2_i,S2_j),YYYs(S2_i,S2_j),0,'o','LineWidth',1,'MarkerEdgeColor','k','MarkerFaceColor','green','MarkerSize',11)
hold on;
plot3(XXXs(S3_i,S3_j),YYYs(S3_i,S3_j),0,'o','LineWidth',1,'MarkerEdgeColor','k','MarkerFaceColor','green','MarkerSize',11)
hold on;
plot3(Xs,Ys,0,'o','LineWidth',1,'MarkerEdgeColor','k','MarkerFaceColor','r','MarkerSize',11)
hold on;

```

```

plot3(XXXs(S1_i,S1_j),YYYs(S1_i,S1_j),0.5*10^-
4,'o','LineWidth',1,'MarkerEdgeColor','k','MarkerFaceColor','green','MarkerSize',11)
hold on;
plot3(XXXs(S2_i,S2_j),YYYs(S2_i,S2_j),0.5*10^-
4,'o','LineWidth',1,'MarkerEdgeColor','k','MarkerFaceColor','green','MarkerSize',11)
hold on;
plot3(XXXs(S3_i,S3_j),YYYs(S3_i,S3_j),0.5*10^-
4,'o','LineWidth',1,'MarkerEdgeColor','k','MarkerFaceColor','green','MarkerSize',11)
hold on;
plot3(Xs,Ys,0.5*10^-
4,'o','LineWidth',1,'MarkerEdgeColor','k','MarkerFaceColor','r','MarkerSize',11)
%Selecting acceptable spots
MinError = min(min(IntensityError));
MaxError = max(IntensityError(isfinite(IntensityError)));
Accept = sqrt(MinError);
AcceptSpot = 0;
    for is=1:1:num_rows
        for js=1:1:num_cols
%Selecting white spots
            if (((IntensityError(is,js) - MinError)/MinError) <= 1e3)
                AcceptSpot = AcceptSpot + 1;
                ErrorAt = sqrt(((Xs-XXXs(is,js))^2)+((Ys-YYYs(is,js)))^2));
                CumulativeError = CumulativeError + ErrorAt;
                plot3(XXXs(is,js),YYYs(is,js),1e-5,'wo','MarkerFaceColor','white')
                hold on;
%Selecting blue spots
            elseif (((IntensityError(is,js) - MinError)/MinError) > 1e3 & IntensityError(is,js) <=
(MaxError/4))
                BlueSpot = BlueSpot + 1;
%Selecting light blue spots
            elseif (IntensityError(is,js) > (MaxError/4)) & (IntensityError(is,js) <= (MaxError/3))

```

```

    SkySpot = SkySpot + 1;
%Selecting green spots
    elseif (IntensityError(is,js) > (MaxError/3)) & (IntensityError(is,js) <= (MaxError/2))
        GreenSpot = GreenSpot + 1;
    end
end
end
end
%Average Euclid Error
AverageError = CumulativeError/AcceptSpot;
timeused = toc

```



โปรแกรมสำหรับคาดคะเนตำแหน่งของแหล่งกำเนิดกลิ่นโดยใช้เซ็นเซอร์ 4 ตัว

tic;

% Constant taken from Ishida Sensei's thesis

q = 37.5/60; %[cm³/s]

K = 15.2; %[cm²/s]

U = 11.26; %[cm/s]

Theta = 90;

% Define the REAL position of the odor source

Xs = 500;

Ys = 1800;

% Define the initial odor source position

qi = 36;

Ki = 17;

% Define the location of Sensors used

S1_i = (200/5)+1;

S1_j = (300/5)+1;

S2_i = (200/5)+1;

S2_j = (500/5)+1;

S3_i = (200/5)+1;

S3_j = (700/5)+1;

S4_i = (400/5)+1;

S4_j = (500/5)+1;

% Create x-y axis (1cm scale)

[xxx,yyy] = meshgrid(0:5:1000,0:5:2000);

% create xs-ys axis for trying varying positions of Xs and Ys

[XXXs,YYYs] = meshgrid(0:5:1000,0:5:2000);

% Prepare a matrix for the answer

num_rows = size(yyy,1);

num_cols = size(xxx,2);

CalculatedIntensity = zeros(num_rows,num_cols);

IntensityError = zeros(num_rows,num_cols);

```

%The number of color spots in graph
%DeepBlueSpot = 0;
BlueSpot = 0;
GreenSpot = 0;
SkySpot = 0;
%Define DeepBluespot
Xn = max(max(xxx));
Yn = max(max(yyy));
%Euclid error of Deep blue spots
ErrorAt = 0;
CumulativeError = 0;
AverageError = 0;
% Calculation of odor intensity at point (i,j) when odor source is
% placed at point (Xs,Ys)
for i=1:1:num_rows
    for j=1:1:num_cols
        d = sqrt((Xs-xxx(i,j))^2 + (Ys-yyy(i,j))^2);
        dx = (Xs-xxx(i,j))*cosd(Theta) + (Ys-yyy(i,j))*sind(Theta);
        CalculatedIntensity(i,j) = ((2*q/(4*pi*K))*exp(-(U/(2*K))*(d-dx)))/d;
    end
end
% Calculate Intensity Error
for is=1:1:num_rows
    for js=1:1:num_cols
% Specify number of Sensors used
        MainEquation = @(predict) ...
            abs(-1*CalculatedIntensity(S1_i,S1_j) +
            ((2*predict(1)/(4*pi*predict(2)))/sqrt((XXXs(is,js)-xxx(S1_i,S1_j))^2 + (YYYs(is,js)-
            yyy(S1_i,S1_j))^2))*exp(-(U/(2*predict(2)))*(sqrt((XXXs(is,js)-xxx(S1_i,S1_j))^2 +
            (YYYs(is,js)-yyy(S1_i,S1_j))^2) - ((XXXs(is,js) - xxx(S1_i,S1_j))*cosd(Theta) + (YYYs(is,js) -
            yyy(S1_i,S1_j))*sind(Theta)))))) ...

```

```

+ abs(-1*CalculatedIntensity(S2_i,S2_j) +
((2*predict(1)/(4*pi*predict(2)))/sqrt((XXXs(is,js)-xxx(S2_i,S2_j))^2 + (YYYs(is,js)-
yyy(S2_i,S2_j))^2))*exp(-(U/(2*predict(2)))*(sqrt((XXXs(is,js)-xxx(S2_i,S2_j))^2 +
(YYYs(is,js)-yyy(S2_i,S2_j))^2) - ((XXXs(is,js) - xxx(S2_i,S2_j))*cosd(Theta) + (YYYs(is,js) -
yyy(S2_i,S2_j))*sind(Theta)))) ...
+ abs(-1*CalculatedIntensity(S3_i,S3_j) +
((2*predict(1)/(4*pi*predict(2)))/sqrt((XXXs(is,js)-xxx(S3_i,S3_j))^2 + (YYYs(is,js)-
yyy(S3_i,S3_j))^2))*exp(-(U/(2*predict(2)))*(sqrt((XXXs(is,js)-xxx(S3_i,S3_j))^2 +
(YYYs(is,js)-yyy(S3_i,S3_j))^2) - ((XXXs(is,js) - xxx(S3_i,S3_j))*cosd(Theta) + (YYYs(is,js) -
yyy(S3_i,S3_j))*sind(Theta)))) ...
+ abs(-1*CalculatedIntensity(S4_i,S4_j) +
((2*predict(1)/(4*pi*predict(2)))/sqrt((XXXs(is,js)-xxx(S4_i,S4_j))^2 + (YYYs(is,js)-
yyy(S4_i,S4_j))^2))*exp(-(U/(2*predict(2)))*(sqrt((XXXs(is,js)-xxx(S4_i,S4_j))^2 +
(YYYs(is,js)-yyy(S4_i,S4_j))^2) - ((XXXs(is,js) - xxx(S4_i,S4_j))*cosd(Theta) + (YYYs(is,js) -
yyy(S4_i,S4_j))*sind(Theta)))));
% Perform fminsearch
[predict,fval] = fminsearch(MainEquation,[qi,Ki]);
IntensityError(is,js) = fval;
end
end
% Graphing
mesh(xxx,yyy,IntensityError)
hold on;
xlabel('x_sp (cm)','FontSize',20)
ylabel('y_sp (cm)','FontSize',20)
zlabel('Intensity Error (Arbitrary unit)','FontSize',12),
hold on;
plot3(XXXs(S1_i,S1_j),YYYs(S1_i,S1_j),0,'o','LineWidth',1,'MarkerEdgeColor','k','MarkerFac
eColor','green','MarkerSize',11)
hold on;

```

```

plot3(XXXs(S2_i,S2_j),YYYs(S2_i,S2_j),0,'o','LineWidth',1,'MarkerEdgeColor','k','MarkerFaceColor','green','MarkerSize',11)
hold on;
plot3(XXXs(S3_i,S3_j),YYYs(S3_i,S3_j),0,'o','LineWidth',1,'MarkerEdgeColor','k','MarkerFaceColor','green','MarkerSize',11)
hold on;
plot3(XXXs(S4_i,S4_j),YYYs(S3_i,S3_j),0,'o','LineWidth',1,'MarkerEdgeColor','k','MarkerFaceColor','green','MarkerSize',11)
hold on;
plot3(Xs,Ys,0,'o','LineWidth',1,'MarkerEdgeColor','k','MarkerFaceColor','r','MarkerSize',11)
hold on;
plot3(XXXs(S1_i,S1_j),YYYs(S1_i,S1_j),0.5*10^-4,'o','LineWidth',1,'MarkerEdgeColor','k','MarkerFaceColor','green','MarkerSize',11)
hold on;
plot3(XXXs(S2_i,S2_j),YYYs(S2_i,S2_j),0.5*10^-4,'o','LineWidth',1,'MarkerEdgeColor','k','MarkerFaceColor','green','MarkerSize',11)
hold on;
plot3(XXXs(S3_i,S3_j),YYYs(S3_i,S3_j),0.5*10^-4,'o','LineWidth',1,'MarkerEdgeColor','k','MarkerFaceColor','green','MarkerSize',11)
hold on;
plot3(XXXs(S4_i,S4_j),YYYs(S4_i,S4_j),0.5*10^-4,'o','LineWidth',1,'MarkerEdgeColor','k','MarkerFaceColor','green','MarkerSize',11)
hold on;
plot3(Xs,Ys,0.5*10^-4,'o','LineWidth',1,'MarkerEdgeColor','k','MarkerFaceColor','r','MarkerSize',11)
%Selecting acceptable spots
MinError = min(min(IntensityError));
MaxError = max(IntensityError(isfinite(IntensityError)));
AcceptSpot = 0;
    for is=1:1:num_rows
        for js=1:1:num_cols

```

```

%Selecting white spots
if (((IntensityError(is,js) - MinError)/MinError) <= 1e3)
    AcceptSpot = AcceptSpot + 1;
    ErrorAt = sqrt(((Xs-XXXs(is,js))^2)+((Ys-YYYs(is,js))^2));
    CumulativeError = CumulativeError + ErrorAt;
    plot3(XXXs(is,js),YYYs(is,js),1e-5,'wo','MarkerFaceColor','white')
    hold on;
%Selecting blue spots
elseif (((IntensityError(is,js) - MinError)/MinError) > 1e3 & IntensityError(is,js) <=
(MaxError/4))
    BlueSpot = BlueSpot + 1;
%Selecting light blue spots
elseif (IntensityError(is,js) > (MaxError/4)) & (IntensityError(is,js) <= (MaxError/3))
    SkySpot = SkySpot + 1;
%Selecting green spots
SkySpot = SkySpot + 1;
elseif (IntensityError(is,js) > (MaxError/3)) & (IntensityError(is,js) <= (MaxError/2))
    GreenSpot = GreenSpot + 1;
end
end
end
%Average Euclid Error
AverageError = CumulativeError/AcceptSpot;
timeused = toc

```

โปรแกรมสำหรับคาดคะเนตำแหน่งของแหล่งกำเนิดกลิ่นโดยใช้เซ็นเซอร์ 5 ตัว

tic;

% Constant taken from Ishida Sensei's thesis

q = 37.5/60; %[cm³/s]

K = 15.2; %[cm²/s]

U = 11.26; %[cm/s]

Theta = 90;

% Define the REAL position of the odor source

Xs = 500;

Ys = 1800;

% Define the initial odor source position

qi = 36;

Ki = 17;

% Define the location of Sensors used

S1_i = (200/5)+1;

S1_j = (500/5)+1;

S2_i = (200/5)+1;

S2_j = (350/5)+1;

S3_i = (200/5)+1;

S3_j = (200/5)+1;

S4_i = (500/5)+1;

S4_j = (650/5)+1;

S5_i = (500/5)+1;

S5_j = (800/5)+1;

% Create x-y axis (1cm scale)

[xxx,yyy] = meshgrid(0:5:1000,0:5:2000);

% create xs-ys axis for trying varying positions of Xs and Ys

[XXXs,YYYs] = meshgrid(0:5:1000,0:5:2000);

% Prepare a matrix for the answer

num_rows = size(yyy,1);

num_cols = size(xxx,2);

```

CalculatedIntensity = zeros(num_rows,num_cols);
IntensityError = zeros(num_rows,num_cols);
%The number of color spots in graph
%DeepBlueSpot = 0;
BlueSpot = 0;
GreenSpot = 0;
SkySpot = 0;
%Define DeepBluespot
Xn = max(max(xxx));
Yn = max(max(yyy));
%Euclid error of Deep blue spots
ErrorAt = 0;
CumulativeError = 0;
AverageError = 0;
% Calculation of odor intensity at point (i,j) when odor source is
% placed at point (Xs,Ys)
for i=1:1:num_rows
    for j=1:1:num_cols
        d = sqrt((Xs-xxx(i,j))^2 + (Ys-yyy(i,j))^2);
        dx = (Xs-xxx(i,j))*cosd(Theta) + (Ys-yyy(i,j))*sind(Theta);
        CalculatedIntensity(i,j) = ((2*q/(4*pi*K))*exp(-(U/(2*K))*(d-dx)))/d;
    end
end
% Calculate Intensity Error
for is=1:1:num_rows
    for js=1:1:num_cols
        % Specify number of Sensors used
        MainEquation = @(predict) ...
            abs(-1*CalculatedIntensity(S1_i,S1_j) +
            ((2*predict(1)/(4*pi*predict(2)))/sqrt((XXXs(is,js)-xxx(S1_i,S1_j))^2 + (YYYs(is,js)-
            yyy(S1_i,S1_j))^2))*exp(-(U/(2*predict(2)))*(sqrt((XXXs(is,js)-xxx(S1_i,S1_j))^2 +

```

```

(YYYs(is,js)-yyy(S1_i,S1_j))^2 - ((XXXs(is,js) - xxx(S1_i,S1_j))*cosd(Theta) + (YYYs(is,js) -
yyy(S1_i,S1_j))*sind(Theta)))) ...
    + abs(-1*CalculatedIntensity(S2_i,S2_j) +
((2*predict(1)/(4*pi*predict(2)))/sqrt((XXXs(is,js)-xxx(S2_i,S2_j))^2 + (YYYs(is,js)-
yyy(S2_i,S2_j))^2))*exp(-(U/(2*predict(2)))*(sqrt((XXXs(is,js)-xxx(S2_i,S2_j))^2 +
(YYYs(is,js)-yyy(S2_i,S2_j))^2) - ((XXXs(is,js) - xxx(S2_i,S2_j))*cosd(Theta) + (YYYs(is,js) -
yyy(S2_i,S2_j))*sind(Theta)))))) ...
    + abs(-1*CalculatedIntensity(S3_i,S3_j) +
((2*predict(1)/(4*pi*predict(2)))/sqrt((XXXs(is,js)-xxx(S3_i,S3_j))^2 + (YYYs(is,js)-
yyy(S3_i,S3_j))^2))*exp(-(U/(2*predict(2)))*(sqrt((XXXs(is,js)-xxx(S3_i,S3_j))^2 +
(YYYs(is,js)-yyy(S3_i,S3_j))^2) - ((XXXs(is,js) - xxx(S3_i,S3_j))*cosd(Theta) + (YYYs(is,js) -
yyy(S3_i,S3_j))*sind(Theta)))))) ...
    + abs(-1*CalculatedIntensity(S4_i,S4_j) +
((2*predict(1)/(4*pi*predict(2)))/sqrt((XXXs(is,js)-xxx(S4_i,S4_j))^2 + (YYYs(is,js)-
yyy(S4_i,S4_j))^2))*exp(-(U/(2*predict(2)))*(sqrt((XXXs(is,js)-xxx(S4_i,S4_j))^2 +
(YYYs(is,js)-yyy(S4_i,S4_j))^2) - ((XXXs(is,js) - xxx(S4_i,S4_j))*cosd(Theta) + (YYYs(is,js) -
yyy(S4_i,S4_j))*sind(Theta)))))) ...
    + abs(-1*CalculatedIntensity(S5_i,S5_j) +
((2*predict(1)/(4*pi*predict(2)))/sqrt((XXXs(is,js)-xxx(S5_i,S5_j))^2 + (YYYs(is,js)-
yyy(S5_i,S5_j))^2))*exp(-(U/(2*predict(2)))*(sqrt((XXXs(is,js)-xxx(S5_i,S5_j))^2 +
(YYYs(is,js)-yyy(S5_i,S5_j))^2) - ((XXXs(is,js) - xxx(S5_i,S5_j))*cosd(Theta) + (YYYs(is,js) -
yyy(S5_i,S5_j))*sind(Theta)))));
% Perform fminsearch
    [predict,fval] = fminsearch(MainEquation,[qi,Ki]);
    IntensityError(is,js) = fval;
end
end
% Graphing
mesh(xxx,yyy,IntensityError)
hold on;
xlabel('x_sp (cm)','FontSize',20)

```

```

ylabel('y_sp (cm)','FontSize',20)
xlabel('Intensity Error (Arbitrary unit)','FontSize',12),
hold on;
plot3(XXXs(S1_i,S1_j),YYYs(S1_i,S1_j),0,'o','LineWidth',1,'MarkerEdgeColor','k','MarkerFaceColor','green','MarkerSize',11)
hold on;
plot3(XXXs(S2_i,S2_j),YYYs(S2_i,S2_j),0,'o','LineWidth',1,'MarkerEdgeColor','k','MarkerFaceColor','green','MarkerSize',11)
hold on;
plot3(XXXs(S3_i,S3_j),YYYs(S3_i,S3_j),0,'o','LineWidth',1,'MarkerEdgeColor','k','MarkerFaceColor','green','MarkerSize',11)
hold on;
plot3(XXXs(S4_i,S4_j),YYYs(S4_i,S4_j),0,'o','LineWidth',1,'MarkerEdgeColor','k','MarkerFaceColor','green','MarkerSize',11)
hold on;
plot3(XXXs(S5_i,S5_j),YYYs(S5_i,S5_j),0,'o','LineWidth',1,'MarkerEdgeColor','k','MarkerFaceColor','green','MarkerSize',11)
hold on;
plot3(Xs,Ys,0,'o','LineWidth',1,'MarkerEdgeColor','k','MarkerFaceColor','r','MarkerSize',11)
hold on;
plot3(XXXs(S1_i,S1_j),YYYs(S1_i,S1_j),0.5*10^-4,'o','LineWidth',1,'MarkerEdgeColor','k','MarkerFaceColor','green','MarkerSize',11)
hold on;
plot3(XXXs(S2_i,S2_j),YYYs(S2_i,S2_j),0.5*10^-4,'o','LineWidth',1,'MarkerEdgeColor','k','MarkerFaceColor','green','MarkerSize',11)
hold on;
plot3(XXXs(S3_i,S3_j),YYYs(S3_i,S3_j),0.5*10^-4,'o','LineWidth',1,'MarkerEdgeColor','k','MarkerFaceColor','green','MarkerSize',11)
hold on;
plot3(XXXs(S4_i,S4_j),YYYs(S4_i,S4_j),0.5*10^-4,'o','LineWidth',1,'MarkerEdgeColor','k','MarkerFaceColor','green','MarkerSize',11)

```

```

hold on;
plot3(XXXs(S5_i,S5_j),YYYs(S5_i,S5_j),0.5*10^-
4,'o','LineWidth',1,'MarkerEdgeColor','k','MarkerFaceColor','green','MarkerSize',11)
hold on;
plot3(Xs,Ys,0.5*10^-
4,'o','LineWidth',1,'MarkerEdgeColor','k','MarkerFaceColor','r','MarkerSize',11)
%Selecting acceptable spots
MinError = min(min(IntensityError));
MaxError = max(IntensityError(isfinite(IntensityError)));
AcceptSpot = 0;
for is=1:1:num_rows
for js=1:1:num_cols
%Selecting white spots
if (((IntensityError(is,js) - MinError)/MinError) <= 1e3)
AcceptSpot = AcceptSpot + 1;
ErrorAt = sqrt(((Xs-XXXs(is,js))^2)+((Ys-YYYs(is,js)))^2));
CumulativeError = CumulativeError + ErrorAt;
plot3(XXXs(is,js),YYYs(is,js),1e-5,'wo','MarkerFaceColor','white')
hold on;
%Selecting blue spots
elseif (((IntensityError(is,js) - MinError)/MinError) > 1e3 & IntensityError(is,js) <=
(MaxError/4))
BlueSpot = BlueSpot + 1;
%Selecting light blue spots
elseif (IntensityError(is,js) > (MaxError/4)) & (IntensityError(is,js) <= (MaxError/3))
SkySpot = SkySpot + 1;
%Selecting green spots
elseif (IntensityError(is,js) > (MaxError/3)) & (IntensityError(is,js) <= (MaxError/2))
GreenSpot = GreenSpot + 1;
end
end

```

end

%Average Euclid Error

AverageError = CumulativeError/AcceptSpot;

timeused = toc

